

APPUNTI DI SCIENZA DELLE COSTRUZIONI

Anno Accademico 2004-2005

Indice

| | |
|---|-----|
| 1 TRAVATURE PIANE | 1 |
| 1.1 Geometria, equilibrio e vincoli | 1 |
| 1.1.1 Piani di simmetria | 2 |
| 1.1.2 Equilibrio di una trave | 3 |
| 1.1.3 Vincoli esterni | 4 |
| 1.1.4 Vincoli interni | 7 |
| 1.2 Strutture labili, iperstatiche e isostatiche | 10 |
| 1.2.1 Il problema dell'equilibrio | 14 |
| 1.3 Calcolo delle reazioni vincolari | 16 |
| 1.3.1 Travi ad un solo tratto | 16 |
| 1.3.2 Travi soggette ad un carico trasversale distribuito | 20 |
| 1.3.3 Travature a più tratti | 22 |
| 1.4 Le caratteristiche della sollecitazione | 26 |
| 1.4.1 Equazioni differenziali dell'equilibrio interno | 31 |
| 1.4.2 Un esempio di soluzione analitica delle equazioni differenziali di equilibrio | 33 |
| 1.4.3 Un'interpretazione della convenzione sul tracciamento del diagramma del momento | 36 |
| 1.4.4 Condizioni al contorno | 36 |
| 1.4.5 Esercizi sulle travi ad asse rettilineo orizzontale | 43 |
| 1.5 Travature non ad asse rettilineo - Metodi grafici | 65 |
| 1.5.1 Condizioni di equilibrio grafico | 65 |
| 1.5.2 Applicazioni del metodo grafico ai telai piani isostatici | 67 |
| 1.5.3 Segno delle caratteristiche della sollecitazione | 78 |
| 1.6 Esercizi proposti | 80 |
| 1.7 Cinematica della trave | 93 |
| 1.8 Legame elastico lineare per il modello di trave piana di Eulero-Bernoulli | 97 |
| 1.8.1 Distorsioni termiche | 101 |
| 1.8.2 Sovrapposizione delle deformazioni elastiche e delle distorsioni | 103 |
| 1.9 Il problema dell'equilibrio elastico per il modello di Eulero-Bernoulli | 103 |
| 1.9.1 Esistenza ed unicità | 105 |
| 1.9.2 Principio di sovrapposizione degli effetti | 105 |
| 1.9.3 Integrazione delle equazioni della linea elastica: cenni al caso generale. | 106 |
| 1.9.4 Integrazione delle equazioni della linea elastica: le travi isostatiche e gli schemi noti | 106 |
| iii | |
| iv | |
| 1.10 Travi iperstatiche ad asse rettilineo | 112 |

| | |
|--|-----|
| 1.10.1 Problema 1 | 112 |
| 1.10.2 Problema 2 | 113 |
| 1.10.3 Problema 3 | 115 |
| 1.10.4 Problema 4 | 120 |
| 1.10.5 Problema 5 | 122 |
| 1.10.6 Problema 6 | 125 |
| 1.10.7 Problema 7: composizione cinematica delle rotazioni e degli spostamenti | 125 |
| 1.10.8 Problema 8 | 129 |
| 1.11 Esercizi proposti | 133 |
| 2 ELEMENTI DI MECCANICA DEL CONTINUO | 137 |
| 2.1 Richiami di algebra ed analisi vettoriale | 137 |
| 2.1.1 Spazi vettoriali e funzioni lineari | 137 |
| 2.1.2 Vettori linearmente indipendenti | 138 |
| 2.1.3 Funzioni lineari | 138 |
| 2.1.4 Spazi di dimensione finita e basi | 138 |
| 2.1.5 Lo spazio Euclideo tridimensionale | 139 |
| 2.1.6 Basi ortonormali | 140 |
| 2.1.7 Tensori e matrice associate ad un tensore | 141 |
| 2.1.8 Prodotto fra tensori | 143 |
| 2.1.9 Prodotto tensoriale | 143 |
| 2.1.10 Cambiamento di base | 144 |
| 2.1.11 Richiami di analisi tensoriale | 146 |
| 2.2 Cinematica del modello continuo tridimensionale | 150 |
| 2.2.1 Gradiente della deformazione | 151 |
| 2.2.2 Deformazione di un intorno elementare | 151 |
| 2.2.3 Dilatazione volumetrica | 155 |
| 2.2.4 Spostamenti | 156 |
| 2.2.5 Spostamenti dell'intorno elementare | 157 |
| 2.2.6 Ipotesi di piccoli spostamenti | 159 |
| 2.2.7 Tensore della deformazione infinitesima | 160 |
| 2.2.8 Sintesi dei risultati per il caso di piccoli spostamenti | 162 |
| 2.2.9 Deformazioni principali e direzioni principali | 167 |
| 2.3 Statica del modello continuo tridimensionale | 169 |
| 2.3.1 Equazioni differenziali di equilibrio | 174 |
| 2.3.2 Simmetria del tensore delle tensioni | 177 |
| 2.3.3 Condizioni ai limiti | 178 |
| 2.3.4 Componenti normale e tangenziali del vettore tensione su una giacitura | 178 |
| 2.3.5 Tensioni principali e direzioni principali di tensione | 179 |
| 2.4 Cerchi di Mohr | 181 |
| 2.4.1 I tre cerchi principali e l'arbelo di Mohr | 187 |
| 2.5 Lavoro virtuale interno | 189 |
| 2.6 Legame elastico | 192 |
| v | |
| 2.6.1 Espressioni matriciali del legame elastico | 196 |
| 2.6.2 Energia elastica | 197 |
| 2.6.3 Limiti di validità per le costanti elastiche | 199 |
| 2.7 Criteri di resistenza | 199 |
| 2.7.1 Criteri di resistenza per materiali duttili | 201 |
| 2.7.2 Il criterio della curva intrinseca | 206 |
| 3 IL PROBLEMA DEL DE SAINT VENANT | 209 |

| | |
|--|-----|
| 3.1 Il problema del De Saint Venant | 209 |
| 3.1.1 Ipotesi della teoria del De Saint Venant | 209 |
| 3.1.2 Stato tensionale sulla generica sezione retta | 212 |
| 3.1.3 Equazioni di equilibrio interno | 214 |
| 3.1.4 Condizioni di equilibrio sulla superficie laterale | 215 |
| 3.1.5 Caratteristiche della sollecitazione | 216 |
| 3.1.6 Postulato del De Saint Venant | 219 |
| 3.2 Elementi di geometria delle aree | 220 |
| 3.2.1 Momento statico | 220 |
| 3.2.2 Baricentro | 221 |
| 3.2.3 Tensore e momenti d'inerzia | 221 |
| 3.2.4 Ellisse d'inerzia | 229 |
| 3.2.5 Caratteristiche inerziali di alcune sezioni | 231 |
| 3.2.6 Esercizi proposti | 241 |
| 3.3 Sforzo normale e flessione | 242 |
| 3.3.1 Sforzo normale centrato | 246 |
| 3.3.2 Flessione retta | 247 |
| 3.3.3 Flessione deviata | 250 |
| 3.3.4 Sforzo normale eccentrico | 252 |
| 3.3.5 Alcuni esempi | 254 |
| 3.4 Torsione | 260 |
| 3.4.1 Sezione circolare o a corona circolare | 260 |
| 3.4.2 Cenni al caso generale e analogia idrodinamica | 263 |
| 3.4.3 Sezione sottile biconnessa | 264 |
| 3.5 Taglio | 269 |
| 3.5.1 Trattazione di Jourawski | 270 |

vi

Capitolo 1

TRAVATURE PIANE

1.1 Geometria, equilibrio e vincoli

Molte delle strutture di interesse nel campo dell'ingegneria civile e meccanica nascono

dall'assemblaggio di elementi 'trave', ciascuno dei quali è caratterizzato dall'aver una

dimensione predominante rispetto alle altre due. Lo studio di tali elementi può svolgersi

attraverso diversi tipi di modellazione matematica, la più conveniente delle quali

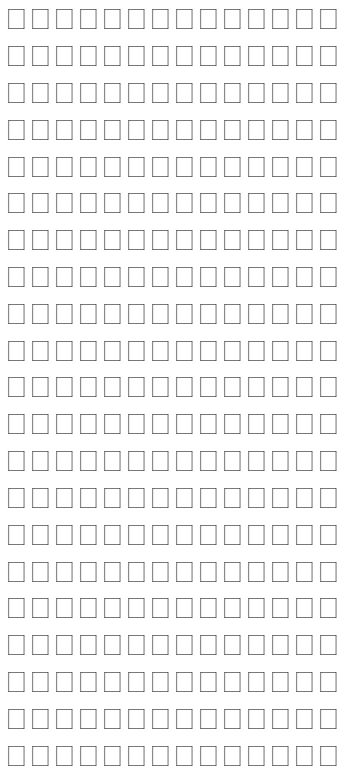
dipende sempre dal problema in esame e dal tipo di informazioni che si vuole ottenere.

Per conoscere direttamente lo stato di deformazione e tensione in ogni punto della

trave bisogna utilizzare un modello continuo tridimensionale. Dal punto di vista geometrico

un modello tridimensionale di trave a sezione costante può ottenersi pensando ad una figura piana, detta 'sezione retta', 'sezione trasversale' o anche solo 'sezione',

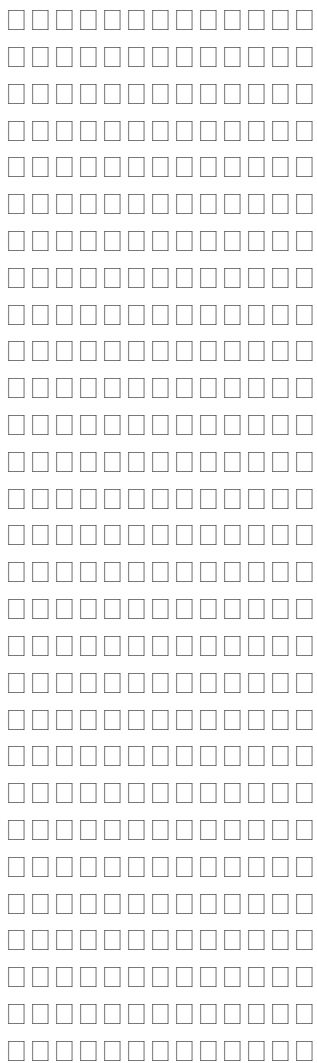
che si muove rigidamente nello spazio mantenendosi sempre ortogonale alla traiettoria



Sezione retta

Figure 1.1.a: Trave ad asse curvo.

Sezione retta



□□□□□□□□□□□□□□
□□□□□□□□□□□□□□
□□□□□□□□□□□□□□

Figure 1.1.b: Trave ad asse rettilineo.
deformata con quella indeformata nella scrittura delle equazioni di equilibrio.
L'ipotesi

di piccoli spostamenti si traduce in un modello matematico estremamente
semplificato
che fornisce un'efficace schematizzazione della realtà quando le strutture in
esame sono
dotate di sufficiente rigidità rispetto alle azioni esterne applicate e quando le
azioni
stesse non conducono a fenomeni di instabilità.

1.1.1 Piani di simmetria

Nella modellazione tridimensionale di molte travi esiste un piano di
simmetria sia
geometrica che meccanica. La simmetria meccanica consiste nella presenza di
proprietà
del materiale e di condizioni di carico e di vincolo speculari rispetto a π ed è un
concetto
che viene presentato in questa fase della trattazione solo dal punto di vista
intuitivo
mediante lo schema di figura 1.2 rimandando, per una più chiara
comprensione, alle
definizioni di carichi, vincoli e proprietà del materiale che verranno date in
seguito.

π
 π

Figura 1.2: Piano di simmetria

Se esiste tale piano l'asse della trave, luogo dei baricentri delle sezioni rette, è
sicuramente
contenuto in esso. Sebbene non si sia ancora parlato di spostamenti, che
riguardano l'aspetto cinematico del problema, né tantomeno si hanno elementi
per analizzare
relazioni di causa-effetto fra carichi, vincoli e spostamenti, si intuisce che in
presenza di un piano di simmetria gli spostamenti dell'asse della trave siano
contenuti

in π . In tal caso la modellazione monodimensionale di una travatura può
semplificarsi

adottando un modello piano e si parlerà di 'travature piane'.

Con riferimento ad un singolo elemento di una travatura piana si introduce un
sistema

di riferimento ortonormale $\{O, i, j, k\}$, in cui l'origine O degli assi coincide con
G. Alfano - Travature piane 3

il baricentro di una delle sezioni di estremità, j e k sono i due versori degli assi
 y e z

contenuti in π e disegnati in figura figura 1.3, mentre i è ortogonale a π e di verso
tale

che la terna $\{O, i, j, k\}$ risulti levogira. In particolare, l'asse z si assumerà
coincidente

con l'asse della trave.

x

y
z
i
j
k

Figura 1.3: Sistema di riferimento

In un problema piano momenti (o coppie) e velocità di rotazione possono essere visti

o come dei vettori ortogonali a ω , equivalentemente, attraverso la loro componente

rispetto a x , ovvero la loro unica componente non nulla. Pertanto le componenti scalari

M e $\dot{\theta}$ rispettivamente di un vettore coppia m e di un vettore velocità di rotazione $\dot{\theta}$ si

ottengono mediante i seguenti prodotti scalari:

$$m \cdot i = 26664$$

M

0

0

37775

·

26664

1

0

0

37775

$$= M \cdot i = 26664$$

0

0

37775

·

26664

1

0

0

37775=

·

(1.1)

Ragionando direttamente nel piano si immagina di osservare quest'ultimo dalla

parte positiva dell'asse x . Pertanto coppie (o momenti) e velocità di rotazione si assumono positive se antiorarie.

1.1.2 Equilibrio di una trave

Si consideri la trave soggetta ad un sistema di forze F costituito per semplicità solamente

da forze concentrate F_i e da coppie M_j , con $i = 1, \dots, N_f$ e $j = 1, \dots, N_m$, come mostrato in figura (figura 1.4).

La definizione di equilibrio viene data attraverso la scrittura delle 'equazioni cardinali

della statica':

Definizione 1 Una trave soggetta ad un sistema di forze F si dice in equilibrio se la

risultante di F ed il momento risultante di F rispetto ad un polo arbitrario sono nulli.

Si ricorda che il prodotto scalare fra due vettori u e v , le cui rappresentazioni numeriche rispetto

agli assi scelti sono $u = [u_x, u_y, u_z]_t$ e $v = [v_x, v_y, v_z]_t$, si ottiene come somma dei prodotti delle componenti omologhe:

$$u \cdot v = u_x v_x + u_y v_y + u_z v_z$$

4 G. Alfano - Appunti di Scienza delle Costruzioni

□ □ □ □

Figura 1.4: Equilibrio di una singola trave

Indicando dunque con F la risultante di F e con M_O il momento risultante rispetto

all'origine O del riferimento, ricordando dalla Meccanica Razionale la loro definizione

si ottiene la scrittura esplicita delle equazioni cardinali della statica:

$F =$

$$\sum_{i=1}^{N_f} P_i = 0$$

$$F_i = 0$$

$M_O =$

$$\sum_{i=1}^{N_f} P_i = 0$$

$$(\mathbf{r}_i \times \mathbf{F}_i) \cdot \mathbf{i} +$$

$$\sum_{j=1}^{N_m} P_j = 0$$

$$M_j = 0$$

(1.2)

dove con \mathbf{r}_i si è indicato il vettore posizione del punto di applicazione della forza i -esima.

La prima delle (1.2) è un'equazione di tipo vettoriale e rappresenta la condizione di

equilibrio alla traslazione. Proiettata sugli assi fornisce le due equazioni di equilibrio

alla traslazione secondo le due direzioni y e z :

$$\sum_{i=1}^{N_f} P_i = 0$$

$$F_{iy} = 0$$

$$\sum_{i=1}^{N_f} P_i = 0$$

$$F_{iz} = 0$$

(1.3)

La seconda delle (1.2) rappresenta invece l'equazione di equilibrio alla rotazione intorno

ad O ed in componenti si scrive:

$M_O =$

$$\sum_{i=1}^{N_f} P_i = 0$$

$$(y F_{iz} - z F_{iy}) +$$

$$\sum_{j=1}^{N_m} P_j = 0$$

$$M_j = 0 \quad (1.4)$$

Si ricorda peraltro che se è soddisfatto l'equilibrio alla traslazione, ovvero se è nulla

la risultante F , allora il momento risultante di F è indipendente dal polo rispetto a cui

è calcolato. In tal caso, quindi, se l'equilibrio alla rotazione è soddisfatto intorno

ad O

allora lo è anche intorno a qualsiasi altro punto del piano.

1.1.3 Vincoli esterni

Si consideri una travatura piana costituita da una o più travi schematizzate mediante la

modellazione monodimensionale. Un punto di una trave rappresenta il baricentro di una

G. Alfano - Travature piane 5

sezione retta ed è caratterizzato nel moto assoluto nel piano da tre parametri cinematici

scalari, ovvero da una traslazione nel piano e da una rotazione. Se il valore di uno o più

parametri è imposto a priori il punto si dice vincolato e si dice che in quel punto è stato

imposto un 'vincolo esterno'. Si considerano qui vincoli che non variano nel tempo per

cui l'imposizione a priori del valore di un parametro cinematico equivale ad imporre

nulla la sua variazione nel tempo, o velocità.

Alla caratterizzazione cinematica di un vincolo appena data ne corrisponde una di

tipo statico nello spirito della dualità statico-cinematica. Infatti, se la variazione di un

parametro è impedita ciò significa che esiste un ente statico che si oppone a tale possibile

variazione con una reazione che è detta, appunto, reazione vincolare.

Si sottolinea che un vincolo può imporre un valore nullo o non nullo di un parametro

di spostamento e, nel secondo caso, il valore imposto rappresenta un 'cedimento'

del vincolo. Se il cedimento è indipendente dalla reazione vincolare il vincolo si dice

infinitamente rigido ed il cedimento si dice di tipo 'anelastico'. Il cedimento si dice invece

'elastico' quando esso è proporzionale e discorde al valore assunto della reazione.

Il rapporto fra i moduli della reazione vincolare e del cedimento relativi ad un certo

parametro cinematico fornisce la 'rigidezza' del vincolo.

Avendo fatto l'ipotesi che gli spostamenti siano piccoli si assume anche che eventuali

cedimenti dei vincoli alterino la configurazione della travatura in modo trascurabile

e che quindi, anche in presenza di cedimenti, si possa studiare l'equilibrio della struttura nella sua configurazione indeformata piuttosto che, come si dovrebbe a rigore

fare, nella sua configurazione deformata. Con tale ipotesi, dunque, la presenza di cedimenti

non gioca alcun ruolo in questa fase in cui si studia esclusivamente il problema dell'equilibrio.

Altre tre ipotesi che si faranno sono quelle di vincoli lisci, bilaterali ed

indefinitamente

resistenti. In virtú della prima di queste ogni reazione vincolare compie potenza virtuale

nulla per gli atti di moto consentiti dal vincolo escludendo, pertanto, fenomeni di attrito;

quella di vincoli bilaterali implica che la variazione di un parametro cinematico vincolato

è impedita in entrambi i versi; quella di vincoli indefinitamente resistenti comporta

che ogni vincolo è capace di esplicare la sua azione qualsiasi sia il valore della reazione

vincolare stessa².

Un vincolo si dice 'semplice' quando impedisce la variazione di un solo parametro

cinematico scalare, 'doppio' quando ne impedisce due, 'triplo' quando blocca tutti e tre

i parametri. La simbologia adottata per i vincoli è descritta nelle figure 1.5-1.7.

Un 'carrello', detto anche 'appoggio scorrevole' (o equivalentemente³ un 'pendolino'

indefinitamente rigido), blocca il valore della sola componente della velocità di traslazione

del punto in direzione ortogonale al piano di scorrimento del carrello (parallela a quella del pendolino). Esso è dunque un 'vincolo semplice'. Un 'doppio doppio pendolo' impedisce la sola velocità di rotazione e dunque è anch'esso un vincolo

semplice.

²Si noti che le ipotesi di vincoli di vincoli lisci, bilaterali ed indefinitamente resistenti sono estremamente

utili per semplificare il modello matematico ma la loro aderenza al problema fisico va attentamente

verificata caso per caso

³Non c'è alcuna ragione concettuale per la quale si usano a volte simbologie e nomi diversi per indicare

lo stesso tipo di vincolo. Si preferisce qui indicare più notazioni per consentire una più facile consultazione di altri testi.

6 G. Alfano - Appunti di Scienza delle Costruzioni

(a) (b)

y

z

(c)

y

z

y

z

Figura 1.5: Vincoli esterni semplici. (a) 'carrello' (o 'appoggio scorrevole') o pendolino

in direzione y: $v_y = 0$; (b) 'carrello' (o 'appoggio scorrevole') o pendolino in direzione

z: $v_z = 0$; (c) 'doppio doppio pendolo': $\dot{\theta} = 0$.

(a) (b)

y

z

y (c)

z

y

z

Figura 1.6: Vincoli esterni doppi. (a) 'appoggio' o 'cerniera esterna': $\dot{v}_z = 0$; (b) 'doppio pendolo' in direzione z: $\dot{v}_z = 0$ e $\dot{\omega} = 0$; (c) 'doppio pendolo' in direzione y:

$\dot{v}_y = 0$ e $\dot{\omega} = 0$.

Figura 1.7: Vincolo esterno triplo (incastro): $\dot{v} = 0$ e $\dot{\omega} = 0$.

Un 'appoggio fisso' (o equivalentemente una 'cerniera esterna') è un vincolo 'doppio'

che impedisce entrambe le componenti di velocità di traslazione.

Analogamente

un 'doppio pendolo' (o equivalentemente un 'pattino') impedisce sia la velocità di rotazione

Alfano - Travature piane 7

che quella di traslazione nella direzione dei pendoli (ortogonale ai piatti del

pattino).

L'incastro' rappresenta invece un vincolo triplo e blocca sia la velocità di rotazione

che entrambe le componenti della velocità di traslazione.

È ovvio che un vincolo doppio può sempre ottenersi mediante la composizione di

due vincoli semplici, e che l'incastro può ottenersi mediante la composizione di tre

vincoli semplici (ad esempio due carrelli ed un doppio pendolo).

Da un punto di vista statico la retta d'azione della reazione di un carrello passa per

il punto di appoggio ed è ortogonale al piano di scorrimento del carrello.

Equivalentemente

la retta d'azione della reazione di un pendolino coincide con l'asse del pendolino stesso. Un doppio pendolo reagisce invece solo con una coppia, ed includendo

nell'insieme dei punti del piano anche i punti impropri la sua retta d'azione coincide con

la retta impropria, luogo dei punti impropri. Si deduce da quanto detto che la retta d'azione

della reazione di un vincolo semplice è sempre univocamente determinata (figura

1.8).

La retta d'azione della reazione di una cerniera esterna (di un appoggio fisso) è invece

una delle infinite rette della stella di rette passanti per il baricentro della cerniera (per il

punto di appoggio). Pertanto la reazione può sempre scomporsi nella somma di due

componenti secondo due direzioni non parallele. La retta d'azione di un doppio pendolo

(di un pattino) è una delle infinite rette parallele alla direzione dei pendoli (ortogonale ai

piatti del pattino). La reazione può allora scomporsi nella somma di una forza avente

la direzione dei pendoli e di una coppia. Quindi un vincolo esterno doppio non definisce

univocamente la retta d'azione della reazione ma impone ad essa di passare per un punto del piano. Tale punto è proprio nel caso della cerniera esterna (di un appoggio fisso), ed improprio nel caso del doppio pendolo (del pattino) (figura 1.9). La reazione di un incastro (vincolo triplo) può invece avere come retta d'azione una qualsiasi retta del piano. La reazione può allora decomporre nella somma di due forze in direzioni non parallele tra loro e di una coppia (figura 1.10).

R R M

Figura 1.8: Reazioni esplicate dai vincoli semplici.

1.1.4 Vincoli interni

Un vincolo interno tra due punti A e B della travatura definisce a priori il valore della differenza tra i valori assunti in A e in B da uno o più parametri cinematici. Tutto quanto detto per i vincoli esterni vale anche per quelli interni se si sostituisce, dal punto di vista cinematico, al concetto di moto assoluto quello di moto relativo tra i punti A e B e, dal punto di vista statico, al concetto di reazione vincolare quello di interazione tra i punti

8 G. Alfano - Appunti di Scienza delle Costruzioni

-
-
-
-

"!##\$% &

& (

)

Figura 1.9: Reazioni esplicate dai vincoli doppi.

-
-

Figura 1.10: Reazioni esplicate dall'incastro.

A e B. Tale interazione rispetta il principio di azione e reazione per cui essa è costituita da una reazione di A su B e di una uguale in modulo e contraria in verso di B su A.

Vincoli interni semplici tra due punti A e B sono il 'pendolino interno', che impedisce

la velocità relativa tra A e B, v'_{p} in direzione parallela a quella del suo asse p, ed il

'doppio doppio pendolo interno', che impedisce la velocità di rotazione relativa $\dot{\theta}_{AB}$.

Vincoli interni doppi sono invece la 'cerniera', che impedisce la velocità relativa v'_{AB} , ovvero entrambe le sue due componenti secondo due qualsiasi direzioni non

parallele, ed il 'doppio pendolo interno' (o equivalentemente 'pattino interno'), che impedisce sia la velocità relativa in direzione parallela agli assi del doppio pendolo (ortogonale ai piatti del pattino) che la velocità di rotazione relativa $\dot{\theta}_{AB}$. Il vincolo triplo interno è il vincolo di continuità cinematica. Esso impedisce sia le due componenti della velocità relativa, ovvero il vettore v'_{AB} , sia la velocità di rotazione relativa $\dot{\theta}_{AB}$. Come per i vincoli esterni è ovvio che un vincolo interno doppio può sempre ottenersi mediante la composizione di due vincoli interni semplici, e che il vincolo di continuità può ottenersi mediante la composizione di tre vincoli interni semplici. Da un punto di vista statico l'interazione trasmessa da un pendolino è costituita da due reazioni uguali e contrarie, R_{AB} di A su B e R_{BA} di B su A, aventi come retta d'azione l'asse p del pendolino, mentre quella trasmessa dal doppio pendolo interno è data da due coppie reattive uguali e contrarie M_{AB} di A su B e M_{BA} di B su A. Se si includono i punti impropri nel piano la retta d'azione di una coppia è la retta impropria, ovvero luogo di tutti i punti impropri del piano. Pertanto, analogamente a quanto accade per i vincoli esterni semplici, i vincoli interni semplici definiscono univocamente la retta d'azione delle due reazioni mutue trasmesse dal vincolo (figura 1.11).

G. Alfano - Travature piane 9

□

□

Figura 1.11: Vincoli interni semplici.

□

□

-\$&%')(*!.*(* 0-"1!2\$#\$&%')(*"!+,\$

3

Figura 1.12: Vincoli interni doppi.

□

Figura 1.13: Vincolo interno interno triplo.

L'interazione trasmessa dalla cerniera è costituita da due reazioni uguali e contrarie

aventi come retta d'azione una qualsiasi della stella di rette passanti per il centro della

cerniera. Ognuna di tali reazioni può dunque decomporre in due componenti secondo,

ad esempio, le direzioni y e z degli assi in figura. L'interazione trasmessa dal doppio

pendolo interno è costituita da due reazioni uguali e contrarie nella direzione degli assi

del doppio pendolo e da due coppie uguali e contrarie. Componendo insieme tali reazioni,

ognuna delle reazioni mutue trasmesse dal vincolo può avere come risultante una

qualsiasi forza agente su una qualsiasi retta parallela agli assi del doppio pendolo. In

definitiva, un vincolo interno doppio non definisce univocamente la retta d'azione dell'interazione

ma impone ad essa di passare per un punto del piano. Tale punto è proprio

10 G. Alfano - Appunti di Scienza delle Costruzioni

nel caso della cerniera, ed improprio nel caso del doppio pendolo (figura 1.12).

L'interazione trasmessa dal vincolo interno triplo può avere come retta d'azione una

qualsiasi retta d'azione nel piano. Ognuna delle due reazioni, uguali e contrarie fra loro,

che costituiscono tale interazione può dunque decomporre nella somma di due forze non

parallele passanti per il punto di continuità e di una coppia (figura 1.13). E' utile sottolineare

che un vincolo interno triplo esiste in ogni punto di continuità della trave e che le

interazioni vengono spesso decomposte nelle due componenti rispettivamente parallela e ortogonale all'asse ed in una coppia. Tali componenti costituiscono le 'caratteristiche della sollecitazione interna' e verranno ampiamente studiate nel seguito.

1.2 Strutture labili, iperstatiche e isostatiche

Si consideri una travatura costituita da t tratti continui. Ognuno dei tratti sia costituito da uno o più elementi trave assemblati insieme e si faccia l'ipotesi che la linea d'asse

di ogni tratto, intesa come l'unione degli assi delle travi che lo costituiscono, sia monoconnessa

(figura 1.14). Si esclude dunque in questa fase il caso di tratti che presentino maglie chiuse continue, cioè tratti pluriconnessi (figura 1.15).

Figura 1.14: Esempi di tratti monoconnessi.

Figura 1.15: Esempi di tratti pluriconnessi, cioè caratterizzati dalla presenza di maglie chiuse continue.

In assenza di vincoli esterni ed interni ognuno dei tratti è caratterizzato da 3 possibili

atti di moto rigido indipendenti e si dice dunque che ha 3 gradi di libertà nel piano.

Dunque il numero di gradi di libertà della struttura, ovvero di possibili atti di moto

indipendenti per i quali l'atto di moto di ogni tratto continuo è rigido, è pari a $3t$. Tale

numero è anche detto 'grado di labilità' ed indicato con l .

Si immagini ora di aggiungere un numero s di vincoli semplici, che possono essere

in generale interni o esterni. In tale conteggio un vincolo semplice vale 1, uno doppio

vale 2 ed uno triplo vale 3, e questo sia per i vincoli interni che per quelli esterni. Ogni

vincolo semplice, da solo, elimina un grado di libertà della struttura. Se si aggiungono

G. Alfano - Travature piane 11

però i vincoli in sequenza, mentre il primo sicuramente eliminerà un grado di libertà,

a partire dal secondo ognuno di vincoli aggiunti può eliminare o può non eliminare un

ulteriore grado di libertà. Nel primo caso il vincolo si definisce 'efficace' mentre nel

secondo esso è 'inefficace'. Si indichi con s_{ef} il numero dei vincoli efficaci e con s_{in}

quello dei vincoli inefficaci. Si può dimostrare che i due numeri s_{ef} ed s_{in} sono indipendenti

dalla sequenza con cui si inseriscono i vincoli, sebbene la caratterizzazione di ciascuno di essi come efficace o inefficace dipenda invece da tale sequenza. Il numero di

vincoli inefficaci s_{in} è tipicamente indicato come 'grado di iperstaticità' della struttura

ed indicato con i . Quando $i > 0$ una travatura viene detta 'staticamente indeterminata' mentre quando $i = 0$ essa è detta 'staticamente determinata'. Il motivo di tale notazione verrà chiarito dal seguito.

Il grado di labilità della struttura vincolata risulta pari a $l = 3t - s_{ef}$, ed essendo $s_{ef} + s_{in} = s$, si ottiene: $l = 3t - s + s_{in}$, ovvero:

$$3t - s = l - i \quad (1.5)$$

Tale relazione è di grande importanza per lo studio dell'equilibrio di una travatura ed

in base ad essa le travature sono classificabili nei seguenti quattro gruppi:

- $l > 0$ e $i > 0$: travature labilis e staticamente indeterminate⁶;
- $l > 0$ e $i = 0$: travature labili e staticamente determinate;
- $l = 0$ e $i > 0$: travature non labili e staticamente indeterminate o più semplicemente travature 'iperstatiche';
- $l = 0$ e $i = 0$: travature non labili e staticamente determinate o più semplicemente travature 'isostatiche'.

C₁

C₁₂

C₂

(a)

I

II

C

(b)

A

B

D

Figura 1.16: Travature labili e staticamente indeterminate ($l = 1$ e $i = 1$).

⁴L'efficacia va intesa in questo contesto solamente quale capacità di eliminare un grado di libertà.

Vincoli che con tale criterio vengono definiti qui inefficaci possono essere di grande importanza per il comportamento strutturale.

⁵Una struttura labile con grado di labilità pari ad l si dice anche ' l volte labile'.

⁶Una struttura staticamente indeterminata con grado di iperstaticità pari ad i si dice anche ' i volte iperstatica'.

12 G. Alfano - Appunti di Scienza delle Costruzioni

C₁

C₁₂

C₂

C

I

II

A

B

D

(a)

(b)

Figura 1.17: Travature labili e staticamente determinate ($l = 1$ e $i = 0$).

A D

B

E
I G
II
III
 p
V8

(a)

(b)

Figura 1.18: Travature iperstatiche ($I = 0$ e $i = 1$).

A D

B

E

I G

II

III

p

p'

(a)

(b)

Figura 1.19: Travature isostatiche ($I = 0$ e $i = 0$).

Per identificare una travatura bisogna contare il numero dei tratti t ed il numero dei

vincoli semplici s . Conviene quindi determinare il grado di labilità I mediante la determinazione

dei possibili centri di rotazione con i metodi noti dalla Meccanica Razionale, e ricavare quindi i dalla relazione (1.5).

Da un punto di vista statico, il numero di reazioni vincolari incognite è pari ad s , mentre il numero di equazioni di equilibrio linearmente indipendenti che possono scriversi

è pari a $3t$. Infatti, come si vedrà meglio in seguito, per ognuno dei tratti possono

G. Alfano - Travature piane 13

scriversi le equazioni cardinali della statica, per un totale di $3t$ equazioni. Ogni altra

equazione di equilibrio che si scrivesse, considerando ad esempio l'equilibrio di più

tratti insieme, risulterebbe dipendente dalle prime $3t$ equazioni.

Si consideri ad esempio le travature delle figure 1.16-1.19. Per la trave di figura 1.16.a si ha $3t - s = 0$. Ai fini della valutazione di I si osserva che ognuno dei tre carrelli

impone, da solo, che l'eventuale centro di rotazione sia sulla retta verticale passante

per il carrello stesso. Tali tre condizioni sono tra loro compatibili con la posizione

del centro nel punto improprio verticale, corrispondente ad una traslazione orizzontale.

Quindi esistono atti di moto rigido consentiti dai vincoli ed il loro centro di rotazione è

univocamente definito. Pertanto tali atti di moto sono univocamente definiti da un solo

parametro scalare (appunto la velocità di traslazione) e dunque $I = 1$.

Per la struttura di figura 1.16.b si ha ancora che $3t - s = 0$. Inoltre la cerniera in A

impone che l'eventuale centro C_1 del tratto I sia A. La cerniera in B impone che

l'eventuale

centro relativo C_{12} tra i due tratti I e II sia B. Il doppio pendolo in D impone all'eventuale centro di rotazione C_2 di coincidere con il punto improprio verticale. Le

tre condizioni sono tra loro compatibili e, anche in questo caso, determinano univocamente

le posizioni di tutti i centri assoluti e relativi. Pertanto anche in questo caso l'atto

di moto è definito da un solo parametro, ad esempio dalla velocità di rotazione del tratto

I intorno ad A.

Ragionando come si è fatto per la trave di figura 1.16.a si riconosce immediatamente

che la trave di figura 1.17.a è una volta labile. Essendo $3t - s = 1$, risulterà $i = 0$ per

cui essa è staticamente determinata.

Per la travatura di figura 1.17.b i vincoli in A e B impongono ai centri C_1 e C_{12} di trovarsi rispettivamente in A ed in B. Il vincolo in D impone invece al centro C_2 di

trovarsi sulla retta verticale per D. Le condizioni sono tra loro compatibili con una ed

una sola disposizione dei tre centri di rotazione, ovvero quella riportata in figura, per

cui $i = 1$. Essendo $3t - s = 1$ anche in questo caso risulterà $i = 0$ e la struttura è

staticamente determinata.

Quanto alle strutture riportate nelle figure 1.18 e 1.19, mentre si riconosce facilmente

che $i = 0$ per quelle nelle figure 1.18.a e 1.19.a, per le altre due travature si procede

come segue. Per la travatura di figura 1.18.b si può operare sia considerando la struttura

come costituita da 3 tratti, sia vedendola formata dai due tratti I e II e considerando

quindi il tratto III come un pendolo che costituisce un ulteriore vincolo semplice tra i

tratti I e II. Utilizzando il primo approccio i vincoli impongono ai centri di rotazione

le condizioni riportate nella tabella 1.1.

Posizione vincolo A B D E G

Condizione $C_1 = A$ $C_{12} = B$ $C_2 = V_1$ $C_{13} = E$ $C_{23} = G$

Tabella 1.1: Condizioni sui centri imposte dai vincoli nella struttura di figura 1.18.b.

Le condizioni sui centri relativi non sono compatibili fra loro perché per avere un

⁷Si usa il termine 'eventuale' perché il fatto che il centro di rotazione esista o meno va determinato

valutando se le condizioni imposte dai vincoli siano compatibili tra loro, come si vedrà dagli esempi

seguenti.

14 G. Alfano - Appunti di Scienza delle Costruzioni

cinematismo C_{12} , C_{23} e C_{13} dovrebbero essere allineati. Pertanto si può dire che

non può
esistere un moto relativo tra I e II e dunque in tal caso un atto di moto sarebbe
possibile
solamente avendo C_1 coincidente con C_2 , cosa evidentemente non compatibile
con le
altre due condizioni della tabella 1.1. Pertanto la struttura risulta non labile.

Essendo

poi $3t - s = -1$ essa risulta una volta iperstatica.

Ragionando con il secondo approccio, che peraltro è consigliabile, il pendolo EG
viene considerato quale un ulteriore vincolo tra i tratti I e II, che impone ai due
punti

E di I e G di II di avere, in un moto rigido, la stessa componente di velocità di
traslazione

nella direzione dell'asse p del pendolo. Con questo approccio i vincoli
impongono

ai centri di rotazione le condizioni riportate nella tabella 1.2. Si riconosce dalla
tabella

Posizione vincolo A B D tratto III

Condizione $C_1 = A$ $C_{12} = B$ $C_2 = V1$ $C_{12} 2 p$

Tabella 1.2: Condizioni sui centri imposte dai vincoli nella struttura di figura
1.18.b

considerando il tratto III come un vincolo tra I e II.

che la condizione che il centro C_{12} sia allineato con E e G, ricavata in
precedenza come

condizione di allineamento dei centri relativi, viene qui ottenuta direttamente
come condizione

imposta dal tratto III visto come pendolo. Pertanto le due condizioni imposte
dai vincoli sul centro C_{12} sono fra loro incompatibili e, continuando il
ragionamento

come si è fatto in precedenza, si arriva allo stesso risultato.

I vincoli della struttura in figura 1.19.b impongono ai centri le condizioni
riportate

nella tabella 1.3. Anche in questo caso le condizioni imposte sul centro relativo
 C_{12} dal

Posizione vincolo A B D tratto III

Condizione $C_1 = A$ $C_{12} = B$ $C_2 2 p_0$ $C_{12} 2 p$

Tabella 1.3: Condizioni sui centri imposte dai vincoli nella struttura di figura
1.19.b

considerando il tratto III come un vincolo tra I e II.

vincolo in B e dal tratto III sono incompatibili fra loro. Quindi non può esserci un
moto relativo tra I e II, per cui in un eventuale moto rigido i tratti I e II
dovrebbero

muoversi come un unico tratto rigido, e quindi dovrebbe aversi $C_1 = C_2$. Ciò
però è

incompatibile con le condizioni imposte dai vincoli in A ed in D, come si vede
dalla

tabella, in quanto il centro $C_1 = C_2$ non può contemporaneamente trovarsi in A
e sulla

retta p_0 .

1.2.1 Il problema dell'equilibrio

La determinazione delle reazioni vincolari esterne ed interne costituisce il

‘problema dell’equilibrio’. Il teorema di Lagrange, noto dalla Meccanica Razionale, afferma che una struttura soggetta ad un sistema di forze attive è in equilibrio se e solo se esso compie potenza virtuale nulla per ogni atto di moto rigido consentito dai vincoli.

G. Alfano - Travature piane 15

Se $l = 0$ evidentemente non esistono possibili moti rigidi della travatura consentiti dai vincoli, e dunque l’equilibrio della travatura è sicuramente assicurato. Pertanto,

qualsiasi sia il sistema di forze esterne agente sulla travatura il sistema di $3t$ equazioni ammette sicuramente soluzione. Si possono distinguere dunque i due casi in cui $i = 0$ e $i > 0$.

Nel primo caso ($i = 0$) la travatura è isostatica. Essendo $3t - s = 0$ il numero di equazioni è pari a quello delle incognite. Pertanto il fatto che il problema ammette sempre soluzione qualsiasi sia il sistema delle forze esterne agente equivale a dire che il sistema di equazioni di equilibrio ammette soluzione qualsiasi sia il vettore dei termini noti. Ciò avviene se e solo se il determinante della matrice dei coefficienti del sistema è non nullo e questo, a sua volta, assicura anche l’unicità della soluzione. Pertanto si ricava il seguente risultato fondamentale:

Teorema 1 Il problema dell’equilibrio per una travatura isostatica ammette sempre una ed una sola soluzione.

Nel caso in cui $i > 0$ la travatura è iperstatica. Essendo $s - 3t = i > 0$ il numero delle incognite è maggiore del numero di equazioni. Poiché si è visto che il problema ammette sempre soluzione, ciò significa che la matrice dei coefficienti del sistema è di

rango massimo, pari a $3t$, e dunque esistono 1_i soluzioni. Pertanto si ricava il seguente altro risultato fondamentale:

Teorema 2 Il problema dell’equilibrio per una travatura iperstatica ammette sempre 1_i soluzioni, avendo indicato con i il grado di iperstaticità.

Si deduce che per ricavare il valore delle reazioni vincolari per una travatura iperstatica

non basta risolvere il problema dell’equilibrio. Si vedrà in seguito che in tal caso, di estremo interesse per le applicazioni in quanto la maggior parte delle travature

sono iperstatiche, per ricavare le reazioni vincolari sarà necessario tenere conto delle

caratteristiche di deformabilità del materiale e quindi degli aspetti cinematici.

Nel caso di travature labili il problema dell’equilibrio può ammettere o non ammettere

soluzione a seconda del sistema di forze attive agente. Infatti, se il sistema di forze attive compie potenza virtuale non nulla per uno dei possibili atti di moto rigido è noto dal teorema di Lagrange che l'equilibrio non può sussistere. Se invece il sistema di forze attive compie potenza virtuale nulla per qualsiasi atto di moto rigido consentito dai vincoli allora, sempre dal teorema di Lagrange, sappiamo che l'equilibrio sussiste. In tal caso la soluzione è unica se $i = 0$ mentre ci saranno 1_i soluzioni se $i > 0$. Sussistono dunque i seguenti due risultati.

Teorema 3 Se per una travatura labile ($I > 0$) e staticamente determinata ($i = 0$) il problema dell'equilibrio ammette soluzione allora tale soluzione è anche unica.

Teorema 4 Se per una travatura labile ($I > 0$) e staticamente indeterminata ($i > 0$) il problema dell'equilibrio ammette soluzione allora esistono 1_i soluzioni.

16 G. Alfano - Appunti di Scienza delle Costruzioni

Di tali risultati non si fornisce una dimostrazione ma si analizzeranno alcuni esempi nella prossima sezione.

1.3 Calcolo delle reazioni vincolari

1.3.1 Travi ad un solo tratto

Si consideri la trave di figura 1.20. Essendo essa isostatica siamo sicuri che la soluzione

del problema dell'equilibrio esiste ed è unica. Per quanto il problema in esame sia

di semplicissima soluzione si vuole comunque fin da ora sottolineare la sequenza di

operazioni da compiere per la soluzione di qualsiasi problema di statica:

- Determinare il corpo C per il quale si vuole imporre l'equilibrio.
- Determinare il sistema di forze F agente su tale corpo. Esso sarà costituito dalla

somma del sistema di tutte le forze e coppie esterne (note) direttamente agenti su

C, detto sistema di forze attive F_a , e del sistema di tutte le reazioni (incognite) che il mondo esterno a C esplica su C, detto sistema delle forze reattive F_r .

- Scrittura e soluzione delle equazioni cardinali della statica per il sistema di forze

$$F = F_a + F_r.$$

F

α

z

y

R_{yA}

R_{zA}

R_B

$L/2 \quad L/2$

A B

Figura 1.20: Trave appoggiata con una forza in mezzeria.

Nel caso in esame il corpo per il quale s'impone l'equilibrio è tutta la trave AB.

Su

di essa agiscono la forza F in mezzeria e le reazioni incognite in A e B. Le equazioni

cardinali della statica si scrivono imponendo l'equilibrio alla traslazione in direzione y

e z e quello alla rotazione intorno ad A:

\sum

$\sum \rightarrow \leftarrow \rightarrow \rightarrow :$

$$R_{yA} + R_B + F \cos \alpha = 0$$

$$R_{zA} + F \sin \alpha = 0$$

$$-R_B L - F \cos \alpha$$

L

2

$= 0$

(1.6)

G. Alfano - Travature piane 17

Esse forniscono la soluzione:

$$R_{zA} = -F \sin \alpha \quad R_{yA} = -$$

$$F \cos \alpha$$

2

$$R_B = -$$

$$F \cos \alpha$$

2

Il segno negativo di tutti i termini vuol dire che i versi ipotizzati inizialmente in figura

1.20 non sono quelli giusti. In figura 1.21 si sono riportate le reazioni con il loro verso

ed il loro modulo.

Si noti che ognuna delle due reazioni verticali in A ed in B può essere direttamente

determinata con una sola equazione imponendo, rispettivamente, l'equilibrio alla

rotazione intorno a B e ad A.

F

α

z

y

$L/2 \quad L/2$

A B

$$F \sin \alpha$$

$$F \cos \alpha$$

2

$$\alpha F \cos \alpha$$

2

α

Figura 1.21: Trave appoggiata con una forza in mezzzeria.

Si consideri ora la trave di figura 1.22. Si ricava immediatamente, imponendo l'equilibrio

alla traslazione orizzontale, che la reazione orizzontale in A è nulla. Assumendo positive le reazioni verticali in A e B se dirette verso l'alto, ed eliminando per semplicità

di notazione il pedice y, le due equazioni di equilibrio alla rotazione intorno ad A

ed a B si scrivono come segue:

$$R_B (a + b) - F a = 0 - R_A (a + b) + F b = 0$$

e forniscono i valori:

$$R_A =$$

b

$$a + b$$

$$F R_B =$$

a

$$a + b$$

F

Si riconosce dunque che il rapporto tra i moduli delle due reazioni è inversamente

proporzionale a quello tra le relative distanze dalla forza verticale in mezzzeria.

Si consideri ora la trave 1 volta iperstatica di figura 1.23 e si ponga pari ad X il valore

della reazione verticale in B, assunto positivo se la reazione è verso il basso.

Imponendo

l'equilibrio di tutta la trave AC soggetta alla forza F ed alle reazioni vincolari assunte

positive se dirette come in figura si ricava il valore di queste ultime (i calcoli si lasciano

come esercizio):

$$R_{zA} = F \sin \quad R_{yA} =$$

$$F \cos$$

4

+

X

2

$$R_B = X R_C =$$

$$3 F \cos$$

4

+

X

2

(1.7)

18 G. Alfano - Appunti di Scienza delle Costruzioni

F

z

y

$R_A R_B$

a b

A B

$$L = a + b$$

Figura 1.22: Trave appoggiata con una forza verticale.

F

α

z

y

R_{yA}

R_{zA}

R_C

L L/2

A C

L/2

$$R_B = X$$

B

Figura 1.23: Trave iperstatica.

Dunque, qualsiasi sia il valore di X le (1.7) sono soluzione del problema dell'equilibrio,

che dunque ammette 1₁ soluzioni coerentemente con il fatto che la struttura è una

volta iperstatica.

La trave di figura 1.24 è invece labile e staticamente determinata. Dunque il problema

dell'equilibrio non ammette sempre soluzione e ciò si evince immediatamente in

questo semplice esempio perché chiaramente non può sussistere l'equilibrio per valori

di $\sin \alpha = 0$, ovvero quando la forza F non è verticale e quindi ha una componente

orizzontale non nulla. Per $\alpha = 0$ la soluzione del problema dell'equilibrio esiste ed è

unica, coerentemente con il fatto che $i = l + s - 3t = 0$ e con il teorema 3, e fornisce

le reazioni:

$$R_A =$$

F

2

$$R_B =$$

F

2

ovvero le reazioni di una trave appoggiata con una forza verticale in mezzaria. La trave di figura 1.25 è invece labile e staticamente indeterminata in quanto

$3t - s = 0$ e $l = 1$ essendo possibile un atto di moto di traslazione orizzontale. Anche

in questo caso dunque l'equilibrio non è sempre possibile, ed infatti la soluzione esiste

solamente per $\sin \alpha = 0$, ovvero quando la forza è verticale. In tal caso, inoltre, essendo

G. Alfano - Traviature piane 19

F

α

z

y

L/2 L/2

A B

R_A

R_B

Figura 1.24: Trave labile e staticamente determinata.

$i = I + s - 3t = 1$, la soluzione non è unica e fornisce i seguenti valori delle reazioni vincolari:

R_A =

F

4

+

X

2

R_B = X R_C =

3

4

F +

X

2

(1.8)

F

α

z

y

R_A R_C

L L/2

A C

L/2

R_B = X

B

Figura 1.25: Trave labile e staticamente indeterminata.

Si è dunque verificato che la soluzione del problema dell'equilibrio quando esiste

(sempre se $I = 0$, solo per alcuni sistemi di forze esterne quando $I > 0$), non è unica se

$i > 0$. Questo vuol dire che per determinare le reazioni vincolari non basta solamente

considerare il problema dell'equilibrio, ma bisognerà anche esaminare altri aspetti quali

la deformabilità della struttura. In altre parole, per la determinazione delle reazioni

vincolari, e anche delle caratteristiche della sollecitazione interna come si

vedrà in seguito,
bisognerà fare delle ipotesi sul comportamento del materiale e sulla geometria delle sezioni della trave.

Viceversa, per strutture staticamente determinate la soluzione quando esiste è unica.

Dunque le reazioni vincolari (così come le caratteristiche della sollecitazione interna)

non dipendono dal materiale e dalla geometria delle sezioni della travatura. In realtà

20 G. Alfano - Appunti di Scienza delle Costruzioni

quest'ultima affermazione è vera entro i limiti in cui è accettabile l'ipotesi di piccoli

spostamenti, cioè che gli spostamenti siano sufficientemente piccoli da poter confondere

la configurazione deformata con quella indeformata, in modo da scrivere le equazioni

di equilibrio con riferimento a quest'ultima piuttosto che alla configurazione deformata,

come sarebbe invece a rigore richiesto.

1.3.2 Travi soggette ad un carico trasversale distribuito

Le forze concentrate rappresentano una schematizzazione matematica che risulta efficace

quando un carico esterno agisce su una porzione relativamente limitata della trave.

In molti casi il carico esterno agisce su una porzione estesa e va dunque schematizzato

come un carico distribuito.

Facendo riferimento alla trave di figura 1.26, un carico distribuito in direzione y può

essere definito con una funzione scalare q definita nell'intervallo $[0, L]$.

Sull'intorno

elementare di ampiezza dz dell'ascissa z agisce dunque una risultante verticale per z di

modulo $dF = q(z) dz$, positiva se diretta verso il basso.

z

y

R_{yA}

R_{zA}

R_B

L

$A B$

$$dF = q(z) dz$$

z

Figura 1.26: Trave appoggiata soggetta ad un carico distribuito.

Si consideri ora l'equilibrio di tutta la trave, che è soggetta al carico q ed alle reazioni

vincolari, e si scrivano le equazioni cardinali della statica:

$\sum F_x = 0$

$\sum F_y = 0$

$\sum M_A = 0$

$$R_{yA} + R_B + Z_0$$

L

$$q(z) dz = 0$$

$$-R_B L - Z_0$$

L

$$q(z) z dz = 0$$

$$(1.9)$$

G. Alfano - Travature piane 21

Per scrivere le (1.9) si è considerato che la sommatoria di tutti i contributi elementari

$dF = q(z) dz$ fornisce l'integrale del carico tra 0 ed L. Inoltre, nello scrivere l'equilibrio

alla traslazione intorno ad A, ovvero la terza delle (1.9), si è tenuto conto che il momento risultante di ciascuna delle forze elementari dF all'ascissa z è pari a

$$-dF z = -q(z) z dz.$$

Si indichi con Q la risultante del carico q in $[0, L]$:

$$Q = Z_0$$

L

$$q(z) dz \quad (1.10)$$

Facendo l'ipotesi che $Q \neq 0$ e ponendo:

$$z = Z_0$$

L

$$q(z) z dz$$

$$Z_0$$

L

$$q(z) dz$$

$$=$$

$$1$$

$$Q Z_0$$

L

$$q(z) z dz \quad (1.11)$$

le (1.9) si scrivono come segue:

$$8 >$$

$$><>>:$$

$$R_{zA} = 0$$

$$R_{yA} + R_B + Q = 0$$

$$-R_B L - QZ = 0$$

$$(1.12)$$

Le (1.12) sono le equazioni che si scriverebbero se al posto del carico distribuito q

si sostituisse la sua risultante Q all'ascissa z . Tale ascissa rappresenta l'intersezione

dell'asse z con l'asse centrale del carico q .

Pertanto, ai fini della determinazione delle reazioni vincolari si può sostituire al carico

q la sua risultante Q disposta sull'ascissa z . Infatti essa costituisce un sistema (costituito da un'unica forza) staticamente equivalente al carico distribuito in quanto

ha la stessa risultante e lo stesso momento risultante rispetto ad un polo qualsiasi. Per

chiarire meglio quest'ultima cosa basta riscrivere la (1.10)₂ come segue:

$$Qz = Z_0$$

L

$$Q = \int_0^L q(z) z \, dz \quad (1.13)$$

in cui il primo membro rappresenta il momento risultante rispetto ad A della risultante

Q disposta in z, mentre il secondo membro è il momento risultante rispetto ad A di tutto

il carico, avendo in entrambi i casi assunto positivi i momenti orari per semplicità. Per la

definizione di z dunque tali due momenti sono uguali. Si sottolinea ancora che, essendo

Q per definizione uguale alla risultante del carico, allora se i due momenti risultanti

rispetto ad A a primo e a secondo membro della (1.13) sono uguali allora lo sono anche

i momenti risultanti rispetto a qualsiasi altro polo.

Tale circostanza è in realtà un caso particolare del seguente risultato di carattere

generale.

22 G. Alfano - Appunti di Scienza delle Costruzioni

Teorema 5 La soluzione delle equazioni cardinali della statica per un corpo soggetto

ad un sistema di forze attive F_a e ad un sistema di forze reattive F_r non cambia se si

sostituisce F_a con un sistema $\sim F_a$ ad esso staticamente equivalente, ovvero caratterizzato

dalla stessa risultante e dallo stesso momento risultante rispetto ad un polo qualsiasi.

Si consideri ad esempio la trave di figura 1.27 soggetta ad un carico uniformemente

distribuito.

z

y

R_{yA}

R_{zA}

R_B

L

A B

$$q(z) = q$$

Figura 1.27: Trave appoggiata soggetta ad un carico uniformemente distribuito.

Dalle relazioni (1.10) si ottiene:

$$Q = \int_0^L q \, dz$$

$$Q = q \int_0^L dz = qL$$

$$Q = qL$$

$$Q = qL$$

$$Q = qL$$

$$Q = qL$$

$$Q = qL$$

L

$$\int_0^L q z dz =$$

L

2

$$(1.14)$$

e dunque il calcolo delle reazioni può effettuarsi con riferimento allo schema di figura

1.28, in cui al carico distribuito (lasciato in grigio) si è sostituita la risultante di modulo

$q L$ disposta in mezzeria. Si ottiene dunque:

$$R_{zA} = 0 \quad R_{yA} =$$

$\frac{q L}{2}$

2

$$R_B =$$

$\frac{q L}{2}$

2

Analogamente si ricavano le soluzioni dei casi delle figure 1.29 e 1.30, la cui determinazione

si lascia come esercizio.

Nel caso in cui la risultante del carico Q è nulla il carico è staticamente equivalente

ad una coppia il cui valore può ricavarsi, tra gli altri modi, considerando separatamente

le risultanti delle parti positive e negative del carico e componendole poi insieme, come

si è fatto nell'esempio di figura 1.31.

1.3.3 Travature a più tratti

Si consideri la trave isostatica di figura 1.32. Per il calcolo delle reazioni vincolari si

possono scrivere le equazioni cardinali della statica per ognuno dei due tratti continui,

G. Alfano - Travature piane 23

z

y

L/2

A B

$$q(z) = q$$

L/2

$$Q = \frac{q L}{2}$$

$\frac{q L}{2}$

2

$$\frac{q L}{2}$$

2

Figura 1.28: Reazioni per la trave appoggiata soggetta ad un carico uniformemente distribuito.

z

y

L

A B

$$q(z) = q^* z$$

L q*

z
y
L
3
AB
 $Q = q^* L$
2
2
3
L
 $q^* L$
3
 $q^* L$
6

Figura 1.29: Trave appoggiata soggetta ad un carico distribuito 'triangolare' crescente.

z
y
L
AB
 $q(z) = q^* (1 - z)$
L
 q^*
z
y
L
3
AB
 $Q = q^* L$
2
2
3
L
 $q^* L$
3
 $q^* L$
6

Figura 1.30: Trave appoggiata soggetta ad un carico distribuito 'triangolare' decrescente.

ovvero per i tratti AC e CD. Tale procedura deriva da un postulato fondamentale che si

enuncia come segue e prende il nome di 'principio di sezionamento':

Postulato 1 Un corpo C è in equilibrio se e solo se ogni parte C_0 C è in equilibrio se soggetta al sistema di forze attive F_a direttamente agente su C_0 ed al sistema di forze

24 G. Alfano - Appunti di Scienza delle Costruzioni

z
y
AB
q
z
y
L
4
AB
 $q L$
4
L
4
L
4
L
4
 $q L$
4
 $q L$

2
 q L
 2
 L
 2
 L
 2
 q

Figura 1.31: Trave appoggiata soggetta ad un carico distribuito a risultante nulla.

reattive F_r che il mondo esterno a C_0 esplica su C_0 . Il sistema F_r è in generale a sua

volta costituito dalla somma delle reazioni dei vincoli esterni direttamente applicati su

C_0 e dalle reazioni interne che $C - C_0$ esplica su C_0 .

Il principio di sezionamento va utilizzato più volte, in generale, al fine di assicurare

che ciascuna parte $C_0 - C$ sia in equilibrio. In particolare, per determinare le reazioni

vincolari esterne ed interne, bisogna assumere di volta in volta C_0 coincidente con un

tratto, oppure con l'insieme di più tratti. Pertanto il procedimento già descritto nella

sezione 1.3.1 prevede di ripetere più volte la seguente sequenza di operazioni:

- Determinare il corpo C_0 per il quale si vuole imporre l'equilibrio.
- Determinare il sistema di forze F agente su tale corpo. Esso sarà costituito dalla

somma del sistema di tutte le forze e coppie esterne (note) direttamente agenti su

C , detto sistema di forze attive F_a , e del sistema di tutte le reazioni (incognite) che il mondo esterno a C_0 esplica su C_0 , detto sistema delle forze reattive F_r .

- Scrittura e soluzione delle equazioni cardinali della statica per il sistema di forze

$$F = F_a + F_r.$$

z
 y
 L L/2
 A C
 L/2
 B
 F
 L
 D

Figura 1.32: Travatura composta da due tratti.

Si consideri allora l'equilibrio del tratto AC. Essendo chiaro il soggetto da equilibrare

bisogna ora determinare il sistema di forze agente su AC. Non essendoci forze attive bisognerà solo considerare le reazioni vincolari. D'altra parte, per isolare il tratto

AC bisogna idealmente effettuare dei tagli in A, B e C e considerare le interazioni che

in tali punti nascono con il mondo esterno. Tali interazioni sono le reazioni del vincolo esterno doppio in A e di quello esterno semplice in B, e la reazione del vincolo interno doppio in C sul tratto AC. Si ottiene dunque lo schema di figura 1.33.

Analogamente, considerando l'equilibrio del tratto CD bisogna effettuare dei tagli in C ed in D e si ottiene lo schema di figura 1.34. Nei due schemi si è tenuto conto del principio di azione e reazione per il quale, con i versi positivi assunti in figura, si ha: R_{11}

$$y_C = R_{1y}$$

c e

R_{11}

$$z_C = R_{1z}$$

c. I due schemi portano al seguente sistema di sei equazioni in sei incognite: equilibrio tratto AC

8>

>><>>>:

$$R_{zA} + R_{1z}$$

$$= 0$$

$$R_{yA} + R_B + R_{1y}$$

$$= 0$$

$$-R_B L - R_{1y}$$

$$= 0$$

(1.15)

equilibrio tratto CD

8>

>>><>>>>:

$$-R_{11}$$

$$z_C = 0$$

$$-R_{11}$$

$$y_C + F + R_D = 0$$

$$-F$$

L

$$2 - R_D L = 0$$

(1.16)

Le (1.15)₁ e (1.16)₁ sono equazioni di equilibrio alla traslazione orizzontale; le (1.15)₂ e

(1.16)₂ sono di equilibrio alla traslazione verticale; le (1.15)₃ e (1.16)₃ sono di equilibrio

alla rotazione intorno, rispettivamente, ad A e a C.

z

y

L L/2

A C

L/2

B

F

L

Tagli

z

y
 L
 A B C
 L
 R_{yA} R_B R_{yC}
 R_{zA} R_{zC}
 I
 I
 D

Figura 1.33: Equilibrio del tratto AC.

Si vede chiaramente che l'equilibrio del tratto CD coinvolge solamente le tre reazioni

incognite R_{II}

z_C , R_{II}

y_C e R_D per cui le (1.16) possono essere risolte indipendentemente

26 G. Alfano - Appunti di Scienza delle Costruzioni

z
 y
 L L/2
 A C
 L/2
 B
 F
 L
 Tagli
 R_D
 R_{zC}
 II
 R_{yC}
 II
 L/2 L/2
 D
 F

Figura 1.34: Equilibrio del tratto CD.

dalle (1.15), in modo da determinare preliminarmente R_{II}

z_C , R_{II}

y_C e R_D :

R_{II}

$$z_C = 0 \quad R_{II}$$

$y_C =$

F

2

$$R_D = -$$

F

2

$$(1.17)$$

e quindi sostituire i valori R_{Iy}

$$z_C = R_{II}$$

$$y_C = F/2 \quad \text{e} \quad R_{Iz}$$

$$C = R_{II}$$

$$z_C = 0 \text{ nelle (1.15) per}$$

ricavare le altre tre incognite:

$$R_{zA} = 0 \quad R_B = -F \quad R_{yA} =$$

$$F$$

$$2$$

$$(1.18)$$

Si riporta dunque la soluzione in figura 1.35 disegnando le forze con il loro verso

effettivamente ottenuto in soluzione. Pertanto i valori indicati a fianco rappresentano i

moduli delle forze stesse.

1.4 Le caratteristiche della sollecitazione

Si consideri la trave appoggiata con una forza verticale in mezzzeria, le cui reazioni

vincolari sono riportate in figura 1.36.a.

Si immagini di effettuare un taglio nella sezione S in figura. Tale taglio è effettuato

in un punto di continuità, dove esiste un vincolo triplo che trasmette due reazioni mutue

tra le facce sinistra e destra del taglio, ognuna delle quali può essere decomposta in due

forze non parallele passanti per il baricentro di S ed in una coppia.

In particolare si può decomporre ognuna delle due reazioni in due componenti una

parallela ed un'altra ortogonale all'asse, ed in una coppia. Tali componenti vengono

dette 'caratteristiche della sollecitazione'. La componente parallela all'asse è detta

G. Alfano - Travature piane 27

L L L/2 L/2

A B C

F

F2

F2

F2

F2

F

D

Figura 1.35: Reazioni vincolari.

F

z

y

L/2 L/2

A B

F2

B

F2

S_d

d

F

A

F2
S_s
N T
M
F2
S
d
B
F2
S_d
d
T
M
(c) N
(b)
(a)
F
A
F2
S_s
N
M
T
L - d

Figura 1.36: Determinazione di N, M e T in S.

'sforzo normale' ed è indicata con N, quella ortogonale è detta 'taglio', o anche 'sforzo di taglio', ed è indicata con T, la coppia è detta 'momento flettente', o semplicemente 'momento', ed è indicata con M.

Il taglio effettuato in S definisce due 'facce' S_s ed S_d rispettivamente a sinistra ed a destra del taglio (figura 1.36.b). Le componenti delle reazioni di S_s su S_d sono quindi

28 G. Alfano - Appunti di Scienza delle Costruzioni
uguali ed opposte a quelle di S_d su S_s.

Per quanto riguarda i segni si conviene di assumere positive le caratteristiche della

sollecitazione se le componenti della reazione di S_d su S_s, cioè quelle sulla faccia di sinistra del taglio, sono concordi agli assi del riferimento. Equivalentemente le caratteristiche

sono positive se le componenti della reazione di S_s su S_d, cioè quelle sulla faccia di destra del taglio, sono discordi agli assi del riferimento. In figura 1.36.b si

sono riportati i versi delle forze e delle coppie corrispondenti alle caratteristiche della sollecitazione assunte positive.

Per determinare il valore delle caratteristiche della sollecitazione nella sezione S,

ed analogamente in qualsiasi altra sezione della trave, non bisogna introdurre concetti

e metodi nuovi ma applicarne alcuni già oramai noti. Infatti, come si è già detto, le

caratteristiche della sollecitazione possono semplicemente riguardarsi quali reazioni di un vincolo triplo interno, e possono dunque calcolarsi come tali applicando il principio di sezionamento e seguendo la sequenza di operazioni introdotta inizialmente nella sezione 1.3.1.

Avendo però già calcolato le reazioni vincolari esterne, queste ultime sono oramai forze note per cui conviene riformulare il principio di sezionamento come segue:

Postulato 2 Un corpo C è in equilibrio se e solo se ogni parte $C_0 \subset C$ è in equilibrio.

Il sistema di forze agente F agente su C_0 è decomponibile in un sistema di forze note

F_n , dato da tutte le forze attive direttamente agenti su C_0 e dalle reazioni già calcolate

agenti su C_0 , ed in sistema di forze incognite F_i , tutte reattive.

Evidentemente, nel problema in esame il sistema di forze incognite F_i rappresenta

proprio le caratteristiche della sollecitazione in S .

Il principio di sezionamento così riformulato andrà poi applicato tante volte quante

sono le sezioni nelle quali si vuole calcolare le caratteristiche della sollecitazione,

ripetendo più volte la solita sequenza di operazioni, che qui si specializza come segue:

- Determinare il corpo C_0 per il quale si vuole imporre l'equilibrio.
- Determinare il sistema di forze F agente su C_0 e decomporlo nel sistema di forze note F_n e quello di forze incognite F_i rappresentato dalle caratteristiche della sollecitazione.

- Scrittura e soluzione delle equazioni cardinali della statica per il sistema di forze

$$F = F_n + F_i.$$

Dunque, per il calcolo delle caratteristiche in S , si può assumere quale C_0 sia il tratto

AS che, equivalentemente, il tratto SB.

Si consideri prima il secondo caso, ovvero si scelga come corpo C_0 il tratto SB. Il sistema di forze su esso agente è costituito dalla reazione vincolare in B, che è stata

determinata e quindi è nota, e dalle tre caratteristiche della sollecitazione intese come

reazioni di S_s su S_d . Si ottiene dunque lo schema di figura 1.36.c e, imponendo gli

G. Alfano - Travature piane 29

equilibri alla traslazione nelle direzioni z ed y e l'equilibrio alla rotazione intorno a S :

$\sum F_x = 0$

$\sum F_y = 0$

$\sum M_S = 0$

—T—

$$\frac{F}{2} = 0$$

$$-M + \frac{F}{2} d = 0$$

(1.19)

si ottengono i valori:

$$N = 0 \quad T = -$$

$$\frac{F}{2}$$

$$M = \frac{F}{2}$$

d (1.20)

Si lascia per esercizio la verifica che gli stessi valori si ottengono imponendo l'equilibrio del tratto AS.

Poiché le (1.20) sono state ottenute con riferimento ad una generica sezione a destra

della forza concentrata in mezzeria si ricava che tra la forza F ed il punto B lo sforzo

normale è identicamente nullo, lo sforzo di taglio T è costante ed uguale a $-F/2$, mentre

il momento flettente varia linearmente con la distanza d dal carrello in B, annullandosi

proprio in B ed assumendo il valore massimo $F L/4$ sulla sezione di mezzeria.

Considerando ora una sezione generica S_0 alla sinistra della forza F si ottiene lo schema di figura 1.37. Imponendo l'equilibrio di uno qualunque dei tratti AS_0 e S_0B si

ricavano i seguenti valori delle caratteristiche della sollecitazione:

$$N = 0 \quad T =$$

$$\frac{F}{2}$$

$$M = \frac{F}{2}$$

d_0 (1.21)

F

z

y

$L/2 \quad L/2$

AB

$F/2$

B

$F/2$

N

M

T

d'

F

A
F2
F2
S'
d'
(b)
(a)
S's S'd

Figura 1.37: Determinazione di N, M e T in S_0 .

Poiché le (1.21) sono state ottenute con riferimento ad una generica sezione a sinistra

della forza concentrata in mezzeria si ricava che tra il punto A e la forza F lo sforzo

normale è identicamente nullo, lo sforzo di taglio T è costante ed uguale a $F/2$,

mentre

il momento flettente varia linearmente con la distanza d_0 dal carrello in A, annullandosi

proprio in A ed assumendo il valore massimo $F L/4$ sulla sezione di mezzeria.

I diagrammi del momento e del taglio così ottenuti sono rappresentati in figura 1.38.

Per essi si è seguita e si seguirà in seguito la convenzione di riportare il diagramma del

momento flettente M verso il basso se positivo, e quello del taglio T verso l'alto se

positivo.

F
z
y
L/2 L/2

A B
(a)
M(z)

F L

4
T(z)

F2

F2

C

Figura 1.38: Trave appoggiata con una forza verticale in mezzeria: diagrammi di M e

T.

Nel semplice esempio precedente si è illustrato come le caratteristiche della sollecitazione

vadano viste alla stregua di reazioni vincolari interne relative al vincolo triplo di continuità. In una struttura isostatica, essendo possibile ricavare il valore delle reazioni

vincolari e quindi il sistema di tutte le forze esterne, attive e reattive, che caricano la

struttura, è dunque anche possibile ricavare le caratteristiche della sollecitazione in qualsiasi

sezione, anche per problemi più complessi di quello visto in precedenza,

mediante

l'utilizzo di sole considerazioni di equilibrio.

Si osserva anche che l'ipotesi fatta fino ad ora che ognuno dei tratti sia monoconnesso

è essenziale affinché per ogni punto della travatura risulti possibile con opportuni

tagli estrarre una parte in cui, note le reazioni vincolari esterne ed interne, le uniche

incognite rimangono le caratteristiche della sollecitazione nel punto stesso. In figura

1.39 è riportato invece il caso di una travatura costituita da un tratto biconnesso. Pur

calcolando le reazioni vincolari, se si effettua un taglio in S ci si accorge che non è possibile

effettuare un secondo in modo da estrarre un pezzo il cui equilibrio consenta di

calcolare le caratteristiche della sollecitazione in S. Si intuisce dunque che in qualche

modo una maglia chiusa introduce ulteriori elementi di indeterminazione nel problema

dell'equilibrio, ovvero ulteriori iperstaticità.

G. Alfano - Travature piane 31

F

S

A B

A B

F

R_A R_B

Figura 1.39: Esempio di travatura con una maglia chiusa.

1.4.1 Equazioni differenziali dell'equilibrio interno

In questa sezione si deriveranno delle relazioni differenziali per le funzioni M, T ed

N imponendo l'equilibrio di una porzione elementare generica di trave, detta anche

'concio elementare'. A tale scopo, si consideri nella trave di figura 1.40 la parte di trave

contenuta tra le sezioni alle ascisse z e $z + z$, di lunghezza z . Si faccia poi l'ipotesi

che sulla trave siano applicati un carico distribuito q diretto trasversalmente ed uno p

diretto secondo l'asse della trave, e che le funzioni q e p siano continue in $[z, z + z]$.

Nell'estrarre il concio elementare si sono evidentemente effettuati due tagli alle

ascisse z e $z + z$ per cui il sistema di forze agenti sul concio è costituito dai carichi

distribuiti q e p e dalle caratteristiche della sollecitazione nelle sezioni dove sono

stati effettuati i tagli.

Per scrivere le equazioni di equilibrio alla traslazione orizzontale e verticale e alla

rotazione intorno al baricentro della sezione di ascissa z conviene decomporre i carichi

q e p nella somma di un valore costante, pari a quello assunto in z, ed una parte variabile.

E' facile mostrare che il contributo di tale parte variabile nelle equazioni di equilibrio

è un infinitesimo di ordine superiore rispetto agli altri termini, e che può essere dunque

tralasciato. Pertanto, nello scrivere le suddette equazioni, si assumerà direttamente che

sul concio elementare siano presenti carichi uniformi di intensità q(z) e p(z), ottenendo

relazioni esatte anche per carico variabile.

Si ottiene allora:

8>>><>

>>:

$$N(z + z) - N(z) + p(z) z = 0$$

$$T(z + z) - T(z) + q(z) z = 0$$

$$-T(z + z) z + M(z + z) - M(z) - q(z)$$

z²

2

= 0

(1.22)

32 G. Alfano - Appunti di Scienza delle Costruzioni

z

y

A B

q(z)

z

p(z) (Applicato
sull'asse della
trave)

z + Δ z

N(z + Δ z)

M(z + Δ z)

T(z + Δ z)

N(z)

M(z)

T(z)

p(z)

q(z)

Δ z

(è lecito trascurare
la parte variabile)

Figura 1.40: Equilibrio del concio elementare.

Dividendo per z e passando al limite per z ! 0 si ottiene:

$$N_0(z) + p(z) = 0 \quad T_0(z) + q(z) = 0 \quad M_0(z) - T(z) = 0 \quad (1.23)$$

ovvero, sottointendendo la dipendenza da z:

8>><>

>:

$$N_0 = -p$$

$$T_0 = -q$$

$$M_0 = T$$

(1.24)

Derivando la terza e sostituendo nella seconda si ottiene anche la relazione:

$$M_{00} = -q \quad (1.25)$$

Le (1.24) sono le equazioni differenziali dell'equilibrio interno per la trave. Esse sono valide in tutti i punti in cui le funzioni q e p sono continue e vanno combinate con

opportune condizioni al contorno per determinare le funzioni incognite N , T e M .

Si nota che nei tratti in cui il carico q è nullo dalle (1.24) si ricava che il taglio è costante ed il momento flettente è lineare, mentre quando q è non nullo ma costante il

taglio è lineare ed il momento flettente è una funzione quadratica, ovvero una parabola.

G. Alfano - Travature piane 33

1.4.2 Un esempio di soluzione analitica delle equazioni differenziali di equilibrio

Si è visto in precedenza come determinare i diagrammi del momento e del taglio su una

trave appoggiata con una forza verticale concentrata in mezzeria scrivendo direttamente

le equazioni di equilibrio per un elemento generico di trave. Più in generale, una volta

determinate le reazioni vincolari, è possibile determinare le caratteristiche della sollecitazione

senza risolvere in modo completamente analitico le equazioni differenziali (1.24) e le condizioni al contorno, come si vedrà in seguito.

In questa sezione si vuole invece mostrare come sia possibile risolvere il problema

il problema precedente mediante la soluzione analitica delle (1.24) e delle relative

condizioni al contorno senza preliminarmente ricavare le reazioni vincolari.

Con riferimento alla figura 1.36, si osserva che il carico q è discontinuo in $z = L/2$,

per cui le (1.24)₂₋₃ vanno integrate negli intervalli $[0, L/2[$ e $]L/2, L]$, in cui il carico q

è identicamente nullo. La (1.24)₁ può invece direttamente essere integrata in tutto $[0, L]$

essendo il carico p nullo su tutta la trave e quindi continuo.

Si ricavano dunque le espressioni:

8>

>>>>>><>>>>>>>>:

$$N(z) = c_1 z^2 \quad [0, L]$$

$$T(z) = c_2 z^2 \quad [0, L]$$

$$T(z) = c_3 z^2 \quad]L/2, L]$$

$$M(z) = c_2 z + c_4 z^2 \quad [0, L]$$

$$M(z) = c_3 z + c_5 z^2 \quad]L/2, L]$$

(1.26)

Le condizioni al contorno si scrivono, per ognuna delle caratteristiche della

sollecitazione,
in tutti i punti estremi degli intervalli di validità delle (1.26) in cui non esiste un vincolo la cui reazione incognita renda impossibile a priori definire una condizione per la caratteristica stessa. In altre parole, per la soluzione analitica delle equazioni differenziali di equilibrio non bisogna preliminarmente calcolare le reazioni vincolari. Esse vanno considerate in questa fase della soluzione delle incognite. Nel caso in esame, per esempio, non si potrà scrivere una condizione per lo sforzo normale in $z = 0$ in quanto esso è pari alla reazione orizzontale in A, che come si è detto va considerata incognita (sebbene in questo esempio sia talmente immediata da calcolare che risulta difficile pensarla non nota). La condizione al contorno per lo sforzo normale va scritta invece in B, ovvero per $z = L$, dove non essendoci alcuna forza orizzontale applicata sarà necessariamente $N(L) = 0$. Analogamente, in A e B non potranno scriversi condizioni per il taglio in quanto sono lì presenti le reazioni incognite verticali che, con il segno opportuno, forniscono proprio il taglio in A ed in B. Il momento flettente, invece, in A ed in B si deve annullare qualsiasi sia il valore delle reazioni dei vincoli. Ciò fornisce le condizioni $M(0) = 0$ e $M(L) = 0$. Altre due condizioni si ricavano poi nella sezione C di mezzeria. Infatti dall'equilibrio del cono a cavallo di tale sezione (figura 1.41), facendo tendere a zero l'ampiezza

34 G. Alfano - Appunti di Scienza delle Costruzioni

T_{sC}

T_{dC}

M_{dC}

M_{sC}

F

Figura 1.41: Equilibrio dell'intorno di C.
del cono stesso si ricavano le relazioni:

$$T_{dC} - T_{sC} + F = 0 \quad M_{dC} - M_{sC} = 0 \quad (1.27)$$

dove:

$$T_{sC} = \lim_{z \rightarrow L^-} T(z)$$

$$T(z) = T L$$

$$T_{dC} = \lim_{z \rightarrow L^+} T(z)$$

$$T(z) = T L$$

2

+ (1.28)

$$M_{SC} = \lim_{z \rightarrow L/2^-} M(z)$$

$$M(z) = M L / 2$$

$$- M_{dC} = \lim_{z \rightarrow L/2^+} M(z)$$

$$M(z) = M L / 2$$

+ (1.29)

Si evince dalle (1.27)-(1.29) che il momento è continuo in $z = L/2$ mentre il taglio

ha una discontinuità $T_C = T_{dC} - T_{SC}$ di ampiezza pari e segno opposto alla forza verticale F applicata. Riassumendo, le cinque condizioni ai limiti sono:

$$N(L) = 0 \quad M(0) = 0 \quad M(L) = 0$$

$$M(L/2) = M L / 2$$

$$T(L/2^-) = M L / 2$$

$$T(L/2^+) = -M L / 2$$

$$T(L) = T L / 2$$

$$T(L) = -T L / 2$$

$$T(L) = -F$$

$$T(L) = -F$$

$$T(L) = -F$$

$$T(L) = -F$$

(1.30)

Esse sono 5 condizioni indipendenti pari al numero di costanti di integrazione da

cui dipende la soluzione del problema dell'equilibrio. La soluzione di tale problema

quindi esiste ed è unica in accordo con il fatto che la trave è isostatica. In particolare

sostituendo le espressioni (1.26) nelle (1.30) condizioni si ottiene:

8>

>>>>>><>>>>>>>>>>>:

$$c_1 = 0$$

$$c_4 = 0$$

$$c_3 L + c_5 = 0$$

$$c_2$$

$$L$$

$$2$$

$$+ c_4 = c_3$$

$$L$$

$$2$$

$$+ c_5$$

$$c_3 - c_2 = -F$$

(1.31)

G. Alfano - Travature piane 35

la cui soluzione è:

$$c_1 = 0 \quad c_2 =$$

$$F$$

$$c_3 = -\frac{F L^2}{2}$$

$$c_4 = 0 \quad c_5 = \frac{F L^2}{2}$$

(1.32)
e quindi le espressioni:

$$N(z) = 0 \quad z \in [0, L]$$

$$T(z) = -\frac{F}{2} z^2 \quad z \in [0, L]$$

$$M(z) = -\frac{F}{2} z^2 \quad z \in [0, L]$$

$$M(z) = -\frac{F}{2} z^2 \quad z \in [0, L]$$

$$M(z) = -\frac{F}{2} z^2 \quad z \in [0, L]$$

Le (1.33) sono le espressioni analitiche dei diagrammi del momento e del taglio ricavati in figura 1.38.

36 G. Alfano - Appunti di Scienza delle Costruzioni

1.4.3 Un'interpretazione della convenzione sul tracciamento del diagramma del momento

Si è già osservato che le caratteristiche della sollecitazione in una sezione della trave ricavate nella modellazione monodimensionale rappresentano in qualche modo un'informazione mediata sulla sezione dello stato di sollecitazione presente sulla stessa. Per avere informazioni sullo stato di sollecitazione in ogni punto della sezione è

necessario utilizzare una modellazione tridimensionale. In una modellazione tridimensionale e nelle ipotesi di comportamento elastico lineare ad un momento flettente positivo corrisponde uno stato di sollecitazione puntuale per il quale le fibre parallele a z disposte dalla parte di y positivo sono tese nella direzione di z , mentre le fibre parallele a z disposte dalla parte di y negativo risultano compresse nella direzione di z . In figura 1.42 è mostrato il tipo di diagramma di tensioni, ovvero di forze per unità di superficie, dirette secondo z che nascono in una sezione soggetta ad un momento positivo. Tale considerazione non può essere dimostrata e puntualizzata rigorosamente in questo punto della trattazione ed è dunque da accettare più dal punto di vista intuitivo. Essa però fornisce un'utile interpretazione fisica della convenzione adottata per il tracciamento del diagramma del momento, per la quale si usa dire che le ordinate del diagramma sono tracciate 'dalla parte delle fibre tese'.

$M > 0$

Fibre tese

Fibre compresse

Il diagramma del momento viene tracciato dalla parte delle fibre tese

z

y

Figura 1.42: Fibre tese e fibre compresse.

1.4.4 Condizioni al contorno

Si è visto che alle equazioni differenziali di equilibrio vanno affiancate condizioni al contorno. Esse si scrivono negli estremi di ciascuno degli intervalli in cui si divide l'intero dominio che, nel caso in esame di travi ad asse rettilineo, può assumersi coincidente

a sua volta con un intervallo $[0, L]$ di x .

A titolo di esempio si consideri la trave di figura 1.43. Le forze verticali e le coppie,

attive o reattive che siano, vanno considerate quali discontinuità⁸ per il carico trasversale

q . Pertanto i punti di discontinuità di q sono le ascisse $z_1, z_2, z_3, z_4, z_6, z_8$ e z_{10} e dunque per l'integrazione delle (1.24)₂₋₃ bisogna dividere l'intervallo $[0, L]$ negli 8

intervalli $]0, z_1[,]z_1, z_2[,]z_2, z_3[,]z_3, z_4[,]z_4, z_6[,]z_6, z_8[,]z_8, z_{10}[$ e $]z_{10}, L[$. In ognuno

⁸La dimostrazione di questo fatto non viene data in quanto essa richiederebbe una rigorosa formalizzazione matematica dei concetti di forza e coppia concentrate che esula dalla presente trattazione.

G. Alfano - Travature piane 37

degli intervalli l'integrazione indefinita delle (1.24)₂₋₃ fornisce le funzioni M e T a

meno di due costanti di integrazione. Gli intervalli sono presi aperti perché in

generale

M e T possono essere discontinue nei loro estremi. Per ognuna delle ascisse z_i peraltro si indicheranno brevemente con M_s e T_s e con M_d e T_d i limiti sinistri e destri

rispettivamente delle funzioni momento e taglio.

Le discontinuità per il carico assiale p sono in z_9 ed in z_{10} , per cui per l'integrazione

della (1.24)₁ bisogna dividere l'intervallo $[0, L]$ nei tre intervalli $]0, z_9[$, $]z_9, z_{10}[$ e $]z_{10}, L[$, in ognuno dei quali si ricava N a meno di una costante di integrazione.

In totale, l'integrazione indefinita delle (1.24) fornisce N, M e T a meno di 2×8

+

$3 = 19$ costanti di integrazione a cui dovranno corrispondere 19 condizioni al contorno.

□

Figura 1.43: Un esempio di scrittura delle condizioni al contorno.

In $z = 0$ ed in $z = L$, ovvero negli estremi della trave, vanno scritte tante condizioni

quante sono le componenti non vincolate. Per ogni componente non vincolata infatti,

non essendoci una reazione vincolare, la corrispondente forza applicata o è nulla oppure è

una forza o una coppia nota. Pertanto la corrispondente caratteristica della sollecitazione

o è nulla oppure comunque è nota. Ad esempio, imponendo l'equilibrio per il tratto tra

le ascisse 0 e z, al tendere a 0 di z il contributo del carico distribuito q diventa un

infinitesimo di ordine superiore e le forze e la coppia concentrate forniscono direttamente

le caratteristiche della sollecitazione in $z = 0$ (figura 1.44):

$$N(0) = -H \quad T(0) = -F \quad M(0) = -M \quad (1.34)$$

Un modo pratico per arrivare alla scrittura di tali condizioni si ottiene considerando

che, essendo la trave alla destra dell'ascissa $z = 0$, le forze F e H e la coppia M ivi

applicate possono essere viste quali le azioni applicate sulla faccia destra di un taglio.

Considerate in tal modo direttamente quali caratteristiche della sollecitazione esse sono

tutte negative in segno in quanto sono concordi agli assi del riferimento.

In modo analogo si possono scrivere le condizioni in $z = L$ considerando le azioni ivi applicate direttamente quali caratteristiche della sollecitazione agenti sulla faccia sinistra di un taglio. Essendo concordi con gli assi del riferimento esse sono positive in segno e si ottiene dunque:

$$N(L) = H \quad T(L) = F \quad M(L) = M \quad (1.35)$$

38 G. Alfano - Appunti di Scienza delle Costruzioni

□

Figura 1.44: Condizioni in $z = 0$.

Considerando l'equilibrio di un intorno elementare di z_1 , ovvero del punto di applicazione

di un carrello, si ricava invece (figura 1.45):

in z_1 : $M_s = M_d$ (1.36)

mentre non può scriversi alcuna condizione sul taglio in quanto la differenza di taglio

è legata alla reazione vincolare che, nel procedimento analitico, va considerata come

incognita. La (1.36) è in generale la condizione da scrivere in prossimità di un carrello

con piano di scorrimento parallelo all'asse della trave.

z_1

Δz

$\Delta z \rightarrow 0$

z_1

$T_d \quad T_s$

$M_s \quad M_d$

R

Figura 1.45: Condizioni in z_1 .

Considerando l'equilibrio di un intorno elementare di z_2 , dove è applicata la forza

verticale F , si ricava invece (figura 1.46):

in z_2 : $M_s = M_d$

$M_s = M_d$

$T = T_d - T_s = -F$

(1.37)

che sono in generale le condizioni in corrispondenza di una forza trasversale concorde all'asse y .

Considerando l'equilibrio di un intorno elementare di z_4 , dove è applicata la coppia

M , si ricava invece (figura 1.47):

in z_4 : $\delta <$:

$$M = M_d - M_s = -M$$

$$T_s = T_d$$

(1.38)

G. Alfano - Travature piane 39

F

z_2

Δz

Δz 0 T_d T_s

M_s M_d

z_2

F

Figura 1.46: Condizioni in z_2 .

che sono in generale le condizioni in corrispondenza di una coppia Mantioraria.

□

□

Figura 1.47: Condizioni in z_4 .

Considerando l'equilibrio di un intorno elementare di z_6 , dove esiste una discontinuità

del carico q ma non vi è alcuna forza concentrata trasversale o coppia applicata, si

ricava (figura 1.48):

in z_6 : $\delta <$:

$$M_s = M_d$$

$$T_s = T_d$$

(1.39)

che sono in generale le condizioni di continuità per il momento e per il taglio che sussistono

in qualsiasi punto in cui non vi siano forze concentrate trasversali o coppie applicate.

Considerando l'equilibrio di un intorno elementare di z_{10} , ovvero del punto di applicazione

del doppio pendolo esterno, si ricava (figura 1.49):

in z_{10} : $T_s = T_d$ (1.40)

mentre non può scriversi alcuna condizione sul momento in quanto la differenza di

momento è legata al coppia reattiva del doppio pendolo che, nel procedimento

analitico,
 va considerata come incognita. La (1.40) è in generale la condizione da scrivere in
 prossimità di un doppio pendolo avente gli assi dei pendoli paralleli a quello della trave.

Considerando l'equilibrio di un intorno elementare di z_9 , dove esiste una discontinuità
 del carico assiale p ma non vi è alcuna forza concentrata assiale, si ricava (figura

40 G. Alfano - Appunti di Scienza delle Costruzioni

z_6

Δz

$\Delta z \quad 0 \quad T_d \quad T_s$

$M_s \quad M_d$

z_6

q

Figura 1.48: Condizioni in z_6 .

-
-
-
-

!

Figura 1.49: Condizioni in z_{10} .

1.50):

in z_9 : $N_s = N_d$ (1.41)

che è in generale la condizione di continuità per lo sforzo normale che sussiste in

qualsiasi punto in cui non vi sia una forza concentrata assiale.

z_9

Δz

$\Delta z \quad 0$

N_d

z_9

N_s

Figura 1.50: Condizioni in z_9 .

Le ascisse $z = 5$ e $z = 7$ non rappresentano punti di discontinuità del carico esterno

e pertanto non conviene in tali ascisse spezzare ulteriormente il dominio di integrazione.

In tali ascisse però vanno scritte le condizioni corrispondenti al vincolo interno ivi

presente. In particolare in $z = 5$ (cerniera) il momento è nullo, mentre in $z = 7$ (doppio

pendolo interno) è il taglio ad essere nullo.

Considerando anche le altre condizioni analoghe a quelle considerate finora si ottenG.

Alfano - Travature piane 41

gono in definitiva le seguenti relazioni:

in $z = 0$: $N(0) = -H \quad T(0) = -F \quad M(0) = -M$

in z_1 : $M_s = M_d$

in z_2 : $\delta <$:

$$M_s = M_d$$

$$T = -F$$

in z_3 : $M_s = M_d$

in z_4 : $\delta <$:

$$M = -M$$

$$T_s = T_d$$

in z_5 : $M = 0$

in z_6 : $\delta <$:

$$M_s = M_d$$

$$T_s = T_d$$

in z_7 : $T = 0$

in z_8 : $M_s = M_d$

in z_9 : $N_s = N_d$

in z_{10} : $T_s = T_d$

in $z = L$: $N(L) = H$ $T(L) = F$ $M(L) = M$

(1.42)

Nell'esempio considerato non si sono esaurite tutte le possibili condizioni al contorno

che può capitare di dover scrivere in altri problemi, ma i ragionamenti svolti consentono,

opportunamente combinati tra loro, di affrontare tutti i problemi di statica relativi

alle travi ad asse rettilineo.

Quando non si vuole procedere con il procedimento analitico di integrazione delle

equazioni differenziali, ma bensì si calcolano preliminarmente le reazioni vincolari e

quindi si determinano le caratteristiche della sollecitazione in ogni sezione mediante il

principio di sezionamento, le considerazioni svolte in questa sezione sono comunque

di grande aiuto come strumento di verifica. Infatti, una volta note le reazioni vincolari,

si può riguardare la travatura in esame quale una struttura priva di vincoli e soggetta

solamente a carichi noti. Vale pertanto quanto segue:

- Su un estremo di una trave lo sforzo normale è pari in modulo alla componente

assiale della forza ivi applicata (attiva o reattiva che sia); lo sforzo di taglio è pari

in modulo alla componente trasversale della forza ivi applicata (attiva o reattiva

che sia); il momento flettente è pari in modulo alla coppia ivi applicata (attiva

o reattiva che sia). I segni si determinano vedendo l'estremo della trave quale faccia destra o sinistra di un taglio e le azioni ivi applicate direttamente quali

caratteristiche della sollecitazione, e utilizzando le convenzioni solite per i segni

di queste ultime.

- Conseguenza ovvia di quanto sopra detto è che su un estremo di una trave lo sforzo normale è nullo se è nulla la componente assiale della forza ivi applicata

(attiva o reattiva che sia); lo sforzo di taglio è nullo se è nulla la componente trasversale della forza ivi applicata (attiva o reattiva che sia); il momento flettente

è nullo se è nulla la coppia ivi applicata (attiva o reattiva che sia).

- Una forza trasversale F applicata sulla trave corrisponde sempre ad un salto $T = -F$, avendo assunto F positiva se diretta secondo l'asse y . Graficamente nel diagramma del taglio ciò si traduce in un salto di modulo pari e nello stesso verso della forza stessa.

- Una coppia M applicata sulla trave corrisponde sempre ad un salto $M = -M$, avendo assunto M positiva se antioraria. Graficamente nel diagramma del momento

ciò si traduce in un salto, discorde a y (cioè verso l'alto nel caso di trave orizzontale con y diretto verso il basso, come si è fatto solitamente) se la coppia

è antioraria, e concorde a y se la coppia è oraria, e pari in modulo a quello della coppia stessa.

- Una forza assiale H applicata sulla trave corrisponde sempre ad un salto $N = -H$, avendo assunto H positiva se diretta secondo l'asse z .

In virtù delle convenzioni fatte ulteriori verifiche sul tracciamento dei diagrammi del

taglio e del momento possono farsi tenendo conto di quanto segue:

- In corrispondenza di un carico distribuito la curvatura del diagramma del momento

ha lo stesso verso di quella che avrebbe la configurazione deformata di un filo soggetto allo stesso carico.

- In corrispondenza di una forza trasversale concentrata il diagramma del momento

presenta una cuspidè dello stesso verso di quella che caratterizzerebbe la configurazione

deformata di un filo soggetto alla stessa forza.

- In corrispondenza di una cerniera non caricata né a destra né a sinistra da una

coppia il momento è nullo.

- In corrispondenza di un doppio pendolo interno non caricato né a destra né a sinistra da una forza il taglio è nullo.

- In ogni punto in cui il taglio è nullo il diagramma del momento è stazionario, cioè

ha la tangente parallela alla fondamentale, quindi orizzontale nel caso di trave ad

asse rettilineo orizzontale.

9I casi di una cerniera e di un doppio pendolo interno caricati si prenderanno in esame nel seguito.

G. Alfano - Travature piane 43

1.4.5 Esercizi sulle travi ad asse rettilineo orizzontale

Negli esercizi che seguono si tracciano i diagrammi del momento e del taglio per alcune

travi isostatiche ad asse rettilineo calcolando preliminarmente le reazioni vincolari e

quindi utilizzando nel modo più conveniente sia il principio di sezionamento che le

informazioni che si possono ottenere in base all'integrazione indefinita delle (1.24). Gli

esercizi 1-14 servono anche a studiare i casi di vincoli interni caricati da forze o da coppie.

Problema 1

Si consideri la trave di figura 1.51.

L
B
A F
C
1 L2
d

Figura 1.51: Problema 1: geometria, vincoli e carichi.

Per il calcolo delle reazioni vincolari conviene partire dall'equilibrio del tratto BC.

Scrivendo le tre equazioni cardinali della statica per tale tratto si ottengono i valori della

reazione della cerniera interna in B sul tratto BC e del carrello in C riportati in figura 1.52.

L
B
A F
C
1 L2
d
B
F
C
L2
d
L2 - d F
L2
d F
L2

Figura 1.52: Equilibrio del tratto BC.

Nota la reazione della cerniera in B sul tratto BC, essendo la cerniera non caricata

la sua reazione sul tratto AB è quella uguale e contraria e quindi è anch'essa nota.

44 G. Alfano - Appunti di Scienza delle Costruzioni

Nell'equilibrio del tratto AB rimangono dunque solo tre incognite che possono essere

determinate con le tre equazioni cardinali della statica. I loro valori sono stati riportati

in figura 1.53. I valori delle reazioni dei vincoli esterni ed interni ottenuti per tutta la

trave sono stati riportati in figura 1.54.

L
B
A F
C
1 L2
d

dF
 L_2
 $L_2 - dF$
 L_2
 $L_2 - dF$
 $L L_2$
 B
 1
 $L_2 - dF$
 L_2
 L_1
 B
 $L_2 - dF$
 L_2
 $F L_2 - d$
 L_2
 L_1
(a)
(b)
(c)
A
A

Figura 1.53: Equilibrio del tratto AB.

L
B A F
C
 $1 L_2$
 $d d F$
 L_2
 $L_2 - d F$
 L_2
 $F L_2 - d$
 L_2
 L_1
 $L_2 - d F$
 L_2

Figura 1.54: Reazioni dei vincoli esterni ed interni.

Per il tracciamento dei diagrammi della sollecitazione interna si osserva preliminarmente che, non essendo presente alcuna componente assiale delle forze attive e reattive, lo sforzo normale è identicamente nullo. Per calcolare il momento flettente ed il taglio

G. Alfano - Travature piane 45

nel tratto tra la forza F e la sezione C si considera una sezione generica S compresa in

tale tratto, ad una distanza a da C . Si impone dunque l'equilibrio del tratto SC .

A tale

scopo si seziona in S ed in C (figura 1.55.a) e, non essendovi azioni esterne direttamente

applicate, le uniche azioni presenti sono la reazione del vincolo esterno in C , che è

nota, e le caratteristiche della sollecitazione in S.

Per calcolare il momento in S si scrive dunque un'equazione di equilibrio alla rotazione

intorno a S. In tale equazione lo sforzo normale (comunque nullo in questo caso) ed il taglio non intervengono in quanto per definizione passanti per S e per tale

motivo sono stati riportati in grigio in figura 1.55.b. Si ottiene il valore del momento

$$M_S = F$$

L_2

da cui si deduce che il momento varia linearmente tra S e C annullandosi in C. Circa il segno del momento, esso è positivo in quanto sulla faccia destra del taglio

in S è una coppia oraria. Pertanto, assumendo l'asse della trave come fondamentale e

avendo assunto per convenzione di riportare il diagramma del momento concordemente

ad y se positivo, cioè verso il basso in questo caso, si ricava il diagramma nel tratto SC

riportato in figura 1.55.c.

L

B

A F

C

L_2

d d F

L_2

$L_2 - d$ F

L_2

F $L_2 - d$

L_2

L_1

$L_2 - d$ F

L_2

S

S C

d F

L_2

Equilibrio alla MS

rotazione intorno a S

$$M_S = F d$$

L_2

a

a

F

C

Diagramma del momento tra il punto di applicazione di F e C

(a)

(b)

(c)

$M(z)$

z

F d

L2

(L 2 - d)

Figura 1.55: Calcolo del momento nel tratto tra la forza F ed il punto C.

Analogamente, per calcolare il taglio in S si scrive un'equazione di equilibrio alla

traslazione verticale per il tratto SC. In tale equazione lo sforzo normale ed il momento

flettente non intervengono e per tale motivo sono stati riportati in grigio in figura 1.56.b.

Si ottiene il valore del taglio $T_s = - F$

L2

d, da cui si deduce che il taglio non dipende da

a, cioè è costante tra S e C. Esso è negativo in quanto sulla faccia destra del taglio in

S è una forza discorde a y. Pertanto, assumendo l'asse della trave come fondamentale

e avendo assunto per convenzione di riportare il diagramma del taglio discorde ad y se

46 G. Alfano - Appunti di Scienza delle Costruzioni

positivo, cioè verso l'alto in questo caso, si ricava il diagramma nel tratto SC riportato

in figura 1.56.c.

L

B

A F

C

1 L2

d d F

L2

L 2 - d F

L2

F L 2 - d

L2

L1

L 2 - d F

L2

S

S C

d F

L2

Ts

Equilibrio alla
traslazione verticale

T s = -

F d

L2

a

F

C

T(z)

z

(a)

(b)

(c)

Diagramma del taglio tra il punto di
applicazione di F e C

- F d

L2

Figura 1.56: Calcolo del taglio nel tratto tra la forza F ed il punto C.

Per il calcolo del momento tra B e la forza F si considera una sezione generica S_0 in

tale tratto ad una distanza a_0 da B e si impone l'equilibrio del tratto BS_0 (figura 1.57.ab).

Non essendoci forze attive su BS_0 , bisogna solo considerare la reazione interna in

B, nota, e le tre caratteristiche della sollecitazione in S_0 . Si ricava dunque: $M_{S_0} =$

$L_d - d$

L2

$F a_0$, che come momento flettente è positivo perché è una coppia antioraria agente

sulla faccia sinistra del taglio in S_0 . Si usa anche dire, con una dizione non estremamente

precisa ma indubbiamente efficace, che guardando le forze alla sinistra di S_0 'la forza

che produce il momento' è la reazione di B su BC.

Allo stesso risultato si perviene se si impone l'equilibrio del tratto S_0C (figura 1.57.c)

dove le forze agenti, oltre alle caratteristiche della sollecitazione in S_0 , ora però applicate

sulla faccia destra del taglio, vi sono la reazione in C e la forza F. Ma per l'equilibrio

del tratto BC, la forza F, la reazione di B su BC e la reazione in C costituiscono un

sistema equivalente a zero. Pertanto il sistema costituito dalla forza F e dalla reazione

in C è equivalente all'opposto della reazione di B su BC. Si può dire dunque che,

guardando le forze alla destra di S_0 , 'la forza che produce il momento' è l'opposto

della reazione di B su BC. La coppia che agisce sulla faccia destra del taglio in S_0

per equilibrare il momento dell'opposto della reazione di B su BC deve pertanto essere

uguale ed opposta di quella che agisce sulla faccia sinistra del taglio in S_0 per equilibrare

G. Alfano - Travature piane 47

la reazione di B su BC. Ma tali coppie, uguali ed opposte, come momento flettente

coincidono in segno e in questo caso corrispondono ad un momento positivo.

Si è anche trovato che il momento in è lineare rispetto ad a_0 e dunque si annulla in B

ed evidentemente assume il valore massimo dove è applicata F, dove il momento deve

essere continuo per cui i limiti sinistro e destro devono coincidere. Si ottiene anche la

cuspidine che ci si doveva aspettare in corrispondenza della forza F (figura 1.57.d).

La linearità del diagramma del momento tra B e la forza F, e tra F e C, si ricava

anche dal fatto che in tali tratti il carico distribuito q è nullo. Per lo stesso motivo, essendo q nullo anche fra A e B, il diagramma del momento continua linearmente anche in tale tratto. Inoltre, non essendoci forze o coppie concentrate in corrispondenza della cerniera in B, né in alcun altro punto di AB, il diagramma in AB si ottiene prolungando a tale tratto la funzione lineare ottenuta sul tratto tra B ed F. Si ottiene in definitiva il diagramma riportato in figura 1.57.e.

Per il calcolo del taglio tra B e la forza F si procede in modo perfettamente analogo a quanto fatto per il momento, imponendo però l'equilibrio alla traslazione verticale del tratto BSo o equivalentemente del tratto SoC, al posto di quello alla rotazione intorno a So (figura 1.58.a-c). Si ottiene così che il taglio in So è costante tra B e la forza F e tra questa e C, mentre in corrispondenza di F si ritrova il salto verso il basso pari in modulo proprio a F, così come ci si aspettava (figura 1.58.d).

L'andamento costante del diagramma del taglio tra B e la forza F, e tra F e C, si ricava anche dal fatto che in tali tratti il carico distribuito q è nullo. Per lo stesso motivo, essendo q nullo anche fra A e B, il diagramma del taglio continua costante anche in tale tratto. Inoltre, non essendoci forze concentrate in corrispondenza della cerniera in B, né in alcun altro punto di AB, il diagramma in AB si ottiene prolungando a tale tratto la funzione costante ottenuta sul tratto tra B ed F. Si ottiene in definitiva il diagramma riportato in figura 1.58.e.

Problemi 2-4

Il calcolo delle reazioni ed il tracciamento dei diagrammi delle caratteristiche per i problemi 2-4, riportati di seguito si lascia come esercizio (ovviamente non si sono riportati i diagrammi delle caratteristiche quando sono identicamente nulli).

Problema 5

Facendo tendere a zero la distanza d della forza dalla cerniera in B nei problemi 1 e 2 si osserva che sia le reazioni vincolari che i diagrammi delle caratteristiche tendono alla stessa soluzione. Ciò vuol dire che è possibile applicare una forza concentrata giusto sulla cerniera senza dover specificare se la forza va messa 'immediatamente' a destra o a sinistra. D'altra parte le forze e coppie non sono enti fisicamente misurabili, ma vanno piuttosto visti come enti matematici che possono compiere lavoro per

spostamenti

e rotazioni dei loro punti di applicazione. Pertanto una forza applicata in una sezione

delle trave è un ente che compie lavoro per l'eventuale spostamento della sezione stessa.

Nella cerniera lo spostamento è continuo, nel senso che i limiti destro e sinistro coincidono

con quello che può univocamente definirsi lo spostamento della cerniera, pertanto

ha senso applicare la forza direttamente sulla cerniera.

48 G. Alfano - Appunti di Scienza delle Costruzioni

L

B

A F

C

$1 L_2$

$d d F$

L_2

$L_2 - d F$

L_2

$F L_2 L - 2 d L_1$

$L_2 - d F$

L_2

S'

$M_{S'}$

Equilibrio alla

rotazione intorno a S'

$M_{S'} = L_2 - d F a'$

L_2

a'

F

C

Diagramma del momento tra B e C

(a)

(b)

(c)

$M(z)$

z

$L_2 - d F$

L_2

$B S'$

B

F

Diagramma del momento

(d)

$M(z)$

z

$S' C$

$d F$

L_2

F

$M_{S'}$

B C

A

(e) A

F d

L_2

$(L_2 - d)$

F d

L_2

(L 2 - d)

F L 2 L -2 d L1

Figura 1.57: Calcolo del momento nel tratto tra A e la forza F e tracciamento del diagramma del momento completo.

La soluzione che si ottiene negli esercizi 1 e 2 al limite per $d \neq 0$ si può anche ricercare direttamente considerando il problema 5 di figura 1.62.

La differenza rispetto ai problemi già risolti finora consiste nel fatto che, essendo la

cerniera caricata con una forza verticale, le due reazioni che essa esplica sui tratti AB

e BC non sono più uguali ed opposte. Pertanto, quando si considera l'equilibrio del

tratto BC, nell'effettuare il taglio in B bisogna specificare se tale taglio lo si effettua

alla sinistra o alla destra della cerniera, che è anche il punto di applicazione della forza

F. Ciò è evidente anche considerando che, in generale, nel punto di applicazione di

G. Alfano - Travature piane 49

L

B

A F

C

$\frac{1}{2} L_2$

$\frac{d}{2} F$

L_2

$L_2 - d F$

L_2

$F L_2 - d$

L_2

L_1

$L_2 - d F$

L_2

S'

T S'

Equilibrio alla rotazione intorno a S'

$L_2 - d F$

L_2

a'

F

C

Diagramma del taglio tra B e C

(a)

(b)

(d)

T(z)

z

$L_2 - d F$

L_2

B S'

B

(e)

S' C

F
 d
 L₂
 F
 (c)
 T_{S'}
 T_{S'} =
 F
 C
 Diagramma del taglio
 T(z)
 B
 - F d
 L₂
 L₂ - d F
 L₂
 L₂ - d F
 L₂
 - F d
 L₂

Figura 1.58: Calcolo del taglio nel tratto tra A e la forza F e tracciamento del diagramma del taglio completo.

una forza il taglio non è definito in modo univoco in quanto presenta una discontinuità,

mentre sono definiti i suoi limiti sinistro e destro. Pertanto, quando si effettua un

taglio e si sostituisce nella sezione in cui si è effettuato il taglio le caratteristiche della

sollecitazione agenti sulle due facce del taglio, è necessario specificare quale dei due

limiti della funzione taglio si considera, cioè in parole semplici ma efficaci, se si taglia

'a sinistra' o 'a destra' della forza, che in questo caso è applicata proprio sulla cerniera.

50 G. Alfano - Appunti di Scienza delle Costruzioni

L₁
 B
 A
 C
 L₂
 d
 B
 A
 C
 M(z)
 F
 F
 F
 F (L₁ - d)
 - F (L₁ - d)
 T(z)
 F

Figura 1.59: Problema 2: reazioni e diagrammi del momento e del taglio.

Per il problema 5 si è allora proceduto tagliando dapprima 'immediatamente a destra'

di B nella sezione che si indicherà con B_d, imponendo l'equilibrio del tratto B_dC

e ricavando

reazioni in B_d ed in C tutte nulle. Si sottolinea che il termine 'immediatamente' sta ad indicare sinteticamente il seguente procedimento al limite:

- Si seziona in una sezione $B_{d,z}$ ad una distanza z da B, sostituendo sulle due facce sinistra e destra del taglio le tre caratteristiche incognite della sollecitazione.

- Si fa tendere z a zero e si tiene conto del fatto che le caratteristiche della sollecitazione

tendono, per definizione di vincolo interno, alle interazioni trasmesse dalla cerniera in B. Tali interazioni sono costituite solamente da due forze aventi

una qualsiasi retta d'azione passante per B. Se ne deduce che al tendere a zero di

z il momento deve anch'esso tendere a zero. Pertanto, al limite, le interazioni in B_d sono pari alle reazioni della cerniera in B su BC ovvero, in generale, una forza verticale ed una orizzontale.

Note le interazioni in B_d si è imposto l'equilibrio dell'intorno elementare della cerniera

in B, tagliando 'immediatamente a sinistra' in B_s ed 'immediatamente a destra' di B in B_d ed imponendo l'equilibrio del tratto $B_s B_d$. Si è ricavato che sulla faccia destra di B_s agisce una reazione F verso l'alto per equilibrare la forza esterna F verso

il basso. Sulla faccia sinistra di B_s agisce allora una forza verticale F verso il basso

e quindi, imponendo l'equilibrio del tratto AB_s si sono ricavate le ultime reazioni vincolari incognite in A. L'intero procedimento è riportato nella figura 1.62.

Note le reazioni vincolari esterne ed interne i diagrammi delle sollecitazioni sono

facilmente ricavabili e sono riportati in figura 1.63.

G. Alfano - Travature piane 51

□

□

□

Figura 1.60: Problema 3: reazioni e diagrammi del momento e del taglio.

□

Figura 1.61: Problema 4: reazioni e diagramma del momento.

Problemi 6-7

Al tendere a zero della distanza d nei problemi 3 e 4 si ottengono due soluzioni diverse,

riportate nelle due figure 1.65 e 1.66. Ciò significa che quando si vuole applicare la

52 G. Alfano - Appunti di Scienza delle Costruzioni

B

A

C

F

$L_1 L_2$

B

A

C

F

FL_1

R_{Bd}

$v R_C$

R_{Bd}

o

F

$R_{Bs} = F$

v

F

$R_{Bd} = 0$

o

$R_{Bd} = 0$

v

$R_C = 0$

R_A

o

R_A

$v M_A$

$R_A = F$

v

$R_A = 0$

o

$M_A = F L_1$

F

F

Azione della cerniera in B sul
tratto AB

Figura 1.62: Problema 5: determinazione delle reazioni vincolari.

coppia in prossimità di una cerniera è necessario specificare se tale coppia va applicata

a sinistra o a destra, mentre non ha senso applicare la coppia 'proprio sulla cerniera'.

Ciò è perfettamente in accordo con il fatto che la coppia è un ente che compie lavoro per

la rotazione della sezione in cui essa è applicata, e che la rotazione non è una funzione

continua sulla cerniera mentre esistono i suoi due limiti sinistro e destro, ovvero le

rotazioni a sinistra ed a destra della cerniera.

Si sottolinea che per ricavare le soluzioni dei problemi 6 ed 7 conviene, almeno nella

fase di iniziale apprendimento delle tecniche risolutive dei problemi di statica, risolvere

i problemi 3 e 4 effettuando immediatamente, nella fase di calcolo delle reazioni

vincolari, il limite per d tendente a 0.

Problemi 8-14

Si è visto che su una cerniera ha senso applicare una forza senza specificare se essa

agisce a sinistra o a destra, mentre non ha senso applicare una coppia senza specificare

se essa agisce a sinistra o a destra. Analogamente su un doppio pendolo (su un pattino)

interno ha senso applicare una coppia senza specificare se essa agisce a sinistra o a destra,

mentre non ha senso applicare una forza trasversale senza specificare se essa agisce

G. Alfano - Travature piane 53

$L_1 B$

A

C

L_2

B

A

C

$M(z)$

F

F

$T(z)$

F
FL₁
- FL₁
F
F

Figura 1.63: Problema 5: diagrammi del momento e del taglio.
a sinistra o a destra. Ciò perché sul doppio pendolo la rotazione, per cui compie lavoro

la coppia, è continua mentre lo spostamento ortogonale agli assi del doppio pendolo

(parallelo ai piatti del pattino), per cui compie lavoro la forza trasversale è discontinuo.

Tutti i ragionamenti svolti per i problemi 1-7 si possono svolgere in maniera perfettamente

analoga per i problemi 8-14 la cui soluzione è riportata nelle figure 1.66-1.72 e si lascia come esercizio.

Problema 15

I diagrammi del momento e del taglio su una trave appoggiata-appoggiata soggetta ad

un carico uniformemente distribuito sono riportati in figura 1.73. Si consiglia come

esercizio di ricavare la soluzione sia risolvendo per via analitica le (1.24) aggiungendo

le condizioni al contorno $M(0) = M(L) = 0$, sia partendo dal calcolo delle reazioni

vincolari, già riportate in precedenza nell'esempio di figura 1.28 e procedendo mediante

il principio di sezionamento.

Problema 16

Per determinare le reazioni vincolari ed i diagrammi delle caratteristiche per il problema

di figura 1.74 conviene preliminarmente sostituire al carico uniformemente distribuito

la sua risultante disposta sul suo asse centrale, ovvero nella mezzeria del carico. Per

tale schema 'ausiliario' si determinano dunque le reazioni ed i diagrammi del momento

54 G. Alfano - Appunti di Scienza delle Costruzioni

□

□

□

Figura 1.64: Problema 6: reazioni vincolari e diagrammi del momento e del taglio.

□

Figura 1.65: Problema 7: reazioni vincolari e diagramma del momento e del taglio, che sono riportati in figura 1.75. I diagrammi così ottenuti sono quelli del problema reale in tutti i punti esterni al tratto in cui è presente il carico distribuito.

Per verificare quest'ultima affermazione basta considerare innanzitutto che ai fini del calcolo delle reazioni vincolari il carico interviene nelle equazioni cardinali della statica attraverso la sua risultante ed il suo momento risultante, per cui al carico si può

G. Alfano - Travature piane 55

L

A B F

C

$1 L_2$

d

A B F

C

F (L₂ - d) F

F (L₂ - d)

M(z)

z

T(z)

- F

Figura 1.66: Problema 8: reazioni vincolari e diagrammi del momento e del taglio.

sostituire un qualsiasi sistema staticamente equivalente tra cui quello costituito dalla sua risultante applicata in mezzeria. Quindi si osserva che per calcolare le caratteristiche della sollecitazione in un punto qualsiasi esterno alla zona di applicazione del carico, per esempio nella sezione S in figura 1.75, si può imporre equivalentemente l'equilibrio dei tratti AS o SB. Nel primo caso il carico non interviene affatto, mentre nel secondo caso sul tratto SB agisce tutto il carico che quindi, nella scrittura delle equazioni di equilibrio del tratto, può essere sostituito con la sua risultante in mezzeria. Tutto ciò vale anche per i due punti C e D estremi dell'intervallo di applicazione del carico, dove i valori del momento e del taglio calcolati in figura 1.75 sono dunque esatti. In particolare, se sono esatti i valori del taglio sono evidentemente esatte anche le tangenti al diagramma del momento. Nei punti interni a CD invece i diagrammi di figura 1.75 sono evidentemente 'falsi' e per questo motivo sono stati disegnati in grigio. Considerando infatti la sezione S_0 all'interno di CD ed imponendo l'equilibrio del tratto AS_0 , nel problema reale bisogna considerare, per l'equazione di equilibrio, solamente la parte di carico agente su CS_0 , ed è dunque sbagliato sostituire questa parte di carico con la risultante di tutto il carico. Poiché i valori dei momenti in C e D e sono esatti, così come le tangenti al diagramma in tali punti, e poiché la funzione momento è parabolica in presenza di un carico uniformemente distribuito, il diagramma del momento reale si ottiene semplicemente interpolando la parabola tra i valori e le tangenti in C e D. Analogamente, sapendo che il diagramma del taglio è lineare tra C e D, per ricavare il diagramma del taglio a partire

56 G. Alfano - Appunti di Scienza delle Costruzioni

L

A F B

C

$\frac{1}{2} L_2$

d

A F B

F (L₁ - d) C

M(z)

z

T(z)

F

- F (L₁ - d)

F

Figura 1.67: Problema 9: reazioni vincolari e diagrammi del momento e del taglio.

□

□

Figura 1.68: Problema 10: reazioni vincolari e diagramma del momento.
G. Alfano - Travature piane 57

□

□

Figura 1.69: Problema 11: reazioni vincolari e diagramma del momento.

L

A B F

C

1 L₂

A B F

C

F L₂ F

M(z)

z

T(z)

- F

F L₂

F L₂

Figura 1.70: Problema 12: reazioni vincolari e diagrammi del momento e del taglio.

58 G. Alfano - Appunti di Scienza delle Costruzioni

L

A F B
 C
 $\frac{1}{2} L_2$
 A F B
 F L₁ C
 M(z)
 z
 T(z)
 F
 - F L₁
 F

Figura 1.71: Problema 13: reazioni vincolari e diagrammi del momento e del taglio.

□

□

Figura 1.72: Problema 14: reazioni vincolari e diagramma del momento.
 G. Alfano - Travature piane 59

L
 $\frac{qL}{2}$
 8
 $\frac{2}{2}$
 $\frac{qL}{2}$
 $\frac{2}{2}$
 $\frac{qL}{2}$
 $\frac{2}{2}$
 q
 M(z)
 T(z)
 z
 z
 $\frac{qL}{2}$
 $\frac{2}{2}$
 $\frac{qL}{2}$
 $\frac{2}{2}$

Figura 1.73: Trave appoggiata con carico uniformemente distribuito.

q
 L L L

Figura 1.74: Problema 16

da quello 'falso' di figura 1.75 bisogna semplicemente interpolare i valori ottenuti in C

e D con una funzione lineare. I diagrammi così ottenuti sono riportati in figura 1.76.

Il procedimento utilizzato è di carattere generale. Pertanto in presenza di carichi uniformemente distribuiti, una volta ricavate le reazioni vincolari, conviene preliminarmente sostituire, per ogni tratto in cui agisce il carico e non agiscono forze o coppie (attive o reattive che siano) il carico distribuito con la sua risultante sulla mezzeria del tratto, cioè sul suo asse centrale. I diagrammi che si ottengono sono 'falsi' ma i valori dei momenti, delle tangenti al diagramma del momento e del taglio sono esatti in tutti i punti esterni ad ognuno di tali tratti. Per ottenere i diagrammi 'veri' bisogna dunque interpolare opportunamente delle parabole e delle funzioni lineari in tali tratti al posto dei diagrammi 'falsi' rispettivamente del momento e del taglio.

60 G. Alfano - Appunti di Scienza delle Costruzioni

qL

2

qL

2

34

qL^2

L L L

qL

qL

2

qL

2

$M(z)$

$T(z)$

A S C S' D B

Figura 1.75: Problema 16: reazioni vincolari e diagrammi del momento e del taglio

sullo schema ausiliario in cui si è sostituito il carico distribuito con la sua risultante in mezzeria.

qL

2

qL

2

58

qL^2

L L L qL

2

qL

2

$M(z)$

$T(z)$

q

Figura 1.76: Problema 16: diagrammi delle caratteristiche.

Problema 17

In figura 1.77 si è riportato il procedimento per il calcolo delle reazioni vincolari per la trave a due campate del problema 17.

G. Alfano - Travature piane 61

Per il tracciamento del diagramma del momento si può osservare che, essendo il

carico q continuo su tutta la trave il momento ha un'unica espressione quadratica ed

è quindi rappresentato da un'unica parabola, che peraltro è univocamente definita una

volta noti tre parametri, ad esempio due ordinate ed una tangente.

Partendo dal punto C, dove il momento è nullo, si assegna a piacere la tangente t_C

nel punto P_C (coincidente con C essendo appunto nullo il momento), scegliendo in tal

modo una scala dei momenti. Dovendo essere il momento nullo anche in B, i punti noti

P_B e P_C e la tangente t_C sono già sufficienti a definire la funzione momento.

Infatti,

la tangente t_B in P_B , per la nota proprietà delle parabole, deve incontrare la tangente

t_C lungo la verticale passante per il punto medio M_{BC} tra B e C. Essa pertanto è determinata.

Note le tangenti t_B e t_C nei punti P_B e P_C , si può ricavare la tangente in P_A con il seguente ragionamento.

- La tangente incognita t_A in P_A deve intersecarsi con t_C lungo la verticale passante

per il punto medio M_{AC} tra A e C, che coincide con B. Si ricava dunque il punto $t_A \setminus t_C$.

- La tangente incognita t_A in P_A deve anche intersecarsi con t_B lungo la verticale passante per il punto medio M_{AB} tra A e B. Si ricava dunque il punto $t_A \setminus t_B$.

- La tangente t_A si ricava come congiungente i punti trovati $t_A \setminus t_C$ e $t_A \setminus t_B$.

- P_A , e quindi il valore del momento in A, ovviamente si trova come intersezione

della verticale per A con t_A .

Il diagramma del taglio si può tracciare a partire dalle reazioni vincolari in A e in C,

che forniscono i tagli in tali sezioni di estremità, ed interpolando tali valori con un'unica

funzione lineare dato che il carico è uniformemente distribuito su tutta la trave. Si ritrova

come verifica che il taglio si annulla in corrispondenza del punto medio tra B e C, dove

il momento assume il valore massimo pari a $qL^2/8$.

Problema 18

Il problema 18 riportato in figura 1.79 non presenta particolari difficoltà dal punto di

vista concettuale, ma rispetto ai problemi considerati precedentemente vi sono più azioni

contemporaneamente, nel caso in esame il carico distribuito q tra B e D, la coppia

M in B e la forza verticale verso l'alto in C. Per tracciare i diagrammi del momento

e del taglio è necessario almeno conoscere i rapporti fra le diverse azioni applicate opportunamente

adimensionalizzate. In questo caso sono assegnati i valori numerici delle azioni e della lunghezza L, riportati in figura.

Per il calcolo delle reazioni vincolari si può procedere sia scrivendo le equazioni di

equilibrio direttamente sostituendo i valori numerici, oppure operando in forma simbolica

e sostituendo i valori numerici nelle espressioni ottenute per le reazioni. In questo

10 Dato un punto Q sulla fondamentale rispetto a cui si traccia il diagramma del momento si indicherà

con P_Q il corrispondente punto del diagramma.

62 G. Alfano - Appunti di Scienza delle Costruzioni

B

A

C

q

L

qL

2

L

qL

2

qL

2

B

A

C

q

B

A

C

q

q

qL

32

qL²

Figura 1.77: Problema 17: determinazione delle reazioni vincolari.

caso si è operato in questo secondo modo, riportando le espressioni delle reazioni in forma simbolica nella figura 1.79.b e calcolandone poi i valori numerici riportati in figura 1.79.c. Per il calcolo delle reazioni vincolari si può operare come segue.

- Partire dall'equilibrio del tratto Cd D, sezionando a destra di C.

- Nota la reazione della cerniera in C su CD, dall'equilibrio dell'intorno elementare

della cerniera si ricava la reazione della cerniera sul tratto AC.

- Si impone quindi l'equilibrio del tratto AC_s, sezionando a sinistra di C.

Per il tracciamento del diagramma del momento si può invece procedere come segue.

- Si parte dal punto A, dove la coppia reattiva pari a 4KN m antioraria

corrisponde ad un momento flettente negativo, che tende le fibre superiori.

- Il taglio risulta invece nullo in tutto il tratto AB in quanto a sinistra di qualsiasi sezione di questo tratto non vi sono forze verticali applicate, ma solo la coppia

reattiva in A. Pertanto il momento è costante tra A e B e pari appunto a G . Alfano - Travature piane 63

A B

C

q

L

qL

L²

qL

2 qL³ / 32

qL²

t_C

A

B=M M_{BC} C

M_{AB}

t_B t_A t_C

t_A t_B

t_A

AC

P_A

P_B P_C

qL²

qL

8

2

qL³ / 32

qL

2

Figura 1.78: Problema 17: costruzione grafica del diagramma del momento e tracciamento del diagramma del taglio.

−4KN m. In B il momento deve avere una discontinuità essendoci applicata la coppia $M = 4KN\ m$ antioraria. Il salto è pari a $M = -M = -4KN\ m$

e si ottiene quindi 'immediatamente a destra' di B un momento flettente pari a −8KN m. Tale valore può anche essere trovato direttamente con il principio di sezionamento sezionando a destra di B, in B_d, ed imponendo l'equilibrio del tratto AB_d, oppure del tratto B_dC, o ancora di B_dD.

- Il diagramma del momento tra B e C è parabolico. Il momento è stato ormai calcolato in B, ed è pari a −8KN m, ed è nullo in C per la presenza della cerniera.

Peraltro la reazione verticale della cerniera sul tratto BC è risultata nulla, per cui il taglio alla sinistra di C è nullo. Pertanto la tangente del diagramma del momento alla sinistra di C è orizzontale.

- Noti i valori del momento in B pari −8KN m ed in C, pari a 0, e nota la tangente

in C, orizzontale, la tangente in B si ricava dal fatto che essa deve incontrare quella in C sulla verticale per il punto medio tra B e C.

- Un procedimento generale, cioè sempre utilizzabile, per tracciare la tangente del

64 G. Alfano - Appunti di Scienza delle Costruzioni

q

F

M

L L L
 q
 F
 M
 $\frac{qL}{2}$
 $\frac{qL}{2}$
 $\frac{qL}{2}$
 - F
 $\frac{qL}{2} - F$
 $\frac{qL}{2} - FL - M$
 1
 4
 4
 4
 2
 0 2
 2
 $q = 1 \text{ KN/m}$
 $F = 2 \text{ KN}$
 $= 4 \text{ KN m}$
 $L = 4 \text{ m}$
 M
 2
 - 4
 - 8
 2
 $b' = 4$
 4 2
 - 2
 $M(z)$
 $T(z)$
 z
 z
 A
 B C D
 (a)
 (b)
 (c)
 (d)
 (e)
 $b = 8$
 $a = 2$
 α
 $a' = 2$
 β
 $a'' = 4$
 $b'' = 4$
 γ
 A
 A
 B
 B
 C
 C
 D
 D

Figura 1.79: Problema 18: reazioni vincolari e diagrammi del momento e del taglio.

diagramma del momento a destra di B si basa sui valore del taglio e del momento

alla destra di B, ovvero $M_{Bd} = -8 \text{ KN m}$ e $T_{Bd} = 4 \text{ KN}$ (quest'ultimo si calcola immediatamente dall'equilibrio alla traslazione verticale del tratto AB_d). Infatti T_{Bd} è pari alla derivata del momento alla destra di B, cioè pari alla tangente dell'angolo formato dalla retta tangente alla destra di B con l'orizzontale, assunto positivo se orario in conseguenza del fatto di

disegnare

il diagramma del momento verso il basso se positivo. La retta tangente al diagramma del momento a destra di B può allora facilmente ricavarsi staccando

in direzione orizzontale un qualsiasi segmento di lunghezza a (in figura 1.79.d si è preso $a = 2\text{m}$), e ricavando il corrispondente segmento verticale $b = a \tan \alpha = a T_{Bd} = 2\text{m} \cdot 4\text{KN} = 8\text{KN m}$.

• Il diagramma del momento nel tratto CD si può tracciare partendo dai valori del taglio e del momento alla destra di C, pari a $T_{Cd} = 2\text{KN}$ e $M_{Cd} = 0$. Il taglio è pari alla tangente dell'angolo formato dalla retta tangente alla destra di C con l'orizzontale (figura 1.79.d). Tale tangente, analogamente a prima, può essere

G. Alfano - Travature piane 65

disegnata staccando come segmento orizzontale il tratto di fondamentale tra C ed il

punto medio tra C e D, di lunghezza pari a $a_0 = 2\text{m}$, e ricavando il corrispondente

segmento verticale $b_0 = a_0 \tan \alpha = 4\text{KN m}$.

• Tracciata la tangente alla destra di C, quella in D si ricava immediatamente in quanto deve incontrare la tangente alla destra di C sulla verticale passante per il

punto medio tra C e D.

• Note le due tangenti alla destra di C ed in D si può quindi interpolare la parabola.

Per quanto riguarda il diagramma del taglio, si è già visto che esso è nullo nel tratto

AB. In B ha un salto verso l'alto pari a 4KN , pari alla reazione in B che è diretta verso

l'alto. Nel tratto BD deve avere pendenza costante in quanto $T_0 = -q = -1\text{KN/m}$.

Tale valore rappresenta la tangente dell'angolo formato dal diagramma con l'orizzontale.

Riportando il diagramma del taglio verso l'alto se positivo, è positivo se antiorario, per cui in questo caso, essendo $\tan \alpha = -1$, risulta orario. La tangente

è stata disegnata staccando il segmento orizzontale $a_{00} = 4\text{m}$ e ricavando quello

corrispondente verticale pari a $b_{00} = a_{00} |\tan \alpha| = 4\text{KN}$ (figura 1.79.e).

Il diagramma del taglio ha poi un salto in corrispondenza del punto C verso l'alto

pari a 2KN , che è pari alla forza concentrata verso l'alto applicata. Continua poi con

la stessa pendenza nel tratto CD ed ha il suo punto di nullo nella mezzieria di tale tratto

in corrispondenza del massimo del diagramma del momento flettente.

1.5 Travature non ad asse rettilineo - Metodi grafici

Per travatura non ad asse rettilineo si intende in questo contesto un assemblaggio di

travi rettilinee i cui assi non sono tutti disposti su una stessa retta. Per tali tipi di problema

si studieranno, in luogo dei metodi analitici sviluppati finora, solamente metodi grafici. Inoltre, per semplificare la trattazione ci si limiterà al tracciamento del solo diagramma

del momento, sebbene alcune considerazioni si svolgeranno per tutte e tre le caratteristiche della sollecitazione.

I metodi grafici che si illustreranno si basano su poche ma fondamentali condizioni di

equilibrio grafico, note dalla Meccanica Razionale, che si espongono preliminarmente.

1.5.1 Condizioni di equilibrio grafico

Dato un sistema F di forze costituito da n vettori forza F_i , $i = 1, \dots, n$, si ottiene il

cosiddetto poligono di tali forze disponendo n vettori F_{0i} equipollenti ciascuno alla forza

F_i , in modo tale che l'estremo iniziale della forza F_{0i}

$i+1$ sia coincidente con quello finale

della forza F_{0i}

i . E' facile vedere che il vettore che ha il suo estremo iniziale coincidente con l'estremo iniziale di F_{01}

ed il suo estremo finale coincidente con l'estremo finale di

F_{0n}

è equipollente alla risultante di F (figura 1.80).

Condizioni necessarie e sufficienti affinché un sistema di due forze, o di tre forze, sia

equivalente a zero sono le seguenti:

Teorema 6 Un sistema di due forze è equivalente a zero se e solo se esse sono uguali

in modulo, opposte in verso e applicate sulla stessa retta d'azione, cioè se e solo se esse

costituiscono una coppia di braccio nullo.

66 G. Alfano - Appunti di Scienza delle Costruzioni

F'_1

$F'_4 F'_3 F'_2$

F'_5

F'_6

Vettore equipollente
alla risultante di

F_1, \dots, F_n

F_1

F_2

F_3

$F_6 F_5$

F_4

Figura 1.80: Poligono delle forze.

F

$-F$

Figura 1.81: Sistema di due forze equivalente a zero.

Teorema 7 Un sistema di tre forze è equivalente a zero se e solo se il loro poligono

è chiuso e le loro rette d'azione convergono in un unico punto del piano, proprio o

improprio.

F'_1

F'_2

F_3
 F_2
 F_3
 F_1

Figura 1.82: Sistema di tre forze equivalente a zero.

Vale inoltre la seguente importante condizione di equivalenza statica tra un sistema

costituito da una forza ed una coppia ed uno formato da una sola forza.

Teorema 8 Si consideri un sistema F_1 costituito da una forza F , applicata in un punto

qualsiasi di una retta r_1 del piano orientata concordemente al verso di F , ed una coppia

G . Alfano - Travature piane 67

M , assunta positiva se antioraria. Percorrendo r_1 nel suo verso positivo si assumano

positive le distanze da r_1 dei punti alla sinistra di r_1 e negative quelle alla destra di r_1 .

Il sistema F_1 è allora equivalente al sistema F_2 costituito dalla stessa forza F applicata

però su una retta r_2 parallela ad r_1 posta alla distanza d da r_1 pari a $d = -M/|F|$.

□

□

□

Figura 1.83: Equivalenza tra un sistema di una forza ed una coppia ed uno formato da una sola forza.

Con riferimento alla figura 1.83, per verificare che i due sistemi F_1 ed F_2 sono tra

loro equivalenti, essendo evidente che essi hanno la stessa risultante F bisogna solo

verificare che essi hanno lo stesso momento risultante rispetto ad un polo scelto arbitrariamente.

Avendo infatti la stessa risultante, se è uguale il loro momento risultante calcolato rispetto ad un polo sarà anche uguale quello calcolato rispetto ad un altro polo

qualsiasi. Nel caso della figura 1.83 il momento risultante M_{1,P_1} di F_1 rispetto al polo

P_1 è M ed è antiorario, cioè positivo secondo la convenzione assunta, mentre quello

di F_2 è dato da $M_{2,P_1} = |F| |d|$, anch'esso positivo. Essendo $|d| = |M|/|F|$ si ha $M_{1,P_1} = M_{2,P_1}$. Assumendo P_2 come polo, il momento risultante rispetto di F_2 è nullo,

e quello di F_1 è dato da $M_{1,P_2} = M - |F| |d| = M + |F| d$, essendo $d < 0$ in questo caso. Poiché $d = -M/|F|$ si ricava che $M_{1,P_2} = 0 = M_{2,P_2}$.

L'ultima verifica sottolinea il fatto che r_2 rappresenta l'asse centrale del sistema F_1 ,

ovvero il luogo dei punti rispetto ai quali il momento risultante di F_1 è nullo.

1.5.2 Applicazioni del metodo grafico ai telai piani isostatici

Problema 1: arco a tre cerniere

Si consideri l'arco a tre cerniere di figura 1.84. Per la determinazione delle reazioni

vincolari bisogna, così come fatto per le travi ad asse rettilineo, utilizzare il principio

di sezionamento imponendo che sia soddisfatto l'equilibrio di ogni tratto della struttura.

Scrivendo ad esempio le equazioni cardinali della statica per i due tratti AB e BC, soggetti

alle eventuali azioni esterne ed alle reazioni vincolari esterne ed interne, essendo

68 G. Alfano - Appunti di Scienza delle Costruzioni

la struttura isostatica si ritrova l'unica soluzione del problema dell'equilibrio e dunque

le reazioni vincolari.

F

A

B

C

Figura 1.84: Problema 1: arco a tre cerniere.

In molti casi significativi, come quello in esame, si possono determinare le reazioni

vincolari in una struttura isostatica e le caratteristiche della sollecitazione utilizzando le

procedure della cosiddetta 'statica grafica'. Con i metodi che si illustreranno di seguito

si ricercano, con ragionamenti di tipo grafico, le reazioni vincolari analizzando un tratto

alla volta. Non è però arbitraria la scelta del tratto da cui iniziare. Si è visto anche

per il calcolo analitico delle reazioni vincolari per esempio nel caso di figura 1.32, che

le 3 equazioni cardinali della statica per il tratto AC coinvolgono 5 incognite e sono

dunque accoppiate alle 3 equazioni da scrivere per il tratto CD, che invece coinvolgono

solamente 3 incognite. Pertanto, anche procedendo attraverso la soluzione analitica

delle equazioni della statica, conviene spesso partire da un tratto e procedere successivamente

all'analisi dell'equilibrio degli altri tratti. I metodi della statica grafica che si illustreranno di seguito si basano sulla possibilità di poter analizzare l'equilibrio della

struttura tratto per tratto.

Ad esempio, nel caso in esame di figura 1.84 non si può partire dal tratto BC.

Infatti

la reazione di B su BC deve avere la sua retta d'azione passante per B.

Analogamente

la reazione in C deve avere la sua retta d'azione passante per C. Il tratto BC è soggetto

a tali due reazioni ed alla forza F, cioè a tre forze. Affinché sussista l'equilibrio le tre

rispettive rette d'azione devono convergere in un unico punto. Ma si vede dalla figura

1.85 che esistono infinite possibilità per soddisfare tale condizione di equilibrio grafico.

Partendo invece dal tratto AB, si vede che, poiché esso è solamente soggetto alle

reazioni in A ed in B, affinché sussista l'equilibrio del tratto tali reazioni devono avere

la stessa retta d'azione. Dovendo poi esse avere rette d'azione passanti rispettivamente

per A e per B, la congiungente tali punti fornisce proprio la retta d'azione cercata (figura

1.86.

Poiché la cerniera in B non è caricata le due sue reazioni su AB e su BC sono uguali

ed opposte ed hanno dunque la stessa retta d'azione, coincidente con la congiungente

A e B. Ritornando allora all'analisi dell'equilibrio del tratto BC, denotando con I e

II i tratti AB e BC, è nota la retta d'azione r_B della reazione R_{II}

B di B sul tratto II.

Per la condizione di equilibrio di tre forze si ricava anche la retta d'azione r_C di R_C ,

come mostrato in figura. I moduli ed i versi delle forze si ricavano poi imponendo che

il poligono delle forze si chiuda.

G. Alfano - Travature piane 69

F

A

B

C

F

B

C

Figura 1.85: Per la soluzione grafica non si può partire dal tratto BC.

Nota R_{II}

R_B , si ricava anche R_I

$$R_B = -R_{II}$$

e dunque $R_A = -R_I$

$$R_B = R_{II}$$

R_B . Le reazioni

vincolari così ottenute sono riportate in figura 1.86.

Per il calcolo del diagramma del momento si può partire dal punto C. Si consideri

allora una sezione S come in figura 1.87 e si imponga l'equilibrio alla rotazione

del tratto CS intorno ad S. In tale condizione di equilibrio non intervengono lo sforzo normale ed il taglio, disegnati perciò in grigio. Si ricava che il modulo $|M_S|$ del momento in S vale $|M_S| = |R_C| d$, dove d è la distanza di S dalla retta d'azione di R_C . Se si conviene di adottare come fondamentale del diagramma del momento in ogni trave l'asse stesso della trave e di disegnare l'ordinata del momento flettente dalla parte delle fibre tese non è necessario assegnare un segno a M_S . Nel caso in esame la coppia agente in S sul tratto CS è antioraria e tende le fibre alla destra del tratto stesso. Il momento varia poi linearmente con d , che a sua volta varia linearmente sul tratto CD in esame poiché esso è rettilineo, per cui si ricava per il tratto CD il diagramma lineare mostrato in figura 1.87. La pendenza può essere assegnata arbitrariamente e determina la scala del diagramma del momento.

Si consideri ora l'equilibrio del nodo D sezionando nelle sezioni D_1 e D_2 immediatamente a sinistra e sotto D. Non essendoci in D una coppia applicata, la coppia oraria corrispondente al momento in D_2 deve essere bilanciata da una coppia uguale in modulo ma antioraria applicata in D_1 , che tende le fibre superiori. Ciò si traduce nel ribaltamento dell'ordinata tracciata in D_2 come mostrato in figura. Considerando ora una sezione S_0 del tratto BD a destra del punto di applicazione della forza, l'equilibrio del tratto S_0C fornisce il modulo del momento flettente in S_0 pari a $|M_{S_0}| = |R_C| d_0$, dove d_0 è la distanza di S_0 dalla retta d'azione di R_C . Il momento varia dunque linearmente con d_0 , che a sua volta varia linearmente sul tratto CD. Il punto di nullo del diagramma

70 G. Alfano - Appunti di Scienza delle Costruzioni

F

A

B

C

$r_A = r_B$

A

B F

B

C

$r_B r_C$

r_F

F

$r_B r_F r_C$

R C

R_B
 II
 F
 A
 B
 C
 R_B
 II
 R_B
 I
 $R_A R_C$
 I II

Figura 1.86: Determinazione delle reazioni vincolari per via grafica.

è quello in cui d_0 si annulla, cioè il punto di intersezione del tratto in esame con la retta

d'azione della reazione R_C . Il diagramma prosegue poi linearmente con la stessa pendenza

fino al punto di applicazione della forza F . Ciò lo si deduce anche considerando una sezione S_{00} tra il punto di applicazione della forza e il punto di nullo del diagramma

ed imponendo l'equilibrio del tratto $S_{00}C$.

Dal punto C fino al punto di applicazione della forza per ogni sezione considerata si è

analizzato l'equilibrio del tratto tra la sezione stessa ed il punto C , e nell'equilibrio alla

rotazione intorno alla sezione sono intervenuti sempre e solo il momento nella sezione

e la reazione R_C . Pertanto il momento flettente in ciascuna sezione deve bilanciare il

G. Alfano - Travature piane 71

F
 A
 B
 C
 R_B
 II
 R_B
 I
 $R_A R_C$
 S
 R_C
 S
 $M_s = d R_C$
 d
 F
 A
 B
 C
 R_B
 II
 R_B
 I
 $R_A R_C$
 E D
 E D

Figura 1.87: Diagramma del momento sul tratto CD.

R_C
 $M_{s'} = d' R_C$
 d'
 C
 S'
 F
 A

B
 C
 R_B
 II
 R_B
 I
 R_AR_C
 S'
 F
 A
 B
 C
 R_B
 II
 R_B
 I
 R_AR_C
 S''
 R_C
 $M_{S''} = d'' R_C$
 d''
 C
 S''
 E D
 E D
 D
 D₂
 D₁

Figura 1.88: Diagramma del momento tra la forza e C.
 72 G. Alfano - Appunti di Scienza delle Costruzioni

$$M = d''' S''' R_C$$

d'''
 S'''
 B
 F
 A
 B
 C
 R_B
 II
 R_B
 I
 R_AR_C
 F
 A
 B
 C
 R_AR_C
 S'_vS'''
 B
 S'_v
 d'_v
 ${}_v M = d'_v S'_v R_C$

E D
 D
 E
 R_B
 II
 R_B
 I

Figura 1.89: Diagramma del momento tra E e C.

F
 A
 B
 C
 R_AR_C
 E D

Figura 1.90: Diagramma del momento completo.

momento di R_C rispetto alla sezione stessa. Passando alle sezioni S_{000} e S_{0v} conviene per semplicità considerare l'equilibrio rispettivamente dei tratti BS_{000} e $S_{0v}B$, come fatto in

figura. Si riconosce che il momento in S_{000} deve bilanciare il momento di R_{II} rispetto

a S_{000} stessa, mentre il momento in S_{0v} deve bilanciare il momento di R_I rispetto a S_{0v} .

G. Alfano - Travature piane 73

Si ottiene il diagramma lineare di figura 1.89.

Per l'equilibrio del nodo E l'ordinata ottenuta in E per il tratto EB si ribalta sul tratto AE, su cui il diagramma prosegue linearmente annullandosi nella cerniera, che è

anche il punto di intersezione del tratto con la retta d'azione di R_A . Il diagramma del

momento completo è riportato in figura 1.90.

Problema 2

A

B

C

I

II

DE

q

L

G

Figura 1.91: Problema 2: geometria e carico.

Si consideri ora il telaio isostatico di figura 1.91 costituito dai due tratti I e II uniti

dal pendolo DE. È facile verificare che, imponendo l'equilibrio di uno solo dei tratti

I o II, non è possibile determinare le rette d'azione delle reazioni vincolari.

Bisogna

invece, in questo caso, partire dall'equilibrio dell'intera struttura. Il carico distribuito

evidentemente può sostituirsi con la sua risultante e le altre forze agenti sulla struttura

sono il sistema di reazioni del pattino in A, ovvero una forza ed una coppia equivalenti

ad un'unica forza R_A avente una retta d'azione ortogonale alla direzione di scorrimento

del pattino, e la reazione R_C . Affinché tali forze siano in equilibrio la retta d'azione di

R_A deve passare per il punto d'intersezione tra la risultante del carico esterno e la retta

d'azione di R_C , come è mostrato in figura 1.92.

Determinata la forza R_A , equivalente al sistema di reazioni del pattino in A, non bisogna dimenticare che tale sistema di reazioni agisce evidentemente in A e non sulla

retta d'azione di R_A

11. Pertanto è utile riportare esplicitamente tale sistema, che si ottiene traslando R_A in A ed aggiungendo la coppia di trasporto.

Note le reazioni in A ed in C, è possibile determinare le reazioni in B e le reazioni del pendolo in D ed E sui due tratti imponendo singolarmente l'equilibrio del tratto I e del tratto II (figura 1.93).

¹¹Tale considerazione sembrerebbe ovvia, ma in realtà non lo è in quanto non è affatto raro l'errore di confondere la retta d'azione della risultante di un sistema di forze con il punto o i punti di applicazione di ciascuna delle forze del sistema.

74 G. Alfano - Appunti di Scienza delle Costruzioni

A
B
C
R C
R A
I
II
D E
Sistemi
equivalenti
q
qL
qL
G

Figura 1.92: Equilibrio esterno.

A
B
C
R C
R A
I
II
D E
Sistemi
equivalenti
R B
I
R B
II
R D
I
R E
II
R A
R B
I
R D
I
G

Figura 1.93: Equilibrio dei tratti I e II.

G. Alfano - Travature piane 75

A
B
C
R C
R A
I
II
d
d

D E
 Sistemi
 equivalenti
 R B
 /
 R B
 //
 R D
 /
 R E
 //
 qL
 qL
 q
 S
 S' M G

Figura 1.94: Diagramma del momento sul tratto I.

A
 B
 C
 R + c
 /
 //
 d
 D E
 R B
 //
 R E
 //
 qL
 retta ausiliaria
 H
 K
 R C
 R E
 //
 R B
 //
 qL +
 G

Figura 1.95: Equilibrio del II tratto e determinazione della retta ausiliaria.

E' possibile iniziare il tracciamento del diagramma del momento da vari punti.

In

questo caso si è iniziato dal punto A. In A il momento non è nullo, e dal verso della

coppia reattiva del pattino si evince che sono tese le fibre alla sinistra di A.

Pertanto

si stacca una prima ordinata dal lato delle fibre tese, il cui modulo determina implicita76

G. Alfano - Appunti di Scienza delle Costruzioni

A
 B
 C
 R C
 R A
 /
 //
 d
 d
 D E
 Sistemi
 equivalenti
 R B
 /

R_B
 $//$
 R_D
 $/$
 R_E
 $//$
 q_L
 q_L
 S
 S'
 retta ausiliaria
 punto di
 nullo
 M_G

Figura 1.96: Diagramma falso sul tratto BG.

A
 B
 R_C
 C
 R_A
 $/$
 $//$
 d
 d
 $D E$
 R_B
 $/$
 R_B
 $//$
 R_D
 $/$
 R_E
 $//$
 G
 R
 C

Figura 1.97: Diagramma del momento completo.

G. Alfano - Travature piane 77

mente la scala del diagramma del momento e quindi va scelto con la sola accortezza di

ottenere una scala ragionevole.

Sul tratto AD il diagramma è lineare non essendoci un carico distribuito.

Avendo già

determinato la scala del momento non è possibile assegnare in modo arbitrario la pendenza

del diagramma, che si determina invece considerando l'equilibrio di un qualsiasi

tratto tra A ed una sezione S contenuta tra A e D. Si vede così facilmente 'la forza che

produce il momento' è R_A e che quindi il punto di nullo del diagramma è l'intersezione

della retta d'azione di R_A con la prosecuzione del tratto AD (figura 1.94). In corrispondenza

del punto di applicazione di R_D

il diagramma presenta una cuspid e, oltre tale punto, è di nuovo lineare e si annulla in B.

Per procedere con il tracciamento del diagramma del momento sul tratto BG, si osserva innanzitutto che si può operare, come visto in precedenza per il problema 16,

considerando 'in prima battuta' al posto del carico la sua risultante applicata

nel punto

M, ovvero in mezzeria. Il diagramma che si ottiene è falso, ed è indicato in grigio nelle

figure 1.96 e 1.97, ma evidentemente i suoi valori in B ed in G e le tangenti in tali punti

saranno corretti.

Pertanto, il diagramma falso è lineare nel tratto BM. Poiché, come si è già osservato,

la scala del diagramma è stata già implicitamente fissata con la prima scelta dell'ordinata

in A, evidentemente anche nel proseguire il diagramma a partire da B, dove il momento è nullo, bisogna in qualche modo rispettare tale scala. A tal fine si utilizza una

semplice costruzione grafica che si basa sulla considerazione che le reazioni R_{IB} e R_{II}

R_B

sono uguali in modulo ed hanno la stessa retta d'azione¹², e che dunque in punti posti

alla stessa distanza da tale retta d'azione si dovrà ottenere lo stesso valore assoluto del

momento flettente, e quindi la stessa ordinata. Pertanto, disegnando due rette parallele

aventi la stessa distanza d dalla retta d'azione delle reazioni in B, le loro intersezioni

con i tratti DB e BG sono rispettivamente i punti S ed S_0 (figura 1.94). Nel punto S

è stato già determinato il momento, per cui l'ordinata del momento in S va riportata in

S_0 . Da quale parte bisogna riportare tale ordinata lo si vede poi considerando il segno

del diagramma del momento (falso) sul tratto BM. In particolare, in questo caso, la

reazione R_{II}

R_B tende le fibre inferiori.

Nota l'ordinata in S_0 , si determina il diagramma lineare falso nel tratto BM fino ad

incontrare la risultante del carico in M, dove il diagramma falso presenta una cuspide.

Considerando ora una sezione generica tra M e G, si può imporre l'equilibrio della

parte del tratto II da tale sezione fino a B, a sinistra, o della parte sempre del tratto II

che va da tale sezione fino a C. Nel primo caso la 'forza che produce il momento è la

risultante della reazione R_{II}

R_B e della risultante del carico. Nel secondo caso tale forza

è data da dalla risultante di R_{II}

R_E e di R_C . Queste quattro forze, insieme, costituiscono

il sistema di forze che agisce sul tratto II, e devono dunque costituire un sistema equivalente

a zero. D'altra parte la risultante di R_{II}

R_B e della forza q L equivalente al carico

è una forza che passa per il punto d'intersezione delle loro rette d'azione, che in figura

1.95 è indicato con K. Analogamente la risultante di R_{11}

e di R_c è una forza che passa

per il punto d'intersezione delle loro rette d'azione, che in figura 1.95 è indicato con H.

Tali due risultanti devono costituire un sistema equivalente a zero e dunque si devono

¹²Si sottolinea che, per soli motivi di chiarezza grafica le due reazioni in B si sono disegnate leggermente

spostate rispetto alla loro retta d'azione, che invece passa per il baricentro della cerniera in B.

78 G. Alfano - Appunti di Scienza delle Costruzioni

trovare sulla stessa retta d'azione, che passa dunque per H e K ed è comunemente detta

'retta ausiliaria' (figura 1.95).

Evidentemente l'intersezione della retta ausiliaria con il tratto MG o con la sua prosecuzione

è proprio il punto di nullo del diagramma tra M e G (figura 1.96). Nel diagramma

falso tra B e G va infine interpolato il diagramma vero, parabolico, tenendo conto che i valori in B e G del diagramma falso e le rispettive tangenti sono corrette

(figura 1.97).

Il resto del tracciamento del diagramma del momento, riportato in figura 1.97, non

presenta difficoltà concettuali nuove e viene lasciato come esercizio.

1.5.3 Segno delle caratteristiche della sollecitazione

Si è visto che la convenzione di riportare il diagramma del momento dalla parte delle

fibre tese consente di tracciare il diagramma senza dover assegnare un segno al momento

flettente in ogni sezione. In molti casi è però opportuno potere assegnare un segno al

momento ed in generale alle caratteristiche della sollecitazione. A tale scopo si deve

considerare per ogni trave rettilinea della travatura, ad esempio la trave i-esima, un

sistema di riferimento locale $\{O, y_i, z_i\}$ avente l'asse z_i coincidente con l'asse della

trave. Per ogni trave il segno delle caratteristiche della sollecitazione si può dunque

ricavare tenendo conto delle convenzioni già adottate e del sistema di riferimento locale

scelto (figura 1.98.a-b).

Dalla figura 1.98.c si nota però che, facendo riferimento al concio elementare, qualsiasi

sia la scelta del riferimento locale il taglio positivo è costituito da due forze che sul concio danno un momento orario. Anche per lo sforzo normale si riconosce che,

qualsiasi sia la scelta del riferimento locale, uno sforzo normale positivo corrisponde ad

una sollecitazione di trazione sul concio elementare.
 Pertanto i segni del taglio e dello sforzo normale possono ricavarsi senza
 dovere necessariamente assegnare per ogni trave un sistema di riferimento locale,
 mentre tale necessità rimane per dare un segno al momento flettente. Spesso, in luogo
 degli assi del riferimento locale per ogni trave della travatura si disegna una linea
 tratteggiata traslando leggermente l'asse di ogni trave dalla parte dell'asse y del
 riferimento locale stesso. In questo modo si riconosce facilmente che un momento flettente è
 positivo se tende le fibre dalla parte della linea tratteggiata ed è negativo se tende le fibre
 dalla parte opposta.
 Con riferimento al diagramma del momento per l'arco a tre cerniere di figura
 1.84, con la linea tratteggiata scelta in figura 1.99 il momento risulta positivo nel
 tratto tra B e G e negativo tra A e B e tra G e C.

G. Alfano - Travature piane 79

z
 y
 $N > 0$
 $T > 0$
 $M > 0$
 z
 y
 $N > 0$
 $T > 0$
 $M > 0$
 $N > 0$
 $T > 0$
 (a)
 (b)
 (c)

Figura 1.98: Segno delle caratteristiche della sollecitazione.

F
 A
 B
 C
 $R_A R_C$
 E D
 G

Figura 1.99: La linea tratteggiata consente di assegnare un segno al momento
 in ogni punto del diagramma.

80 G. Alfano - Appunti di Scienza delle Costruzioni

1.6 Esercizi proposti

Nei problemi 1-16 si richiede:

- di determinare le reazioni vincolari;
- di tracciare i diagrammi del taglio e del momento;
- di ricavare le espressioni analitiche delle funzioni taglio e momento.

□ □ □

□

Problema 1.

□ □ □

□

Problema 2.

G. Alfano - Travature piane 81

□ □ □

□

Problema 3.

□ □

□

□

□

Problema 4.

□ □

□

□

□

Problema 5.

□ □ □

□

Problema 6.

82 G. Alfano - Appunti di Scienza delle Costruzioni

□ □ □

□

Problema 7.

□□ □

□ **Problema 8.**

□ □

□

□

□

Problema 9.

□ □ □

□

Problema 10.
G. Alfano - Travature piane 83

□ □ □

□

Problema 11.

□□ □

□

Problema 12.

□ □ □

□

Problema 13.

□ □

□

□ □

Problema 14.

84 G. Alfano - Appunti di Scienza delle Costruzioni

□ □

□

□

Problema 15.

□ □

□

□ □

Problema 16.

G. Alfano - Travature piane 85

Nei problemi 17-38 si richiede:

- di determinare le reazioni vincolari per via grafica;
- di tracciare il diagramma del momento per via grafica.

q

Problema 17.

q

Problema 18.

86 G. Alfano - Appunti di Scienza delle Costruzioni

q

Problema 19.

q

Problema 20.

□

Problema 21.

G. Alfano - Travature piane 87

q

Problema 22.

q

Problema 23.

q

Problema 24.

88 G. Alfano - Appunti di Scienza delle Costruzioni

q

Problema 25.

□

Problema 26.

q

Problema 27.

G. Alfano - Travature piane 89

q

Problema 28.

q

Problema 29.

90 G. Alfano - Appunti di Scienza delle Costruzioni

q

Problema 30.

Problema 31.

Problema 32.

G. Alfano - Travature piane 91

q

Problema 33.

q

Problema 34.

q

Problema 35.

92 G. Alfano - Appunti di Scienza delle Costruzioni

q

Problema 36.

q

Problema 37.

q

Problema 38.

G. Alfano - Travature piane 93

1.7 Cinematica della trave

In questa sezione si studierà il processo deformativo che porta la trave, a partire da

una configurazione indeformata che si assume coincidente con quella in cui l'asse è

rettilineo, in una deformata.

Si è visto che una trave ad asse rettilineo a sezione costante è definita geometricamente

in una modellazione tridimensionale da un dominio avente la forma di un cilindro retto. Nella modellazione tridimensionale la stessa trave è invece

definita, sempre dal punto di vista geometrico, dai punti del suo asse, ovvero da un intervallo di z , e dalla geometria delle sezioni rette. Lo studio della cinematica delle travi nella modellazione monodimensionale può essere svolto a partire da diversi insiemi di ipotesi. Da ognuno di essi scaturisce un diverso modello cinematico. Si prenderà qui in esame il più utilizzato tra i modelli cinematici, ovvero quello noto come modello di trave inflessa, o anche modello di 'Eulero-Bernoulli'. Le due ipotesi alla base di tale modello che, è bene ripetere, è di tipo monodimensionale, traggono in realtà origine da alcune supposizioni che si fanno circa la deformazione della trave nel modello tridimensionale. Le due ipotesi sono le seguenti:

- Le sezioni rette trasversali nella configurazione indeformata si conservano piane durante la deformazione.
- Le sezioni rette rimangono, oltre che piane, anche ortogonali all'asse deformato durante la deformazione.

y

z

$\phi(z)$

$w(z)$

$v(z)$

Figura 1.100: Funzioni v , w e ϕ .

La prima ipotesi è anche nota come 'principio di conservazione delle sezioni piane'.

In virtù di essa ha senso considerare quali parametri cinematici da associare a ciascun

punto della trave lo spostamento del punto e la rotazione della sezione. Nel caso piano

in esame lo spostamento è definito da un vettore del piano della trave di componenti v

secondo l'asse y e w secondo l'asse z . La rotazione è invece definita dalla sua unica

componente diversa da zero, cioè quella intorno all'asse x . Come si è visto già in

precedenza, ragionando direttamente nel piano essa si assume positiva se antioraria.

La componente v è anche detta 'spostamento trasversale', mentre quella w è anche

94 G. Alfano - Appunti di Scienza delle Costruzioni

detta 'spostamento assiale'. Le componenti dello spostamento e la rotazione sono in

generale diverse per ogni punto dell'asse e dunque, con riferimento alla figura

1.100,

sono funzioni di z definite nell'intervallo $[0, L]$.

Si considerano per semplicità separatamente i due casi in cui v e w sono non nulle e

w è nulla, ed in cui w è non nulla mentre v e w sono nulle.

Nel primo caso, in virtù della seconda ipotesi la rotazione $\alpha(z)$ è uguale in ogni punto z a quella $\alpha(z)$ della tangente all'asse. Data l'ipotesi semplificativa che w è identicamente nulla, la tangente di $\alpha(z)$ è uguale in modulo alla derivata $v_0'(z)$ (figura

1.101), ed opposta in segno in quanto lo spostamento v in figura è positivo se verso il

basso mentre $\alpha(z)$ è positiva se antioraria. Pertanto la rotazione α è legata alla funzione

v dalla relazione:

$$\alpha(z) = -\arctang v_0'(z) \quad (1.43)$$

y

z

$\phi(z)$

$\alpha(z)$

$$\tan \alpha = -v'(z)$$

$$\phi(z) = \alpha(z)$$

(z)

Figura 1.101: Relazione tra rotazione e spostamento trasversale.

Si definisce curvatura della trave in un punto z , e si indicherà con κ , uno scalare il

cui modulo è dato dall'inverso del raggio di curvatura $R(z)$ dell'asse nel punto z nella

configurazione deformata, se tale raggio è finito, ed il cui segno è uguale a quello di

$\alpha(z)$. Se il raggio è infinito la curvatura si assume invece nulla. Dalla figura 1.102 si ha

dunque:

$$\kappa(z) =$$

$\frac{1}{R(z)}$

$= \lim_{s \rightarrow 0} \frac{d\alpha(z+s) - \alpha(z)}{ds}$

$= \lim_{s \rightarrow 0} \frac{d\alpha(z+s) - \alpha(z)}{ds}$

$$= \lim_{s \rightarrow 0} \frac{d\alpha(z+s) - \alpha(z)}{ds}$$

$=$

$\frac{d\alpha(z)}{dz}$

$=$

$\frac{d\alpha(z)}{dz}$

$=$

$\frac{d\alpha(z)}{dz}$

$=$

$\frac{d\alpha(z)}{dz}$

$=$

$\frac{d\alpha(z)}{dz}$

Poiché si ha (figura 1.103):

$\frac{d\alpha(z)}{dz}$

$$\frac{dz}{ds} = \lim_{\Delta z \rightarrow 0} \frac{\Delta z}{\Delta s} = \frac{1}{\sqrt{1 + v_0(z)^2}} \quad (1.45)$$

ed inoltre dalla (1.43):

$$\frac{ds}{dz} = \sqrt{1 + v_0(z)^2} \quad (1.46)$$

si ottiene:
 $\frac{d^2z}{ds^2} = -\frac{v_0(z)}{1 + v_0(z)^2}$

$$\frac{d^2s}{dz^2} = -\frac{v_0(z)}{1 + v_0(z)^2} \frac{1}{\sqrt{1 + v_0(z)^2}} = -\frac{v_0(z)}{[1 + v_0(z)^2]^{3/2}} \quad (1.47)$$

G. Alfano - Travature piane 95

$$\Delta \phi = \phi(z + \Delta z) - \phi(z)$$

Δs

Figura 1.102: Curvatura nel tratto $[z, z + \Delta z]$.

$$ds = \sqrt{1 + v^2} dz + o(\Delta z)$$

$$\Delta s = \Delta z \sqrt{1 + v^2} + o(\Delta z)$$

Δ

Figura 1.103: Relazione tra s e z .

e quindi la seguente relazione differenziale che lega la funzione v alla curvatura:

$$\frac{d^2z}{ds^2} = -\frac{v_0(z)}{[1 + v_0(z)^2]^{3/2}} \quad (1.48)$$

Nel caso in cui w è non nulla mentre v e κ sono identicamente nulle la curvatura dell'asse della trave risulta identicamente nulla. Dati due punti rispettivamente alle ascisse z e $z + \Delta z$, la loro distanza l nella configurazione indeformata è z . La loro

distanza l_d nella configurazione deformata è data da (figura 1.104):

$$l_d(z) = [z + z + w(z + z)] - [z + w(z)] = z + w(z + z) - w(z) \quad (1.49)$$

Si definisce deformazione assiale della trave all'ascissa z e si indica con ϵ_a il limite del

rapporto $(l_d - l)/l$ per z tendente a 0. Dalla (1.49) si ricava:

$$\begin{aligned} \epsilon_a(z) &= \lim_{z \rightarrow 0} \frac{l_d - l}{l} \\ &= \frac{z + w(z + z) - w(z) - z}{z} \\ &= \frac{w(z + z) - w(z)}{z} \end{aligned} \quad (1.50)$$

e quindi la seguente relazione differenziale lineare che lega la funzione w alla deformazione

assiale ϵ_a :

$$\epsilon_a(z) = w_0(z) \quad (1.51)$$

Nel seguito si farà sempre l'ipotesi che gli spostamenti e le rotazioni siano sufficientemente

piccoli da poter confondere $\tan \theta$ con θ e da poter trascurare il termine $v_0(z)^2$

96 G. Alfano - Appunti di Scienza delle Costruzioni

$$\begin{aligned} & \frac{z + \Delta z}{z} \\ & \frac{w(z) + w(z + \Delta z)}{z + w(z)} \\ & \frac{z + \Delta z + w(z + \Delta z)}{z + w(z)} \\ & \frac{l_d}{l} \end{aligned}$$

Figura 1.104: Deformazione assiale del concio elementare.

rispetto all'unità. In tal caso la relazione (1.43) si semplifica in:

$$\epsilon(z) = -v_0(z) \quad (1.52)$$

e la relazione (1.48) si semplifica in:

$$\epsilon(z) = \sigma(z) = -v_{00}(z) \quad (1.53)$$

Nel caso più generale in cui w , v e θ sono tutte non identicamente nulle le relazioni

(1.48) e (1.51) si complicano. In particolare, ϵ e ϵ_a risultano entrambi funzioni non

lineari sia di v che di w . Nell'ipotesi che gli spostamenti siano sufficientemente piccoli,

che equivale a considerare trascurabili le derivate v_0 e w_0 rispetto all'unità, si ottiene

però anche nel caso generale un disaccoppiamento del comportamento 'flessionale',

espresso dalla relazione (1.53) da quello 'estensionale', che anche nell'ipotesi di piccoli

spostamenti è espresso dalla (1.51).

E' utile sottolineare che per ϵ e ϵ_a entrambi non nulli, la deformazione assiale rappresenta la dilatazione lineare della fibra baricentrica, ovvero dell'asse della trave.

Nell'ipotesi di piccoli spostamenti le relazioni che sintetizzano la cinematica del

modello di trave di Eulero-Bernoulli si riassumono dunque come segue:

$\delta > > > < >$

$> > :$

$$(z) = -v_0(z)$$

$$(z) = \theta(z) = -v_{00}(z)$$

$$w_a(z) = w_0(z)$$

(1.54)

Tali relazioni vanno affiancate da opportune condizioni al contorno fornite dalle eventuali

condizioni di vincolo cinematico presenti.

La curvatura e la deformazione assiale w_a possono vedersi come le 'deformazioni'

nel modello di trave di Eulero-Bernoulli. Tali deformazioni sono nulle per uno spostamento rigido, in cui v_{00} e w_0 sono identicamente nulle.

G. Alfano - Travature piane 97

1.8 Legame elastico lineare per il modello di trave piana di Eulero-Bernoulli

Fino ad ora si sono studiati due aspetti del modello di Eulero-Bernoulli per le travature

piane, quello statico e quello cinematico. Per definire completamente il modello strutturale rimane da definire il legame costitutivo, ovvero la legge che lega le deformazioni

del modello, ovvero nel caso in esame la deformazione assiale e la curvatura, alle

caratteristiche della sollecitazione, ovvero lo sforzo normale ed il momento flettente.

La scelta del legame costitutivo più efficace dipende dal problema in esame.

Qui si

introdurrà un legame costitutivo di tipo elastico lineare, che non solo è il più semplice

da trattare dal punto di vista matematico ma è anche estremamente efficace a riprodurre

il comportamento delle travi nella maggioranza delle applicazioni ingegneristiche. Esso

traduce ad un livello mediato sull'intera sezione l'ipotesi di comportamento elastico

lineare di ciascun punto della sezione, comportamento che si studierà in modo più approfondito

nella parte del corso sulla meccanica del continuo. Nella realtà i più comuni materiali usati per le applicazioni strutturali (ad esempio acciaio, alluminio, materiali

compositi fibrorinforzati) presentano un comportamento reale che è perfettamente

schematizzato da un legame elastico lineare quando le sollecitazioni non superano determinati

valori limite. Altri importanti materiali, come il calcestruzzo, non presentano un comportamento perfettamente schematizzabile come elastico lineare ma anche per

essi l'ipotesi di elasticità lineare fornisce un'approssimazione accettabile in moltissimi

casi e sempre entro valori limitati della sollecitazione.

Il legame elastico lineare per la trave di Eulero-Bernoulli lega la deformazione assiale e la curvatura alle caratteristiche della sollecitazione mediante le seguenti due leggi di

proporzionalità :

$$N = K_a \epsilon_a M = K_f \kappa \quad (1.55)$$

I coefficienti K_a e K_f rappresentano rispettivamente la 'rigidezza estensionale' e la

'rigidezza flessionale' della trave. In questa trattazione tali coefficienti potrebbero essere

introdotti senza altra ulteriore precisazione, semplicemente mediante la definizione

(1.55). Tuttavia è utile in tale contesto fare una sorta di anticipazione di alcuni risultati,

che si ricaveranno in seguito studiando un modello tridimensionale della trave, per legare

le due rigidezze appena definite alle proprietà meccaniche del materiale ed a quelle

geometriche della sezione retta della trave. Si limita qui l'analisi al caso delle travi con

caratteristiche meccaniche omogenee, ovvero non variabili da punto a punto né lungo

l'asse z né sulla sezione retta.

Trattando dapprima il caso di sola deformazione assiale, ovvero $\epsilon_6 = 0$ e $\epsilon_7 = 0$, si

consideri il concio di trave riportato in figura 1.105.a nella sua configurazione indeformata

e si consideri una modellazione tridimensionale dello stesso. Si assuma inoltre che

la deformazione ϵ_a sia costante nell'intervallo $[z, z + \Delta z]$. Tutte le fibre longitudinali

saranno caratterizzate dallo stesso valore della deformazione in direzione longitudinale

ϵ , pari proprio a ϵ_a (figura 1.105.b):

$$\epsilon = \epsilon_a =$$

$$\frac{l_d - l}{l}$$

$$l$$

$$(1.56)$$

dove ancora l ed l_d indicano le lunghezze iniziale e finale della fibra.

98 G. Alfano - Appunti di Scienza delle Costruzioni

Sulla sezione, alla deformazione ϵ il legame elastico associa una tensione $\sigma = dF/dA$, ovvero una forza dF per unità di superficie della sezione dA (figura 1.106),

ad essa proporzionale. Il coefficiente di proporzionalità è detto 'modulo elastico', o

'modulo di Young', ed è indicato con E :

$$\sigma = E \epsilon \quad (1.57)$$

Si è detto che si limita qui l'analisi al caso delle sezioni omogenee, per le quali il

modulo elastico è costante, per cui ad un diagramma costante di deformazioni sulla

sezione corrisponde un diagramma costante di tensioni σ pari a $\sigma = E \epsilon_a$ (figura

1.106).

In questo caso, come si vedrà meglio nel seguito del corso, il momento risultante delle tensioni intorno all'asse x è nullo, e quindi $M = 0$, mentre lo sforzo normale deve

evidentemente euagliare la risultante delle tensioni sulla sezione, ovvero si ha:

$$N = \int_A \sigma dA$$

$$dA = E \epsilon_a Z_A$$

$$N = EA \epsilon_a \quad (1.58)$$

$$z \text{ da } z \text{ a } z + \Delta z$$

$$\Delta z$$

$$z$$

(a) (b)

$$l = \Delta z$$

$$N \quad N \quad N \quad N$$

$$l = (1 + \epsilon_a) \Delta z$$

Figura 1.105: Deformazione assiale: (a) concio indeformato; (b) concio deformato.

Passando ora al caso della sola flessione, ovvero $\epsilon_a = 0$ e $\epsilon = 0$, si consideri il concio

di trave riportato in figura 1.106.a nella sua configurazione indeformata e si consideri

una modellazione tridimensionale dello stesso. Si indichi per semplicità con PQ sia

il segmento congiungente due punti P e Q che la sua lunghezza. La generica fibra

longitudinale della trave, avente una coordinata y nel sistema di riferimento in figura

1.107, avrà lunghezza z nella configurazione indeformata. Pertanto le lunghezze AB

e A₀B₀ dei segmenti riportati in figura 1.107.a sono entrambe pari a z.

Avendosi solo deformazione flessionale, ovvero essendo $\epsilon_a = 0$, nella configurazione

deformata del concio riportata in figura 1.107.b il segmento baricentrico A₀B₀ si

13E' utile comunque accennare che l'estensione della trattazione al caso di travi non omogenee viene

fatta conservando l'ipotesi di conservazione delle sezioni piane, per cui nel caso di pura deformazione

assiale si ha ancora un diagramma costante delle deformazioni mentre il diagramma delle tensioni sulla

sezione ottenuto tramite la (1.57) non sarà costante. Il caso delle travi non omogenee è peraltro di estremo

interesse in quanto è quello delle travi in cemento armato, o in materiale composito fibrorinforzato.

G. Alfano - Travature piane 99

σ

y

z

dA

N N

σ

x

y

dF

$$\sigma = \frac{dF}{dA}$$

Figura 1.106: Diagramma delle tensioni sulla sezione nel caso di sola deformazione assiale.

$A'_0 B'_0$

$A' B'$

$z \quad z + \Delta z$

AB

$A_0 B_0$

$\Delta \phi$

Δz

yz

(a) (b)

R

$R + y$

Figura 1.107: Deformazione delle fibre longitudinali nel caso di sola flessione. trasforma in un segmento $A_0 B_0$ di uguale lunghezza, per cui si ha $A_0 B_0 = z$. Invece,

la lunghezza di un segmento longitudinale non baricentrico avente una coordinata y non

nulla non avrà più lunghezza z . Se la curvatura è positiva, come nel caso in figura,

i segmenti longitudinali posti ad $y > 0$ si allungano mentre quelli posti ad una coordinata

$y < 0$ si contraggono. Considerando un valore costante della curvatura, l'asse baricentrico della trave e ciascuna delle altre fibre longitudinali si trasformano dopo la

deformazione in un arco di cerchio, di raggio $R = 1/\kappa$. Detto l'angolo formato tra

$\sigma(y)$

y

z

M

M

dA

x

y

dF

$\sigma =$

dF

dA

$y y$

Figura 1.108: Diagramma delle tensioni sulla sezione nel caso di sola flessione. le sezioni alle ascisse z e $z + \Delta z$ nella configurazione deformata, si ha:

$$z = AB = A_0 B_0 = A_0 B_0 = R A_0 B_0 = (R + y) \Delta z \quad (1.59)$$

La deformazione del segmento AB di coordinata y è data da:

$$\Delta z(y) =$$

$$A_0 B_0 - AB$$

$$AB$$

$$=$$

$$(R + y) - R$$

R

=

y

R

$$= y \quad (1.60)$$

Alla deformazione $\epsilon(y)$ il legame elastico associa una tensione $\sigma(y) = E \epsilon(y)$. Si

ha

quindi:

$$\sigma(y) = E \epsilon(y) = E y \quad (1.61)$$

Le caratteristiche della sollecitazione devono rappresentare un sistema equivalente all'insieme

delle tensioni agenti puntualmente sulla sezione, e quindi il momento flettente M sulla sezione deve essere pari al momento risultante delle tensioni intorno all'asse

x. Si ha dunque:

$$M = \int_A \sigma y \, dA$$

$$= \int_A E y^2 \, dA$$

$$= E \int_A y^2 \, dA = EI \quad (1.62)$$

$$I = \int_A y^2 \, dA$$

avendo indicato con I il 'momento d'inerzia' della sezione¹⁴, dato da:

$$I = \int_A y^2 \, dA$$

$$I = \int_A y^2 \, dA \quad (1.63)$$

Si vedrà rigorosamente in seguito invece che in questo caso la risultante secondo z delle

tensioni è nulla, per cui si ha che $N = 0$.

Concludendo, le rigidezze assiale e flessionale sono date da:

$$K_a = EA \quad K_f = EI \quad (1.64)$$

¹⁴Poiché nelle travature piane la flessione della trave avviene sempre intorno all'asse x , non si mette

nessun pedice per specificare che il momento d'inerzia I è quello intorno all'asse x .

Analogamente si

sottintende, nelle travature piane, che $M = M_x$.

G. Alfano - Travature piane 101

e le (1.55) possono risciversi:

$$N = EA \epsilon_a \quad M = EI \epsilon_f \quad (1.65)$$

o equivalentemente:

$$\epsilon_a =$$

$\frac{N}{EA}$

$\epsilon_f =$

$\frac{M}{EI}$

$\epsilon_f =$

$\frac{M}{EI}$

$$(1.66)$$

Tali relazioni sono state derivate assumendo che la deformazione e la curvatura siano

costanti su $[z, z + \Delta z]$. Per l'arbitrarietà di Δz evidentemente valgono anche al limite

per $\Delta z \rightarrow 0$, per cui possono essere assunte come relazioni puntuali anche quando i

diagrammi della deformazione assiale e della curvatura, o equivalentemente dello sforzo

normale e del momento, non sono costanti.

1.8.1 Distorsioni termiche

Le deformazioni nelle strutture possono essere indotte da uno stato di sforzo interno,

come si è visto nel paragrafo precedente, oppure possono essere indotte da altre azioni

quali ad esempio variazioni termiche o di umidità, reazioni chimiche, cambiamenti di

fase. Tali tipi di deformazioni sono dette 'distorsioni'.

Si studierà qui il caso delle distorsioni termiche, che è di grande importanza per quasi

tutte le tipologie strutturali. Peraltro altri tipi di distorsioni si trattano in modo analogo.

Si consideri il generico concio di trave riportato in figura 1.109 e si assuma che sforzo normale e momento flettente siano nulli mentre la temperatura del materiale sia

passata uniformemente dal valore t_0 della configurazione indeformata ad un valore t ,

con una variazione dunque $t = t - t_0$. In questo caso la distorsione termica è detta

'uniforme' ed ogni fibra longitudinale del concio, di lunghezza iniziale $l = z$, si deforma e la sua variazione di lunghezza è pari a $l_d - l = \alpha t z$, avendo indicato con

il coefficiente di dilatazione termica del materiale, che ha le dimensioni dell'inverso

di una temperatura. La deformazione assiale della trave vale dunque:

$$\alpha_a =$$

$$\frac{l_d - l}{l}$$

$$=$$

$$\alpha t \quad (1.67)$$

mentre la curvatura è nulla. Si noti quando $t > 0$ la deformazione di tutte le fibre è

positiva e quindi $\alpha_a > 0$. Ovviamente, se $t < 0$ dalla (1.67) si ottiene coerentemente

che $\alpha_a < 0$.

Si parla invece di distorsione termica 'a farfalla' quando le fibre longitudinali sono

soggette ad una variazione di temperatura rispetto a quella iniziale t_0 della configurazione

indeformata che è variabile linearmente con la coordinata y , e che è nulla per $y = 0$.

Dalla figura 1.110 si vede che la variazione di lunghezza $l(y)$ della fibra longitudinale

di coordinata y è pari a

$$l(y) = (t(y) - t_0) z =$$

$$(t_i - t_s)$$

$$H$$

$$y z \quad (1.68)$$

dove H indica l'altezza della sezione, t_s e t_i indicano i valori della temperatura rispettivamente

ai lembi superiore ed inferiore. Essendo $l = z$, la deformazione della fibra è

dunque data da:

$$u(y) =$$

$$I(y)$$

$$I$$

$$=$$

$$t_i - t_s$$

$$H$$

$$y \quad (1.69)$$

102 G. Alfano - Appunti di Scienza delle Costruzioni

$$y$$

$$z$$

$$y$$

$$t_0$$

$$\Delta t = t - t_0$$

$$H$$

$$t \text{ (temperatura)}$$

$$t_0$$

Figura 1.109: Distorsione termica uniforme.

$$y$$

$$z$$

$$y$$

$$t_s \text{ to } t_i$$

$$\Delta t = t - t_s$$

$$H$$

$$t(y)$$

$$t \text{ (temperatura)}$$

Figura 1.110: Distorsione termica 'a farfalla'.

Ponendo;

$$u(y) = y \quad (1.70)$$

ed indicando nel caso della distorsione a farfalla con $t = t_i - t_s$, si ricava:

$$=$$

$$t$$

$$H$$

$$(1.71)$$

mentre la deformazione assiale è nulla in quanto la fibra baricentrica rimane indeformata

essendo $t(y = 0) = t_0$.

Si osserva che quando $t > 0$ la curvatura è positiva, mentre se $t < 0$ dalla (1.71)

si ottiene coerentemente una curvatura negativa.

Il caso più generale di una variazione di temperatura che varia linearmente con y , ma

che non si annulla per $y = 0$, può decomporsi come sovrapposizione di una distorsione

uniforme e di una distorsione a farfalla.

Si noti che si è utilizzato lo stesso simbolo t per indicare sia il valore costante della

variazione di temperatura nel caso della distorsione termica uniforme, sia la differenza

tra le temperature al lembo inferiore e superiore nel caso della distorsione termica a

farfalla. Ciò sia al fine di uniformarsi alla notazione classicamente utilizzata, sia perché

l'ambiguità della notazione viene superata utilizzando nel disegno degli schemi strutturali

simbologie diverse, come indicato in figura 1.111. In particolare, per indicare una distorsione a farfalla si utilizza la simbologia di figura 1.111.a, mentre per la distorsione uniforme si utilizza o quella di figura 1.111.b, o più semplicemente, quella di figura 1.111.c.

G. Alfano - Travature piane 103

D_t D_t

D_t

(a) (b)

(c)

Figura 1.111: Simbologia delle distorsioni termiche.

1.8.2 Sovrapposizione delle deformazioni elastiche e delle distorsioni

Si consideri ora il caso più generale in cui il comportamento del materiale è elastico

lineare e le deformazioni nella trave siano indotte sia dalla presenza sia di caratteristiche

della sollecitazione non nulle che di distorsioni termiche di tipo sia uniforme che a

farfalla.

Valendo il principio della sovrapposizione degli effetti, i valori della deformazione

assiale e della curvatura si ottengono allora come somma di quelli che si otterrebbero in

presenza solamente delle caratteristiche della sollecitazione e di quelli dovuti solamente

alle distorsioni termiche. In particolare, la deformazione assiale e la curvatura si decompongono

nella somma di una parte elastica, ϵ_{el} ed ϵ_{el} , e di una dovuta alle distorsioni,

ϵ_{dist} ed ϵ_{dist} . Nel caso delle distorsioni termiche visto in precedenza si ha in

particolare:

ϵ_{el}

$a =$

N

EA

ϵ_{dist}

$a = \epsilon_{el} =$

M

EI

$\epsilon_{dist} =$

t

H

(1.72)

da cui si ricavano le seguenti relazioni generali:

$\epsilon_a = \epsilon_{el}$

$a + \epsilon_{dist}$

$a =$

N

EA

$$+ t = el + dist =$$

M

EI

+

t

H

(1.73)

1.9 Il problema dell'equilibrio elastico per il modello di Eulero-Bernoulli

L'insieme delle equazioni differenziali (1.51) e (1.53), che definiscono la cinematica

del modello di Eulero-Bernoulli, delle equazioni (1.73), che rappresentano il legame

elastico lineare in presenza di disorsioni termiche, e delle equazioni differenziali di

equilibrio (1.24)₁ e (1.25), insieme alle condizioni al contorno di carattere statico e

104 G. Alfano - Appunti di Scienza delle Costruzioni

cinematico, definiscono il problema dell'equilibrio elastico per tale modello.

Esse si

riportano di seguito:

Problema

dell'equilibrio

elastico

26666666666666666664

cinematica 8<:

$$"a = w_0$$

$$= 0 = -v_{00}$$

legame elastico 8>><>>:

$$"a =$$

N

EA

+ t

=

M

EI

+

t

H

equilibrio 8<:

$$N_0 = -p$$

$$M_{00} = -q$$

(1.74)

Le condizioni al contorno possono essere di tipo statico, del tipo di quelle studiate nella

sezione 1.4.4, o di tipo cinematico.

In tale problema sono assegnati la geometria della travatutra piana (gli assi delle travi

che la compongono e le sezioni rette delle travi), i parametri del materiale (il modulo di

Young E ed il coefficiente di dilatazione lineare), i vincoli e le azioni (forze,

coppie, carichi distribuiti, distorsioni termiche e cedimenti). Le incognite sono le funzioni spostamento assiale w e trasversale v , le deformazioni del modello, ovvero la deformazione assiale ϵ_a e la curvatura κ , nonché le caratteristiche della sollecitazione N ed M . Esprimendo queste ultime in funzione di ϵ_a e κ mediante le inverse delle (1.74)₃₋₄

si ottiene: $\epsilon_a = \frac{N}{EA} + \alpha t$:

$$N = EA(\epsilon_a - \alpha t)$$

$$M = EI \kappa - H$$

$$H \quad (1.75)$$

Sostituendo in tali relazioni, ad ϵ_a e κ , le relazioni cinematiche (1.74)₁₋₂ si ottiene:

$$\epsilon_a = \frac{dw}{dx}$$

$$\kappa = \frac{d^2w}{dx^2}$$

$$N = EA(w_0' - \alpha t)$$

$$M = EI -v_0'' - H$$

$$H \quad (1.76)$$

Sostituendo infine queste ultime espressioni nelle equazioni differenziali di equilibrio

(1.74)₅₋₆ si ricava: $\frac{d^2N}{dx^2} = -p$:

$$[EA(w_0' - \alpha t)]_0' = -p$$

$$EI -v_0'''' = q$$

$$H$$

$$H_{00}$$

$$= -q$$

$$(1.77)$$

Le equazioni (1.77) forniscono la cosiddetta 'formulazione agli spostamenti' del problema

dell'equilibrio elastico, e sono anche note come 'equazioni della linea elastica'. In

esse le uniche incognite rimaste sono le funzioni spostamento w e v , note le quali è possibile

ricavare le deformazioni e le caratteristiche rispettivamente mediante (1.74)₁₋₂ e

G. Alfano - Travature piane 105

le (1.75). Le (1.77) sono valide nel caso generale in cui sia le rigidezze EA ed EI che le

distorsioni termiche sono variabili da punto a punto (purché continue e sufficientemente

derivabili).

Nel caso in cui le rigidezze EA ed EI sono costanti, o almeno costanti a tratti, e le

distorsioni termiche sono nulle le (1.77) si specializzano come segue:

$$\frac{d^2N}{dx^2} = -p$$

$$EI v_0'''' = q$$

$$H$$

$$(1.78)$$

Si vede inoltre facilmente che, se il coefficiente α è costante, le (1.78) valgono anche in

presenza di una distorsione termica uniforme costante con z e di una a farfalla variabile linearmente con z . Alle (1.77) e (1.78) bisogna ovviamente aggiungere le opportune condizioni al contorno.

1.9.1 Esistenza ed unicità

Esistenza

E' possibile dimostrare che, per una struttura labile, la soluzione del problema dell'equilibrio elastico formulato nella sezione precedente esiste se e solo se esiste quella dell'equilibrio. Ciò implica che per una struttura non labile la soluzione esiste sempre.

Unicità

Se la soluzione esiste si dimostra che essa è unica in termini di deformazioni u e v ed in termini di caratteristiche della sollecitazione N e M , mentre è definita a meno di un arbitrario spostamento rigido infinitesimo (consentito dai vincoli) in termini di spostamenti.

Evidentemente per strutture non labili non esistono spostamenti rigidi infinitesimi consentiti dai vincoli, per cui la soluzione in questo caso è unica anche in termini di spostamenti.

Tale risultato è noto come 'principio di Kirchhoff' e la sua dimostrazione si basa sulle ipotesi di piccoli spostamenti e di comportamento elastico del materiale.

1.9.2 Principio di sovrapposizione degli effetti

Le equazioni che definiscono il problema dell'equilibrio elastico sono lineari. Ciò significa

che se si amplificano tutte le azioni (forze, coppie, carichi, distorsioni e cedimenti)

per un unico fattore λ , tutti gli effetti (spostamenti, deformazioni e caratteristiche della sollecitazione) sono moltiplicati per λ .

Più in generale, si vede facilmente che, dato un sistema di azioni A ottenuto come

sovrapposizione di singole azioni A_i , la soluzione si ottiene sommando fra loro le soluzioni ottenute per ciascuna delle singole azioni A_i .

Tale risultato è noto come 'principio di sovrapposizione degli effetti', e la sua validità

dipende dalla validità delle ipotesi che hanno condotto alla linearità delle equazioni,

ovvero la piccolezza degli spostamenti ed il comportamento elastico lineare.

106 G. Alfano - Appunti di Scienza delle Costruzioni

1.9.3 Integrazione delle equazioni della linea elastica: cenni al caso generale.

In generale, la soluzione delle equazioni (1.77) o, nel caso più semplice, le

(1.78), si ricava in modo analogo sia per le strutture isostatiche che per quelle isostatiche. Inoltre la travatura può essere costituita da travi i cui assi sono tutti appartenenti ad una stessa retta (trave ad asse rettilineo), oppure può essere costituita anche da un sistema piano di travi, ciascuna rettilinea, i cui assi però non appartengono ad una stessa retta (telaio). In entrambi i casi conviene scrivere le equazioni differenziali separatamente in ciascun tratto in cui le espressioni sono costanti. Con riferimento alla trave ad asse rettilineo di figura 1.112, per gli integrali indefiniti delle funzioni v e w si ricavano espressioni diverse nei tratti AB, BC e CD, in funzione di un certo numero di costanti di integrazione. Queste ultime si determinano imponendo delle condizioni al contorno nei punti A, B, C e D. Alcune di queste sono di carattere statico, cioè sul momento e sullo sforzo normale, del tipo di quelle studiate nella sezione 1.4.4, mentre altre sono di carattere cinematico, del tipo di quelle che si studieranno nella sezione che segue.

Dt

q

a F M

a b c

A

B

C

D

Figura 1.112: Problema dell'equilibrio elastico per una trave iperstatica ad asse rettilineo orizzontale.

1.9.4 Integrazione delle equazioni della linea elastica: le travi isostatiche

e gli schemi noti

Si è visto che per le travature isostatiche è possibile calcolare i diagrammi delle caratteristiche

indipendentemente dalla deformabilità della struttura, fatta salva la validità dell'ipotesi

di piccoli spostamenti. In altri termini, le equazioni di equilibrio (1.74)⁵⁻⁶, insieme

alle condizioni al contorno di tipo statico, possono essere risolte indipendentemente

dalla soluzione delle (1.74)¹⁻⁴.

Una volta note le caratteristiche N e M , dalle (1.74)³⁻⁴ si ricavano le deformazioni

"a e e dunque è possibile ricavare gli spostamenti mediante semplice integrazione

delle (1.74)₁₋₂.

Si consideri allora lo schema di figura 1.113. Evidentemente lo sforzo normale è identicamente nullo. Non essendoci nessuna distorsione termica uniforme si ha $w_0 = 0$, da cui si ottiene un valore costante di w . Essendo poi $w(0) = 0$ si ricava che w è identicamente nulla, come peraltro intuibile.

G. Alfano - Travature piane 107

Per ricavare l'espressione di v , si parte dall'espressione del momento flettente:

$$M(z) = -F(L - z) \quad (1.79)$$

Essendo nulla la distorsione termica a farfalla si ricava l'espressione della curvatura:

$$v''(z) = -v''_0(z) = -$$

F

EI

$$(L - z) \quad (1.80)$$

Integrando due volte si ottiene:

$$v(z) = c_1 + c_2 z +$$

$F L z^2$

$2EI -$

$F z^3$

$6EI$

$$(1.81)$$

e l'espressione della rotazione:

$$v'(z) = -v'_0(z) = -c_2 -$$

$F L z$

EI

$+$

$F z^2$

$2EI$

$$(1.82)$$

Le condizioni al contorno da scrivere sono di tipo cinematico, in quanto riguardano

solamente spostamenti e/o rotazioni. In questo caso esse sono:

$$v(0) = 0 \quad (0) = 0 \quad (1.83)$$

e forniscono valori nulli delle costanti, cioè $c_1 = c_2 = 0$. Si ottiene in definitiva:

$$v(z) =$$

$F L z^2$

$2EI -$

$F z^3$

$6EI$

$$(z) = -$$

$F L z$

EI

$+$

$F z^2$

$2EI$

$$(1.84)$$

Per $z = L$ si ottengono i valori dello spostamento e della rotazione in B riportati in

figura 1.113.

Nello schema della mensola con carico distribuito di figura 1.114 si ricava

analogamente

$w = 0$, mentre per lo spostamento trasversale si ha:

$$M(z) = -$$

$$\frac{q L^2}{2}$$

$$2$$

$$+ q L z -$$

$$\frac{q z^2}{2}$$

$$2$$

$$v(z) = -v_{00}(z) = -$$

$$\frac{q L^2}{2EI}$$

$$2EI$$

$$+$$

$$\frac{q L z}{EI} -$$

$$\frac{q z^2}{2EI}$$

$$2EI$$

$$2EI$$

$$v(z) = c_1 + c_2 z +$$

$$\frac{q L^2 z^2}{4EI} -$$

$$4EI -$$

$$\frac{q L z^3}{6EI}$$

$$6EI$$

$$+$$

$$\frac{q z^4}{24EI}$$

$$24EI$$

$$v(z) = -c_2 -$$

$$\frac{q L^2 z}{2EI}$$

$$2EI$$

$$+$$

$$\frac{q L z^2}{2EI} -$$

$$2EI -$$

$$\frac{q z^3}{6EI}$$

$$6EI$$

$$(1.85)$$

Tenendo conto delle medesime condizioni al contorno (1.83) si ottiene $c_1 = c_2 =$

0 da

cui:

$$v(z) =$$

$$\frac{q L^2 z^2}{4EI} -$$

$$4EI -$$

$$\frac{q L z^3}{6EI}$$

$$6EI$$

$$+$$

$$\frac{q z^4}{24EI}$$

$$24EI$$

$$v(z) = -$$

$$\frac{q L^2 z}{2EI}$$

$$2EI$$

$$+$$

$$\frac{q L z^2}{2EI} -$$

$$2EI -$$

$$\frac{q z^3}{6EI}$$

$$6EI$$

(1.86)

108 G. Alfano - Appunti di Scienza delle Costruzioni

che per $z = L$ forniscono i valori riportati in figura 1.114.

Per lo schema della mensola con la distorsione termica costante di figura 1.115 si ha:

$$v(z) = -v_{00}(z) =$$

$\frac{t}{H}$

$\frac{z^2}{2H}$

(1.87)

da cui integrando e tenendo conto delle condizioni al contorno (1.83):

$$v(z) = -$$

$\frac{t}{2H} z^2$

$-\frac{t}{H} z$

$+\frac{t}{2H} z^2$

$-\frac{t}{H} z$

$+\frac{t}{2H} z^2$

(1.88)

da cui i valori riportati in figura.

Per la trave di figura 1.116 essendo nulle sia la curvatura elastica che quella anelastica

si ha $v_{00} = 0$, da cui: $v(z) = c_1 + c_2 z$, ovvero uno spostamento rigido. Le condizioni al

contorno (1.83) impongono però $v = 0$ identicamente.

Per lo spostamento assiale w , invece, si ha:

$$N(z) = F \Rightarrow \sigma_a(z) = w_0(z) =$$

$\frac{F}{EA} z$

$$w(z) = c_1 +$$

$\frac{F}{EA} z$

$-\frac{F}{EA} z$

(1.89)

Dalla condizione al contorno $w(0) = 0$ si ottiene $c_1 = 0$ e quindi:

$$w(z) =$$

$\frac{F}{EA} z$

$-\frac{F}{EA} z$

(1.90)

da cui il valore dello spostamento in B riportato in figura.

Per gli schemi delle figure 1.119-1.124 si opera in modo analogo. Ciò che cambia

sono le condizioni al contorno, che per la trave appoggiata di lunghezza L e con ascissa

$z \in [0, L]$ sono date da:

$$v(0) = v(L) = 0 \quad (1.91)$$

Inoltre, per la trave appoggiata con la forza verticale in mezzzeria di figura 1.119 bisogna

dividere il dominio di integrazione nei due tratti a sinistra e a destra di M e scrivere in

M le condizioni di continuità per gli spostamenti a destra ed a sinistra di M , $v_{M,s}$ e $v_{M,d}$

nonché per le rotazioni a sinistra e a destra $\theta_{M,s}$ e $\theta_{M,d}$:

$$v_{M,s} = v_{M,d} \quad \theta_{M,s} = \theta_{M,d} \quad (1.92)$$

La soluzione dei problemi delle figure 1.113-1.124 sono estremamente utili ed i relativi

schemi verranno in seguito indicati come 'schemi noti'. La soluzione di molti problemi, sia per travi isostatiche che iperstatiche, è spesso ricavabile mediante un opportuno utilizzo dei risultati per gli schemi noti. Pertanto conviene ricordare i risultati di tali schemi a memoria. A tale scopo è utile verificare che una semplice analisi dimensionale consente di ricavare, in modo non mnemonico, l'esponente di L in ciascuno dei risultati degli schemi noti, per cui è necessario ricordare solamente il coefficiente che compare a denominatore nelle formule che forniscono spostamenti e rotazioni.

G. Alfano - Travi piane 109

F

L

A B

y

z

v_B

ϕ_B

$v_B =$

$\frac{F L^3}{3EI}$

$B = -$

$\frac{F L^2}{2EI}$

$2EI$

Figura 1.113: Trave a mensola con forza trasversale all'estremità.

q

L

A B

y

z

v_B

ϕ_B

$v_B =$

$\frac{q L^4}{8EI}$

$B = -$

$\frac{q L^3}{6EI}$

$6EI$

Figura 1.114: Trave a mensola con carico distribuito trasversale.

L

A B

y

z

v_B

$\Delta t \phi_B$

$v_B = -$

$\frac{t L^2}{2H}$

$2H$

$B =$

tL

H

Figura 1.115: Trave a mensola con distorsione termica a farfalla.

F

L

A B

W

B

$W_B =$

$F L$

$E A$

Figura 1.116: Trave a mensola con forza orizzontale all'estremità.

110 G. Alfano - Appunti di Scienza delle Costruzioni

M

L

A

B

y

$v z_B$

f_B

$v_B = -$

$M L^2$

$2 E I$

$B =$

$M L$

$E I$

Figura 1.117: Trave a mensola con coppia all'estremità.

L

A B

W

B

Δt

$w_B = tL$

Figura 1.118: Trave a mensola con distorsione termica uniforme.

F

L/2

A B

L/2

M

$v_M =$

$F L^3$

$48 E I$

$A = -B = -$

$F L^2$

$16 E I$

Figura 1.119: Trave appoggiata con forza trasversale in mezzeria.

q

L/2

A B

$$L/2$$

$$M$$

$$V_M =$$

$$5$$

$$384$$

$$q L^4$$

$$EI$$

$$A = -B = -$$

$$q L^3$$

$$24EI$$

Figura 1.120: Trave appoggiata con carico distribuito trasversale.

G. Alfano - Travature piane 111

$$L/2$$

$$A \quad B$$

$$L/2$$

$$M \quad M$$

$$V_M = -$$

$$ML^2$$

$$16EI$$

$$A =$$

$$ML$$

$$3EI$$

$$B = -$$

$$ML$$

$$6EI$$

Figura 1.121: Trave appoggiata con coppia ad un estremo.

$$L/2$$

$$A \quad B$$

$$L/2$$

$$\Delta t \quad M$$

$$V_M =$$

$$tL^2$$

$$8H$$

$$A = -B = -$$

$$tL$$

$$2H$$

Figura 1.122: Trave appoggiata con distorsione a farfalla.

$$F$$

$$L$$

$$A \quad B \quad w_B =$$

$$F \quad L$$

$$EA$$

Figura 1.123: Trave appoggiata con forza orizzontale all'estremità.

$$L$$

$$A \quad B$$

$$\Delta t$$

$$w_B = tL$$

Figura 1.124: Trave appoggiata con forza orizzontale all'estremità.

112 G. Alfano - Appunti di Scienza delle Costruzioni

1.10 Travi iperstatiche ad asse rettilineo

Per le travature iperstatiche si è visto che la soluzione dell'equilibrio non è unica. Per

una travatura N volte iperstatiche esistono infatti 1_N soluzioni del problema dell'equilibrio.

Ciascuna di queste si dice anche una 'soluzione equilibrata'.

Si è visto però che, in virtù del principio di unicità di Kirchhoff, per una travatura

iperstatica (non labile) la soluzione del problema dell'equilibrio elastico è unica. Essa va

quindi trovata necessariamente mettendo in gioco anche la deformabilità della struttura

e dunque le relazioni (1.74)₁₋₄.

Il metodo che si illustra di seguito per la soluzione di travi iperstatiche ad asse rettilineo

è noto come 'metodo delle equazioni di congruenza', o anche come 'metodo delle

forze'. Con esso si determina tra tutte le 1_N soluzioni equilibrate l'unica che è anche

congruente.

1.10.1 Problema 1

Per illustrare il metodo si considera la trave una volta iperstatica di figura 1.125.a. Se

si elimina l'appoggio in B, che è un vincolo semplice, lo schema che si ottiene è un

sistema isostatico. Per ottenere uno schema isostatico equivalente a quello reale bisogna

aggiungere la reazione del vincolo eliminato, indicata in figura con X, ed imporre una

condizione di congruenza in B.

La condizione di congruenza si ottiene facilmente tenendo conto che, nello schema

reale, il vincolo in B esiste ed impone la condizione $v_B = 0$. Lo schema di figura 1.125.b, combinato con l'equazione di congruenza $v_B = 0$, è detto allora

'sistema

isostatico equivalente'.

La reazione X del vincolo eliminato è detta 'incognita iperstatica' o anche 'reazione

iperstatica'.

q

A B

X

q

L

A B

L

Sistema isostatico

Sistema reale equivalente (S.I.E.)

(a)

(b)

Figura 1.125: Problema 1: (a) sistema reale; (b) sistema isostatico equivalente. L'equazione di congruenza si scrive tenendo conto che lo schema di figura 1.125.b

è dato dalla sovrapposizione di uno schema con il solo carico q e di uno con la sola forza X . Utilizzando il principio di sovrapposizione degli effetti, nonché i risultati degli

G. Alfano - Travature piane 113
 schemi noti, si ottiene allora:

$$v_B = v_q$$

$$v_B + v_X$$

$$v_B =$$

$$q L^4$$

$$8EI -$$

$$X L^3$$

$$3EI$$

$$(1.93)$$

avendo indicato con v_q

$$v_B \text{ e } v_X$$

v_B rispettivamente gli spostamenti verticali in B per effetto del solo carico q e della sola forza X . L'equazione di congruenza si scrive semplicemente

uguagliando a zero l'espressione precedente:

$$v_q$$

$$v_B + v_X$$

$$v_B =$$

$$q L^4$$

$$8EI -$$

$$X L^3$$

$$3EI$$

$$= 0 \quad (1.94)$$

da cui si ottiene:

$$X =$$

$$3$$

$$8$$

$$q L \quad (1.95)$$

Si noti che quando si è introdotta l'incognita iperstatica X non era noto il verso della

reazione in B. Pertanto la posizione fatta implicitamente nella figura 1.125.b è che se

X è positiva allora la reazione in B è diretta verso l'alto, mentre se X è negativa, la

reazione in B è diretta verso il basso. Dal risultato ottenuto si evince che la reazione in

B è diretta verso l'alto.

Nella figura 1.126 sono riportate anche le deformate dovute al solo carico ed alla sola

incognita iperstatica X . Queste sono ottenute 'a maniera', ovvero in modo approssimato

ma allo stesso tempo molto vicino al vero (a meno della scala ovviamente) tenendo

conto della curvatura indotta dal diagramma del momento e dalle condizioni al contorno

che impongono nel caso in esame spostamento e rotazione nulla sull'incastro.

Si vede in particolare che per effetto del solo carico il punto B si abbasserebbe

e che dunque affinché la forza X ripristini la congruenza ed annulli lo spostamento in B essa

deve essere diretta verso l'alto.

Nota l'incognita iperstatica X è possibile ricavare il diagramma del momento semplicemente

guardando la X come una forza nota e operare direttamente sullo schema isostatico equivalente.

1.10.2 Problema 2

Nel problema di figura 1.127.a si è anche introdotto un cedimento di rotazione nell'incastro

pari a θ . Ciò vuol dire che le condizioni vincolari imposte dall'incastro non sono più $v_A = \theta = 0$, ma bensì $v_A = 0$ e $\theta = \theta$.

Inoltre, nel risolvere il problema 2 si vuole anche mostrare che la scelta del sistema

isostatico equivalente non è univoca. E' possibile infatti eliminare un vincolo esterno

semplice diverso dal carrello in B , ottenendo così un S.I.E. diverso da quello scelto nel

problema 1. Sarebbe possibile anche eliminare un vincolo interno semplice, come si

vedrà meglio in seguito.

Avendo 'declassato' l'incastro rendendolo una cerniera, nel S.I.E. bisogna aggiungere

la coppia reattiva dell'incastro come incognita iperstatica X e scrivere una corrispondente

equazione di congruenza. In questo caso, però, nel sistema reale l'incastro non impone una rotazione nulla ma bensì una rotazione pari a θ , per cui

l'equazione di

congruenza si scrive:

$$v_A = q$$

$$v_A + \theta X_A$$

$$= \theta \quad (1.96)$$

114 G. Alfano - Appunti di Scienza delle Costruzioni

v_A

v_B

X

q

v_A

v_B

X

q

v_B

q

v_B

X

+

=

q

=

qL

2

2

XL

qL

2

8

5

qL

2

8

A

B

qL

8

5

qL

8

3 =

=

v 0 B =

qL

8

5 qL

8

3

qL

2

8

(a)

(b)

(c)

(d)

q

A

X B

q

L

A

B

L

Sistema isostatico

Sistema reale equivalente (S.I.E.)

(a)

(b)

γ

Figura 1.126: Problema 1: soluzione con il metodo delle equazioni di congruenza.

q

A = -

q L³

24EI

X_A

=

Figura 1.127: Problema 2: presenza di un cedimento anelastico dell'incastro e scelta di un S.I.E. diverso da quello del problema 1. Sostituendo i risultati degli schemi noti si ha:

$$\begin{aligned} & X L \\ & 3EI) - \\ & q L^3 \\ & 24EI \\ & + \\ & X L \\ & 3EI \\ & = (1.97) \end{aligned}$$

da cui si ottiene:

$$\begin{aligned} X = - \\ & q L^2 \\ & 8 \\ & + \\ & 3EI \\ & L \\ & (1.98) \end{aligned}$$

G. Alfano - Travature piane 115

L'unica regola che bisogna tenere ben presente è che nel levare un vincolo semplice

bisogna fare in modo da eliminare il grado di iperstaticità, passando da $i = 1$ a $i =$

0 in questo caso, e non aumentare il grado di labilità. I due schemi di figura 1.128

rappresentano esempi di tale tipo di errore.

X A B

A

B

Sistema reale Scelta sbagliata del vincolo eliminato
(struttura labile)

A

B

A

X X B

Figura 1.128: Problema 2: scelta sbagliata del vincolo eliminato.

1.10.3 Problema 3

Nel problema di figura 1.129.a. si potrebbe pensare di eliminare l'appoggio interno e

sostituirlo con l'incognita iperstatica, come mostrato in figura 1.129.b. Tale scelta è

legittima, in quanto effettivamente lo schema ottenuto è isostatico e la scrittura della

corrispondente equazione di congruenza $v_B = 0$ condurrebbe alla soluzione del problema.

Tuttavia, per determinare la soluzione in questo modo non si riuscirebbero ad utilizzare gli schemi noti e dunque il S.I.E. così scelto non è conveniente.

Uno S.I.E. conveniente si ottiene eliminando, in luogo di un vincolo esterno, un vincolo interno, ed in particolare sostituendo al vincolo triplo di continuità in B, uno

doppio costituito da una cerniera¹⁵.

L'incognita iperstatica che bisogna aggiungere sullo S.I.E. è evidentemente la reazione

che il vincolo eliminato nella realtà può trasmettere. Ma essendo questo un vincolo

interno, la reazione in realtà è un sistema di due reazioni, ovvero le due reazioni mutue che si scambiano in B le parti a destra ed a sinistra di B. In questo caso tali reazioni sono le due coppie che rappresentano il momento flettente in B. Esse sono due coppie

uguali ed opposte il cui valore X è dunque l'incognita iperstatica del problema.

¹⁵Si noti bene che il carrello in B va lasciato in quanto se eliminato si avrebbe ad una struttura labile.

116 G. Alfano - Appunti di Scienza delle Costruzioni

Per capire quale sia l'equazione di congruenza da scrivere basta osservare che, nello

schema con la cerniera in B sarebbe possibile avere rotazioni a destra ed a sinistra di B

diverse, ovvero potrebbe avvenire $\theta_B = \theta_D$, mentre nello schema reale ciò non può

avvenire. L'equazione di congruenza è dunque:

$$\theta_B = \theta_D \quad (1.99)$$

X

q

L

A

(a)

L/2 L/2

D

B

C

F

(b)

X

q

L

A

L/2 L/2

B

C

F

(c)

q

L

A

L/2 L/2

B

C

F

D

X

M

M

M

Figura 1.129: Problema 3: (a) schema reale; (b) S.I.E. che non consente di utilizzare i

risultati noti; (c) S.I.E. che consente di utilizzare gli schemi noti.

La convenienza del S.I.E. così ottenuto e riportato in figura 1.129.c si evince dal fatto

che con tale schema, ed utilizzando come al solito il principio di

sovrapposizione degli effetti, è possibile ricondursi alle soluzioni degli schemi noti. Ciò è mostrato nella figura 1.130 per lo schema ottenuto considerando solamente la presenza del carico distribuito.

L'equilibrio del tratto B_dC coinvolge solamente le reazioni R_{dB}

o, R_{dB}

v e R_C, che

dunque sono nulle (figura 1.130.b). Passando all'equilibrio della cerniera, essendo nulle

G. Alfano - Travature piane 117

q

L

A B C

L

B_d C

R_{B_o}

d

R_{B_v}

d

R_{B_v}

d

R_{B_o}

d

R_{B_o}

s

R_{B_v}

s

R_B

R_B

R_B

R_{A_v} R_B

R_{A_o}

q

A B_s

(a)

(c)

(b)

(d)

(e)

Figura 1.130: Problema 3: analisi del S.I.E. in presenza del solo carico distribuito.

R_{dB}

o e R_{dB}

v si riconosce che R_{sB}

o deve essere nulla mentre la reazione R_{dB}

v deve essere

uguale ed opposta a quella del carrello (figura 1.130.c-d). Passando quindi all'equilibrio

del tratto AB_s si vede che lo schema statico ottenuto è proprio quello di una trave

appoggiata di lunghezza L soggetta ad un carico distribuito, e che la reazione di destra,

che è verticale, è proprio quella del carrello in B.

Si conclude che, nello schema di figura 1.130.a in realtà si può ignorare la presenza

della campata a destra di B e studiare dunque la trave AB come una semplice trave

appoggiata soggetta ad un carico distribuito, ovvero uno schema noto. La deformata

della trave AB è dunque la stessa dello schema noto, mentre quella della trave BC è

identicamente nulla (figura 1.131). Il valore della rotazione a sinistra di B per effetto

del carico distribuito è dato dal risultato noto, mentre la rotazione a destra è nulla:

q

$B_s =$

$q L^3$

$24EI$

q

$B_d = 0$ (1.100)

Analogamente si ragiona sugli schemi delle figure 1.132-1.135.

Per lo schema con il cedimento, invece, si ottiene un sistema di spostamenti rigidi infinitesimi

su ciascuna trave (figura 1.136) in quanto le caratteristiche della sollecitazione sono identicamente nulle.

Osservazione: Su una struttura isostatica, la presenza di cedimenti e/o distorsioni non

induce mai caratteristiche della sollecitazione. Questo perché in presenza solamente

118 G. Alfano - Appunti di Scienza delle Costruzioni

q

L

A B C

L

qL

2

qL

2

Figura 1.131: Problema 3: analisi del S.I.E. in presenza del solo carico distribuito.

L

A

L

X B C

X

L

X

L

Figura 1.132: Problema 3: analisi del S.I.E. in presenza della coppia X a sinistra di B.

X

L
A B C
L
X
L
X
L

Figura 1.133: Problema 3: analisi del S.I.E. in presenza della coppia X a destra di B.

di tali tipi di azione il sistema di forze esterne attive è nullo, e dunque un sistema di reazioni tutte nulle assicura l'equilibrio del sistema. Ma poiché per una struttura isostatica la soluzione del problema dell'equilibrio è unica, allora, questa soluzione con tutte reazioni nulle è proprio la soluzione del problema dell'equilibrio. Ma è evidente se tutte le forze attive e tutte le reazioni sono nulle allora anche le caratteristiche della sollecitazione devono necessariamente essere identicamente nulle.

G. Alfano - Travature piane 119

L
A
L/2 L/2
B C
F
F
2
F
2

Figura 1.134: Problema 3: analisi del S.I.E. in presenza della forza in mezzzeria sul tratto di destra.

L
A B C
M
L
ML
ML

Figura 1.135: Problema 3: analisi del S.I.E. in presenza della coppia in C.

L
A B
C
 Δ
L

Figura 1.136: Problema 3: spostamento rigido per effetto del cedimento . Pertanto, utilizzando il principio di sovrapposizione degli effetti, si ha:

$$B_s = q$$
$$B_s + X_{B_s} +$$
$$B_s =$$
$$q L^3$$
$$24EI$$

$$+ \\ X L \\ 3EI -$$

$$L \\ Bd = XB \\ d + F \\ Bd + MB \\ d + \\ Bd = - \\ X L \\ 3EI - \\ F L_2 \\ 16EI \\ + \\ ML \\ 6EI \\ +$$

L
(1.101)
e l'equazione di congruenza (1.99) si esplicita come segue:

$$q L_3 \\ 24EI \\ + \\ X L \\ 3EI -$$

$$L \\ = - \\ X L \\ 3EI - \\ F L_2 \\ 16EI \\ + \\ ML \\ 6EI \\ +$$

L
(1.102)
120 G. Alfano - Appunti di Scienza delle Costruzioni
da cui il valore della reazione iperstatica X:

$$X = - \\ q L_2 \\ 16 - \\ 3 \\ 32 \\ F L + \\ M \\ 4 \\ +$$

3EI

L

(1.103)

Del risultato ottenuto si vede che, in presenza solo del carico e/o della forza verticale,

il verso effettivo delle coppie X nello S.I.E. sarebbe opposto a quello ipotizzato. Ciò significa che per effetto solamente di tali azioni le fibre tese in B sarebbero quelle

superiori, e quindi il momento flettente sarebbe negativo.

Viceversa, in presenza solo della coppia M in C e/o del cedimento, il verso ipotizzato

delle coppie X coinciderebbe con quello effettivo e dunque il corrispondente momento flettente in B sarebbe positivo.

In presenza di tutte le azioni il segno della X e dunque del momento flettente dipende

dal loro valore.

1.10.4 Problema 4

La trave in figura 1.137.a è tre volte iperstatica. Pertanto sarà necessario eliminare tre

vincoli semplici e scrivere un sistema di tre equazioni di congruenza per risolvere la

struttura. Si mostrerà però che tale sistema si disaccoppia in due sistemi, uno costituito

da una sola equazione e legato al solo comportamento flessionale, ed un secondo di due

equazioni e legato al solo comportamento estensionale.

X_1

q

L

A

(a)

B C

(b)

L

A B C X_3

L

L

q

X_2

Figura 1.137: Problema 4: (a) sistema reale; (b) S.I.E.

Un S.I.E. equivalente che consente di utilizzare gli schemi noti è quello mostrato in

figura 1.137.b. Le equazioni di congruenza sono:

$$B_S = B_d W_B = 0 \quad w_C = 0 \quad (1.104)$$

G. Alfano - Travature piane 121

Operando come al solito per sovrapposizione degli effetti si considerano dapprima gli

schemi in cui si applicano solamente la X_2 o la X_3 , mostrati nelle figure 1.138 e 1.139.

Si vede facilmente che si ottiene:

8>

><>>:

w_{X2}
 $B = w_{X2}$
 $C =$
 $X_2 L$
 EA
 w_{X3}
 $B =$
 $X_3 L$
 EA
 w_{X3}
 $C =$
 $X_3 2L$
 EA

(1.105)

I risultati possono ottenersi direttamente per integrazione dell'equazione differenziale,

o anche sfruttando con opportuni ragionamenti lo schema noto di figura 1.123.

Nel

primo schema di figura 1.138 solamente la trave AB è soggetta allo sforzo normale costante

pari a X_2 mentre la trave BC segue rigidamente per cui w_{X2}

$B = w_{X2}$

C . Nel secondo

schema di figura 1.139 lo sforzo normale costante X_3 interessa tutta la trave AC, che è

lunga $2L$.

L

A

B

C

L

X_2

$N = X_2$

w_B

$w_C = w_B$

Figura 1.138: Problema 4: schema con la X_2 .

L

A

B C

X_3

L

$N = X_3$

w_C

w_B

Figura 1.139: Problema 4: schema con la X_3 .

Negli schemi delle figure 1.138 e 1.139 si ha solo sforzo normale. Il momento flettente

è identicamente nullo e non si ha dunque deformazione flessionale. Le rotazioni a

destra e sinistra di B sono dunque nulle in tali schemi. Si vede facilmente che

esse dipendono
 solamente dal carico q e dall'incognita iperstatica X_1 , e che invece per effetto
 di queste due azioni lo sforzo normale è identicamente nullo e gli spostamenti
 w_B e w_C

sono entrambi nulli. Si ha in particolare:

X_2

$$B_S = X_3$$

$$B_S = X_2$$

$$B_d = X_3$$

$$B_d = 0 \quad w_{X_1}$$

$$B = w_{X_1}$$

$$C = w_q$$

$$B = w_q$$

$$C = 0 \quad (1.106)$$

122 G. Alfano - Appunti di Scienza delle Costruzioni

X_1

$$B_S =$$

$$X_1 L$$

$$3EI$$

X_1

$$B_d = -$$

$$X_1 L$$

$$3EI$$

q

$$B_S =$$

$$q L^3$$

$$24EI$$

q

$$B_d = -$$

$$q L^3$$

$$24EI$$

(1.107)

Sostituendo i risultati ottenuti nelle equazioni di congruenza (1.104) si ottiene:

8>

>>>><>>>>>:

2

3

$$X_1 L$$

$$EI$$

$$= -$$

$$q L^3$$

$$12EI$$

$$X_2 L$$

$$EA$$

+

$$X_3 L$$

$$EA$$

$$= 0$$

$$X_2 L$$

$$EA$$

+

$$X_3 2L$$

$$\begin{aligned}
 & EA \\
 & = 0 \\
 & (1.108) \\
 & \text{che in forma matriciale si riscrive:} \\
 & \begin{bmatrix} 2 & 0 & 0 \\ 0 & 3 & 0 \\ 0 & 0 & 0 \end{bmatrix} \begin{bmatrix} X_1 \\ X_2 \\ X_3 \end{bmatrix} = \begin{bmatrix} 2qL \\ 3qL \\ 0 \end{bmatrix}
 \end{aligned}$$

$$\begin{aligned}
 & X_1 \\
 & X_2 \\
 & X_3 \\
 & 37775 \\
 & = \\
 & 266664 \\
 & - \\
 & q L_3 \\
 & 12EI \\
 & 0 \\
 & 0 \\
 & 377775
 \end{aligned}$$

(1.109)

Chiaramente la prima equazione è disaccoppiata dal sistema della seconda e della

terza. E' immediato vedere che la soluzione di queste ultime due è quella banale $X_2 =$

$X_3 = 0$, mentre la prima fornisce:

$X_1 = -$

$q L_2$

8

(1.110)

Si capisce dunque il motivo per cui lo schema di figura 1.137.a viene spesso direttamente

visto come un sistema solamente 1 volta iperstatico. Le altre due iperstaticità infatti sono banali da risolvere. Esse infatti riguardano il comportamento estensionale

della trave e non essendoci forze orizzontali né distorsioni uniformi non conducono a

sollecitazioni aggiuntive. Inoltre, se anche tali azioni orizzontali fossero

presenti, esse si studierebbero risolvendo un problema disaccoppiato rispetto a quello flessionale. In altre parole, quando si dice che il problema 4 è una volta iperstatico si suole sottintendere che il problema flessionale è una volta iperstatico. E' importante sottolineare che, anche se il S.I.E. scelto per risolvere il problema 4 non è l'unico possibile, qualsiasi altro avrebbe comportato la presenza di una incognita iperstatica legata al solo problema flessionale, e due incognite iperstatiche legate solamente al problema estensionale. La verifica di quest'ultima affermazione la si lascia come utile esercizio.

1.10.5 Problema 5

Alcuni risultati ottenuti per le strutture iperstatiche studiate nei problemi 1-4 sembrerebbero contraddire, in apparenza, il fatto che su una struttura iperstatica è necessario tenere conto della deformabilità della struttura per calcolare le reazioni vincolari e determinare le caratteristiche della sollecitazione sulla struttura. Eppure, il valore delle reazioni iperstatiche ottenuto per effetto di un carico q , di una forza F o di un momento M , sembrerebbero a prima vista indipendenti dalle caratteristiche di deformabilità, o equivalentemente di rigidità, in quanto ciascuno dei valori trovati finora non dipende da EI . Viceversa, la rigidità EI , o quella EA nel successivo problema 6, influiscono sui valori delle reazioni iperstatiche in presenza di cedimenti e distorsioni. Nel problema 5 si vuole mostrare che in una struttura iperstatica, in presenza di carichi, forze e coppie, la deformabilità della struttura influisce sul valore delle reazioni e delle caratteristiche della sollecitazione non tanto attraverso il suo valore assoluto, ma attraverso la sua distribuzione e la sua eventuale variazione sulla struttura, restando inteso però che il valore assoluto della deformabilità deve essere sufficientemente piccolo affinché sia valida l'ipotesi di piccoli spostamenti. In altre parole negli schemi studiati in precedenza la deformabilità finisce per non influire sulle sollecitazioni indotte da carichi, forze e coppie, solamente perché essa è costante su tutta la struttura. Anche in tali casi, tuttavia, essa ovviamente influisce sull'entità delle deformazioni. Nel problema 5 si vuole capire meglio tale aspetto del problema studiando lo schema

1 volta iperstatico di figura 1.140, in cui si assume che le rigidezze flessionali dei tratti

AB e BC siano diverse e pari rispettivamente a $(EI)_1$ ed $(EI)_2$.

X

q

L

A

(a)

B C

(b)

L

A X B C

L

L

q

$(EI)_1 (EI)_2$

$(EI)_1 (EI)_2$

Figura 1.140: Problema 5: (a) sistema reale; (b) S.I.E.

Introducendo il S.I.E. 1.140.b e si ottiene l'equazione di congruenza:

$q L^3$

$24 (EI)_1$

+

$X L$

$3 (EI)_1$

= -

$X L$

$3 (EI)_2$

(1.111)

124 G. Alfano - Appunti di Scienza delle Costruzioni

che risolta fornisce:

$X = -$

$q L^2$

8

0BB@

1

$(EI)_1$

1

$(EI)_1$

+

1

$(EI)_2$

1CCA

(1.112)

Introducendo il seguente parametro :

=

$(EI)_1$

$(EI)_2$

(1.113)

la (1.112) si riscrive:

$X = -$

$q L^2$

8 (1 +)

(1.114)

Quando ϵ tende a zero, la rigidezza $(EI)_2$ tende ad essere molto più grande di quella

$(EI)_1$, e la presenza del tratto BC determina per quello AB un vincolo che tende ad

essere un incastro (figura 1.141). Infatti in tal caso il momento flettente in B tende al

valore di $qL^2/8$ ottenuto all'incastro per la trave appoggiata in un estremo ed incastrata

nell'altro soggetta ad un carico distribuito (problema 1).

Quando ϵ tende all'infinito, la rigidezza $(EI)_2$ tende ad essere trascurabile rispetto

a quella $(EI)_1$ per cui il tratto AB tende a non accorgersi della presenza del tratto

adiacente BC (figura 1.142). Di conseguenza in tal caso il momento flettente in B

tende al valore nullo che si avrebbe se il tratto BC non ci fosse ed il tratto AB fosse

dunque una semplice trave appoggiata.

q

L

A B C

L

$(EI)_1 (EI)_2 \gg (EI)_1$

Figura 1.141: Problema 5: caso $(EI)_2 \gg (EI)_1$.

q

L

A B C

L

$(EI)_1 \gg (EI)_2 (EI)_2$

Figura 1.142: Problema 5: caso $(EI)_1 \gg (EI)_2$.

G. Alfano - Travature piane 125

1.10.6 Problema 6

Il problema 6 è di semplice soluzione. L'equazione di congruenza in B si scrive:

$X L$

EA

$+ tL = 0$ (1.115)

e fornisce:

$X = -EA t$ (1.116)

Si nota in particolare che lo sforzo normale nella trave, pari a X, non dipende dalla

lunghezza L.

X

(a) (b)

L

A Δt B

L

A Δt B

Figura 1.143: Problema 6.

1.10.7 Problema 7: composizione cinematica delle rotazioni e degli

spostamenti

q
L
A
(a)
B C
(b)
L
q
L
A
B C
L
q
X

Figura 1.144: Problema 7: (a) schema reale; (b) S.I.E.

Il problema 7 mostrato in figura 1.144.a non può risolversi sovrapponendo semplicemente

i risultati degli schemi noti ed è dunque necessario fare delle considerazioni

126 G. Alfano - Appunti di Scienza delle Costruzioni

ulteriori. Conviene utilizzare il S.I.E. di figura 1.144.b e decomporre il carico nelle sue

due parti agenti sui tratti AB e BC, che verranno indicate con q_s e q_d .

Così facendo, in presenza solo della coppia coppia X, o solo del carico q_s , il tratto

BC risulta scarico e, nella deformazione dell'intera trave, è caratterizzato da uno spostamento

rigido infinitesimo che 'segue' la rotazione in B del tratto AB. Quest'ultimo

è caratterizzato da reazioni vincolari, diagrammi delle caratteristiche e configurazione

deformata in tutto uguali a quelli che si avrebbero in assenza del tratto BC.

Pertanto

in questo caso si possono semplicemente utilizzare i risultati degli schemi noti di trave

appoggiata soggetta ad un carico distribuito o ad una coppia all'estremità. Si ottiene

così (figure 1.145 e 1.146):

q_s

A = -

$q L^3$

$24EI$

x_A

=

$X L$

$3EI$

(1.117)

qL

$2 L$

A

B

C

L

qL

2

VC

Tratto scarico: caratteristiche della sollecitazione nulle e dunque spostamento rigido

Figura 1.145: Problema 7: uso dello schema noto di trave appoggiata con carico distribuito.

L

A

B C

L

X

X

L

X

L

VC

Tratto scarico: caratteristiche della sollecitazione nulle e dunque spostamento rigido

Figura 1.146: Problema 7: uso dello schema noto di trave appoggiata con coppia di estremità.

Un metodo efficace per valutare la rotazione in A dovuta al carico a destra q_d (schema

di figura 1.147) consiste nel ricavare la deformata della trave componendo più schemi.

G. Alfano - Travature piane 127

L

A

B C

L

q

qL

2

qL

2

3

qL

2

2

Figura 1.147: Problema 7: reazioni e diagramma del momento per il carico sullo sbalzo.

L

A

B C

L

q

L

A

B C

L

q

qL

2

2

L

A
 B
 C
 L
 q
 qL
 qL
 2
 2
 L
 A
 B
 C
 L
 qL
 2
 2
 L
 A
 B C
 L
 qL

+

= =

= +

+

Schema 1 Schema 2

Schema 3

RB=

qL

2

Reazioni

nulle

RB= qL

RA=

qL

2

Deformata nulla

VC

(1)

VC

(2)

Schema B

Schema A

(iniziale)

Figura 1.148: Problema 7: composizione cinematica delle rotazioni e degli spostamenti.

Tale metodo è anche noto come 'metodo della composizione cinematica delle rotazioni e degli spostamenti'.

Un primo modo per illustrare tale metodo parte dall'osservazione che lo schema in

esame, ovvero lo 'Schema A' di figura 1.148, è del tutto equivalente allo 'Schema B'

della stessa figura, ottenuto aggiungendo in B due forze uguali ed opposte pari a q L

e due coppie uguali ed opposte pari a q L²/2. Infatti così facendo si sono aggiunte

128 G. Alfano - Appunti di Scienza delle Costruzioni

globalmente in B una forza verticale ed una coppia entrambe nulle.

Tuttavia è ora possibile riguardare lo schema B come sovrapposizione dei tre schemi

1, 2 e 3 di figura 1.148.

Risolvendo lo schema 1 si trova che tutte le reazioni vincolari esterne sono nulle e che il tratto AB è dunque scarico. Pertanto, date le condizioni al contorno di spostamento verticale nullo sia in A che in B, nello schema 1 la deformata del tratto AB è identicamente nulla mentre quella del tratto BC è uguale a quella di una mensola soggetta ad un carico distribuito, che è uno schema noto. In tale schema è dunque pari a zero la rotazione in A

(1)

$$\theta_A = 0, \quad (1.118)$$

che interessa in particolare per la scrittura dell'equazione di congruenza.

Volendo conoscere

lo spostamento verticale e la rotazione in C, essi si ricavano dallo schema noto della mensola e valgono:

$v_C^{(1)}$

$$v_C =$$

$$\frac{q L^4}{8EI}$$

$$8EI$$

(1)

$$\theta_C = -$$

$$\frac{q L^3}{6EI}$$

$$6EI$$

$$(1.119)$$

L'apice (1) indica che tali valori sono quelli ottenuti sullo schema 1.

Nello schema 2 il tratto BC risulta scarico e nella deformazione dell'intera trave,

analogamente a quanto visto per gli schemi nelle figure 1.145 e 1.146, esso è caratterizzato

da uno spostamento rigido infinitesimo che 'segue' la rotazione in B del tratto AB. Quest'ultimo è caratterizzata da reazioni vincolari, diagrammi delle caratteristiche

e configurazione deformata in tutto uguali a quelli che si avrebbero in assenza del

tratto BC. Pertanto in questo caso si possono semplicemente utilizzare i risultati dello

schema noto di trave appoggiata soggetta ad una coppia all'estremità pari a $q L_2/2$.

Si ottiene per la rotazione in A, essendo A l'estremo opposto a quello in cui agisce la coppia $q L_2/2$:

(2)

$$\theta_A = \frac{q L_2}{2 L}$$

$$6EI$$

$$=$$

$$\frac{q L_2^3}{12EI}$$

$$12EI$$

$$(1.120)$$

Volendo conoscere lo spostamento verticale e la rotazione in C essi si determinano

considerando che, nota la rotazione di B, che è data da:

(2)

$$B = -q L^2$$

$$2 L$$

$$3EI$$

$$= -$$

$$q L^3$$

$$6EI$$

(1.121)

la rotazione rigida del tratto BC che, come detto, segue la rotazione in B, fornisce:

(2)

$$C = (2)$$

$$B = -$$

$$q L^3$$

$$6EI$$

$$V^{(2)}$$

$$C = -(2)$$

$$c L =$$

$$q L^4$$

$$6EI$$

(1.122)

Nello schema 3 è immediato vedere che tutta la forza $q L$ viene assorbita dal vincolo,

che reagisce dunque con una reazione uguale e contraria verso l'alto, mentre la reazione

in A è nulla. L'intera trave AC è dunque scarica e, in virtù delle condizioni al contorno,

la deformata è identicamente nulla.

Pertanto, la rotazione in A per effetto del carico a destra è data da:

$$A = (1)$$

$$A + (2)$$

$$A = 0 +$$

$$q L^3$$

$$12EI$$

$$=$$

$$q L^3$$

$$12EI$$

(1.123)

G. Alfano - Travature piane 129

Questo valore è quello che serve per la scrittura dell'equazione di congruenza in A.

Lo spostamento verticale e la rotazione in C sono dati da:

$$v_C = v^{(1)}$$

$$C + v^{(2)}$$

$$C =$$

$$q L^4$$

$$8EI$$

$$+$$

$$q L^4$$

$$6EI$$

$$=$$

$$7 q L^4$$

$24EI$

$C = (1)$

$C + (2)$

$C = -$

$q L^3$

$6EI -$

$q L^3$

$6EI$

$= -$

$q L^3$

$3EI$

(1.124)

Un secondo modo per illustrare il metodo della composizione cinematica delle rotazioni

e degli spostamenti è basato sull'idea di suddividere la struttura in più tratti e di decomporre il processo che conduce la struttura nella sua configurazione deformata

nella successione di più processi di deformazione. In ognuno di questi le deformazioni

della struttura si assumono nulle ovunque tranne che per un tratto, immaginando quindi

di avere solo quel tratto deformabile e tutto il resto della struttura invece rigido.

Nel caso in esame tale metodo conduce ad immaginare dapprima il tratto AB infinitamente

rigido ($EI = +1$), ed il tratto BC caratterizzato dalla sua effettiva rigidezza (figura 1.149.a), e successivamente il tratto AB deformabile ed il tratto BC infinitamente rigido (figura 1.149.b).

Nello schema di figura 1.149.a il diagramma del momento induce una curvatura solamente

nel tratto BC, mentre quello AB, per le condizioni al contorno, ha spostamenti identicamente nulli.

Gli spostamenti del tratto BC sono quelli di una mensola perché l'ipotesi di infinita

rigidezza flessionale del tratto AB fornisce per il tratto BC una condizione di vincolo

pari all'incastro.

Nello schema di figura 1.149.b, invece, il diagramma del momento induce una curvatura

solamente nel tratto AB, mentre quello BC è caratterizzato da uno spostamento rigido infinitesimo, determinato dalla rotazione in B. In particolare, sul tratto AB le

caratteristiche e la deformata sono quelli dovuti dalla coppia oraria $q L^2/2$ trasmessa in

B.

1.10.8 Problema 8

Nel problema di figura 1.150 la coppia M è applicata in B.

Scegliendo come al solito di inserire una cerniera in B, nasce il problema di dove

applicare la coppia M . Infatti, sul sistema reale, non è necessario specificare se la

coppia agisce a destra o a sinistra, perché in B vi è continuità nella rotazione. Pertanto nel problema reale è corretto dire semplicemente che la coppia agisce in B. Nel S.I.E., però, essendo presente una cerniera sembrerebbe diverso mettere la coppia

a destra o a sinistra. In effetti, dalle due scelte scaturiscono valori diversi della X.

Ma il paradosso si spiega immediatamente vedendo che, con tali valori diversi della X,

la soluzione finale rimane inalterata.

Si consideri prima il caso in cui la coppia viene applicata a sinistra (figura 1.151.a).

Sommando algebricamente la coppia M e la X a sinistra di B si ottiene lo schema di

figura 1.151.b. Scrivendo l'equazione di congruenza $B_s = B_d$ si vede facilmente che

si ottiene

$$X = -M/2 \quad (1.125)$$

130 G. Alfano - Appunti di Scienza delle Costruzioni

L
A
B C
L
q
qL
2
qL
2
3
L
A
B
C
L
q
qL
2
qL
2
3
L
A
B
C
L
q
qL
2
qL
2
3
EI=
VC
(2)
VC
(1)
VC
(1)
VC
(2)
EI=

=

+

(a) (b)

Figura 1.149: Problema 7: interpretazione fisica della composizione cinematica

delle rotazioni e degli spostamenti. da cui si determina il diagramma del momento riportato in figura 1.152 sullo schema reale, dove si riscontra il salto pari a M in B come era da aspettarsi. Ma la scelta di applicare la coppia M a sinistra della cerniera in B non è l'unica possibile. Infatti si può scegliere di mettere la coppia M a destra della cerniera in B (figura 1.153) o per metà a destra e per metà a sinistra (figura 1.154). O si può più in generale pensare di applicare una coppia a destra ed una a sinistra in modo tale che la loro somma dia M . Il valore dell'incognita iperstatica dipende dalla scelta fatta, e si lascia come esercizio la verifica che nel caso del S.I.E. di figura 1.153 si ottiene $X = M/2$ mentre per quello di figura 1.154 si ricava $X = 0$. In ogni caso però il diagramma del momento finale e quindi la deformata e tutta la soluzione non cambiano e sono quelli riportati nella figura 1.152.

L
A
B
C
L
M

Figura 1.150: Problema 8.
G. Alfano - Travature piane 131

X
(a)
L
A B C
X
L
M
X+M X
(b)
L
A B C
L

Figura 1.151: Problema 8: (a) S.I.E. in cui si è scelto di fare agire la coppia M a sinistra della cerniera; (b) come (a) ma avendo sommato algebricamente M e X a sinistra.

M2
L
A
B
C
L
M2
deformata
M

Figura 1.152: Problema 8: diagramma del momento ottenuto e riportato sullo

schema
reale.

X
(a)
L
A B C
X
L
M
X-
(b)
L
A B C
X
L
M

Figura 1.153: Problema 8: (a) S.I.E. in cui si è scelto di fare agire la coppia M a destra della cerniera; (b) come (a) ma avendo sommato algebricamente la M e X a destra.

132 G. Alfano - Appunti di Scienza delle Costruzioni

X
(a)
L
A B C
X
L
X-
(b)
L
A B C
X+
L
M/2
M/2
M/2
M/2

Figura 1.154: Problema 8: (a) S.I.E. in cui si è scelto di fare agire la coppia M per metà a destra e per metà a sinistra della cerniera; (b) come (a) ma avendo sommato algebricamente le coppie $M/2$ e X .

G. Alfano - Travature piane 133

1.11 Esercizi proposti

Gli esercizi 1-10 riguardano travi ad asse rettilineo una volta iperstatiche. In essi si richiede di scegliere nel modo più opportuno un sistema isostatico equivalente e di determinare il valore dell'incognita iperstatica.

q
L L/2 L/2
D
F M
a
M
Esercizio 1.
q

L

g

1

F M

L₂

Esercizio 2.

q

L

g

1

F

M

L₂ L₂

D

Esercizio 3.

134 G. Alfano - Appunti di Scienza delle Costruzioni

q

L

D

F M

a

M

D M

a L

Esercizio 4.

q

L L/2 L/2

D

F

a

M

D M

Esercizio 5.

q

L₁

F M

L₂

D

Esercizio 6.

q

L₁

M F

L₂ / 2

D

L₂ / 2

Esercizio 7.

G. Alfano - Travature piane 135

q

L

D

F M

a

M D M

L/2 L/2

Esercizio 8.

q

L/2 L/2 L

D

F M

a

M

F

Esercizio 9.

q

L₁

F M

L₂

D D

Esercizio 10.

136 G. Alfano - Appunti di Scienza delle Costruzioni

Capitolo 2

ELEMENTI DI MECCANICA DEL CONTINUO

2.1 Richiami di algebra ed analisi vettoriale

2.1.1 Spazi vettoriali e funzioni lineari

Un insieme U è detto uno 'spazio vettoriale' sul campo reale ed i suoi elementi sono

detti vettori quando sono definite le operazioni di somma tra due vettori di U e di moltiplicazione

di un vettore di U per uno scalare, ed il risultato di tali operazioni è sempre un vettore di U , cioè si ha:

$u_1 \in U, u_2 \in U \Rightarrow u_1 + u_2 \in U$ (somma tra vettori)

$u \in U, \lambda \in \mathbb{R} \Rightarrow \lambda u \in U$

(moltiplicazione di un vettore per uno scalare)

(2.1)

e quando la somma tra vettori gode delle seguenti proprietà valide per ogni $u, u_1, u_2, u_3 \in U$:

U :

associatività $u_1 + (u_2 + u_3) = (u_1 + u_2) + u_3 = u_1 + u_2 + u_3$

commutatività $u_1 + u_2 = u_2 + u_1$

l'elemento 0

(vettore nullo) tale che: $u + 0 = 0 + u = u$

(2.2)

mentre la moltiplicazione di un vettore per uno scalare gode delle seguenti altre proprietà,

valide per ogni $\lambda, \mu \in \mathbb{R}$ ed $u, u_1, u_2 \in U$:

distributività

$(\lambda + \mu) u = \lambda u + \mu u$

$(\lambda u + \mu u) = (\lambda + \mu) u$

associatività $(1\ 2) u = 1(2\ u) = 1\ 2\ u$

(2.3)

Nel seguito si sottointenderà che il campo vettoriale si definisce sul campo reale.

137

138 G. Alfano - Appunti di Scienza delle Costruzioni

2.1.2 Vettori linearmente indipendenti

I vettori di un insieme $\{u_1, u_2, \dots, u_m\}$ sono detti linearmente indipendenti se l'unica

loro combinazione lineare che fornisce il vettore nullo è quella banale, cioè con tutti i

coefficienti pari a zero, ovvero quando si ha:

$$c_1 u_1 + c_2 u_2 + \dots + c_m u_m = 0 \quad c_1 = c_2 = \dots = c_m = 0 \quad (2.4)$$

2.1.3 Funzioni lineari

Una funzione (o anche 'operatore', o 'trasformazione') $A : U \rightarrow V$ che associa ai vettori di uno spazio vettoriale U quelli di un altro spazio vettoriale V si dice lineare se

vale la relazione:

$$A(\alpha u_1 + \beta u_2) = \alpha A(u_1) + \beta A(u_2) \quad \forall u_1, u_2 \in U, \alpha, \beta \in \mathbb{R} \quad (2.5)$$

Per un operatore lineare si usa spesso (quando la necessità di chiarezza non richieda

diversamente) non indicare l'argomento in parentesi, ponendosi dunque: $S(u) = S\ u$.

2.1.4 Spazi di dimensione finita e basi

Uno spazio vettoriale U si dice di dimensione finita n , e si indicherà qui con U_n , quando

il numero massimo di vettori linearmente indipendenti di U è n . Un insieme di n vettori linearmente indipendenti, $\{e_1, e_2, \dots, e_n\}$, è detto allora una base di U , e può dimostrarsi

facilmente che un qualsiasi vettore di U può ottenersi in un unico modo come combinazione lineare di $\{e_1, e_2, \dots, e_n\}$. Pertanto si ha:

$$\forall u \in U_n \quad \exists! u_1, u_2, \dots, u_n \in \mathbb{R} : u = u_1 e_1 + u_2 e_2 + \dots + u_n e_n \quad (2.6)$$

Esistono infinite basi di uno spazio vettoriale di dimensione finita n ma tutte le basi

hanno lo stesso numero n di vettori. Gli scalari $u_i, i = 1, \dots, n$, sono detti le componenti

di u rispetto alla base $\{e_1, e_2, \dots, e_n\}$. Nel seguito, a seconda delle necessità, si

utilizzeranno equivalentemente le seguenti notazioni:

$$u = u_1 e_1 + u_2 e_2 + \dots + u_n e_n = \sum_{i=1}^n u_i e_i \quad (2.7)$$

l'ultima delle quali è nota come convenzione dell'indice ripetuto. Essa sottintende l'operazione

di sommatoria sull'indice ripetuto due volte all'interno della stessa relazione e viene spesso utilizzata quando sia chiaro che la sommatoria va svolta per i che va da 1

a n . Analogamente, quando è chiara dal contesto la dimensione dello spazio, una base

$\{e_1, e_2, \dots, e_n\}$ si indicherà semplicemente con $\{e_i\}$.

Il simbolo $\exists!$ indica che tale combinazione lineare esiste ed è unica.

G. Alfano - Meccanica del Continuo 139

2.1.5 Lo spazio Euclideo tridimensionale

Lo spazio tridimensionale che ci circonda è efficacemente schematizzato come uno spazio

vettoriale, che si indicherà con U . Un vettore di tale spazio è individuato da un segmento orientato, e quindi dal suo modulo (ovvero la lunghezza del segmento), dalla

sua direzione e dal suo verso.

In generale, i vettori di tale spazio vengono considerati quali 'vettori liberi', nel senso

che segmenti diversi ma aventi modulo, direzione e verso uguali, si dicono 'equipollenti'

ed identificano lo stesso vettore.

u

v

u

v

$u + v$

u

$u \alpha$

$\alpha > 1$

(a) (b)

Figura 2.1: Operazioni nello spazio euclideo tridimensionale (o bidimensionale):

(a)

somma di due vettori; (b) moltiplicazione di un vettore per uno scalare.

In alcuni casi conviene considerare i vettori come vettori applicati, per cui due vettori

equipollenti ma aventi estremi iniziale e finale diversi identificano due vettori applicati

diversi. Conviene però qui assumere i vettori quali vettori liberi, poiché un vettore

applicato può semplicemente caratterizzarsi mediante l'associazione del vettore stesso,

considerato quale vettore libero, e del punto di applicazione.

L'insieme di tutti i segmenti orientati assume struttura di uno spazio vettoriale quando

si introduce l'operazione di somma di due vettori, mediante la ben nota regola del

parallelogramma, e della moltiplicazione di uno scalare per un vettore u (figura 2.1).

Il modulo di un vettore u è anche detto 'norma' di u e viene indicato con k_u .

Dati due vettori u e v , sia $\hat{u} \cdot \hat{v}$ il minore degli angoli da essi formati. Si definisce prodotto scalare, e si indica con $u \cdot v$, il numero reale:

$$u \cdot v = k_u k_v \cos \hat{u} \cdot \hat{v} \quad (2.8)$$

Il prodotto scalare è dunque una funzione che associa ad ogni coppia di vettori u_1 e

u_2 di U un numero reale che si indica con $u_1 \cdot u_2$. Tale funzione gode delle seguenti

proprietà:

è definita positiva $u \cdot u > 0 \quad u \neq 0$

è simmetrica $u_1 \cdot u_2 = u_2 \cdot u_1$

è bilineare $\forall \alpha, \beta$:

$$u \cdot (\alpha u_1 + \beta u_2) = \alpha (u \cdot u_1) + \beta (u \cdot u_2)$$

$$(\alpha u_1 + \beta u_2) \cdot u = \alpha (u_1 \cdot u) + \beta (u_2 \cdot u)$$

(2.9)

140 G. Alfano - Appunti di Scienza delle Costruzioni

comunque scelti $u, u_1, u_2 \in U$ e $\alpha, \beta \in \mathbb{R}$.

Una funzione definita su U ed a valori reali è anche detta una 'forma', e quindi in

virtù delle (2.9) si dice anche che il prodotto scalare è una forma bilineare, simmetrica

e definita positiva. Uno spazio vettoriale di dimensione finita in cui è definita una forma

bilineare, simmetrica e definita positiva è anche detto uno spazio Euclideo.

Nel seguito ci si riferirà esplicitamente al caso dello spazio euclideo

tridimensionale,

che è ovviamente di estrema importanza nella meccanica in quanto consente di schematizzare

matematicamente lo spazio tridimensionale che ci circonda. Tutto quanto si dirà

può essere facilmente specializzato al caso dello spazio bidimensionale, che rappresenta

un sottospazio di quello tridimensionale.

2.1.6 Basi ortonormali

Una base $\{e_1, e_2, e_3\}$ di U si dice ortonormale quando i suoi vettori sono di modulo

unitario e sono a due a due ortogonali fra loro, ovvero quando risulta:

$$e_i \cdot e_j = \delta_{ij} \quad (2.10)$$

dove δ_{ij} indica il simbolo di Kronecker, definito da:

$$\delta_{ij} = \begin{cases} 1 & \text{se } i = j \\ 0 & \text{se } i \neq j \end{cases}$$

$$1 \text{ se } i = j$$

$$0 \text{ se } i \neq j$$

(2.11)

In uno spazio vettoriale euclideo in cui si sceglie una base ortonormale valgono alcune importanti proprietà.

Una prima riguarda la possibilità di ottenere le componenti di un vettore rispetto alla

base ortonormale come prodotto scalare del vettore stesso per i vettori della base. In

particolare la componente i -esima di un vettore u si ottiene come prodotto scalare tra u

e e_i , ovvero $u_i = u \cdot e_i$. Infatti si ha:

$$u \cdot e_i = (u_j e_j) \cdot e_i = u_j (e_j \cdot e_i) = \delta_{ij} u_j = u_i \quad (2.12)$$

È utile come esercizio particolarizzare la relazione precedente per calcolare, ad esempio, la prima componente del generico vettore u . La relazione (2.12) si scrive

per esteso come segue:

$$u \cdot e_1 = (u_1 e_1 + u_2 e_2 + u_3 e_3) \cdot e_1 = u_1 e_1 \cdot e_1 + u_2 e_2 \cdot e_1 + u_3 e_3 \cdot e_1 =$$

$$= u_1 (e_1 \cdot e_1) + u_2 (e_2 \cdot e_1) + u_3 (e_3 \cdot e_1) = u_1$$

(2.13)

In altre parole, δ_{ij} rappresenta la componente ij della matrice identica:

$$I = \begin{pmatrix} 1 & 0 & 0 \\ 0 & 1 & 0 \\ 0 & 0 & 1 \end{pmatrix}$$

$$1 \ 0 \ 0$$

$$0 \ 1 \ 0$$

$$0 \ 0 \ 1$$

$$377775$$

Si noti che non si può sostituire $u = u_i e_i$ nella relazione (2.12) in quanto l'indice i è stato già utilizzato. Si potrebbe invece sostituire l'indice j con qualsiasi altro indice, poiché su di esso si svolge la

sommatoria. Si suole indicare ciò anche dicendo che l'indice j è un indice 'muto'.

G. Alfano - Meccanica del Continuo 141

in quanto $e_1 \cdot e_1 = 1$, mentre $e_2 \cdot e_1 = e_3 \cdot e_1 = 0$.

In figura 2.2 si dà una interpretazione geometrica di quanto detto per un vettore

del piano, ovvero di uno spazio euclideo bidimensionale. Essendo la base ortonormale,

le componenti del vettore u in figura si ottengono come proiezioni ortogonali del

vettore stesso sui vettori della base. Per la componente 1, ad esempio, si ha che $u_1 =$

$u \cdot e_1 = |u| \cos \theta$. Essendo $|e_1| = 1$, si ottiene in definitiva: $u_1 = |u| \cos \theta = u \cdot e_1$.

e_1

u

e_2

u_1

u_2

ue_1

ue_2

Figura 2.2: Componenti del vettore del piano u rispetto alla base ortonormale $\{e_1, e_2\}$.

Rispetto ad una base ortonormale, il prodotto scalare tra due vettori u e v si ottiene

come somma dei prodotti delle componenti omologhe di u e v . Infatti si ha:

$$u \cdot v = (u_j e_j) \cdot (v_i e_i) = (e_j \cdot e_i) u_j v_i = \delta_{ij} u_j v_i = u_i v_i \quad (2.14)$$

La relazione precedente si può anche scrivere:

$$u \cdot v = u_1 v_1 + u_2 v_2 + u_3 v_3$$

$$u_1$$

$$u_2$$

$$u_3$$

$$377775$$

.

$$266664$$

$$v_1$$

$$v_2$$

$$v_3$$

$$377775$$

$$= u_1 v_1 + u_2 v_2 + u_3 v_3 \quad (2.15)$$

2.1.7 Tensori e matrice associate ad un tensore

In seguito si considereranno sempre funzioni lineari che trasformano vettori di U in altri

vettori ancora di U , ovvero funzioni $A : U \rightarrow U$. Una funzione di tale tipo è detta un tensore.

4Svolgendo per esteso i passaggi si ha

$$\begin{aligned} u \cdot v &= (u_1 e_1 + u_2 e_2 + u_3 e_3) \cdot (v_1 e_1 + v_2 e_2 + v_3 e_3) = \\ &= e_1 \cdot e_1 u_1 v_1 + e_2 \cdot e_1 u_2 v_1 + e_3 \cdot e_1 u_3 v_1 + e_1 \cdot e_2 u_1 v_2 + e_2 \cdot e_2 u_2 v_2 + e_3 \cdot e_2 u_3 v_2 + \\ &+ e_1 \cdot e_3 u_1 v_3 + e_2 \cdot e_3 u_2 v_3 + e_3 \cdot e_3 u_3 v_3 = \\ &= e_1 \cdot e_1 u_1 v_1 + e_2 \cdot e_2 u_2 v_2 + e_3 \cdot e_3 u_3 v_3 = u_1 v_1 + u_2 v_2 + u_3 v_3 \end{aligned}$$

142 G. Alfano - Appunti di Scienza delle Costruzioni

Sia u un vettore di U e $v \in U$ il suo trasformato tramite il tensore A . Si ha dunque:

$$v = Au \quad (2.16)$$

Assegnata una base ortonormale $\{e_i\}$, si ha:

$$v_i = v \cdot e_i = (Au) \cdot e_i = Au \cdot e_i \quad (2.17)$$

dove le parentesi si sono eliminate in quanto, affinché si possa avere uno scalare come

risultato dell'operazione $Au \cdot e_i$, bisogna necessariamente calcolare prima Au e poi

moltiplicare scalarmente il vettore ottenuto per e_i . Esprimendo u in termini di componenti

rispetto ad $\{e_i\}$, ovvero ponendo $u = u_j e_j$, e sfruttando la linearità di A , si ha:

$$v_i = A(u_j e_j) \cdot e_i = (Ae_j \cdot e_i) u_j \quad (2.18)$$

La matrice A la cui componente A_{ij} è data da:

$$A_{ij} = Ae_j \cdot e_i \quad (2.19)$$

è detta matrice associata al tensore A rispetto alla base $\{e_i\}$. Infatti sostituendo la (2.19)

nella (2.18) si ha:

$$v_i = A_{ij} u_j \quad (2.20)$$

In forma matriciale, la (2.20) diventa:

$$\begin{bmatrix} v_1 \\ v_2 \\ v_3 \end{bmatrix} = \begin{bmatrix} 3 & 7 & 7 & 5 \\ 2 & 6 & 6 & 6 & 4 \\ 2 & 6 & 6 & 6 & 4 \end{bmatrix} \begin{bmatrix} u_1 \\ u_2 \\ u_3 \end{bmatrix}$$

$$v_1$$

$$v_2$$

$$v_3$$

$$3 \ 7 \ 7 \ 5$$

$$= 2 \ 6 \ 6 \ 6 \ 4$$

$$Ae_1 \cdot e_1 \ Ae_2 \cdot e_1 \ Ae_3 \cdot e_1$$

$$Ae_1 \cdot e_2 \ Ae_2 \cdot e_2 \ Ae_3 \cdot e_2$$

$$Ae_1 \cdot e_3 \ Ae_2 \cdot e_3 \ Ae_3 \cdot e_3$$

$$3 \ 7 \ 7 \ 5 \ 2 \ 6 \ 6 \ 6 \ 4$$

$$u_1$$

$$u_2$$

$$u_3$$

$$3 \ 7 \ 7 \ 5$$

$$(2.21)$$

Pertanto, assegnata una base ortonormale, il vettore delle componenti di v , trasformato

tramite il tensore A del vettore u , si ottiene effettuando il prodotto righe per colonne

della matrice associata ad A per il vettore delle componenti di u rispetto alla stessa base.

Tale matrice, con un consapevole abuso di notazione volto a semplificare il

formalismo,

verrà indicata anch'essa con A.

Dalla (2.21) si vede anche che gli elementi della prima colonna della matrice associata

al tensore A rispetto alla base $\{e_1, e_2, e_3\}$ sono le componenti del vettore Ae_1 rispetto alla base stessa. Analogamente gli elementi della seconda colonna sono le componenti

del vettore Ae_2 mentre gli elementi della terza colonna sono le componenti del vettore Ae_3 . In generale, gli elementi della colonna j-esima sono le componenti del

vettore Ae_j , ovvero del trasformato tramite A del vettore e_j . L'elemento A_{ij} è allora

la i-esima componente del vettore Ae_j .

Per esteso, nel caso $i = 1$, si ha

$$v_1 = A(u_1 e_1 + u_2 e_2 + u_3 e_3) \cdot e_1 = (Ae_1 \cdot e_1) u_1 + (Ae_2 \cdot e_1) u_2 + (Ae_3 \cdot e_1) u_3$$

G. Alfano - Meccanica del Continuo 143

2.1.8 Prodotto fra tensori

La composizione di due tensori A e B, detta anche prodotto di A per B, è a sua volta

un tensore definito dalla relazione:

$$(AB)u = A(Bu) \quad (2.22)$$

Il prodotto di due tensori gode della proprietà associativa, per cui $(AB)C = A(BC)$

ma non di quella commutativa, poiché in generale $AB \neq BA$. Se si ha invece

che $AB = BA$ si dice che i due tensori A e B commutano.

La matrice associata al prodotto AB rispetto ad una base ortonormale si ottiene mediante il prodotto righe per colonne delle matrici associate ad A ed a B rispetto alla

stessa base. Infatti si ha:

$$(ABa)_i = (AB)_{ij} a_j \quad (2.23)$$

ed inoltre:

$$(ABa)_i = A_{ik} (Ba)_k = A_{ik} (B_{kj} a_j) = (A_{ik} B_{kj}) a_j \quad (2.24)$$

da cui:

$$(AB)_{ij} = A_{ik} B_{kj} \quad (2.25)$$

L'ultima relazione rappresenta appunto, in forma indiciale, il prodotto righe per colonne.

Infatti, l'elemento ij della matrice AB, si ottiene come somma dei prodotti delle componenti omologhe della riga i-esima di A e della colonna j-esima di B.

Per esteso, per $n = 3$, si ha:

$$AB = \begin{pmatrix} A_{11} & A_{12} & A_{13} \\ A_{21} & A_{22} & A_{23} \\ A_{31} & A_{32} & A_{33} \end{pmatrix} \begin{pmatrix} B_{11} & B_{12} & B_{13} \\ B_{21} & B_{22} & B_{23} \\ B_{31} & B_{32} & B_{33} \end{pmatrix}$$

$$= \begin{pmatrix} A_{11}B_{11} + A_{12}B_{21} + A_{13}B_{31} & A_{11}B_{12} + A_{12}B_{22} + A_{13}B_{32} & A_{11}B_{13} + A_{12}B_{23} + A_{13}B_{33} \\ A_{21}B_{11} + A_{22}B_{21} + A_{23}B_{31} & A_{21}B_{12} + A_{22}B_{22} + A_{23}B_{32} & A_{21}B_{13} + A_{22}B_{23} + A_{23}B_{33} \\ A_{31}B_{11} + A_{32}B_{21} + A_{33}B_{31} & A_{31}B_{12} + A_{32}B_{22} + A_{33}B_{32} & A_{31}B_{13} + A_{32}B_{23} + A_{33}B_{33} \end{pmatrix}$$

$$= \begin{pmatrix} 3 & 7 & 7 & 5 \\ 2 & 6 & 6 & 4 \\ 3 & 7 & 7 & 5 \end{pmatrix}$$

$$= \begin{pmatrix} 3 & 7 & 7 & 5 \\ 2 & 6 & 6 & 4 \\ 3 & 7 & 7 & 5 \end{pmatrix}$$

$$= \begin{pmatrix} 3 & 7 & 7 & 5 \\ 2 & 6 & 6 & 4 \\ 3 & 7 & 7 & 5 \end{pmatrix}$$

$$= \begin{pmatrix} 3 & 7 & 7 & 5 \\ 2 & 6 & 6 & 4 \\ 3 & 7 & 7 & 5 \end{pmatrix}$$

$$= \begin{pmatrix} 3 & 7 & 7 & 5 \\ 2 & 6 & 6 & 4 \\ 3 & 7 & 7 & 5 \end{pmatrix}$$

$$= \begin{pmatrix} 3 & 7 & 7 & 5 \\ 2 & 6 & 6 & 4 \\ 3 & 7 & 7 & 5 \end{pmatrix}$$

$$= \begin{pmatrix} 3 & 7 & 7 & 5 \\ 2 & 6 & 6 & 4 \\ 3 & 7 & 7 & 5 \end{pmatrix}$$

$$= \begin{pmatrix} 3 & 7 & 7 & 5 \\ 2 & 6 & 6 & 4 \\ 3 & 7 & 7 & 5 \end{pmatrix}$$

$$=$$

$$= 24$$

$A_{11} B_{11} + A_{12} B_{21} + A_{13} B_{31}$
 $A_{11} B_{12} + A_{12} B_{22} + A_{13} B_{32}$
 $A_{11} B_{13} + A_{12} B_{23} + A_{13} B_{33}$
 $A_{21} B_{11} + A_{22} B_{21} + A_{23} B_{31}$
 $A_{21} B_{12} + A_{22} B_{22} + A_{23} B_{32}$
 $A_{21} B_{13} + A_{22} B_{23} + A_{23} B_{33}$
 $A_{31} B_{11} + A_{32} B_{21} + A_{33} B_{31}$
 $A_{31} B_{12} + A_{32} B_{22} + A_{33} B_{32}$
 $A_{31} B_{13} + A_{32} B_{23} + A_{33} B_{33}$

35

(2.26)

2.1.9 Prodotto tensoriale

Assegnati due vettori a e b di U , si definisce prodotto tensoriale di a per b , e si indica

con $a \otimes b$, il tensore definito dalla seguente relazione:

$(a \otimes b) \cdot c$

def.

$$= a (b \cdot c) \quad (2.27)$$

Al variare di k , gli elementi A_{ik} sono proprio gli elementi della riga i -esima di A , mentre gli

elementi B_{kj} sono proprio gli elementi della colonna j -esima di B

144 G. Alfano - Appunti di Scienza delle Costruzioni

In componenti si ha:

$$[(a \otimes b) \cdot c]_i = (a \otimes b)_{ij} c_j \quad (2.28)$$

ed inoltre, dalla definizione (2.27):

$$[(a \otimes b) \cdot c]_i = [a (b \cdot c)]_i = a_i (b \cdot c) = a_i (b_j c_j) = (a_i b_j) c_j \quad (2.29)$$

da cui si ricava:

$$(a \otimes b)_{ij} = a_i b_j \quad (2.30)$$

La matrice associata al tensore $a \otimes b$ è dunque la seguente:

$$a \otimes b = \begin{bmatrix} a_1 b_1 & a_1 b_2 & a_1 b_3 \\ a_2 b_1 & a_2 b_2 & a_2 b_3 \\ a_3 b_1 & a_3 b_2 & a_3 b_3 \end{bmatrix}$$

$$= \begin{bmatrix} a_1 b_1 & a_1 b_2 & a_1 b_3 \\ a_2 b_1 & a_2 b_2 & a_2 b_3 \\ a_3 b_1 & a_3 b_2 & a_3 b_3 \end{bmatrix}$$

$$= \begin{bmatrix} a_1 b_1 & a_1 b_2 & a_1 b_3 \\ a_2 b_1 & a_2 b_2 & a_2 b_3 \\ a_3 b_1 & a_3 b_2 & a_3 b_3 \end{bmatrix}$$

$$= \begin{bmatrix} a_1 b_1 & a_1 b_2 & a_1 b_3 \\ a_2 b_1 & a_2 b_2 & a_2 b_3 \\ a_3 b_1 & a_3 b_2 & a_3 b_3 \end{bmatrix}$$

$$= \begin{bmatrix} a_1 b_1 & a_1 b_2 & a_1 b_3 \\ a_2 b_1 & a_2 b_2 & a_2 b_3 \\ a_3 b_1 & a_3 b_2 & a_3 b_3 \end{bmatrix}$$

$$= \begin{bmatrix} a_1 b_1 & a_1 b_2 & a_1 b_3 \\ a_2 b_1 & a_2 b_2 & a_2 b_3 \\ a_3 b_1 & a_3 b_2 & a_3 b_3 \end{bmatrix}$$

$$= \begin{bmatrix} a_1 b_1 & a_1 b_2 & a_1 b_3 \\ a_2 b_1 & a_2 b_2 & a_2 b_3 \\ a_3 b_1 & a_3 b_2 & a_3 b_3 \end{bmatrix}$$

Nello spazio euclideo tridimensionale, la matrice associata al prodotto

tensoriale di

due vettori a e b è invece la seguente:

$$a \otimes b = \begin{bmatrix} a_1 b_1 & a_1 b_2 \\ a_2 b_1 & a_2 b_2 \end{bmatrix}$$

$$= \begin{bmatrix} a_1 b_1 & a_1 b_2 \\ a_2 b_1 & a_2 b_2 \end{bmatrix}$$

$$= \begin{bmatrix} a_1 b_1 & a_1 b_2 \\ a_2 b_1 & a_2 b_2 \end{bmatrix}$$

$$= \begin{bmatrix} a_1 b_1 & a_1 b_2 \\ a_2 b_1 & a_2 b_2 \end{bmatrix}$$

$$= \begin{bmatrix} a_1 b_1 & a_1 b_2 \\ a_2 b_1 & a_2 b_2 \end{bmatrix}$$

$$= \begin{bmatrix} a_1 b_1 & a_1 b_2 \\ a_2 b_1 & a_2 b_2 \end{bmatrix}$$

$$= \begin{bmatrix} a_1 b_1 & a_1 b_2 \\ a_2 b_1 & a_2 b_2 \end{bmatrix}$$

$$= \begin{bmatrix} a_1 b_1 & a_1 b_2 \\ a_2 b_1 & a_2 b_2 \end{bmatrix}$$

$$= \begin{bmatrix} a_1 b_1 & a_1 b_2 \\ a_2 b_1 & a_2 b_2 \end{bmatrix}$$

$$= \begin{bmatrix} a_1 b_1 & a_1 b_2 \\ a_2 b_1 & a_2 b_2 \end{bmatrix}$$

$$= \begin{bmatrix} a_1 b_1 & a_1 b_2 \\ a_2 b_1 & a_2 b_2 \end{bmatrix}$$

$$= \begin{bmatrix} a_1 b_1 & a_1 b_2 \\ a_2 b_1 & a_2 b_2 \end{bmatrix}$$

$$= \begin{bmatrix} a_1 b_1 & a_1 b_2 \\ a_2 b_1 & a_2 b_2 \end{bmatrix}$$

$$= \begin{bmatrix} a_1 b_1 & a_1 b_2 \\ a_2 b_1 & a_2 b_2 \end{bmatrix}$$

$$= \begin{bmatrix} a_1 b_1 & a_1 b_2 \\ a_2 b_1 & a_2 b_2 \end{bmatrix}$$

$$= \begin{bmatrix} a_1 b_1 & a_1 b_2 \\ a_2 b_1 & a_2 b_2 \end{bmatrix}$$

$$= \begin{bmatrix} a_1 b_1 & a_1 b_2 \\ a_2 b_1 & a_2 b_2 \end{bmatrix}$$

$$= \begin{bmatrix} a_1 b_1 & a_1 b_2 \\ a_2 b_1 & a_2 b_2 \end{bmatrix}$$

$$= \begin{bmatrix} a_1 b_1 & a_1 b_2 \\ a_2 b_1 & a_2 b_2 \end{bmatrix}$$

$$= \begin{bmatrix} a_1 b_1 & a_1 b_2 \\ a_2 b_1 & a_2 b_2 \end{bmatrix}$$

$$= \begin{bmatrix} a_1 b_1 & a_1 b_2 \\ a_2 b_1 & a_2 b_2 \end{bmatrix}$$

$$= \begin{bmatrix} a_1 b_1 & a_1 b_2 \\ a_2 b_1 & a_2 b_2 \end{bmatrix}$$

$$= \begin{bmatrix} a_1 b_1 & a_1 b_2 \\ a_2 b_1 & a_2 b_2 \end{bmatrix}$$

$$= \begin{bmatrix} a_1 b_1 & a_1 b_2 \\ a_2 b_1 & a_2 b_2 \end{bmatrix}$$

$$= \begin{bmatrix} a_1 b_1 & a_1 b_2 \\ a_2 b_1 & a_2 b_2 \end{bmatrix}$$

una seconda base ancora ortonormale.

Siano allora assegnate le due basi ortonormali $\{e_i\}$ e $\{e_{0i}\}$. Le componenti u_{0i} si ottengono come noto:

$$u_{0i} = u \cdot e_{0i} \quad (2.33)$$

Sostituendo in tale relazione l'espressione di u in termini di componenti rispetto ad

$\{e_i\}$, ovvero $u = u_j e_j$, si ottiene 7:

$$u_{0i} = (u_j e_j) \cdot e_{0i} = u_j e_j \cdot e_{0i} = (e_j \cdot e_{0i}) u_j = Q_{ij} u_j \quad (2.34)$$

7Per esteso, assumendo come esempio $i = 2$, si ha:

$$u_{02} = (u_1 e_1 + u_2 e_2 + u_3 e_3) \cdot e_{02} = (e_1 \cdot e_{02}) u_1 + (e_2 \cdot e_{02}) u_2 + (e_3 \cdot e_{02}) u_3 = Q_{21} u_1 + Q_{22} u_2 + Q_{23} u_3$$

G. Alfano - Meccanica del Continuo 145

ovvero

$$u_{0i} = Q_{ij} u_j \quad (2.35)$$

La matrice Q_{ij} la cui componente ij , come visto nella relazione precedente, è data da

$$Q_{ij} = e_j \cdot e_{0i} \quad (2.36)$$

è detta matrice del cambiamento di base. Per esteso si ha:

$$26664$$

$$u_{01}$$

$$u_{02}$$

$$u_{03}$$

$$37775$$

$$=26664$$

$$e_1 \cdot e_{01} \quad e_2 \cdot e_{01} \quad e_3 \cdot e_{01}$$

$$e_1 \cdot e_{02} \quad e_2 \cdot e_{02} \quad e_3 \cdot e_{02}$$

$$e_1 \cdot e_{03} \quad e_2 \cdot e_{03} \quad e_3 \cdot e_{03}$$

$$37775$$

$$26664$$

$$u_1$$

$$u_2$$

$$u_3$$

$$37775$$

$$Q = 26664$$

$$e_1 \cdot e_{01} \quad e_2 \cdot e_{01} \quad e_3 \cdot e_{01}$$

$$e_1 \cdot e_{02} \quad e_2 \cdot e_{02} \quad e_3 \cdot e_{02}$$

$$e_1 \cdot e_{03} \quad e_2 \cdot e_{03} \quad e_3 \cdot e_{03}$$

$$37775$$

$$(2.37)$$

Dunque il prodotto righe per colonne di Q per il vettore delle componenti di u rispetto

a $\{e_i\}$ fornisce il vettore delle componenti di u rispetto a $\{e_{0i}\}$.

Chiamando, per semplicità, 'vecchia base' $\{e_i\}$ e 'nuova base' $\{e_{0i}\}$, è utile osservare

che nella j -esima colonna di Q sono ordinate le componenti del vettore e_j della vecchia

base rispetto alla nuova base $\{e_{0i}\}$.

Si consideri un esempio ulteriore in dimensione 2 ($n = 2$). Sia l'angolo di cui deve

ruotare in senso antiorario la vecchia base $\{e_i\}$ per sovrapporsi alla nuova $\{e_{0i}\}$ (figura

2.3).

α

e_1
 $e_2 e'_1$
 e'
 2
 $\alpha \cos$
 $\alpha \sin$
 $\alpha \cos$
 $\alpha \sin$

Figura 2.3: Cambiamento di base.

Si ha in questo caso:

$$Q = Q() = 24$$

cos sen

$$-\sin \cos 35 \quad (2.38)$$

Indicando, con il solito consapevole abuso di notazione, con u oltre al vettore geometrico

anche il vettore numerico ad esso associato rispetto alla base $\{e_i\}$, e con u_0 il vettore numerico associato ad u rispetto alla base $\{e_{0i}\}$, la (2.35) si scrive:

$$u_0 = Qu \quad (2.39)$$

146 G. Alfano - Appunti di Scienza delle Costruzioni

Si dimostra che la matrice di passaggio da una base ortonormale ad un'altra anch'essa

ortonormale è ortogonale, ovvero caratterizzata, tra le altre proprietà, da quella per

cui la sua inversa coincide con la trasposta:

$$Q^{-1} = Q^t \quad (2.40)$$

Invertendo la (2.39) e sfruttando il fatto che Q è ortogonale si ha:

$$u = Q^t u_0 \quad (2.41)$$

Si vuole ora vedere come cambia la matrice associata ad un tensore quando cambia

la base. A questo scopo, indicando ancora con u , v e A sia i due vettori ed il tensore

che i vettori numerici e la matrice rispetto alla vecchia base $\{e_i\}$, e con u_0 , v_0 e A_0 i

vettori numerici e la matrice rispetto alla nuova base $\{e_{0i}\}$, si ha:

$$v = Au \quad (2.42)$$

anche in termini di rappresentazioni numeriche, ovvero per i vettori numerici u , v e la

matrice A . Utilizzando allora le formule (2.39) e (2.41) per il cambiamento di base si

ricava:

$$v_0 = Qv = QAu = QAQ^t u_0 = A_0 u_0 \quad (2.43)$$

La matrice A_0 associata al tensore A rispetto alla nuova base $\{e_{0i}\}$ si ottiene pertanto da:

$$A_0 = QAQ^t \quad (2.44)$$

2.1.11 Richiami di analisi tensoriale

Assegnata un'origine nello spazio tridimensionale, ogni punto dello spazio può essere

identificato mediante il suo vettore posizione x avente l'estremo iniziale nell'origine

e quello finale nel punto stesso. Introducendo l'usuale prodotto scalare, l'insieme dei

vettori posizione dello spazio assume la struttura di spazio euclideo.

Si introduca nello spazio euclideo tridimensionale una base ortonormale, che si indicherà

con $\{e_1, e_2, e_3\}$ oppure con $\{i, j, k\}$ a seconda della convenienza. Il vettore di

delle componenti di un vettore posizione x rispetto a tale base si indicherà dunque nei

due seguenti modi alternativi:

$x = 26664$

x_1

x_2

x_3

37775

=26664

x

y

z

37775

(2.45)

La prima delle due notazioni è conveniente quando si voglia compattare le relazioni

mediante la notazione indiciale. La seconda è utile adoperarla in quanto molto utilizzata.

Si consideri un insieme dello spazio euclideo tridimensionale. Una funzione che ad ogni punto $x \in \mathbb{R}^3$ associa uno scalare $\phi = \phi(x)$ è detta un campo scalare.

Una funzione che ad ogni punto $x \in \mathbb{R}^3$ associa un vettore $u = u(x)$ è detta un campo vettoriale.

Una funzione che ad ogni punto $x \in \mathbb{R}^3$ associa un tensore $A = A(x)$ è detta un campo tensoriale.

G. Alfano - Meccanica del Continuo 147

Gradiente di un campo scalare o vettoriale

Per quanto sia possibile dare una definizione generale dei gradienti di un campo scalare

o vettoriale, qui si preferisce per semplicità fornire direttamente le formule che forniscono le componenti di tali gradienti rispetto ad una base ortonormale assegnata.

Sia assegnato un campo scalare definito su Ω , e sia derivabile almeno una volta rispetto a ciascuna delle componenti. Il gradiente di ϕ è un campo vettoriale, definito

ancora su Ω , che si indica con $\text{grad } \phi$ e che in componenti è dato da:

$\text{grad } \phi =$

2666666664

@

@ x

@

@ y

@

@ z

3777777775

=

2666666664

@

@ x_1

@
@x2
@
@x3
3777777775
=26664

,1
,2
,3
37775
(2.46)

dove la virgola seguita dall'indice i indica l'operazione di derivata parziale rispetto alla

componente x_i . In notazione indiciale si ha:

$(r)_i = \partial_i$ (2.47)

Sia assegnato un campo vettoriale u definito su Ω , e sia u derivabile almeno una volta rispetto a ciascuna delle componenti. Il gradiente di u è un campo tensoriale,

definito ancora su Ω , che si indica con $\text{grad } u$ oppure con $\text{grad } u$, e che in componenti è

dato da:

$\text{grad } u =$
2666666664

@u_x
@x
@u_x
@y
@u_x
@z
@u_y
@x
@u_y
@y
@u_y
@z
@u_z
@x
@u_z
@y
@u_z
@z
3777777775

=
2666666664

@u1
@x1
@u1
@x2
@u1
@x3
@u2
@x1

$\frac{\partial}{\partial x_2}$
 $\frac{\partial}{\partial x_2}$
 $\frac{\partial}{\partial x_2}$
 $\frac{\partial}{\partial x_3}$
 $\frac{\partial}{\partial x_3}$
 $\frac{\partial}{\partial x_1}$
 $\frac{\partial}{\partial x_3}$
 $\frac{\partial}{\partial x_2}$
 $\frac{\partial}{\partial x_3}$
 $\frac{\partial}{\partial x_3}$
 3777777775
 $=26664$

$u_{1,1} u_{1,2} u_{1,3}$
 $u_{2,1} u_{2,2} u_{2,3}$
 $u_{3,1} u_{3,2} u_{3,3}$
 37775
(2.48)

In notazione indiciale si ha:

$$(ru)_{ij} = u_{i,j} \quad (2.49)$$

Divergenza di un campo vettoriale o tensoriale

Sia assegnato un campo vettoriale u definito su Ω , e sia u derivabile almeno una volta

rispetto a ciascuna delle componenti. La divergenza di u è un campo scalare, definito

ancora su Ω , che si indica con $\text{div } u$ e che in componenti è dato da:

$$\text{div } u =$$

$\frac{\partial}{\partial x}$

$\frac{\partial}{\partial x}$

+

$\frac{\partial}{\partial y}$

$\frac{\partial}{\partial y}$

+

$\frac{\partial}{\partial z}$

$\frac{\partial}{\partial z}$

=

$\frac{\partial}{\partial x_1}$

$\frac{\partial}{\partial x_1}$

+

$\frac{\partial}{\partial x_2}$

$\frac{\partial}{\partial x_2}$

+

$\frac{\partial}{\partial x_3}$

$\frac{\partial}{\partial x_3}$

$$= u_{1,1} + u_{2,2} + u_{3,3} = u_{i,i} \quad (2.50)$$

Sia assegnato un campo tensoriale A definito su Ω , e sia A derivabile almeno una volta rispetto a ciascuna delle componenti. La divergenza di A è un campo vettoriale,

148 G. Alfano - Appunti di Scienza delle Costruzioni

definito ancora su Ω , che si indica con $\text{div} A$ e che in componenti è dato da:

$$\text{div} A =$$

2666666664

$\frac{\partial}{\partial x_1}$

$\int_{\partial V} u_1 dx_1 + u_2 dx_2 + u_3 dx_3$
 $= \int_V (\frac{\partial u_1}{\partial x_1} + \frac{\partial u_2}{\partial x_2} + \frac{\partial u_3}{\partial x_3}) dx_1 dx_2 dx_3$
 (2.51)

In notazione indiciale si ha:

$$(\operatorname{div} A)_i = A_{ij,j} \quad (2.52)$$

Teorema della divergenza per un campo vettoriale

Sia assegnato un campo vettoriale u su un dominio V dello spazio tridimensionale euclideo.

Sia inoltre u derivabile almeno una volta rispetto alle sue componenti e si faccia

l'ipotesi che il contorno ∂V di V sia dotato di piano tangente in tutti i punti tranne al

più un insieme di punti di misura nulla. Nell'ulteriore ipotesi che la divergenza di u sia

integrabile su V vale la seguente relazione:

$$\int_V \operatorname{div} u \, dV = \int_{\partial V} u \cdot n \, dS \quad (2.53)$$

dove con n si è indicata la normale uscente a ∂V .

Il teorema della divergenza si enuncia anche dicendo che, nelle suddette ipotesi, il

flusso del vettore u attraverso il contorno di V è pari all'integrale della sua divergenza

esteso a V .

In componenti la relazione (2.53) si scrive come segue:

$$\int_V u_{i,i} \, dV = \int_{\partial V} u_i n_i \, dS \quad (2.54)$$

Teorema della divergenza per un campo tensoriale

Sia assegnato un campo tensoriale A su un dominio V dello spazio

tridimensionale

euclideo. Sia inoltre A derivabile almeno una volta rispetto alle sue componenti e si

faccia l'ipotesi che il contorno @ di sia dotato di piano tangente in tutti i punti tranne

al più un insieme di punti di misura nulla. Nell'ulteriore ipotesi che la divergenza di A

sia integrabile su vale la seguente relazione:

$$\int_Z \text{div} A dS = \int_{@} Z$$

$$\int_{@} n_j dS \quad (2.55)$$

dove con n si è indicata la normale uscente a @, mentre An indica, come al solito, il

trasformato di n attraverso A.

G. Alfano - Meccanica del Continuo 149

Il teorema della divergenza per un campo tensoriale si enuncia anche dicendo che,

nelle suddette ipotesi, il flusso del tensore A attraverso il contorno di è pari all'integrale

della sua divergenza esteso a .

In componenti la relazione (2.55) si scrive come segue:

$$\int_Z A_{ij,j} dS = \int_{@} Z$$

$$\int_{@} n_j dS \quad (2.56)$$

ovvero per esteso:

$$\int_Z (A_{11,1} + A_{12,2} + A_{13,3} + A_{21,1} + A_{22,2} + A_{23,3} + A_{31,1} + A_{32,2} + A_{33,3}) dS = \int_{@} Z$$

$$\int_{@} (n_1 A_{11} + n_2 A_{12} + n_3 A_{13} + n_1 A_{21} + n_2 A_{22} + n_3 A_{23} + n_1 A_{31} + n_2 A_{32} + n_3 A_{33}) dS = \int_{@} Z$$

$$\int_{@} (n_1 A_{11} + n_2 A_{12} + n_3 A_{13} + n_1 A_{21} + n_2 A_{22} + n_3 A_{23} + n_1 A_{31} + n_2 A_{32} + n_3 A_{33}) dS = \int_{@} Z$$

$$\int_{@} (n_1 A_{11} + n_2 A_{12} + n_3 A_{13} + n_1 A_{21} + n_2 A_{22} + n_3 A_{23} + n_1 A_{31} + n_2 A_{32} + n_3 A_{33}) dS = \int_{@} Z$$

$$\int_{@} (n_1 A_{11} + n_2 A_{12} + n_3 A_{13} + n_1 A_{21} + n_2 A_{22} + n_3 A_{23} + n_1 A_{31} + n_2 A_{32} + n_3 A_{33}) dS = \int_{@} Z$$

$$\int_{@} (n_1 A_{11} + n_2 A_{12} + n_3 A_{13} + n_1 A_{21} + n_2 A_{22} + n_3 A_{23} + n_1 A_{31} + n_2 A_{32} + n_3 A_{33}) dS = \int_{@} Z$$

$$\int_{@} (n_1 A_{11} + n_2 A_{12} + n_3 A_{13} + n_1 A_{21} + n_2 A_{22} + n_3 A_{23} + n_1 A_{31} + n_2 A_{32} + n_3 A_{33}) dS = \int_{@} Z$$

$$\int_{@} (n_1 A_{11} + n_2 A_{12} + n_3 A_{13} + n_1 A_{21} + n_2 A_{22} + n_3 A_{23} + n_1 A_{31} + n_2 A_{32} + n_3 A_{33}) dS = \int_{@} Z$$

$$\int_{@} (n_1 A_{11} + n_2 A_{12} + n_3 A_{13} + n_1 A_{21} + n_2 A_{22} + n_3 A_{23} + n_1 A_{31} + n_2 A_{32} + n_3 A_{33}) dS = \int_{@} Z$$

$$\int_{@} (n_1 A_{11} + n_2 A_{12} + n_3 A_{13} + n_1 A_{21} + n_2 A_{22} + n_3 A_{23} + n_1 A_{31} + n_2 A_{32} + n_3 A_{33}) dS = \int_{@} Z$$

$$\int_{@} (n_1 A_{11} + n_2 A_{12} + n_3 A_{13} + n_1 A_{21} + n_2 A_{22} + n_3 A_{23} + n_1 A_{31} + n_2 A_{32} + n_3 A_{33}) dS = \int_{@} Z$$

$$\int_{@} (n_1 A_{11} + n_2 A_{12} + n_3 A_{13} + n_1 A_{21} + n_2 A_{22} + n_3 A_{23} + n_1 A_{31} + n_2 A_{32} + n_3 A_{33}) dS = \int_{@} Z$$

$$\int_{@} (n_1 A_{11} + n_2 A_{12} + n_3 A_{13} + n_1 A_{21} + n_2 A_{22} + n_3 A_{23} + n_1 A_{31} + n_2 A_{32} + n_3 A_{33}) dS = \int_{@} Z$$

$$\int_{@} (n_1 A_{11} + n_2 A_{12} + n_3 A_{13} + n_1 A_{21} + n_2 A_{22} + n_3 A_{23} + n_1 A_{31} + n_2 A_{32} + n_3 A_{33}) dS = \int_{@} Z$$

$$\int_{@} (n_1 A_{11} + n_2 A_{12} + n_3 A_{13} + n_1 A_{21} + n_2 A_{22} + n_3 A_{23} + n_1 A_{31} + n_2 A_{32} + n_3 A_{33}) dS = \int_{@} Z$$

$$\int_{@} (n_1 A_{11} + n_2 A_{12} + n_3 A_{13} + n_1 A_{21} + n_2 A_{22} + n_3 A_{23} + n_1 A_{31} + n_2 A_{32} + n_3 A_{33}) dS = \int_{@} Z$$

$$\int_{@} (n_1 A_{11} + n_2 A_{12} + n_3 A_{13} + n_1 A_{21} + n_2 A_{22} + n_3 A_{23} + n_1 A_{31} + n_2 A_{32} + n_3 A_{33}) dS = \int_{@} Z$$

Il teorema della divergenza per un campo tensoriale si ricava come conseguenza di

quello valido per un campo vettoriale considerando ciascuna delle tre componenti di

divA come la divergenza di un campo vettoriale. Ad esempio, si consideri la seconda

componente di divA, che in notazione indiciale è data da (divA)₂ = A_{2j,j}. Per semplicità

conviene cambiare l'indice 'muto' j in i, in modo da ottenere che (divA)₂ = A_{2i,i}.

Sostituendo allora $u_{i,i}$ con $A_{2i,i}$ nella relazione (2.54) si ha.

Z

$$A_{2i,i} d = Z_{@}$$

$$A_{2i} n_i d S \quad (2.58)$$

Cambiando di nuovo l'indice 'muto' i in j , si ottiene in definitiva:

Z

$$A_{2j,j} d = Z_{@}$$

$$A_{2j} n_j d S \quad (2.59)$$

che rappresenta proprio la relazione (2.56) nel caso $i = 2$.

Ovviamente lo stesso ragionamento vale anche per $i = 1$ e per $i = 3$.

8Come si è già visto in precedenza in un caso analogo, essendo j nella relazione precedente un indice

su cui bisogna effettuare una sommatoria, esso è detto muto in quanto può essere sostituito con qualsiasi

altro indice non utilizzato nella relazione stessa.

150 G. Alfano - Appunti di Scienza delle Costruzioni

2.2 Cinematica del modello continuo tridimensionale

Da un punto di vista fisico non esiste un materiale che sia privo di vuoti a qualsiasi scala

lo si osservi. Tuttavia per molti materiali e per molte applicazioni ingegneristiche la

scala di osservazione è tale che la loro schematizzazione come continui, cioè privi di

vuoti, risulta efficace.

In questo capitolo si studia la cinematica del modello di continuo tridimensionale

formulato nella prima metà dell'800 dal fisico-matematico Cauchy, modello che è di

gran lunga il più utilizzato nelle applicazioni. Con esso un corpo continuo B è definito

mediante una corrispondenza biunivoca tra le sue particelle materiali ed i punti di un

dominio connesso dello spazio euclideo tridimensionale, identificati mediante il loro

vettore posizione x rispetto ad un origine O . Nella presente trattazione si assumerà che

sia un'insieme chiuso e regolare, sulla cui frontiera il piano tangente è definito quasi

ovunque, eccetto al più un insieme di punti di misura nulla.

La cinematica studia l'evoluzione della configurazione di B rispetto al tempo t , attraverso

una corrispondenza che ad ogni punto x di B , che è anche detto 'configurazione di riferimento', associa, in ogni istante t , il punto $x = (x, t)$ di un dominio

$\Omega = \Omega(t)$, che è invece detto 'configurazione attuale'. Si precisa che Ω non deve in generale coincidere con una configurazione effettivamente assunta dal corpo.

In questo

contesto, tuttavia, per il tipo di applicazioni che si intende svolgere conviene supporre

coincidente con una 'configurazione iniziale' (t_0) indeformata assunta ad un istante

t_0 . Per brevità di notazione si sottointenderà la dipendenza da t e si scriverà quindi:

$$\mathbf{x} = (x) \quad (2.60)$$

Ω

Ω^*

χ

\mathbf{x}

\mathbf{x}^*

$\mathbf{O} \mathbf{i} = \mathbf{e}_1$

$\mathbf{j} = \mathbf{e}_2 \quad \mathbf{k} = \mathbf{e}_3$

Figura 2.4: Deformazione.

L'intera sezione 2.2 è stata strutturata in modo tale da poter studiare solamente le sezioni 2.2.4, 2.2.8 e 2.2.9 omettendo il resto, in modo da acquisire la conoscenza solo dei risultati essenziali validi nell'ipotesi di piccoli spostamenti e, entro certi limiti, anche del loro significato fisico.

G. Alfano - Meccanica del Continuo 151

2.2.1 Gradiente della deformazione

Poiché si escludono dalla presente trattazione fenomeni di frattura o compenetrazione,

la funzione χ si assume continua ed invertibile con inversa continua. Si assume inoltre

che χ sia derivabile fino all'ordine di derivazione richiesto dagli sviluppi successivi. In

particolare, si assume che χ sia una volta differenziabile e che dunque si abbia:

$$\chi(\mathbf{x}) = \chi(\mathbf{x}_0) + \mathbf{r}(\mathbf{x}_0) (\mathbf{x} - \mathbf{x}_0) + o(\|\mathbf{x} - \mathbf{x}_0\|^2) \quad (2.61)$$

dove il termine $o(\|\mathbf{x} - \mathbf{x}_0\|^2)$ indica un infinitesimo di ordine superiore a quello di $\|\mathbf{x} - \mathbf{x}_0\|$.

Per esprimere le relazioni (2.60) e (2.61) in termini di componenti, si introduce una

base ortonormale che si indicherà, a seconda della convenienza del caso, con $\{\mathbf{i}, \mathbf{j}, \mathbf{k}\}$ o

con $\{\mathbf{e}_1, \mathbf{e}_2, \mathbf{e}_3\}$. Le componenti dei vettori posizione \mathbf{x} e \mathbf{x}^* rispetto a tale base saranno

indicate analogamente con le due notazioni alternative:

$$\mathbf{x} = x_1 \mathbf{i} + x_2 \mathbf{j} + x_3 \mathbf{k}$$

$\mathbf{x}^* = x_1^* \mathbf{i} + x_2^* \mathbf{j} + x_3^* \mathbf{k}$

$\mathbf{x} = x_1 \mathbf{e}_1 + x_2 \mathbf{e}_2 + x_3 \mathbf{e}_3$

$\mathbf{x}^* = x_1^* \mathbf{e}_1 + x_2^* \mathbf{e}_2 + x_3^* \mathbf{e}_3$

$$\mathbf{x} = \begin{bmatrix} x_1 \\ x_2 \\ x_3 \end{bmatrix}$$

$$\mathbf{x}^* = \begin{bmatrix} x_1^* \\ x_2^* \\ x_3^* \end{bmatrix}$$

x_1

x_2

x_3

$$x_1^*$$

$$x_2^*$$

x_3^*

x_1

x_2

x_3

$$x_1^*$$

$$x_2^*$$

x_3^*

x_1
 x_2
 x_3
37775
(2.62)

La corrispondenza che definisce la deformazione del corpo è dunque esprimibile numericamente, rispetto a tale base, mediante la seguente funzione definita in \langle_3 ed a valori in \langle_3 : $\mathbb{R}^3 \rightarrow \mathbb{R}^3$:

$x = x(x, y, z)$
 $y = y(x, y, z)$
 $z = z(x, y, z)$
(2.63)

mentre il gradiente della deformazione r è espresso dalla matrice:

$r =$
2666666664
@x
@x
@x
@y
@x
@z
@y
@x
@y
@y
@z
@z
@x
@z
@y
@z
@z
3777777775
(2.64)

2.2.2 Deformazione di un intorno elementare

Se si studia la deformazione che avviene in un intorno di un punto x_0 di utilizzando

l'espressione che si ottiene dalla (2.61) trascurando l'infinitesimo di ordine superiore

$o(kx - x_0k)$, ovvero l'espressione linearizzata seguente:

$(x) = (x_0) + r(x_0) (x - x_0)$ (2.65)

si dice che si sta studiando la deformazione in un intorno elementare di x_0 , che si indicherà

con I_0 . Un tale intorno si trasforma mediante la deformazione (2.65) in un intorno

152 G. Alfano - Appunti di Scienza delle Costruzioni

I_0 di x_0 . Il gradiente $r(x_0)$ si indica spesso con $F(x_0)$ ed è noto come 'gradiente della deformazione'. Per brevità di notazione si ometterà quasi sempre nel seguito la

dipendenza da x_0 e si porrà:

$$F = F(x_0) = r(x_0) \quad (2.66)$$

Sostituendo la (2.66) nella (2.65), e quest'ultima a sua volta nella (2.60), si ottiene:

$$x = x_0 + F(x - x_0) \quad (2.67)$$

avendo posto $x_0 = (x_0)$.

Ω

Ω^*

χ

x_0

x^*_0

I_0

I_0^*

O

Figura 2.5: Deformazione di un intorno elementare.

Per assicurare l'invertibilità della trasformazione il determinante di F deve essere

non nullo. Inoltre per un motivo che sarà chiarito in seguito, si assume anche $\det F > 0$.

La relazione (2.67) è somma di una trasformazione costante, data dal termine x_0 ,

e di una lineare costituita dal termine $F(x - x_0)$. Una corrispondenza di tale tipo è

anche detta una 'trasformazione affine', o 'affinità'. Essa trasforma rette in

rette, piani in piani, e conserva le relazioni di parallelismo. Per mostrare ciò si consideri

una retta r_1 di equazione parametrica (figura 2.6):

$$x \in r_1 \quad x = x_1 + t h \quad t \in \mathbb{R} \quad (2.68)$$

che passa per il punto di posizione x_1 ed è parallela al vettore h .

Sostituendo l'espressione (2.68) di x nella (2.67) si ottiene per x l'espressione:

$$x \in r_1 \quad x = x_0 + F(x_1 + t h - x_0) = x_0 + F(x_1 - x_0) + Ft h = x_1 + t (Fh) \quad (2.69)$$

cioè nella retta r_1 la cui equazione parametrica è:

$$x \in r_1 \quad x = x_1 + t h \quad (2.70)$$

cioè una retta che passa per x_1 , trasformato di x_1 , ed è parallela al vettore $h = Fh$.

Una retta r_2 parallela a r_1 ha equazione parametrica:

$$x \in r_2 \quad x = x_2 + t h \quad t \in \mathbb{R} \quad (2.71)$$

G. Alfano - Meccanica del Continuo 153

x_1

r_1

h

x^*_1

h^*

r^*_1

r_2

x_2

h

r^*_2

h^*

x^*_2

O

Figura 2.6: Trasformazione di rette parallele in rette parallele.
 in quanto passerà per un generico punto x_2 ma deve essere ancora parallela a h . Analogamente

a quanto visto per r_1 , r_2 si trasforma in una retta r_2 di equazione parametrica:
 $x_2 \quad r_2() \quad x = x_2 + t h \quad (2.72)$

Pertanto r_2 è ancora parallela a r_1 e quindi si è conservato il parallelismo nella trasformazione.

Si può mostrare con procedimento analogo che quadriche si trasformano in quadriche

e che, in particolare, una sfera di l_0 si trasforma in un ellissoide.

Dilatazione lineare di una fibra elementare

Si definisce una 'fibra elementare' f un segmento che unisce due punti x_1 e x_2 di l_0 .

Indicato con $h = x_2 - x_1$ il vettore che unisce x_1 ad x_2 , la lunghezza l di f è data dal

modulo di h : $l = |h|$. La fibra f si trasforma mediante la (2.65) in una f data dal segmento f che unisce i due punti x_1 e x_2 di l_0 trasformati di x_1 e x_2 . Detto $h = x_2 - x_1$

il vettore che unisce x_1 ad x_2 la lunghezza l di f è data dal modulo di h : $l = |h|$.

Avendosi:

$$x_1 = x_0 + F(x_1 - x_0)$$

$$x_2 = x_0 + F(x_2 - x_0) \quad h = x_2 - x_1 = F(x_2 - x_1) = Fh \quad (2.73)$$

si ha che $l = |Fh|$.

Si definisce 'dilatazione lineare' della fibra f e si indica con μ il rapporto:

$$\mu =$$

$$|l - l|$$

$$l$$

$$(2.74)$$

Dalla (2.73) si ottiene:

$$\mu = |Fh| - |h|$$

$$|h|$$

$$= |Fh|$$

$$|h| - 1 = |Fh| \cdot |h|$$

$$|h|^2 - 1 = |Fh| \cdot |h|$$

$$|h|^2 - 1 \quad (2.75)$$

Poiché la (2.65) trasforma rette in rette, essa trasforma anche segmenti in segmenti.

154 G. Alfano - Appunti di Scienza delle Costruzioni

x_0

x^*_0

l_0

l_0^*

x_1

x_2

f

x^*_1

x^*_2

f^*

O

Figura 2.7: Dilatazione della fibra elementare.

Introducendo il versore $e = h/|h|$ la (2.75) fornisce:

$$\lambda = p F_t F_e \cdot e - 1 \quad (2.76)$$

In meccanica del continuo è molto utilizzato il tensore D definito da:

$$D =$$

1

2

$$(F_t F - I) \quad (2.77)$$

che prende il nome di 'tensore della deformazione di Green'. Avendosi dalla (2.77):

$$F_t F = 2D + I \quad (2.78)$$

sostituendo nella (2.76) si ricava:

$$\lambda = p(2D + I) e \cdot e - 1 = p2De \cdot e + I e \cdot e - 1 = p2De \cdot e + e \cdot e - 1 \quad (2.79)$$

Essendo poi $e \cdot e = k e k^2 = 1$ si ricava la seguente espressione per la dilatazione lineare:

$$\lambda = \lambda(e) = p1 + 2De \cdot e - 1 \quad (2.80)$$

Dalla (2.80) si riconosce che $\lambda(-e) = \lambda(e)$, ovvero la dilatazione lineare è funzione

pari dei coseni direttori di e . Pertanto tutte le fibre elementari parallele al versore e sono

caratterizzate dalla stessa dilatazione lineare, la cui espressione è data dalla (2.80), che

dipende solo dalla direzione della fibra.

Scorrimento tra due fibre elementari ortogonali

Si considerino due fibre elementari f_a e f_b di l_0 , ortogonali fra loro, parallele a due

vettori h_a e h_b , di versori $e_a = h_a/kh_a k$ e $e_b = h_b/kh_b k$ e si suppongano le fibre orientate secondo le direzioni di h_a e h_b . Si indichi con α_{ab} il minore tra gli angoli formati tra i due vettori h_a e h_b trasformati di h_a e h_b . Si ha dunque:

$$\cos \alpha_{ab} =$$

$$h_a \cdot h_b$$

$$kh_a k kh_b k$$

=

$$Fh_a \cdot Fh_b$$

$$kFh_a k kFh_b k$$

$$(2.81)$$

G. Alfano - Meccanica del Continuo 155

Essendo le due fibre ortogonali nella configurazione iniziale il minore degli angoli

formati da h_a e h_b è $\alpha_{ab} = \pi/2$.

Si definisce 'scorrimento' γ_{ab} fra le due fibre orientate f_a e f_b la diminuzione del minore degli angoli formati tra le fibre durante la deformazione. Si ha dunque:

$$\gamma_{ab} = -(\alpha_{ab} - \pi/2) =$$

$$\pi/2 - \alpha_{ab} \quad (2.82)$$

e quindi:

$$\sin \alpha_{ab} = \sin$$

$$\pi/2 - \alpha_{ab} = \cos \alpha_{ab} =$$

$$Fh_a \cdot Fh_b$$

$$kFh_a k kFh_b k$$

=

$$F_t Fh_a \cdot h_b$$

$$kFh_a k kFh_b k$$

=

$$\begin{aligned}
& (2D + I) h_a \cdot h_b \\
& kF_{h_a k} kF_{h_b k} \\
& = \\
& 2Dh_a \cdot h_b + h_a \cdot h_b \\
& kF_{h_a k} kF_{h_b k} \\
& = \\
& 2Dh_a \cdot h_b \\
& kF_{h_a k} kF_{h_b k} \\
& (2.83)
\end{aligned}$$

dove si è sfruttata l'ortogonalità tra h_a e h_b per cui $h_a \cdot h_b = 0$.

Ponendo $"_a = "(e_a)$ e $"_b = "(e_b)$ dalla (2.75) risulta:

$$kF_{h_a k} = (1 + "_a) kh_{a k} \quad kF_{h_b k} = (1 + "_b) kh_{b k} \quad (2.84)$$

Sostituendo nella (2.83) si ottiene:

$$\begin{aligned}
& \text{sen } ab = \\
& 2Dh_a \cdot h_b \\
& (1 + "_a) (1 + "_b) kh_{a k} kh_{b k} \\
& (2.85)
\end{aligned}$$

da cui, essendo $h_a/kh_{a k} = e_a$ e $h_b/kh_{b k} = e_b$, si ricava l'espressione finale:

$$\begin{aligned}
& \text{sen } ab = \\
& 2De_a \cdot e_b \\
& (1 + "_a) (1 + "_b) \\
& (2.86)
\end{aligned}$$

2.2.3 Dilatazione volumetrica

Detti V_o il volume di un intorno l_o di un punto $x_o \in \mathbb{R}^2$ e V_o' quello del suo trasformato

l_o mediante la (2.60), si definisce 'dilatazione volumetrica', o 'dilatazione cubica',

e si indica con μ , il limite:

$$\begin{aligned}
& \mu = \lim_{V_o' \rightarrow 0} \\
& \frac{V_o' - V_o}{V_o} \\
& (2.87)
\end{aligned}$$

Da un teorema di analisi è noto che:

$$V_o' = \int_{l_o} (\det F(x)) dx = (\det F)_m V_o \quad (2.88)$$

dove con $(\det F)_m$ si è indicato il valor medio di $\det F$ su l_o . Dalle (2.147)-(2.88) si ricava:

$$\begin{aligned}
& \frac{V_o' - V_o}{V_o} = \\
& \frac{(\det F)_m V_o - V_o}{V_o} \\
& = (\det F)_m - 1 \quad (2.89)
\end{aligned}$$

Per la continuità ipotizzata di F il suo valore medio su l_o tende a quello puntuale $F(x_o) = F$ al tendere a zero del volume di l_o , cioè di V_o , per cui si ottiene al limite:

$$\mu = \det F - 1 \quad (2.90)$$

Dalla (2.88) si chiarisce che affinché il volume V_o' di l_o sia positivo per ogni intorno

l_o di ogni punto $x_o \in \mathbb{R}^2$, come fisicamente è naturale assumere, deve risultare $\det F(x) > 0 \quad \forall x \in \mathbb{R}^2$.

2.2.4 Spostamenti

Lo spostamento del generico punto materiale dalla sua posizione x in x' in quella x in

è dato da (figura 2.8):

$$u(x) = x' - x = (x) - x \quad (2.91)$$

Derivando tale relazione si ottiene:

$$ru(x) = r(x) - I \quad (2.92)$$

Si assuma un sistema di riferimento con origine in un arbitrario punto O ed una base ortonormale levogira. A seconda dei casi si indicheranno talvolta con e_1, e_2, e_3 i

versori della base e con 1, 2 e 3 e i relativi assi orientati con origine in O , altre volte

con i, j, k i versori della base e con x, y e z gli assi. La prima scelta consente di utilizzare la notazione indiciale per cui ad esempio le componenti del vettore u si indicano

con u_i , con $i = 1, 2, 3$, mentre con la seconda scelta tali componenti si indicano con u_x, u_y, u_z . Ovviamente la scelta dell'una o dell'altra notazione è assolutamente

ininfluente sui risultati.

$$i = e_1$$

$$j = e_2$$

$$k = e_3$$

$$(\text{asse}) 2 = y$$

$$(\text{asse}) 1 = x$$

$$(\text{asse}) 3 = z$$

O

Ω

Ω^*

$$x^* = x_1 e_1 + x_2 e_2 + x_3 e_3 = * * *$$

$$= x^* i + y^* j + z^* k$$

$$x = x_1 e_1 + x_2 e_2 + x_3 e_3 =$$

$$= x i + y j + z k$$

$u(x)$

Figura 2.8: Spostamento e sistema di riferimento.

Rispetto alla base $\{e_1, e_2, e_3\} = \{i, j, k\}$ il gradiente ru è rappresentato dalla seguente matrice, che per brevità di notazione verrà indicata anch'essa con ru :

$ru =$

2666666664

@ u_x

@ x

@ u_x

@ y

@ u_x

@ z

@ u_y

@ x

@ u_y

@ y

@ u_y

@ z

@ u_z

@ x

@u_z
@y
@u_z
@z
377777775

=
266666664

@u₁
@x₁
@u₁
@x₂
@u₁
@x₃
@u₂
@x₁
@u₂
@x₂
@u₂
@x₃
@u₃
@x₁
@u₃
@x₂
@u₃
@x₃

377777775
= 26664

u_{1,1} u_{1,2} u_{1,3}
u_{2,1} u_{2,2} u_{2,3}
u_{3,1} u_{3,2} u_{3,3}

37775
(2.93)

In notazione indiciale si scriverà sinteticamente $(ru)_{ij} = u_{i,j}$.

G. Alfano - Meccanica del Continuo 157

2.2.5 Spostamenti dell'intorno elementare

Nello stesso spirito con cui si assume lecito utilizzare l'espressione linearizzata (2.65)

per la trasformazione di un intorno elementare I_0 , gli spostamenti in I_0 possono essere

linearizzati in modo analogo come segue:

$$u(x) = u(x_0) + ru(x_0) (x - x_0) \quad (2.94)$$

Riscrivendo la (2.92) in x_0 in termini di $F(x_0) = F$ si ottiene:

$$F = I + ru(x_0) = I + ru \quad (2.95)$$

dove nell'ultimo termine si è sottinteso che ru va calcolato in x_0 . Il tensore della

deformazione di Green si riscrive allora in funzione di ru come segue:

$$D =$$

1

2

$$(F_t F - I) =$$

1

$$[(1 + ru)_t (1 + ru) - 1] \quad (2.96)$$

ovvero:

$$D = \sum_{t=1}^2 (ru + ru_t) + 2ruru_t \quad (2.97)$$

in cui il primo termine è lineare in ru mentre il secondo è funzione quadratica di ru . Rispetto alla base adottata ed usando la notazione indiciale si ha che

$$[(ru)_t]_{ik} =$$

$(ru)_{ki} = u_{k,i}$ ed inoltre il prodotto $(ru)_t(ru)$ si traduce nel 'prodotto righe per colonne':

$$[(ru)_t(ru)]_{ij} = [(ru)_t]_{ik}(ru)_{kj} = u_{k,i} u_{k,j} \quad (2.98)$$

dove si è utilizzata la convenzione dell'indice ripetuto¹⁰. Pertanto risulta:

$$D_{ij} = \sum_{k=1}^2 (u_{i,j} + u_{j,i}) + \sum_{k=1}^2 u_{k,i} u_{k,j} \quad (2.100)$$

Esplicitando i termini della (2.100) si ha:

$$i = 1$$

$$j = 1 \quad D_{11} = u_{1,1} +$$

$$1$$

$$2$$

$$(u_{21}$$

$$+ u_{1,2} + u_{22}$$

$$+ u_{1,3} + u_{23}$$

$$+ u_{1,1}) =$$

$$=$$

$$u_{1,1} +$$

$$u_{1,2} +$$

$$u_{1,3} +$$

$$u_{21} +$$

$$2(u_{22} +$$

$$u_{23} +$$

$$u_{1,1}) =$$

$$u_{1,1} +$$

$$2(u_{22} +$$

$$u_{23} +$$

$$u_{1,1}) \quad (2.101)$$

¹⁰Secondo la convenzione dell'indice ripetuto va sempre svolta la sommatoria per l'indice k che varia

nel suo intervallo di validità, in questo caso tra 1 e 3, pur omettendo per brevità il simbolo della sommatoria. Nel caso in esame non utilizzando tale convenzione andrebbe scritto

esplicitamente:

$$[(ru)_t(ru)]_{ij} =$$

$$\sum_{k=1}^3 (ru)_{ki} (ru)_{kj} =$$

$$[(ru)_t]_{ik} (ru)_{kj} =$$

$$\sum_{k=1}^3 (ru)_{ki} (ru)_{kj} =$$

$$u_{k,i} u_{k,j} = u_{1,i} u_{1,j} + u_{2,i} u_{2,j} + u_{3,i} u_{3,j} \quad (2.99)$$

L'indice ripetuto è anche detto 'muto' in quanto, facendo riferimento ad esempio all'espressione (2.99),

k può essere sostituito da un qualsiasi altro indice diverso da i e j, che sono stati già utilizzati.

158 G. Alfano - Appunti di Scienza delle Costruzioni

$$i = 2$$

$$j = 235 ! D_{22} = u_{2,2} +$$

$$1$$

$$2$$

$$(u_{21}$$

$$,2 + u_{22}$$

$$,2 + u_{23}$$

$$,2) =$$

$$=$$

$$@u_y$$

$$@y$$

$$+$$

$$1$$

$$2 "@u_x$$

$$@y 2$$

$$+ @u_y$$

$$@y 2$$

$$+ @u_z$$

$$@y 2\#$$

$$(2.102)$$

$$i = 3$$

$$j = 335 ! D_{33} = u_{3,3} +$$

$$1$$

$$2$$

$$(u_{31}$$

$$,3 + u_{32}$$

$$,3 + u_{33}$$

$$,3) =$$

$$=$$

$$@u_z$$

$$@z$$

$$+$$

$$1$$

$$2 "@u_x$$

$$@z 2$$

$$+ @u_y$$

$$@z 2$$

$$+ @u_z$$

$$@z 2\#$$

$$(2.103)$$

$$i = 1$$

$$j = 235 ! D_{12} =$$

$$1$$

$$2$$

$$(u_{1,2} + u_{2,1}) +$$

$$1$$

$$2$$

$$(u_{1,1}u_{1,2} + u_{2,1}u_{2,2} + u_{3,1}u_{3,2}) =$$

=

1

2 @u_x

@y

+

@u_y

@x +

1

2 @u_x

@x

@u_x

@y

+

@u_y

@x

@u_y

@y

+

@u_z

@x

@u_z

@y (2.104)

i = 2

j = 335 ! D₂₃ =

1

2

(u_{2,3} + u_{3,2}) +

1

2

$$(u_{1,2}u_{1,3} + u_{2,2}u_{2,3} + u_{3,2}u_{3,3}) =$$

=

1

2 @u_y

@z

+

@u_z

@y +

1

2 @u_x

@y

@u_x

@z

+

@u_y

@y

@u_y

@z

+

@u_z

@y

@u_z

@z (2.105)

i = 3

j = 135 ! D31 =

1

2

(u3,1 + u1,3) +

1

2

(u1,3u1,1 + u2,3u2,1 + u3,3u3,1) =

=

1

2 @uz

@x

+

@ux

@z +

1

2 @ux

@z

@ux

@x

+

@uy

@z

@uy

@x

+

@uz

@z

@uz

@x (2.106)

G. Alfano - Meccanica del Continuo 159

ed inoltre per la simmetria₁₁ di D:

D₂₁ = D₁₂ D₃₂ = D₂₃ D₁₃ = D₃₁ (2.108)

2.2.6 Ipotesi di piccoli spostamenti

Si dice valida l'ipotesi di piccoli spostamenti se dati due punti A e B di , detta l_{AB} la

lunghezza di una qualsiasi curva che li unisca e che sia tutta contenuta in , ed indicati

con u_A e u_B gli spostamenti di tali punti, risulta:

k_{UB} - u_{AK}

l_{AB}

<< 1 (2.109)

Prendendo A e B sufficientemente vicini da poter utilizzare la (2.94), si ha:

u_B - u_A = ru(x_A)(x_B - x_A) (2.110)

Se poi si pone:

x_A = (x, y, z) x_B = (x + x, y, z) (2.111)

si ha l_{AB} = x ed inoltre

u_B - u_A = @u_x

@x

x

∂u_y

∂x

x

∂u_z

∂x

x_t

(2.112)

per cui si ha:

$k_{UB} - u_{AK}$

l_{AB}

$= k_{UB} - u_{AK}$

x

$= s \partial u_x$

∂x^2

+ ∂u_y

∂x^2

+ ∂u_z

∂x^2

$\ll 1$ (2.113)

che implica

∂u_x

$\partial x \ll 1$

∂u_y

$\partial x \ll 1$

∂u_z

$\partial x \ll 1$ (2.114)

Ragionando in modo analogo si mostra che se vale l'ipotesi di piccoli spostamenti allora

anche le altre componenti del gradiente del campo di spostamenti devono essere piccole,

ovvero deve aversi:

∂u_i

$\partial x_j \ll 1 \quad \forall i, j = 1, 2, 3$ (2.115)

D è simmetrico in quanto metà della somma del tensore simmetrico $F_t F$ e del tensore identico. La

simmetria di $F_t F$ si ricava dalla relazione:

$(F_t F) a \cdot b = F_t F a \cdot b = F a \cdot F b = a \cdot F_t F b = a \cdot (F_t F) b \quad \forall a, b$ (2.107)

160 G. Alfano - Appunti di Scienza delle Costruzioni

2.2.7 Tensore della deformazione infinitesima

Nell'ipotesi di piccoli spostamenti il termine quadratico diventa trascurabile rispetto a

quello lineare nell'espressione del tensore della deformazione di Green.

Pertanto si può

porre:

$D = E$ (2.116)

dove il tensore simmetrico E è detto 'tensore della deformazione infinitesima' ed è dato

da:

$E = \text{sym} \nabla u =$

1

2

$$(r_u + r_{u_t}) \quad (2.117)$$

cioè rappresenta la parte simmetrica¹² del gradiente del campo di spostamenti. Sempre nell'ipotesi di piccoli spostamenti si semplificano le espressioni della dilatazione

lineare e dello scorrimento per le fibre elementari. Infatti dalla (2.80) si ottiene:

$$(1 + \epsilon)^2 = 1 + 2Ee \cdot e \quad (2.119)$$

Essendo $2Ee \cdot e \ll 1$, anche nel primo termine risulta $\epsilon \ll 1$. Elevando allora al

quadrato ambo i membri:

$$1 + 2\epsilon + \epsilon^2 = 1 + 2Ee \cdot e, \quad (2.120)$$

ed osservando che il termine quadratico ϵ^2 è trascurabile rispetto a quello lineare 2ϵ , si

può porre:

$$\epsilon(e) = Ee \cdot e \quad (2.121)$$

Analogamente, per l'espressione (2.86) nell'ipotesi di piccoli spostamenti si ricava

che $1 + \epsilon_a = 1 + \epsilon_b = 1$ da cui:

$$\text{sen } \epsilon_{ab} = 2Ee_a \cdot e_b \quad (2.122)$$

Essendo il primo termine molto piccolo risulta $\text{sen } \epsilon_{ab} = \epsilon_{ab}$ e dunque si può porre:

$$\epsilon_{ab} = 2Ee_a \cdot e_b \quad (2.123)$$

Rispetto alla base $\{i, j, k\} = \{e_1, e_2, e_3\}$ il tensore E è rappresentabile attraverso

una matrice la cui componente E_{ij} è data da¹³:

$$E_{ij} = Ee_j \cdot e_i \quad (2.129)$$

¹²Un tensore A è decomponibile in un unico modo nella somma della sua parte simmetrica $\text{sym}A$ e

della sua parte emisimmetrica $\text{emi}A$:

$$A = \text{sym}A + \text{emi}A \quad \text{con: } \text{sym}A =$$

$$\frac{1}{2}$$

$$\frac{2}{2}$$

$$(A + A^t) \quad \text{emi}A =$$

$$\frac{1}{2}$$

$$\frac{2}{2}$$

$$(A - A^t) \quad (2.118)$$

¹³Si ricorda che la componente A_{ij} di un tensore A rispetto ad una base $\{e_1, e_2, e_3\}$ è data da:

$$A_{ij} = Ae_j \cdot e_i \quad (2.124)$$

Infatti un tensore A è un operatore lineare che al generico vettore u lega il vettore $v = Au$.

Detta v_k e

u_j le componenti di v e u, con $k, j = 1, 2, 3$, si ha:

$$v = v_k e_k = Au = A(u_j e_j) = u_j (Ae_j) \quad (2.125)$$

G. Alfano - Meccanica del Continuo 161

Pertanto si ha:

$$i = 1 \quad j = 1 \quad E_{11} = Ee_1 \cdot e_1 = \epsilon(e_1) = \epsilon_x$$

$$i = 2 \quad j = 2 \quad E_{22} = Ee_2 \cdot e_2 = \epsilon(e_2) = \epsilon_y$$

$$i = 3 \quad j = 3 \quad E_{33} = Ee_3 \cdot e_3 = \epsilon(e_3) = \epsilon_z$$

$$i = 1 \quad j = 2 \quad E_{12} = Ee_1 \cdot e_2 =$$

$$\frac{1}{2}$$

$$\frac{2}{2}$$

$$\frac{xy}{2}$$

$$i = 1 \quad j = 3 \quad E_{13} = Ee_1 \cdot e_3 =$$

$$\frac{1}{2}$$

$$\frac{2}{2}$$

$$\frac{xz}{2}$$

$$i = 2 \quad j = 3 \quad E_{23} = Ee_2 \cdot e_3 =$$

1

2

yz

(2.130)

ed inoltre per la simmetria di E:

$$E_{21} = E_{12} \quad E_{31} = E_{13} \quad E_{32} = E_{23} \quad (2.131)$$

Indicando per semplicità ancora con E la matrice associata al tensore della deformazione

infinitesima, detta anche 'matrice della deformazione', si ha dunque:

$$E = \begin{pmatrix} 2 & 6 & 6 \\ 6 & 6 & 4 \\ 6 & 4 & 4 \end{pmatrix}$$

"x

1

2xy

1

2xz

1

2xy "y

1

2yz

1

2xz

1

2yz "z

$$\begin{pmatrix} 3 & 7 & 7 \\ 7 & 7 & 5 \\ 7 & 5 & 5 \end{pmatrix}$$

(2.132)

I termini della diagonale rappresentano le dilatazioni delle fibre parallele agli assi del

riferimento mentre i termini ij fuori diagonale rappresentano gli scorrimenti tra le fibre

parallele agli assi i e j.

Dalle (2.117) e (2.130) si ottengono le seguenti espressioni delle deformazioni e

Moltiplicando scalarmente ambo i membri per il versore e_i si ottiene:

$$v_k e_k \cdot e_i = u_j (A_{ej} \cdot e_i) \quad (2.126)$$

Essendo la base ortonormale si ha che $e_k \cdot e_i = \delta_{ik}$, dove il cosiddetto 'simbolo di Kronecker' δ_{ik} è definito da:

$$\delta_{ik} = \begin{cases} 1 & \text{se } i = k \\ 0 & \text{se } i \neq k \end{cases}$$

$$1 \text{ se } i = k$$

$$0 \text{ se } i \neq k$$

(2.127)

cioè rappresenta la componente δ_{ik} della matrice identità. E' facile allora verificare che $\delta_{ik} v_k = v_i$ per

cui si ottiene:

$$v_i = (A_{ej} \cdot e_i) u_j = A_{ij} u_j \quad (2.128)$$

dove appunto A_{ij} rappresenta la componente ij della matrice associata al tensore A rispetto alla base scelta.

Nel seguito per brevità di notazione si utilizzerà la stessa notazione A per indicare sia il tensore che la

matrice associata al tensore. E' chiaro da quanto detto che la matrice dipende dalla base scelta.

162 G. Alfano - Appunti di Scienza delle Costruzioni

degli scorrimenti caratterizzanti le fibre parallele agli assi del riferimento:

$$u_x =$$

$$u_x =$$

$$u_x =$$

$$u_y =$$

$$u_y =$$

@y

"z =

@uz

@z

xy =

@ux

@y

+

@uy

@x

yz =

@uy

@z

+

@uz

@y

zx =

@uz

@x

+

@ux

@z

(2.133)

Per determinare l'espressione della dilatazione volumetrica nell'ipotesi di piccoli

spostamenti conviene scrivere la (2.95) in componenti e sostituire nella (2.90):

$= \det F - 1 = \det(I + ru) - 1 = \det$

2666666664

1 +

@ux

@x

@ux

@y

@ux

@z

@uy

@x

1 +

@uy

@y

@uy

@z

@uz

@x

@uz

@y

1 +

@uz

@z

377777775

-1 (2.134)

Sviluppando il determinante si ottiene:

$$\begin{aligned}
&= \\
&\frac{\partial u_x}{\partial x} \\
&+ \\
&\frac{\partial u_y}{\partial y} \\
&+ \\
&\frac{\partial u_z}{\partial z} \\
&= \\
&\frac{\partial u_x}{\partial x} \\
&+ \\
&\frac{\partial u_y}{\partial y} \\
&+ \\
&\frac{\partial u_z}{\partial z} \\
&= \text{tr} E \quad (2.135)
\end{aligned}$$

essendo il termine almeno quadratico nelle componenti di u . Tenendo conto anche

delle (2.133) si può quindi porre:

$$= \text{tr} E = \frac{\partial u_x}{\partial x} + \frac{\partial u_y}{\partial y} + \frac{\partial u_z}{\partial z} \quad (2.136)$$

2.2.8 Sintesi dei risultati per il caso di piccoli spostamenti

In questa sezione si sintetizzano i risultati ottenuti nel caso di piccoli spostamenti fornendone

alcune semplici interpretazioni. Ciò per consentire, a chi non abbia studiato le relative dimostrazioni, di conoscere e poter applicare tali risultati capendone nelle

grandi linee il significato fisico. A tale scopo si ripetono sia l'enunciato dell'ipotesi di

piccoli spostamenti sia alcune altre definizioni.

Si dice valida l'ipotesi di piccoli spostamenti se, dati due punti A e B di Ω , detta l_{AB} la lunghezza di una qualsiasi curva che li unisca e che sia tutta contenuta in Ω , ed

indicati con u_A e u_B gli spostamenti di tali punti, risulta:

$$\frac{|u_B - u_A|}{l_{AB}}$$

$$\ll 1 \quad (2.137)$$

Nello studio della deformazione in un punto $x_0 \in \Omega$, si introduce il concetto di 'intorno elementare' del punto. Tutti i risultati che si riportano di seguito si ottengono

facendo riferimento alla deformazione delle fibre dell'intorno elementare e facendo

tendere a zero il suo volume.

G. Alfano - Meccanica del Continuo 163

Per tale motivo tutte le grandezze che identificano la deformazione dell'intorno del

punto, ovvero la dilatazione lineare di una fibra, lo scorrimento tra due fibre e la dilatazione

volumetrica, vanno intesi come valori puntuali.

Nella figura 2.5 si illustra la deformazione dell'intorno elementare l_0 di un punto x_0 , che trasforma tale intorno nell'intorno l_0 del punto x_0 trasformato di x_0 . Si definisce una 'fibra' dell'intorno elementare un segmento che unisce due punti dell'intorno (figura 2.9). Se si da un orientamento sulla fibra, la fibra si dice orientata ed è definita dal vettore che unisce il primo con il secondo punto.

χ
 \mathbf{x}
 $o \mathbf{x}^*$
 o
 l_0
 l_0
 $*$
 O
 A
 B
 A
 B^*
 $*$

Figura 2.9: Fibra dell'intorno elementare: nell'esempio in figura la fibra che unisce i punti A e B nella configurazione indeformata si trasforma, in quella deformata, nella fibra che unisce i trasformati A e B dei punti A e B. Si dimostra che dopo la deformazione, una fibra dell'intorno elementare l_0 , si trasforma un un altro segmento (rettilineo), ovvero una fibra dell'intorno l_0 . Si definisce 'dilatazione lineare' di una fibra f di lunghezza iniziale l e lunghezza finale dopo la deformazione pari a l', e si indica con λ , il rapporto:

$$\lambda = \frac{l'}{l}$$

(2.138)

Nell'ipotesi di piccoli spostamenti le dilatazioni lineari delle fibre nelle direzioni parallele agli assi x, y e z sono chiamate rispettivamente λ_x , λ_y e λ_z e sono legate al campo degli spostamenti dalle relazioni:

$$\lambda_x = \frac{\partial u_x}{\partial x}$$

$$\lambda_y = \frac{\partial u_y}{\partial y}$$

$$\lambda_z = \frac{\partial u_z}{\partial z}$$

@z
(2.139)

Tali relazioni possono essere ricordate pensando al 'cubetto elementare di figura

2.10.a, di volta in volta, come un concio di una trave con asse in direzione x, y e z.

In particolare, nel terzo caso la relazione che fornisce la deformazione assiale del concio

sarebbe $\epsilon_a = w_0(z) = dw/dz$. Essendo nella notazione qui utilizzata $w = u_z$ ed $\epsilon_a = \epsilon_z$, e cambiando i simboli della derivata totale in quelli di derivata parziale, si

ottiene $\epsilon_z = \partial u_z / \partial z$, ovvero la terza delle relazioni (2.139).

Nelle figure 2.10.b-2.10.d sono riportate le configurazioni deformate del cubetto nei

casì di sola dilatazione lineare in direzione x, in direzione y ed in direzione z, a meno

di spostamenti rigidi aggiuntivi.

164 G. Alfano - Appunti di Scienza delle Costruzioni

$e_3 = k$

$e_2 = j$

$e_1 = i$

(a)

(c) (d)

(b)

Figura 2.10: Deformazione del cubetto elementare: (a) cubetto indeformato; (b) sola

dilatazione ϵ_x ; (c) sola dilatazione ϵ_y ; (d) sola dilatazione ϵ_z .

Date due fibre orientate f_a e f_b , ortogonali fra loro, si definisce 'scorrimento' γ_{ab} la diminuzione del minore degli angoli formati tra le fibre durante la deformazione, che

inizialmente è uguale $\pi/2$. Si ha dunque (figura 2.11):

$$\gamma_{ab} = -(\alpha_{ab} - \alpha_{ab}^0) =$$

$$2 - \alpha_{ab} \quad (2.140)$$

Gli scorrimenti tra le fibre parallele e concordi agli assi x, y e z sono indicati con γ_{xy} ,

γ_{yz} e γ_{xz} . Dalla definizione di scorrimento si ottiene anche che $\gamma_{yx} = \gamma_{xy}$, $\gamma_{zy} = \gamma_{yz}$ e $\gamma_{zx} = \gamma_{xz}$.

Nell'ipotesi di piccoli spostamenti gli scorrimenti γ_{xy} , γ_{yz} e γ_{xz} sono legati al campo di spostamenti dalle relazioni:

8>

$$\gamma_{xy} = \gamma_{yx} = \partial u_x / \partial y + \partial u_y / \partial x$$

$$\gamma_{yz} = \gamma_{zy} = \partial u_y / \partial z + \partial u_z / \partial y$$

$$\gamma_{xz} = \gamma_{zx} = \partial u_x / \partial z + \partial u_z / \partial x$$

+ $\partial u_z / \partial x$

+ $\partial u_x / \partial z$

$$\gamma_{yz} = \gamma_{zy} = \partial u_y / \partial z + \partial u_z / \partial y$$

$$\gamma_{xz} = \gamma_{zx} = \partial u_x / \partial z + \partial u_z / \partial x$$

$$\gamma_{xy} = \gamma_{yx} = \partial u_x / \partial y + \partial u_y / \partial x$$

$$\gamma_{yz} = \gamma_{zy} = \partial u_y / \partial z + \partial u_z / \partial y$$

$$\gamma_{xz} = \gamma_{zx} = \partial u_x / \partial z + \partial u_z / \partial x$$

+ $\partial u_z / \partial x$

$@u_z$
 $@y$
 $xz = zx =$
 $@u_x$
 $@z$
 $+$
 $@u_z$
 $@x$
 (2.141)

Nella figura 2.12 sono riportate la configurazioni deformate del cubetto elementare nei casi in cui solo uno degli scorrimenti delle relazioni (2.141) è non nullo mentre sono

G. Alfano - Meccanica del Continuo 165

f_b
 π
 2
 f_a
 α
 $f_b^* \cdot \epsilon_{xy}$
 f_a^*

Figura 2.11: Definizione di scorrimento ϵ_{ab} .

nulle le dilatazioni ϵ_x , ϵ_y e ϵ_z , sempre nel caso di piccoli spostamenti ed a meno di spostamenti rigidi aggiuntivi.

In figura 2.13 si dà invece un'interpretazione geometrica della prima delle (2.141).

Per le altre due l'interpretazione è analoga.

$e_3 = k$
 $e_2 = j$
 $e_1 = i$

(a)
 (c) (d)
 (b)

Figura 2.12: Deformazione del cubetto elementare in presenza di solo scorrimento:

(a) cubetto indeformato; (b) solo scorrimento ϵ_{xy} ; (c) solo scorrimento ϵ_{xz} ; (d) solo scorrimento ϵ_{yz} .

166 G. Alfano - Appunti di Scienza delle Costruzioni

Figura 2.13: Interpretazione geometrica di ϵ_{xy} nell'ipotesi di piccoli spostamenti. Il tensore della deformazione infinitesima E è il tensore simmetrico la cui matrice

associata ad una base ortonormale $\{i, j, k\}$ è data da:

$$E = \begin{bmatrix} \epsilon_x & 0 & 0 \\ 0 & \epsilon_y & 0 \\ 0 & 0 & \epsilon_z \\ 0 & \epsilon_{xy} & 0 \\ 0 & 0 & \epsilon_{yz} \\ 0 & \epsilon_{xz} & 0 \end{bmatrix} \quad (2.142)$$

" ϵ_x

1
2 ϵ_{xy}

1
2 ϵ_{xz}

2 ϵ_{xy} " ϵ_y

1
2 ϵ_{yz}

1
2 ϵ_{xz}

2 ϵ_{yz} " ϵ_z

$$37775$$

(2.142)

Si dimostrano i due risultati:

- Assegnata una fibra dell'intorno elementare di direzione individuata dal versore

a , la dilatazione lineare di tale fibra è data da:

$$\epsilon_a = E_{aa} \cdot a \quad (2.143)$$

- Assegnate due fibre orientate dell'intorno elementare di direzioni e versi individuati

dai versori a e b , lo scorrimento tra tali fibre è dato da:

$$\epsilon_{ab} = 2E_{ab} \cdot b = 2E_{ba} \cdot a \quad (2.144)$$

È utile osservare che per una fibra parallela all'asse x , la cui direzione è dunque

individuata dal versore $i = e_1$, la (2.143) fornisce effettivamente la dilatazione lineare

" ϵ_x . Si ha infatti:

$$Ee_1 \cdot e_1 = E_{11} = \epsilon_x \quad (2.145)$$

Analogamente si verifica che $Ee_2 \cdot e_2 = \epsilon_y$ e che $Ee_3 \cdot e_3 = \epsilon_z$. Quanto agli scorrimenti,

date due fibre parallele e concordi rispettivamente agli assi x ed y , e quindi ai versori e_1

e e_2 , si ha dalla (2.144):

$$Ee_2 \cdot e_1 = E_{12} =$$

1

2

$$\epsilon_{xy} \quad (2.146)$$

ed analogamente si verifica che $Ee_3 \cdot e_2 = E_{23} = \epsilon_{yz}/2$ e $Ee_3 \cdot e_1 = E_{13} = \epsilon_{xz}/2$.

G. Alfano - Meccanica del Continuo 167

Detti V_0 il volume di un intorno I_0 di un punto x_0 e V quello del suo trasformato

I_0 dopo la deformazione, si definisce 'dilatazione volumetrica', o 'dilatazione cubica', e si indica con ϵ , il limite:

$$\epsilon = \lim_{V \rightarrow V_0} \frac{V - V_0}{V_0}$$

$V_0 \neq 0$

$$V_0 - V_0$$

V_0

(2.147)

Dalla figura 2.12 si intuisce che in presenza solo di scorrimenti fra le fibre parallele

agli assi si ha una variazione di volume nulla del cubetto. In particolare, si dimostra che

nell'ipotesi di piccoli spostamenti si ha:

$$= \epsilon_x + \epsilon_y + \epsilon_z \quad (2.148)$$

2.2.9 Deformazioni principali e direzioni principali

Si definiscono 'deformazioni principali' gli autovalori del tensore della deformazione

infinitesima E e 'direzioni principali' quelle degli autovettori di E . Come è noto dall'algebra

un autovalore ϵ_p di E ed il corrispondente autovettore e_p sono soluzioni del seguente problema:

$$E e_p = \epsilon_p e_p \quad (E - \epsilon_p I) e_p = 0 \quad (2.149)$$

che ammette soluzioni diverse da quella banale se e solo se

$$\det(E - \epsilon_p I) = 0$$

$$\begin{vmatrix} \epsilon_x - \epsilon_p & & \\ & \epsilon_y - \epsilon_p & \\ & & \epsilon_z - \epsilon_p \end{vmatrix} = 0$$

$$\begin{vmatrix} 1 & & \\ & 1 & \\ & & 1 \end{vmatrix}$$

$$2\epsilon_{xy}$$

$$1$$

$$2\epsilon_{xz}$$

$$1$$

$$2\epsilon_{xy} \epsilon_y - \epsilon_p$$

$$1$$

$$2\epsilon_{yz}$$

$$1$$

$$2\epsilon_{xz}$$

$$1$$

$$2\epsilon_{yz} \epsilon_z - \epsilon_p$$

$$3\epsilon_{xyz} = 0$$

$$0$$

$$($$

$$2.150)$$

$$)$$

cioè se e solo se ϵ_p è soluzione della cosiddetta 'equazione caratteristica':

$$-\epsilon_p^3$$

$$+ I_E \epsilon_p^2$$

$$+ II_E \epsilon_p + III_E = 0 \quad (2.151)$$

$$+ III_E = 0$$

dove I_E , II_E e III_E rappresentano degli invarianti¹⁴ rispettivamente lineare, quadratico

e cubico del tensore della deformazione e sono dati da:

$$I_E = \text{tr} E = \epsilon_x + \epsilon_y + \epsilon_z$$

$$II_E =$$

$$1$$

$$2$$

$$[\text{tr}(E^2) - (\text{tr} E)^2]$$

$$III_E = \det E$$

$$(2.152)$$

$$)$$

Le fibre elementari parallele ad una direzione principale sono caratterizzate da scorrimento

nullo con qualsiasi altra fibra ad essa ortogonale. Infatti se il versore e_{pa}

definisce

14 Un invariante di un tensore è un'espressione scalare funzione delle componenti della matrice associata al tensore che però è costante rispetto ad un qualsiasi cambiamento della base rispetto a cui la matrice si determina. In altre parole, se cambia la base rispetto a cui si rappresenta la matrice associata al tensore, cambiano le componenti della matrice ma non variano, ad esempio, la traccia ed il determinante della matrice stessa, che sono dunque funzioni scalari del tensore e non della matrice ad essa associata.

168 G. Alfano - Appunti di Scienza delle Costruzioni

una direzione principale di autovalore corrispondente σ_{pa} , dato un qualsiasi versore e_b

ad esso ortogonale si ha:

$$\sigma_{ab} = 2E e_{pa} \cdot e_b = 2 \sigma_{pa} e_{pa} \cdot e_b = 0 \quad (2.153)$$

per l'ortogonalità tra e_{pa} e e_b .

Essendo E simmetrico i suoi autovalori sono tutti reali. Calcolati gli autovalori risolvendo

la (2.151) le corrispondenti direzioni principali si ottengono sostituendo nella (2.149) gli autovalori, uno per volta. Se essi sono tutti distinti, allora esiste una sola

terna di direzioni principali individuata dai versori e_{pi} , $i = 1, 2, 3$. Se due autovalori sono

coincidenti, ovvero se l'equazione caratteristica ammette una radice di molteplicità 2,

allora esiste un piano contenente tutte direzioni principali, la cui direzione ortogonale

è anch'essa principale. Se gli autovalori sono tutti coincidenti allora tutte le direzioni

sono principali.

In ogni caso esiste almeno una base ortonormale di direzioni principali $\{e_{pi}\}$, $i =$

1, 2, 3. Rispetto a tale base la matrice associata al tensore della deformazione infinitesima

è diagonale e contiene quali termini della diagonale principale le deformazioni principali. Rispetto alla base $\{e_{pi}\}$ la matrice associata ad E diventa quindi:

$$E = \begin{pmatrix} \sigma_{p1} & 0 & 0 \\ 0 & \sigma_{p2} & 0 \\ 0 & 0 & \sigma_{p3} \end{pmatrix} \quad (2.154)$$

$$\sigma_{p1} \quad 0 \quad 0$$

$$0 \quad \sigma_{p2} \quad 0$$

$$0 \quad 0 \quad \sigma_{p3}$$

$$\begin{pmatrix} \sigma_{p1} & 0 & 0 \\ 0 & \sigma_{p2} & 0 \\ 0 & 0 & \sigma_{p3} \end{pmatrix}$$

$$(2.154)$$

Di particolare interesse risultano i casi in cui una o due deformazioni principali sono

nulle. Nel primo caso si parla di 'stato di deformazione piano' mentre nel secondo si

parla di 'stato di deformazione monoassiale'. Calcolando il determinante utilizzando la

rappresentazione diagonale (2.154)

$$\det E = \sigma_{p1} \sigma_{p2} \sigma_{p3} \quad (2.155)$$

si vede che lo stato di deformazione è piano o monoassiale se e solo se il determinante

di E è nullo.

2.3 Statica del modello continuo tridimensionale

In questa parte si affronterà lo studio dell'equilibrio di un corpo continuo tridimensionale,

la cui cinematica è stato oggetto della sezione precedente. Si consideri allora un

corpo continuo B, la cui configurazione in un certo istante è definita dal dominio ,

soggetto ad un sistema di forze esterne F costituito da un campo vettoriale b di forze

di volume definito in ed un campo vettoriale p di forze superficiali definito sulla frontiera @ (figura 2.14).

Ω

b(x)

p(x)

p(x)

Figura 2.14: Forze esterne applicate su B.

Così come fatto per le travature, la definizione di equilibrio viene data attraverso la

scrittura delle 'equazioni cardinali della statica':

Definizione 2 Una corpo B soggetto al un sistema di forze F si dice in equilibrio se la

risultante di F ed il momento risultante di F rispetto ad un polo arbitrario sono nulli.

Scegliendo quale polo l'origine O dei vettori posizione x che identificano ciascun

punto di B, tale definizione di equilibrio equivale alla scrittura delle due equazioni di

equilibrio alla traslazione ed alla rotazione intorno ad O:

Z

$$\int_{\Omega} b(x) dV + \int_{@} p(x) dS = 0$$

$$\int_{\Omega} x \times b(x) dV + \int_{@} x \times p(x) dS = 0$$

Z

$$\int_{\Omega} x \times b(x) dV + \int_{@} x \times p(x) dS = 0$$

(2.156)

L'analisi dello stato di sollecitazione all'interno del corpo B si basa, così come per

le travature, sul principio di sezionamento, che qui si enuncia di nuovo con riferimento

al modello in esame.

Postulato 3 Un corpo B è in equilibrio se e solo se ogni parte $B_0 \subset B$ è in equilibrio se soggetta al sistema di forze attive F_a direttamente agente su B_0 ed al sistema di forze

reattive F_r che il mondo esterno a B_0 esplica su B_0 . Il sistema F_r è in generale a sua

volta costituito dalla somma delle reazioni dei vincoli esterni direttamente applicati su

B_0 e delle reazioni interne che $B - B_0$ esplica su B_0 .

Si considera qui per semplicità il caso in cui il corpo è privo di vincoli esterni. Si seziona allora il corpo in due parti definite dai domini Ω_1 e Ω_2 aventi in comune la superficie S del sezionamento, che si suppone di tipo regolare in modo che il piano tangente sia definito in ogni suo punto (figura 2.15). La parte Ω_1 dovrà allora essere in equilibrio soggetta alle forze attive direttamente agenti su di essa ed alle forze che Ω_2 esercita su Ω_1 . Queste ultime rappresentano delle forze superficiali agenti sulla frontiera di Ω_1 .

$\mathbf{b}(\mathbf{x})$ Ω

$\mathbf{p}(\mathbf{x})$

$\mathbf{p}(\mathbf{x})$

S

Ω_1

$\mathbf{b}(\mathbf{x})$

$\mathbf{p}(\mathbf{x})$

S

$\mathbf{p}(\mathbf{x})$

Ω_2

P

P

P

piano

tangente in P

\mathbf{n}

$\mathbf{t}(\mathbf{x}, \mathbf{n}) - \mathbf{n}$

$\mathbf{t}(\mathbf{x}, -\mathbf{n}) = -\mathbf{t}(\mathbf{x}, \mathbf{n})$

Figura 2.15: Sezionamento di Ω in Ω_1 e Ω_2 .

Preso un qualsiasi punto P di S , di posizione \mathbf{x} , dopo il sezionamento esso sarà sia

un punto di $S \setminus \Omega_1$ che un punto di $S \setminus \Omega_2$. Detta \mathbf{n} la normale uscente da Ω_1 in P , la normale uscente da Ω_2 in P sarà $-\mathbf{n}$. L'analisi delle forze di interazione si basa sul

seguinte postulato, noto come 'postulato di Cauchy':

Postulato 4 La forza superficiale \mathbf{t} che Ω_2 esercita su Ω_1 in P dipende solo dalla posizione \mathbf{x} di P e dalla normale \mathbf{n} al piano tangente in P uscente da Ω_1 , cioè si ha:

$$\mathbf{t} = \mathbf{t}(\mathbf{x}, \mathbf{n}) \quad (2.157)$$

Pertanto, per il postulato di Cauchy, sezionando in modo diverso Ω con due diverse

superfici di sezionamento S_1 e S_2 contenenti però uno stesso punto P ed aventi in P lo

stesso piano tangente (figura 2.16), le forze superficiali di interazione che le due parti si

scambiano in P sono uguali.

La relazione (2.157) associa ad ogni punto P interno a Ω e ad ogni giacitura per P di normale \mathbf{n} un 'vettore tensione', $\mathbf{t}(\mathbf{x}, \mathbf{n})$, che rappresenta la forza superficiale che il

resto del corpo esercita su tale giacitura nell'intorno di P .

Il principio di azione e reazione implica che se $\mathbf{t} = \mathbf{t}(\mathbf{x}, \mathbf{n})$ è la forza per unità di superficie che Ω_2 esercita su Ω_1 in P , la forza che Ω_1 esercita su Ω_2 in P , che per il postulato di Cauchy sarà uguale a $\mathbf{t}(\mathbf{x}, -\mathbf{n})$, dovrà essere uguale in modulo ed

opposta

in verso a $t = t(x, n)$. Pertanto si ha (figura 2.15):

$$t(x, -n) = -t(x, n) \quad (2.158)$$

G. Alfano - Meccanica del Continuo 171

S_1

P

$t(x, n)$

S_2

n

Figura 2.16: Due sezionamenti S_1 e S_2 di entrambi contenenti il punto P ed aventi lo

stesso piano tangente in P.

La relazione (2.158) è anche nota come 'lemma di Cauchy'.

Per caratterizzare la funzione (2.157) si scelga una base ortonormale $\{e_1, e_2, e_3\}$. Si

estragga quindi da B una sua parte B avente la forma di un tetraedro con tre

facce avente ciascuna quale normale uscente al tetraedro l'opposto di uno dei versori della

base, e con la quarta faccia avente una normale caratterizzata per semplicità da tutti e

tre i coseni direttori positivi (figura 2.17). Sia inoltre x_0 la posizione del vertice opposto

alla faccia di normale m l'altezza relativa a tale faccia. Si osserva che sia l'area delle

facce del tetraedro che il volume di questo dipendono da h e tendono a zero al tendere a

zero di h .

Si fanno le ipotesi che sia le forze di volume b che la funzione t siano continue sul

tetraedro.

Detta A_m l'area della faccia di normale m e A_i le aree delle facce di normale $-e_i$, risulta

$$A_i = (m \cdot e_i) A_m \quad i = 1, 2, 3 \quad (2.159)$$

Per dimostrare ciò si osserva che, poiché per definizione l'i-esimo vettore della base

non dipende dalla posizione x , si ha $\text{div } e_i = 0$. Applicando allora il teorema della

divergenza al flusso uscente del vettore e_i dal tetraedro, si ha:

$$0 = \text{div } e_i = \int_V \text{div } e_i \, dV$$

$$\text{div } e_i \, dV = \int_{\partial V} e_i \cdot n \, dS$$

$$e_i \cdot n \, dS = e_i \cdot m \, A_m - \sum_{j=1}^3 e_i \cdot e_j \, A_j$$

$$dS -$$

$$\sum_{j=1}^3 e_i \cdot e_j \, A_j$$

$$dS$$

$$(2.160)$$

$$(2.160)$$

Poiché $e_i \cdot e_j = \delta_{ij}$ si ha:

$$\sum_{j=1}^3 e_i \cdot e_j \, A_j$$

$$dS = \delta_{ij} A_j = A_i \quad (2.161)$$

$$dS = \delta_{ij} A_j = A_i \quad (2.161)$$

e quindi:

$$0 = (e_i \cdot m) A_m - A_i \quad (2.162)$$

da cui la (2.159).

172 G. Alfano - Appunti di Scienza delle Costruzioni

e1

e2

e3

e1

e2

e3

m

ε

O

x0

Figura 2.17: Tetraedro di Cauchy.

Per il principio di sezionamento, affinché il corpo sia in equilibrio anche il tetraedro

estratto dal corpo deve esserlo sotto l'azione delle forze di volume direttamente

applicate sul tetraedro e le tensioni interne agenti sulle facce del tetraedro. In particolare,

l'equilibrio alla traslazione del tetraedro impone che sia verificata la seguente equazione:

$\int_V b(x) dV + \int_{\partial V} t(x, n) dS = 0 \quad (2.163)$

$$\int_V b(x) dV + \int_{\partial V} t(x, n) dS = 0 \quad (2.163)$$

Separando i termini dell'integrale esteso a ∂V relativi alle quattro facce del tetraedro,

dividendo per A_m ed imponendo che la (2.160) valga per ogni valore di ϵ , al limite per

ϵ tendente a zero deve risultare:

$\lim_{\epsilon \rightarrow 0} \frac{1}{A_m} \int_V b(x) dV + \int_{\partial V} t(x, n) dS = 0$

$\lim_{\epsilon \rightarrow 0} \frac{1}{A_m} \int_V b(x) dV + \int_{\partial V} t(x, n) dS = 0$

$\lim_{\epsilon \rightarrow 0} \frac{1}{A_m} \int_V b(x) dV + \int_{\partial V} t(x, n) dS = 0$

$\lim_{\epsilon \rightarrow 0} \frac{1}{A_m} \int_V b(x) dV + \int_{\partial V} t(x, n) dS = 0$

$\lim_{\epsilon \rightarrow 0} \frac{1}{A_m} \int_V b(x) dV + \int_{\partial V} t(x, n) dS = 0$

$\lim_{\epsilon \rightarrow 0} \frac{1}{A_m} \int_V b(x) dV + \int_{\partial V} t(x, n) dS = 0$

$\lim_{\epsilon \rightarrow 0} \frac{1}{A_m} \int_V b(x) dV + \int_{\partial V} t(x, n) dS = 0$

$\lim_{\epsilon \rightarrow 0} \frac{1}{A_m} \int_V b(x) dV + \int_{\partial V} t(x, n) dS = 0$

$\lim_{\epsilon \rightarrow 0} \frac{1}{A_m} \int_V b(x) dV + \int_{\partial V} t(x, n) dS = 0$

$\lim_{\epsilon \rightarrow 0} \frac{1}{A_m} \int_V b(x) dV + \int_{\partial V} t(x, n) dS = 0$

$\lim_{\epsilon \rightarrow 0} \frac{1}{A_m} \int_V b(x) dV + \int_{\partial V} t(x, n) dS = 0$

$\lim_{\epsilon \rightarrow 0} \frac{1}{A_m} \int_V b(x) dV + \int_{\partial V} t(x, n) dS = 0$

$\lim_{\epsilon \rightarrow 0} \frac{1}{A_m} \int_V b(x) dV + \int_{\partial V} t(x, n) dS = 0$

$\lim_{\epsilon \rightarrow 0} \frac{1}{A_m} \int_V b(x) dV + \int_{\partial V} t(x, n) dS = 0$

$\lim_{\epsilon \rightarrow 0} \frac{1}{A_m} \int_V b(x) dV + \int_{\partial V} t(x, n) dS = 0$

$\lim_{\epsilon \rightarrow 0} \frac{1}{A_m} \int_V b(x) dV + \int_{\partial V} t(x, n) dS = 0$

$\lim_{\epsilon \rightarrow 0} \frac{1}{A_m} \int_V b(x) dV + \int_{\partial V} t(x, n) dS = 0$

$$\begin{aligned}
&= \\
&= \lim_{\epsilon \rightarrow 0} \\
&\int_{A_m} b(x) \, dA_m \\
&+ \sum_{i=1}^3 t(x, -e_i) A_i = 0
\end{aligned}
\tag{2.164}$$

dove si è utilizzato il lemma di Cauchy, per cui si ha $t(x, -e_i) = -t(x, e_i)$, ed il teorema della media. In particolare, per la continuità di b il teorema della media assicura

G. Alfano - Meccanica del Continuo 173

che esiste un punto x_0 interno al tetraedro tale che l'integrale di b esteso a A è uguale a

$b(x_0)$ per il volume del tetraedro, pari ad $A_m/3$. Analogamente, per la continuità di t

esiste un punto x_0 sulla faccia di normale e_i tale che l'integrale di $t(x, e_i)$ su A_i è pari a $t(x_0, e_i) A_i$ ed esistono tre punti x_0 sulle facce di normale $-e_i$ per cui l'integrale di

$t(x, e_i)$ su A_i è pari a $t(x_0, e_i) A_i$, con $i = 1, 2, 3$.

I punti x_0 , x_0 e x_0 dipendono da ϵ e, sempre per la continuità di b e t , al tendere a 0 di ϵ essi tendono a x_0 :

$$\begin{aligned}
&\lim_{\epsilon \rightarrow 0} \\
&= \lim_{\epsilon \rightarrow 0} \\
&\int_{A_m} b(x_0) \, dA_m = 0
\end{aligned}
\tag{2.165}$$

Si riconosce nella (2.164) che l'integrale delle forze di volume è un infinitesimo di ordine

superiore a quelli delle forze di superficie e dunque al limite si annulla.

Utilizzando

poi le relazioni (2.159) e (2.165) si ottiene al limite:

$$\begin{aligned}
&1 \\
&\int_{A_m} t(x_0, m) \, dA_m - \\
&\sum_{i=1}^3 t(x_0, e_i) (m \cdot e_i) A_i = 0
\end{aligned}
\tag{2.166}$$

e, semplificando A_m :

$$\begin{aligned}
&t(x_0, m) = \\
&\sum_{i=1}^3 t(x_0, e_i) (m \cdot e_i) = \sum_{i=1}^3 t(x_0, e_i) e_i m
\end{aligned}
\tag{2.167}$$

dove si è utilizzata la definizione di prodotto tensoriale.

La relazione (2.167) è proprio l'espressione cercata. Estendendo infatti tale risultato

ad ogni punto x di continuità di b e t e ad ogni giacitura per x di normale n , si ottiene

$$\begin{aligned}
&t(x, n) = \sum_{i=1}^3 t(x, e_i) e_i n = T(x) n
\end{aligned}
\tag{2.168}$$

Il tensore $T(x)$ è detto 'tensore delle tensioni' in x . Dalla (2.168) si vede che

esso è
 somma dei tre tensori $t(x, e_i)e_i$, per $i = 1, 2, 3$. Per $i = 1$, $t(x, e_1)$ è il vettore
 tensione
 agente sulla faccia di normale $e_1 = i$, ovvero la faccia di normale x . In
 componenti
 rispetto alla base $\{e_1, e_2, e_3\} = \{i, j, k\}$:
 $t(x, e_1) =$

$$\begin{pmatrix} x \\ xy \\ xz \\ 37775 \\ e_1 = 26664 \\ 1 \\ 0 \\ 0 \\ 37775 \end{pmatrix} t(x, e_1) \quad e_1 = 26664$$

(2.169)
 La componente x è quella secondo x del vettore tensione agente sulla faccia di
 normale
 x , ed è dunque una componente 'normale'; le componenti xy e xz sono quelle
 secondo
 y e z del vettore tensione agente sulla faccia di normale x , e sono dunque
 componenti
 'tangenziali'.

Analogamente, si ha:
 $t(x, e_2) =$

$$\begin{pmatrix} yx \\ y \\ yz \\ 37775 \\ e_2 = 26664 \\ 0 \\ 1 \\ 0 \\ 37775 \end{pmatrix} t(x, e_2) \quad e_2 = 26664$$

(2.170)
 174 G. Alfano - Appunti di Scienza delle Costruzioni
 $t(x, e_3) =$

$$\begin{pmatrix} zx \\ zy \\ z \\ 37775 \end{pmatrix}$$

$$e_3 = 26664$$

$$0$$

$$0$$

$$1$$

$$37775$$

$$) t(x, e_3) \quad e_3 = 26664$$

$$0 \quad 0 \quad z_x$$

$$0 \quad 0 \quad z_y$$

$$0 \quad 0 \quad z$$

$$37775$$

$$(2.171)$$

Pertanto la matrice associata al tensore $T(x)$ in tale base è:

$$T(x) = 26664$$

$$x \quad y \quad z_x$$

$$xy \quad y \quad z_y$$

$$xz \quad yz \quad z$$

$$37775$$

$$(2.172)$$

ed è anche detta 'matrice delle tensioni'.

Si consideri un cubetto elementare con le facce normali ai versori della base, dove a

meno di infinitesimi il valore di T si può assumere costante e pari al valore assunto al

centro del cubetto. In figura 2.18 sono rappresentate le componenti normali e tangenziali

agenti sulle facce di normali e_1 , e_2 e e_3 del cubetto, ovvero le componenti del tensore

delle tensioni rispetto alla base $\{e_1, e_2, e_3\} = \{i, j, k\}$.

$$e_3 = k$$

$$e_2 = j$$

$$e_1 = i$$

$$\sigma_y$$

$$\sigma_x$$

$$\sigma_z$$

$$\tau_{xy}$$

$$\tau_{yx}$$

$$\tau_{zx}$$

$$\tau_{zy}$$

$$\tau_{xz}$$

$$e_3 = k$$

$$t(x, e_2)$$

$$t(x, e_1)$$

$$t(x, e_3)$$

$$e_2 = j$$

$$e_1 = i$$

$$\sigma_y$$

$$\sigma_x$$

$$\sigma_z$$

$$\tau_{xy}$$

$$\tau_{yx}$$

$$\tau_{zx} \quad \tau_{yz}$$

$$\tau_{zy}$$

τ_{xz}

τ_{yz}

(a) (b)

Figura 2.18: Visualizzazione delle tensioni agenti sulle facce di un cubetto elementare:

(a) visualizzazione solo delle componenti; (b) visualizzazione anche delle risultanti su ciascuna faccia.

2.3.1 Equazioni differenziali di equilibrio

Si consideri un corpo qualsiasi B, che occupa il dominio Ω , estratto dall'interno del

corpo B. Si fa l'ipotesi di continuità di b e di t in Ω per cui si può utilizzare la (2.168).

G. Alfano - Meccanica del Continuo 175

L'equilibrio alla traslazione di B fornisce:

Z

$$\int_{\Omega} b(x) \, dV + \int_{\partial\Omega} T(x) \cdot n \, dS = Z$$

$$\int_{\Omega} b(x) \, dV + \int_{\partial\Omega} T(x) \cdot n \, dS = Z \quad (2.173)$$

$$\int_{\Omega} b(x) \, dV + \int_{\partial\Omega} T(x) \cdot n \, dS = Z$$

$$\int_{\Omega} b(x) \, dV + \int_{\partial\Omega} T(x) \cdot n \, dS = Z \quad (2.173)$$

Utilizzando il teorema della divergenza si ha:

Z

$$\int_{\Omega} b(x) \, dV + \int_{\partial\Omega} T(x) \cdot n \, dS = Z$$

$$\int_{\Omega} b(x) \, dV + \int_{\partial\Omega} T(x) \cdot n \, dS = Z$$

$$\int_{\Omega} b(x) \, dV + \int_{\partial\Omega} T(x) \cdot n \, dS = Z$$

$$\text{div} T(x) + b(x) = 0 \quad (2.177)$$

ovvero: Z

$$[\text{div} T(x) + b(x)] \, dV = 0 \quad (2.178)$$

Dovendo quest'ultima relazione essere valida per ogni dominio Ω estratto da Ω , si vede

facilmente che l'integrando deve essere nullo e che quindi deve aversi, identicamente:

$$\text{div} T + b = 0 \quad (2.179)$$

La (2.178) è un'equazione differenziale vettoriale corrispondente a tre equazioni scalari.

Esse sono le 'equazioni differenziali di equilibrio' e si scrivono rispetto alla base $\{i, j, k\}$:

$$b_x +$$

$$\frac{\partial \tau_{xx}}{\partial x} +$$

$$\frac{\partial \tau_{xy}}{\partial y} +$$

$$\frac{\partial \tau_{xz}}{\partial z} +$$

$$\tau_{yx} +$$

$$\tau_{xy} +$$

$$\tau_{xz} +$$

$$\tau_{zx} +$$

$$\tau_{zy} +$$

$$\tau_{yz} +$$

$$\tau_{zy} +$$

$$\tau_{yz} +$$

$$\tau_{zx} +$$

$$\tau_{zy} +$$

$$\begin{aligned} & \frac{\partial \sigma_{xy}}{\partial y} \\ & + \frac{\partial \sigma_{zy}}{\partial z} \\ & = 0 \\ & \frac{\partial \sigma_{xz}}{\partial x} \\ & + \frac{\partial \sigma_{yz}}{\partial y} \\ & + \frac{\partial \sigma_{zz}}{\partial z} \\ & = 0 \end{aligned}$$

(2.180)

Per avere un ulteriore riscontro fisico del significato delle (2.180) si sono riportate

nella figura 2.19 le componenti della tensione in direzione x agenti sulle varie

facce del cubetto elementare di lati dx, dy e dz. Si è anche riportata, in grigio, la

risultante delle forze di volume in direzione x, pari al prodotto di b_x per il volume del cubetto dx dy dz.

Il tutto è a meno di infinitesimi di ordine superiore al volume del cubetto.

¹⁵Si ricorda che la divergenza di un campo tensoriale S è un campo vettoriale, indicato con $\text{div } S$,

definito dalla seguente uguaglianza:

$$[\text{div } S(x)] \cdot c$$

def.

$$= \text{div} [S(x) \cdot c] \quad c \text{ costante (2.174)}$$

In componenti rispetto alla base ortonormale $\{e_1, e_2, e_3\}$ si ha:

$$[\text{div } S(x)]_i \cdot c_i = (S_{ij} c_j)_{/i} = S_{ij/j} c_i \quad (2.175)$$

da cui:

$$[\text{div } S(x)]_i = S_{ij/j} \quad (2.176)$$

176 G. Alfano - Appunti di Scienza delle Costruzioni

Le due facce ortogonali all'asse x hanno area pari a dy dz. Su quella di normale discorde a x agisce in direzione discorde a x la tensione σ_x , mentre su quella di normale

concorde a x agisce in direzione concorde a x la tensione $\sigma_x + \frac{\partial \sigma_x}{\partial x} dx$. Tali tensioni

vanno dunque moltiplicate, con il loro opportuno segno, per dy dz per avere le rispettive

risultanti in direzione x.

Le due facce ortogonali all'asse y hanno area pari a dx dz. Su quella di normale discorde a y agisce in direzione discorde a x la tensione σ_{xy} , mentre su quella di normale

concorde a y agisce in direzione concorde a x la tensione $\sigma_{xy} + \frac{\partial \sigma_{xy}}{\partial y} dy$. Tali tensioni

vanno dunque moltiplicate, con il loro opportuno segno, per dx dz per avere le rispettive

risultanti in direzione x.

Le due facce ortogonali all'asse z hanno area pari a $dx dy$. Su quella di normale discorde a z agisce in direzione discorde a x la tensione σ_{xz} , mentre su quella di normale concorde a z agisce in direzione concorde a x la tensione $\sigma_{xz} + \frac{\partial \sigma_{xz}}{\partial z} dz$. Tali tensioni vanno dunque moltiplicate, con il loro opportuno segno, per $dx dy$ per avere le rispettive risultanti in direzione x.

$$\sigma_x +$$

$$\sigma_x$$

$$6$$

$$6x$$

$$\tau_{xy}$$

$$\sigma_x$$

$$dA_x = dy dz$$

$$\tau_{xz} +$$

$$\tau_{xz}$$

$$6$$

$$6z$$

$$dz$$

$$\tau_{xy} +$$

$$\tau_{xy}$$

$$6$$

$$6y$$

$$\tau_{xz}$$

$$x$$

$$y$$

$$z$$

$$dA_y = dx dz$$

$$dA_z = dx dy$$

$$dx$$

$$dz$$

$$dy$$

$$dy$$

$$dx$$

$$b_x dx dy dz$$

Figura 2.19: Equilibrio alla traslazione in direzione x del cubetto elementare. In definitiva, l'equilibrio alla traslazione del cubetto elementare si impone uguagliando.

Alfano - Meccanica del Continuo 177

do a zero la somma tutte le risultanti in direzione x:

$$b_x dx dy dz +$$

$$+x +$$

$$\frac{\partial \sigma_x}{\partial x}$$

$$\frac{\partial \sigma_x}{\partial x}$$

$$\begin{aligned}
 & dx - x dy dz \\
 & +_{xy} + \\
 & @_{xy} \\
 & @_y \\
 & dy -_{xy} dx dz \\
 & +_{xz} + \\
 & @_{xz} \\
 & @_z \\
 & dz -_{xz} dx dy = 0 \\
 & (2.181)
 \end{aligned}$$

Dividendo per il volume $dx dy dz$ si ricava la prima delle (2.180). Le altre due equazioni si ottengono imponendo in modo analogo l'equilibrio alla traslazione rispettivamente in direzione y e z .

2.3.2 Simmetria del tensore delle tensioni

Analogamente a quanto si è fatto nella sezione precedente partendo dalla condizione di equilibrio alla traslazione, imponendo il soddisfacimento dell'equilibrio alla rotazione

rispetto ad un polo qualsiasi per un qualsiasi corpo B estratto dall'interno di B si può

dimostrare che il tensore delle tensioni, in ogni punto, è simmetrico, ovvero che si ha:

$$T = T^t \quad (2.182)$$

Rispetto ad una qualsiasi base ortonormale la condizione di simmetria del tensore delle tensioni equivale a quella di simmetria della matrice delle tensioni ad esso associata.

Pertanto, per la condizione di simmetria deve aversi:

$$t_{xy} = t_{yx} \quad t_{yz} = t_{zy} \quad t_{zx} = t_{xz} \quad (2.183)$$

Per brevità non si dimostrerà la (2.182) ma per maggiore chiarezza ci si limiterà a

verificare la validità delle (2.183) nel caso particolare di uno stato tensionale costante

definito da un tensore T in cui le uniche componenti non nulle rispetto alla base $\{i, j, k\}$ sono t_{xy} e t_{yx} :

$$T = \begin{bmatrix} t_{xx} & t_{xy} & 0 \\ 0 & t_{yy} & 0 \\ 0 & 0 & t_{zz} \end{bmatrix} \quad (2.184)$$

$$0 \quad t_{yx} \quad 0$$

$$t_{xy} \quad 0 \quad 0$$

$$0 \quad 0 \quad 0$$

$$\begin{bmatrix} t_{xx} & t_{xy} & 0 \\ 0 & t_{yy} & 0 \\ 0 & 0 & t_{zz} \end{bmatrix}$$

$$(2.184)$$

In figura 2.20 è disegnato un cubetto visto in prospetto dalla parte della faccia di

normale z . Le risultanti della tensione tangenziale sulle facce di normali x e $-x$, di area

pari a yz , formano una coppia di braccio x che fornisce un momento antiorario pari a $(t_{xy}yz)x$. Le risultanti della tensione tangenziale sulle facce di normali y e

$-y$, di area pari a xz , formano una coppia di braccio y che fornisce un momento orario pari a $(t_{yx}xz)y$. Per l'equilibrio alla rotazione del cubetto tali due momenti

devono essere uguali e si ottiene:

$$(\tau_{xy} \tau_{yx}) = (\tau_{yx} \tau_{xy}) \quad (2.185)$$

e cioè deve aversi $\tau_{xy} = \tau_{yx}$.

178 G. Alfano - Appunti di Scienza delle Costruzioni

τ_{xy}

τ_{yx}

x

y

τ_{yx}

$\Delta y \tau_{xy}$

Δx

Figura 2.20: Verifica della simmetria di T in un caso particolare.

2.3.3 Condizioni ai limiti

In ogni punto della frontiera di Ω si è detto che agiscono per ipotesi delle forze per unità

di superficie che sono state indicate con p . In particolare in un punto x di $\partial\Omega$ in cui tale

forza superficiale è nulla si ha $p(x) = 0$.

Prolungando per continuità la relazione (2.168) in un punto della frontiera di Ω normale uscente n si ottiene allora:

$$p(x) = T(x) \cdot n \quad (2.186)$$

La (2.186) rappresenta le condizioni ai limiti, dette anche condizioni al contorno, che

devono essere soddisfatte dal campo tensoriale T per il soddisfacimento dell'equilibrio.

Esse, insieme alle equazioni differenziali ricavate nella sezione precedente, definiscono

per il modello continuo tridimensionale il problema dell'equilibrio.

E' utile osservare che la relazione (2.186) può interpretarsi immaginando il piano

tangente alla frontiera nel punto x , di normale n , come una giacitura passante per x

(risultato di un ipotetico sezionamento) e dunque la forza superficiale applicata $p(x)$

come il vettore tensione agente su tale giacitura. Tale interpretazione è analoga a quella

per cui, nella modellazione monodimensionale delle travi, forze e coppie esterne

applicate sull'estremo libero di una trave forniscono direttamente le caratteristiche della

sollecitazione nel punto.

2.3.4 Componenti normale e tangenziali del vettore tensione su una

giacitura

Si consideri un punto P di B di posizione x ed una giacitura per P di normale n .

La

componente normale del vettore tensione $t(x, n) = T(x) \cdot n$ è data da (figura 2.21):

$$t_n = T(x) \cdot n \cdot n \quad (2.187)$$

Dato un versore m ortogonale a n , la componente di $t(x, n)$ nella direzione di m è

chiaramente una componente tangenziale e verrà indicata con τ_{nm} . Essa è fornita da

(figura 2.21):

$$\tau_{nm} = T(x) n \cdot m \quad (2.188)$$

σn

O

$n n$

m

$\tau_{nm} m$

$t(x, n)$

x

Figura 2.21: Componenti normale e tangenziale del vettore tensione.

Considerando poi la giacitura di normale m , la componente tangenziale secondo n

del vettore tensione $t(x, m)$ si indicherà con τ_{mn} . Per la simmetria di T risulta:

$$\tau_{mn} = T(x) m \cdot n = m \cdot T(x) n = \tau_{nm} \quad (2.189)$$

2.3.5 Tensioni principali e direzioni principali di tensione

Si definiscono 'tensioni principali' in un punto x gli autovalori del tensore della tensione

$T = T(x)$ e 'direzioni principali di tensione' quelle dei corrispondenti autovettori.

Il calcolo delle tensioni principali e delle direzioni principali di tensione è perfettamente

analogo alla determinazione delle deformazioni principali e delle direzioni principali

di deformazione. Dunque un autovalore ρ di T ed il corrispondente autovettore e_ρ sono soluzioni del seguente problema:

$$T e_\rho = \rho e_\rho \quad (T - \rho I) e_\rho = 0 \quad (2.190)$$

che ammette soluzioni diverse da quella banale se e solo se

$$\det(T - \rho I) = 0 \quad (2.191)$$

$$\begin{vmatrix} x - \rho & xy & xz \\ xy & y - \rho & yz \\ xz & yz & z - \rho \end{vmatrix} = 0$$

$$= 0 \quad (2.191)$$

$$= 0 \quad (2.191)$$

$$= 0 \quad (2.191)$$

$$= 0 \quad (2.191)$$

180 G. Alfano - Appunti di Scienza delle Costruzioni

cioè se e solo se ρ è soluzione della cosiddetta 'equazione caratteristica':

$$\rho^3 - I_T \rho^2 + II_T \rho - III_T = 0 \quad (2.192)$$

$$\rho^3 - I_T \rho^2 + II_T \rho - III_T = 0$$

$$\rho^3 - I_T \rho^2 + II_T \rho - III_T = 0 \quad (2.192)$$

dove I_T , II_T e III_T rappresentano gli invarianti rispettivamente lineare, quadratico e

cubico del tensore della tensione e sono dati da:

$$I_T = \text{tr} T = x + y + z$$

$$II_T =$$

$$1$$

$$2$$

$$[\text{tr} (T^2) - (\text{tr} T)^2]$$

$$III_T = \det T$$

(2.193)

Se il versore e_p individua una direzione principale, la giacitura di normale e_p è caratterizzata da un vettore tensione parallelo a e_p , che quindi non ha componenti tangenziali.

La componente normale n è invece pari proprio alla tensione principale p associata ad e_p .

$$\mathbf{t}(\mathbf{x}, \mathbf{e}_p) = \sigma_p \mathbf{e}_p$$

O

e_p

\mathbf{x}

Figura 2.22: Se e_p è direzione principale di tensione il vettore tensione è parallelo a e_p .

Essendo T simmetrico i suoi autovalori sono tutti reali. Calcolati gli autovalori risolvendo

la (2.192) le corrispondenti direzioni principali si ottengono sostituendo nella (2.190) gli autovalori, uno per volta. Se essi sono tutti distinti, allora esiste una sola

terna di direzioni principali di tensione individuata dai versori e_{pi} , $i = 1, 3$. Se due

autovalori sono coincidenti, ovvero se l'equazione caratteristica ammette una radice di

molteplicità 2, allora esiste un piano contenente tutte direzioni principali di tensione, la

cui direzione ortogonale è anch'essa principale. Se gli autovalori sono tutti coincidenti

allora tutte le direzioni sono principali di tensione.

In ogni caso esiste almeno una base ortonormale di direzioni principali $\{e_{pi}\}$, $i =$

1, 2, 3. Rispetto a tale base la matrice associata al tensore della tensione è diagonale

e contiene quali termini della diagonale principale le tensioni principali.

Rispetto alla

G. Alfano - Meccanica del Continuo 181

base $\{e_{pi}\}$ la matrice associata a T diventa quindi:

$$T = \begin{pmatrix} p_1 & 0 & 0 \\ 0 & p_2 & 0 \\ 0 & 0 & p_3 \end{pmatrix} \quad (2.194)$$

$$p_1 \ 0 \ 0$$

$$0 \ p_2 \ 0$$

$$0 \ 0 \ p_3$$

$$\begin{pmatrix} p_1 & 0 & 0 \\ 0 & p_2 & 0 \\ 0 & 0 & p_3 \end{pmatrix} \quad (2.194)$$

(2.194)

Nel caso in cui una tensione principale è nulla si parla di 'stato tensionale piano'

mentre se due tensioni principali sono nulle si parla di 'stato tensionale monoassiale'.

Calcolando il determinante utilizzando la rappresentazione diagonale (2.194)

$$\det T = p_1 p_2 p_3 \quad (2.195)$$

si vede che lo stato tensionale è piano o monoassiale se e solo se il determinante di T è

nullo.

2.4 Cerchi di Mohr

Si consideri uno stato tensionale in un punto P definito da un tensore T la cui matrice

associata alla base {i, j, k} è la seguente:

$$T = \begin{pmatrix} 2 & 6 & 6 \\ 6 & 6 & 4 \\ 0 & 0 & z \end{pmatrix} \quad (2.196)$$

$$T_{xx} = 2$$

$$T_{xy} = 6$$

$$T_{yy} = 6$$

$$T_{zz} = z$$

$$T_{xy} = 6$$

$$T_{xy} = 6$$

Per semplicità di notazione si ometterà nel seguito di questa sezione la dipendenza dal

vettore posizione x.

Essendo nulle le componenti tangenziali T_{xz} e T_{yz} si deduce che z è direzione principale

ed il suo versore si indicherà con e_z . La corrispondente tensione principale si indicherà con σ_z ed è proprio pari a z. A tale risultato si perviene anche scrivendo l'equazione caratteristica:

$$\det(T - \sigma I) = (z - \sigma) [(x - \sigma)(y - \sigma) - 36] = 0 \quad (2.197)$$

che ammette chiaramente z quale una delle sue radici, corrispondente alla direzione principale z.

Si consideri ora una normale n contenuta nel piano x, y, avente coseni direttori n_x ,

n_y e 0. Il corrispondente vettore tensione $t(n) = Tn$ è allora contenuto ancora nel

piano x, y, come si deduce calcolandone la sua rappresentazione nella base {i, j, k}:

$$t(n) = Tn = \begin{pmatrix} 2n_x + 6n_y \\ 6n_x + 6n_y \\ 0 \end{pmatrix} \quad (2.198)$$

$$t_x = 2n_x + 6n_y$$

$$t_y = 6n_x + 6n_y$$

$$t_z = 0$$

$$t_x = 2n_x + 6n_y$$

$$t_y = 6n_x + 6n_y$$

$$t_z = 0$$

$$t_x = 2n_x + 6n_y$$

$$t_y = 6n_x + 6n_y$$

$$t_z = 0$$

$$t_x = 2n_x + 6n_y$$

$$t_y = 6n_x + 6n_y$$

$$t_z = 0$$

$$t_x = 2n_x + 6n_y$$

$$t_y = 6n_x + 6n_y$$

$$t_z = 0$$

182 G. Alfano - Appunti di Scienza delle Costruzioni

Di seguito si ricava una rappresentazione grafica, molto usata nelle applicazioni, che

mostra come varia il vettore t nel piano x, y, al variare di n nel piano stesso. A tale

scopo conviene considerare le restrizioni dei vettori e dei tensori al piano x, y.

Detto

l'angolo formato da n con l'asse x, assunto positivo se antiorario visto dalla parte positiva dell'asse z (figura 2.23), si avrà nel piano x, y e rispetto alla base {i, j}:

$$t(n) = t() = 24$$

$$x \cdot xy$$

$$xy \cdot y$$

$$35$$

$$24$$

cos

$$\text{sen } 35 \text{ (2.199)}$$

n

x

y

α

m

Figura 2.23: n nel piano x, y è univocamente definita dall'angolo formato con l'asse

x.

Essendo ora:

$$x =$$

$$x + y$$

$$2$$

$$+$$

$$x - y$$

$$2$$

$$y =$$

$$x + y$$

$$2 -$$

$$x - y$$

$$2$$

$$(2.200)$$

si ottiene:

$$t() = 24$$

$$t_x()$$

$$t_y() 35 = 0BB@$$

$$2664$$

$$x + y$$

$$2$$

$$0$$

$$0$$

$$x + y$$

$$2$$

$$3775$$

$$+2664$$

$$x - y$$

$$2$$

$$xy$$

$$xy -$$

$$x - y$$

$$2$$

$$3775$$

1CCA

24

cos

sen 35 =

= x + y

2 24

cos

sen 35 + 26664

x - y

2 cos + xy sen

xy cos - x - y

2 sen

37775

=

= x + y

2 24

cos

sen 35 + 24

cos sen

-sen cos 35

264

x - y

2

xy

375

=

= x + y

2 24

cos

sen 35 + R(-)264

x - y

2

xy

375

= s + d

(2.201)

G. Alfano - Meccanica del Continuo 183

e quindi:

t() = s + d (2.202)

dove:

s = x + y

2 24

cos

sen 35 d = R(-)264

x - y

2

xy

375

(2.203)

ed inoltre:

R(-) = 24

cos sen

$-\sin \cos 35$ (2.204)

Entrambi i vettori s e d hanno modulo costante:

$k s k =$

$x + y$

$2 k d k = s_x - y$

2^2

$+ 2$

xy (2.205)

$\mathbf{n}(\alpha=0) = \mathbf{i}$

x

y

$\sigma - \sigma$

2

$x y$

τ_{xy}

$\sigma_y = -$

$\sigma + \sigma$

2

$x y \sigma - \sigma$

2

$x y$

$\sigma + \sigma$

2

$x y$

$\sigma_x = +$

$\sigma + \sigma$

2

$x y \sigma - \sigma$

2

$x y$

\mathbf{s}

$\mathbf{d}(\alpha=0)$

$(\alpha=0)$

$\mathbf{t}(\alpha=0)$

Figura 2.24: Decomposizione di \mathbf{t} in $\mathbf{t} = \mathbf{s} + \mathbf{d}$ per $\alpha = 0$.

Il vettore \mathbf{s} è sempre parallelo a \mathbf{n} . Quanto al vettore \mathbf{d} , poiché la matrice $R(-)$ è quella associata ad al tensore che ruota un vettore generico del piano di un angolo

in senso orario se α è positivo¹⁶, $\mathbf{d}(\alpha)$ si ottiene ruotando di tale angolo il vettore $\mathbf{d}(\alpha=0)$, cioè il vettore avente componenti $(x - y)/2$ rispetto a x e xy rispetto a y .

¹⁶Si consideri ad esempio il vettore $\mathbf{i} = 24$

1

03 5. Si ha:

$R(-) \mathbf{i} = 24$

$\cos \sin$

$-\sin \cos 35$

24

1

035 =24

\cos

$-\sin 35$ (2.206)

che, rispetto sempre alla base $\{\mathbf{i}, \mathbf{j}\}$, definisce il vettore ottenuto da \mathbf{i} mediante una rotazione di in senso

orario se è positivo.

184 G. Alfano - Appunti di Scienza delle Costruzioni

n

x

y

$-\alpha$

$\sigma - \sigma$

2

x y

τ_{xy}

s

α **d**

(α)

(α)

t (α)

d($\alpha=0$)

Figura 2.25: Decomposizione di t in $t = s + d$ per $\alpha = 0$.

Nelle figure 2.24 e 2.25 sono rappresentate la decomposizione (2.202) per $\alpha = 0$

e per $\alpha = 0$. In particolare, nel passaggio dalla figura 2.24 alla figura 2.25 i vettori n e

s sono ruotati di α in senso antiorario mentre d è ruotato di α in senso orario.

Inoltre,

è bene sottolineare per quanto si dirà dopo, nelle figure 2.24 e 2.25 gli assi x e y sono

sempre quelli orizzontale e verticale, ovvero non sono ruotati.

Si consideri ora una nuova base definita da n e dal versore m ottenuto ruotando n di

$\alpha/2$ in senso antiorario (figura 2.23). Rispetto alla base $\{i, j\}$ si ha:

$m = \cos \alpha/2$

$-\sin \alpha/2$

$\cos \alpha/2$ (2.207)

Ruotando n di $\alpha/2$ in senso antiorario, un osservatore solidale con la base $\{n, m\}$

vedrebbe n e s immobili, gli assi x e y ruotare di $\alpha/2$ in senso orario e d ruotare di

$\alpha/2$ in senso orario. Per verificare ciò, si indichi con $t_0()$ il vettore numerico associato a

$t_0()$ nella base $\{n, m\}$. La sua prima componente è la componente normale di t cioè

t_n mentre la seconda componente è evidentemente la componente tangenziale t_{nm} . La

matrice di passaggio dalle componenti rispetto alla base $\{i, j\}$ a quelle rispetto alla base

$\{n, m\}$ è:

(2.208)

$\cos \alpha/2$ $\sin \alpha/2$

$-\sin \alpha/2$ $\cos \alpha/2 = R(\alpha/2)$ (2.208)

G. Alfano - Meccanica del Continuo 185

cioè è proprio la matrice $R(-)$ ritrovata in precedenza. Risulta allora:

$$t_0() = 24$$

n

nm

$$35$$

$$= R(-)24$$

$t_x()$

$$t_y()35 =$$

$$= 24$$

$\cos \quad \sin$

$$-\sin \quad \cos \quad 35$$

$$24$$

\cos

$$\sin \quad 35 \quad x + y$$

$$2 + R(-)R(-)264$$

$x - y$

$$2$$

xy

$$375$$

$$=$$

$$= x + y$$

$$2 \quad 24$$

$$1$$

$$035 + R(-)R(-)264$$

$x - y$

$$2$$

xy

$$375$$

$$(2.209)$$

Poiché si ha:

$$R(-)R(-) = 24$$

$\cos \quad \sin$

$$-\sin \quad \cos \quad 35$$

$$24$$

$\cos \quad \sin$

$$-\sin \quad \cos \quad 35 =$$

$$= 24$$

$$\cos^2 - \sin^2 \quad 2 \sin \cos$$

$$-2 \sin \cos \quad \cos^2 - \sin^2 \quad 35 =$$

$$= 24$$

$$\cos(2) \quad \sin(2)$$

$$-\sin(2) \quad \cos(2) \quad 35 = R(-2)$$

$$(2.210)$$

dove con $R(-2)$ si è indicata la matrice associata ad un tensore che ruota un vettore

di 2 in senso orario se è positivo, si ottiene in definitiva:

$$t_0() = 24$$

n

nm

$$35$$

$$= x + y$$

2 24

1

035 + R(-2)264

x - y

2

xy

375

= s₀ + d₀() (2.211)

dove

s₀ = 264

x + y

2

0

375

d₀() = R(-2)264

x - y

2

xy

375

(2.212)

La relazione (2.211) rappresenta la verifica analitica di quanto anticipato in precedenza.

Al variare di n si riconosce che s₀, cioè il vettore numerico associato a s nella base {n,m}, rimane identico e solo la sua prima componente è diversa da zero.

Il

vettore d₀ ruota di -2 se n è ruotato di .

Il sistema di riferimento con origine nel punto P in esame ed assi paralleli rispettivamente

a n ed a m è detto 'riferimento di Mohr'. Al variare di n, ovvero dell'angolo ,

186 G. Alfano - Appunti di Scienza delle Costruzioni

la (2.211) descrive nel riferimento di Mohr un cerchio di centro c = s₀ e raggio R dati

da (figura 2.26):

c = s₀ = 264

x + y

2

0

375

R = s_x - y

2 2

+ 2

xy (2.213)

Nel riferimento di Mohr sulle ascisse si legge la componente normale n del vettore

tensione e sulle ordinate si legge la componente tangenziale n_m. Gli assi del riferimento

vengono pertanto indicati come assi n e n_m.

σ - σ

2

x y

τ_{xy}

σ_y
 $\frac{\sigma_x + \sigma_y}{2}$
 τ_{xy}
 $\mathbf{c} = \mathbf{s}'$
 P_x
 σ_x
 R
 σ_n
 τ_{nm}

Figura 2.26: Costruzione del cerchio di Mohr.

Per $\theta = 0$ si ottiene il cosiddetto polo P_x del cerchio, sottolineando con il pedice x che il vettore $\mathbf{t}_0(\theta = 0)$ rappresenta nel riferimento di Mohr il vettore tensione agente

sulla giacitura di normale \mathbf{i} , cioè parallela all'asse x .

Ruotando n di un angolo θ si è visto che nel riferimento di Mohr il vettore $\mathbf{d}_0(\theta)$ ruota di -2θ . Data allora una normale n come in figura 2.27, per ottenere il punto P_n

estremo nel riferimento di Mohr del vettore $\mathbf{t}_0(n) = \mathbf{t}_0(\theta)$, si traccia da P_x la parallela a

n e dall'intersezione di tale retta con il cerchio si traccia la retta orizzontale, ovvero la

parallela a \mathbf{i} . L'intersezione di quest'ultima con il cerchio fornisce il punto P_n cercato.

Infatti, se n forma un angolo θ con \mathbf{i} , per la proprietà degli angoli al cerchio ed alla

circonferenza allora il vettore $\mathbf{d}_0(\theta)$ forma con $\mathbf{d}_0(\theta = 0)$ un angolo di -2θ , cioè verifica la relazione (2.212)₂.

Riassumendo, la procedura appena illustrata, e descritta in figura 2.27, consente,

assegnata una normale n , di trovare il punto del cerchio P_n estremo del vettore $\mathbf{t}_0(n)$ nel

riferimento di Mohr. La procedura inversa consente invece di conoscere, assegnato un

punto P_n del cerchio, cioè un vettore \mathbf{t}_0 con estremo sul cerchio, la normale n del piano

corrispondente, ovvero tale che $\mathbf{t}_0 = \mathbf{t}_0(n)$. Tale procedura inversa consiste dunque nel

tracciare dal punto P_n una retta orizzontale e dall'intersezione di questa con il cerchio

G. Alfano - Meccanica del Continuo 187

τ_{xy}
 σ_y
 P_x
 σ_x
 σ_n
 τ_{nm}
 \mathbf{i}

n

$$\mathbf{t}'(\mathbf{i}) = \mathbf{t}'(\alpha=0)$$

$$\mathbf{d}'(\alpha=0)$$

$$\mathbf{t}'(\mathbf{n}) = \mathbf{t}'(\alpha) \quad \mathbf{d}'(\alpha)$$

α

α

-2α

P_n

Figura 2.27: Costruzione grafica della corrispondenza tra n e P_n sul cerchio di Mohr.

la congiungente con il punto P_x . Quest'ultima retta è parallela alla normale n , che è

quindi definita in direzione ma non in verso. D'altra parte i vettori $t(n)$ e $t(-n) = -t(n)$ corrispondono allo stesso vettore t_0 nel riferimento di Mohr. Infatti $-n$ si ottiene

ruotando n di π , per cui il vettore $d_0(-n)$ si ottiene da $d_0(n)$ mediante una rotazione di

π , per cui $d_0(-n) = d_0(n)$ e quindi $t_0(-n) = t_0(n)$.

In alcuni testi si utilizza una rappresentazione leggermente diversa per la quale viene

assunto quale punto del cerchio corrispondente ad una normale n il punto P_{0n} simmetrico

di quello P_n ricavato in precedenza. Il punto P_{0n} si ottiene allora tracciando dallo stesso

polo P_x introdotto in precedenza, cioè dal punto di ascissa x ed ordinata x_y , una retta

parallela alla giacitura di normale n . Infatti dalla figura 2.28 si riconosce che, essendo

l'angolo QP_nP_{0n} pari a $\pi/2$, il segmento QP_{0n} è un diametro del cerchio. Quindi anche

l'angolo QP_xP_{0n} è pari a $\pi/2$, per cui il segmento $P_{0n}P_x$ è ortogonale alla normale n .

2.4.1 I tre cerchi principali e l'arbelo di Mohr

Poiché si è fatta variare la normale n in un piano principale, in questo caso ortogonale

all'asse $z = z_0$ che è principale, la componente τ_{nm} rappresenta l'intera componente

tangenziale del vettore tensione $t(n)$. Pertanto i due punti intersezione del cerchio con

l'asse delle ascisse, corrispondenti a valori nulli della τ_{nm} , corrispondono a due normali

per le quali la componente tangenziale del vettore tensione è nulla, ovvero alle altre

due direzioni principali e_1 e e_2 di versori e_{p1} ed e_{p2} . I corrispondenti valori della σ_n rappresentano dunque le due altre tensioni principali σ_1 e σ_2 (figura 2.29) date da:

188 G. Alfano - Appunti di Scienza delle Costruzioni

τ_{xy}

σ_y

P_x

σ_x

σ_n

τ_{nm}

i

$n \alpha$

$Q P_n$

P_n'

Giacitura di normale n

Retta parallela alla giacitura di normale n

Retta parallela

a n

Figura 2.28: Costruzione grafica della corrispondenza tra n e P_{0n} sul cerchio di Mohr.

1

2

$9=;$

=

$x + y$

$2 \pm s_x - y$

2^2

$+ 2$

xy (2.214)

τ_{xy}

σ_y

P_x

σ_x

σ_n

τ_{nm}

e_{p1}

e_{p2}

$\sigma_2 \sigma_1$

Figura 2.29: Determinazione grafica delle tensioni principali e delle direzioni principali di tensione.

G. Alfano - Meccanica del Continuo 189

La costruzione del cerchio di Mohr può ripetersi facendo variare la normale n negli

altri due piani principali, e_2 e e_3 . Si ottengono altri due cerchi uno dei quali dovrà passare per i punti di ordinata nulla ed ascisse σ_1 e σ_3 ed un altro per i punti di ordinata

nulla ed ascisse σ_2 e σ_3 . I tre cerchi così ottenuti sono detti cerchi principali di Mohr e

sono a due a due tangenti fra loro (figura 2.30). Il centro del cerchio principale intersecante

sulle ascisse le tensioni principali i e j è stato indicato in figura con C_{ij} , ed analogamente si è fatto per gli altri due cerchi.

Considerando una normale qualsiasi, cioè anche non contenuta in un piano principale, si consideri il punto P_n nel riferimento di Mohr avente quale ascissa il valore della componente normale di $t(n)$, cioè $\sigma_n = T_n \cdot n$ e quale ordinata il modulo k_{nk} del vettore componente tangenziale $\tau_n = t(n) - \sigma_n n$. Si dimostra che al variare di n il punto P_n è sempre non esterno all'area campita in figura 2.30, detta 'arbelo' di Mohr.

σ_n

τ_{nm}

$\sigma_i \sigma_j \quad \sigma_k C_{ij} C_{ik} C_{jk}$

Figura 2.30: Cerchi principali di Mohr e arbelo di Mohr ($i \neq j \neq k \neq i$).

2.5 Lavoro virtuale interno

Si estragga dal corpo B , nella configurazione κ , un cubetto elementare con gli spigoli

paralleli agli assi x, y e z di lato $l = x = y = z$ e si supponga che tale cubetto sia caratterizzato da uno stato tensionale uniforme e monoassiale definito, nella base

$\{i, j, k\}$, dalla matrice:

$$T = \begin{pmatrix} \sigma_x & 0 & 0 \\ 0 & 0 & 0 \\ 0 & 0 & 0 \end{pmatrix} \quad (2.215)$$

$\times \begin{pmatrix} 0 & 0 \\ 0 & 0 \\ 0 & 0 \end{pmatrix}$

$\begin{pmatrix} 0 & 0 & 0 \\ 0 & 0 & 0 \\ 0 & 0 & 0 \end{pmatrix}$

$\begin{pmatrix} 0 & 0 & 0 \\ 0 & 0 & 0 \\ 0 & 0 & 0 \end{pmatrix}$

$\begin{pmatrix} 0 & 0 & 0 \\ 0 & 0 & 0 \\ 0 & 0 & 0 \end{pmatrix}$

$\begin{pmatrix} 0 & 0 & 0 \\ 0 & 0 & 0 \\ 0 & 0 & 0 \end{pmatrix}$

190 G. Alfano - Appunti di Scienza delle Costruzioni

Sulle due facce del cubetto di normali i e $-i$, di area pari a $A_x = yz$, agisce dunque

una tensione normale uniforme pari a σ_x (figura 2.31).

σ_x

x

y

Δy

Δx

$\sigma_x i$

Figura 2.31: Lavoro interno: sistema di forze interne.

Si consideri ora lo stesso cubetto caratterizzato da uno stato di deformazione uniforme

e monoassiale definito, nella base $\{i, j, k\}$, dalla matrice:

$$E = \begin{pmatrix} \epsilon_x & 0 & 0 \\ 0 & 0 & 0 \\ 0 & 0 & 0 \end{pmatrix} \quad (2.216)$$

$\epsilon_x \begin{pmatrix} 0 & 0 \\ 0 & 0 \\ 0 & 0 \end{pmatrix}$

$\begin{pmatrix} 0 & 0 & 0 \\ 0 & 0 & 0 \\ 0 & 0 & 0 \end{pmatrix}$

$\begin{pmatrix} 0 & 0 & 0 \\ 0 & 0 & 0 \\ 0 & 0 & 0 \end{pmatrix}$

$\begin{pmatrix} 0 & 0 & 0 \\ 0 & 0 & 0 \\ 0 & 0 & 0 \end{pmatrix}$

$\begin{pmatrix} 0 & 0 & 0 \\ 0 & 0 & 0 \\ 0 & 0 & 0 \end{pmatrix}$

Il corrispondente spostamento relativo fra le due facce del cubetto di normali i e $-i$ è

dato da (figura 2.32):

$$l_x = \epsilon_x x \quad (2.217)$$

x

y

Δy

Δx

i

$(1+\varepsilon_x)\Delta x$

Figura 2.32: Lavoro interno: sistema di deformazioni.

G. Alfano - Meccanica del Continuo 191

Si supponga che non esista nessuna relazione di causa-effetto fra il sistema di forze

interne definito dalla (2.215) ed il sistema di deformazioni definito dalla (2.216). Il

lavoro compiuto dalla tensione σ_x sulle facce di normale **i** e $-\mathbf{i}$ per lo spostamento

relativo (2.217) fra le due facce è dunque un lavoro virtuale e vale:

$$L_{i,x} = (\sigma_x A_x) l_x = \sigma_x \int_V \varepsilon_x dV \quad (2.218)$$

dove con $V = xy z$ si è indicato il volume del cubetto.

Considerando stati monoassiali dati dalle (2.215) e (2.216) ma non necessariamente

costanti, si può approssimare tali campi tensoriali con campi costanti in cubetti elementari

di volume V , effettuare la sommatoria di tutti i termini ottenuti scrivendo in ciascun cubetto la (2.218) e calcolare il limite per un numero crescente di cubetti con

$V \rightarrow 0$, mediante la ben nota procedura di integrazione dell'analisi. Si chiarisce in tal

modo che l'espressione del lavoro virtuale interno $L_{i,x}$, nel caso di stati monoassiali di

tensione e deformazione in direzione x , è la seguente:

$$L_{i,x} = \int_V \sigma_x \varepsilon_x dV \quad (2.219)$$

Un ragionamento analogo può farsi per le altre componenti di tensione e si può dimostrare

che, nel caso generale di stati tensionali e di deformazione qualsiasi, il lavoro virtuale interno assume l'espressione:

$$L_i = \int_V (\sigma_x \varepsilon_x + \sigma_y \varepsilon_y + \sigma_z \varepsilon_z + \tau_{xy} \gamma_{xy} + \tau_{yz} \gamma_{yz} + \tau_{xz} \gamma_{xz}) dV \quad (2.220)$$

Poiché $\sigma_x = T_{11}$, $\sigma_y = T_{22}$, $\sigma_z = T_{33}$, $\tau_{xy} = T_{12}$, $\tau_{yz} = T_{23}$, $\tau_{xz} = T_{13}$, ed inoltre

$\varepsilon_x = E_{11}$, $\varepsilon_y = E_{22}$, $\varepsilon_z = E_{33}$, $\gamma_{xy} = 2E_{12}$, $\gamma_{yz} = 2E_{23}$, $\gamma_{xz} = 2E_{13}$, la (2.220) si può anche scrivere:

$$L_i = \int_V (T_{11} E_{11} + T_{22} E_{22} + T_{33} E_{33} + 2 T_{12} E_{12} + 2 T_{23} E_{23} + 2 T_{13} E_{13}) dV \quad (2.221)$$

Poiché poi, per la simmetria di T e di E , risulta $T_{12} = T_{21}$, $T_{23} = T_{32}$, $T_{13} = T_{31}$ ed inoltre $E_{12} = E_{21}$, $E_{23} = E_{32}$, $E_{13} = E_{31}$, la (2.221) si può ancora scrivere:

$$L_i = \int_V (T_{11} E_{11} + T_{22} E_{22} + T_{33} E_{33} + T_{12} E_{12} + T_{21} E_{21} + T_{23} E_{23} + T_{32} E_{32} + T_{13} E_{13} + T_{31} E_{31}) dV \quad (2.222)$$

cioè:

$$L_i = \int_V \mathbf{T} \cdot \mathbf{E} dV \quad (2.223)$$

dove $\mathbf{T} \cdot \mathbf{E}$ indica il prodotto scalare fra i due tensori T ed E , che si calcola come somma dei prodotti delle componenti omologhe, in analogia con quanto

avviene per il prodotto scalare fra vettori.

192 G. Alfano - Appunti di Scienza delle Costruzioni

2.6 Legame elastico

La relazione esistente fra la deformazione dell'intorno di un punto e lo stato tensionale

agente nel punto stesso di un modello continuo tridimensionale è detta 'legame

costitutivo' del modello. Il legame costitutivo più efficace da adottare nella modellazione

matematica di un problema strutturale dipende dal materiale in esame e dal tipo

di analisi che si vuole svolgere. In questa sezione si studierà il legame elastico lineare,

ovvero il più semplice dei legami costitutivi, che ben schematizza il comportamento di

molti dei materiali correntemente utilizzati nelle applicazioni strutturali dell'ingegneria

solo per valori limitati dello stato tensionale e deformativo, come si vedrà in modo più

dettagliato nella sezione sui criteri di resistenza. Tuttavia la progettazione tende quasi

sempre a far sì che i valori della tensione e della deformazione rientrino in tali limiti.

Si faranno inoltre le ipotesi di piccolezza degli spostamenti¹⁷ e di isotropia del materiale.

Tralasciando per semplicità una definizione matematicamente rigorosa di isotropia,

una definizione più euristica ma indubbiamente efficace è quella per cui un materiale

è isotropo quando il suo comportamento è identico in tutte le direzioni. Dal punto

di vista sperimentale un provino cubico di materiale omogeneo¹⁸ ed isotropo sottoposto

ad una prova meccanica fornisce risultati identici comunque esso venga orientato nella

macchina di prova.

Si consideri un cilindro di materiale soggetto ad uno stato di tensione monoassiale

uniforme nella direzione 1, ovvero caratterizzato in ogni punto dal tensore:

$$T = \begin{pmatrix} \sigma & 0 & 0 \\ 0 & 0 & 0 \\ 0 & 0 & 0 \end{pmatrix}$$

$$\begin{pmatrix} \sigma & 0 & 0 \\ 0 & 0 & 0 \\ 0 & 0 & 0 \end{pmatrix}$$

$$\begin{pmatrix} \sigma & 0 & 0 \\ 0 & 0 & 0 \\ 0 & 0 & 0 \end{pmatrix}$$

$$\begin{pmatrix} \sigma & 0 & 0 \\ 0 & 0 & 0 \\ 0 & 0 & 0 \end{pmatrix}$$

$$\begin{pmatrix} \sigma & 0 & 0 \\ 0 & 0 & 0 \\ 0 & 0 & 0 \end{pmatrix}$$

$$\begin{pmatrix} \sigma & 0 & 0 \\ 0 & 0 & 0 \\ 0 & 0 & 0 \end{pmatrix}$$

E' evidente che la direzione 1 è principale e che tutte le direzioni ad essa ortogonali

sono anche principali.

Si assuma che il cilindro sia anche omogeneo. Nel caso di comportamento elastico

lineare si ritrova uno stato di deformazione caratterizzato da una dilatazione lineare in direzione 1 uniforme e data da (figura 2.33):

$$\epsilon_1 =$$

1

E

$$(2.225)$$

e da una dilatazione lineare ϵ_t uguale in ogni direzione ortogonale a 1 e pari a:

$$\epsilon_t = \epsilon_2 = \epsilon_3 = -\nu \epsilon_1 = -$$

1

E

$$(2.226)$$

17A stretto rigore, per la validità del comportamento elastico lineare basterebbe l'ipotesi di 'piccole deformazioni', ovvero che le dilatazioni lineari e gli scorrimenti siano molto inferiori all'unità, che non

implica necessariamente il fatto che gli spostamenti siano piccoli. Si pensi ad esempio ad un moto

rigido (non infinitesimo) di un corpo, in cui le deformazioni sono addirittura nulle e gli spostamenti

invece possono essere molto grandi. Tuttavia l'ipotesi di piccoli spostamenti è comoda per la trattazione

perché consente di descrivere le deformazione mediante il tensore della deformazione infinitesima e la

sua rimozione introdurrebbe complessità ben lontane dagli scopi della presente trattazione.

18L'ipotesi di isotropia non va confusa con quella di omogeneità, per la quale il materiale è caratterizzato

dalle stesse proprietà in ciascun punto. Si osservi che un corpo continuo può avere un comportamento

omogeneo e isotropo, omogeneo ed anisotropo, isotropo e disomogeneo, disomogeneo ed anisotropo.

G. Alfano - Meccanica del Continuo 193

σ_1

1

Δy

Δx

σ_1

cubetto indeformato

cubetto deformato

$$(1 + \epsilon_1) \Delta x$$

$$(1 - \nu \epsilon_1) \Delta y$$

2

Figura 2.33: stato di tensione monoassiale in direzione 1.

Il modulo E è detto 'modulo di Young' ed ha le dimensioni $[E] = [F L^{-2}]$. Il coefficiente

è detto 'rapporto' o anche 'coefficiente di Poisson' ed è adimensionale.

Si riscontrano inoltre scorrimenti nulli tra le direzioni 1, 2 e 3. Pertanto il tensore

della deformazione infinitesima associato a T è dato da:

$$E =$$

1

E

$$26664$$

$$1 \ 0 \ 0$$

$$0 \ -\nu \ 0$$

$$0 \ 0 \ -\nu$$

37775

(2.227)

La relazione (2.227), scritta con riferimento ad uno stato di tensione costante, viene

assunta anche nel caso di stato tensionale variabile quale relazione puntuale tra uno stato

di tensione monoassiale ed il corrispondente tensore della deformazione infinitesima, ed

anche se il materiale non è omogeneo¹⁹.

Poiché l'ipotesi di isotropia del materiale equivale ad assumere un comportamento

uguale in ciascuna direzione, due stati monoassiali rispettivamente nelle direzioni 2 e 3

conducono a due tensori della deformazione infinitesima analoghi a quello della (2.227):

$$T = \begin{pmatrix} 26664 & & \\ & 0 & 0 \\ & 0 & 0 \end{pmatrix}$$

$$0 \ 0 \ 0$$

$$0 \ 2 \ 0$$

$$0 \ 0 \ 0$$

37775

$$) E =$$

$$1$$

$$E$$

$$26664$$

$$- \ 2 \ 0 \ 0$$

$$0 \ 2 \ 0$$

$$0 \ 0 \ - \ 2$$

37775

(2.228)

$$T = \begin{pmatrix} 26664 & & \\ & 0 & 0 \\ & 0 & 0 \end{pmatrix}$$

$$0 \ 0 \ 0$$

$$0 \ 0 \ 0$$

$$0 \ 0 \ 3$$

37775

$$) E =$$

$$1$$

$$E$$

$$26664$$

$$- \ 3 \ 0 \ 0$$

$$0 \ - \ 3 \ 0$$

$$0 \ 0 \ 3$$

37775

(2.229)

Si sottolinea in particolare che per l'ipotesi di isotropia il modulo di Young ed il coefficiente

di Poisson non dipendono dalla direzione dello stato monoassiale.

¹⁹Se il materiale non è omogeneo E e cambiano da punto a punto.

Si consideri ora uno stato di sollecitazione definito nella base principale dalla matrice:

$$T = \begin{pmatrix} 26664 & & \\ & 0 & 0 \\ & 0 & 0 \end{pmatrix}$$

$$1 \ 0 \ 0$$

0 2 0

0 0 3

37775

(2.230)

Riguardando tale stato di tensione come sovrapposizione di tre stati monoassiali ed in

virtù del principio di sovrapposizione degli effetti il legame elastico associa a tale stato

tensionale i seguenti valori delle dilatazioni lineari e degli scorrimenti:

"₁ =

1

E

[1 - (2 + 3)]

"₂ =

1

E

[2 - (1 + 3)]

"₃ =

1

E

[3 - (1 + 2)]

$\epsilon_{12} = \epsilon_{23} = \epsilon_{31} = 0$

(2.231)

Aggiungendo e sottraendo ϵ_i nell'espressione della dilatazione lineare " ϵ_i " si ottiene

ancora:

"₁ =

1 +

E

1 -

E

(1 + 2 + 3)

"₂ =

1 +

E

2 -

E

(1 + 2 + 3)

"₃ =

1 +

E

3 -

E

(1 + 2 + 3)

$\epsilon_{12} = \epsilon_{23} = \epsilon_{31} = 0$

(2.232)

ovvero:

26664

"₁

$$\begin{aligned}
&1 \\
&2 \ 12 \\
&1 \\
&2 \ 13 \\
&1 \\
&2 \ 12 \ \nu^2 \\
&1 \\
&2 \ 23 \\
&1 \\
&2 \ 13 \\
&1 \\
&2 \ 23 \ \nu^3 \\
&37775 \\
&= \\
&1 + \\
&E \\
&26664 \\
&1 \ 0 \ 0 \\
&0 \ 2 \ 0 \\
&0 \ 0 \ 3 \\
&37775 \\
&-
\end{aligned}$$

$$\begin{aligned}
&E \\
&(\text{tr}T)26664 \\
&1 \ 0 \ 0 \\
&0 \ 1 \ 0 \\
&0 \ 0 \ 1 \\
&37775 \\
&(2.233)
\end{aligned}$$

che in modo tensionale intrinseco, cioè indipendente dalla base scelta, può scriversi:

$$\begin{aligned}
&E = \\
&1 + \\
&E \\
&T -
\end{aligned}$$

$$\begin{aligned}
&E \\
&(\text{tr}T) \text{ I } (2.234)
\end{aligned}$$

La relazione (2.234) definisce completamente il legame elastico lineare isotropo. Si

riconosce dunque che in tali ipotesi il legame costitutivo dipende solo da due costanti,

che vanno ricavate sperimentalmente. Nella tabella 2.1 sono riportati alcuni valori di E

e di ν per alcuni materiali molto utilizzati in ingegneria strutturale.

G. Alfano - Meccanica del Continuo 195

Materiale E (MPa)

Acciaio $(2.0 \div 2.1) \times 10^5$ $0.25 \div 0.33$

Alluminio 6.6×10^4 0.36

Calcestruzzo $(2 \div 4) \times 10^4$ $0.1 \div 0.15$

Tufo $(3 \div 15) \times 10^3$ $0.1 \div 0.15$

Tabella 2.1: Valori del modulo di Young E e del rapporto di Poisson ν per alcuni materiali.

In una base non principale $\{i, j, k\}$ la relazione (2.234) fornisce il seguente

legame

fra le matrici della deformazione e della tensione:

26664

"x

1

2 xy

1

2 xz

1

2 xy "y

1

2 yz

1

2 xz

1

2 yz "z

37775

=

1 +

E

26664

x xy xz

xy y yz

xz yz z

37775

—

E

(trT)26664

1 0 0

0 1 0

0 0 1

37775

(2.235)

ovvero le seguenti relazioni fra le componenti di deformazione e di tensione:

"x =

1 +

E

x —

E

(x + y + z)

"y =

1 +

E

y —

E

(x + y + z)

"z =

1 +

E

z —

E

$$(x + y + z)$$

$$xy =$$

$$2(1 +)$$

$$E$$

$$xy =$$

$$xy$$

$$G$$

$$yz =$$

$$2(1 +)$$

$$E$$

$$yz =$$

$$yz$$

$$G$$

$$xz =$$

$$2(1 +)$$

$$E$$

$$xz =$$

$$xz$$

$$G$$

$$(2.236)$$

dove G è detto modulo di 'elasticità tangenziale' ed è legato ad E ed a dalla relazione:

$$G =$$

$$E$$

$$2(1 +)$$

$$(2.237)$$

Per ricavare la relazione inversa della (2.234), cioè la relazione che fornisce il tensore

della tensione T in funzione del tensore della deformazione infinitesima E, si calcoli la

196 G. Alfano - Appunti di Scienza delle Costruzioni

traccia di ambo i membri della (2.234):

$$\text{tr}E =$$

$$1 +$$

$$E$$

$$\text{tr}T -$$

$$3$$

$$E$$

$$\text{tr}T =$$

$$1 - 2$$

$$E$$

$$\text{tr}T (2.238)$$

dove si è utilizzata la relazione $\text{tr} I = 3$, facilmente ottenibile calcolando la traccia della

matrice identica. Dalla (2.238) si ricava:

$$\text{tr}T =$$

$$E$$

$$1 - 2$$

$$\text{tr}E (2.239)$$

Il rapporto fra $\text{tr}T$ e $\text{tr}E$, è spesso indicato con k

$$k =$$

$$\text{tr}T$$

trE

=

E

1 - 2

, (2.240)

ed è detto 'modulo di elasticità volumetrico' in quanto è il rapporto fra la somma delle

tensioni normali agenti su tre facce ortogonali del cubetto elementare e la dilatazione

volumetrica, che nell'ipotesi qui fatta di piccoli spostamenti è proprio pari a trE (formula (2.136)).

Sostituendo la (2.239) nella (2.234) si ottiene:

E =

1 +

E

T -

E E

1 - 2 (trE) I =

1 +

E

T -

1 - 2

(trE) I (2.241)

Da quest'ultima relazione, ricordando anche la (2.237), si ricava:

T = 2GE + (trE) I (2.242)

dove

=

E

(1 +) (1 - 2)

(2.243)

Le costanti G e sono anche note come 'costanti di Lamé'. In componenti si ottiene:

$\epsilon_x = (2G +) \epsilon_x + (\epsilon_y + \epsilon_z)$

$\epsilon_y = (2G +) \epsilon_y + (\epsilon_x + \epsilon_z)$

$\epsilon_z = (2G +) \epsilon_z + (\epsilon_x + \epsilon_y)$

$\tau_{xy} = G\tau_{xy} \tau_{yz} = G\tau_{yz} \tau_{xz} = G\tau_{xz}$

(2.244)

2.6.1 Espressioni matriciali del legame elastico

Le relazioni (2.234) e (2.242), che esprimono in forma intrinseca il legame elastico

fra T ed E nelle due forme una inversa dell'altra possono essere scritte mediante

l'introduzione di un tensore del quarto ordine D:

T = DE E = D₋₁T (2.245)

G. Alfano - Meccanica del Continuo 197

Invece di ricavare le espressioni del tensore D, conviene riscrivere le (2.236) e (2.244) in modo compatto mediante la seguente notazione matriciale:

266666666666666664

"_x

"y
"z
xy
yz
xz
377777777777777775
=
266666666666666666666666666664
1
E -

E -

E
0 0 0
-

E
1
E -

E
0 0 0
-

E -

E
1
E
0 0 0
0 0 0
1
G
0 0
0 0 0 0
1
G
0
0 0 0 0 0
1
G
377777777777777777777777777775
266666666666666666666666666664
x
y
z
xy
yz
xz
377777777777777777777777777775
(2.246)
266666666666666666666666666664

x
 y
 z
 xy
 yz
 xz
 37777777777777775
 =
 26666666666666664
 2G + 0 0 0
 2G + 0 0 0
 2G + 0 0 0
 0 0 0 G 0 0
 0 0 0 0 G 0
 0 0 0 0 0 G
 37777777777777775
 26666666666666664
 "x
 "y
 "z
 xy
 yz
 xz
 37777777777777775 (

2.6.2 Energia elastica

Si consideri ora il cubetto elementare soggetto ad uno stato di tensione monoassiale uniforme in direzione x e caratterizzato dal tensore di deformazione ad esso associato

mediante il legame elastico:

$$T = 26664$$

$$x \ 0 \ 0$$

$$0 \ 0 \ 0$$

$$0 \ 0 \ 0$$

$$37775)$$

$$E$$

$$=$$

$$1$$

$$E$$

$$26664$$

$$x \ 0 \ 0$$

$$0 - x \ 0$$

$$0 \ 0 - x$$

$$37775$$

$$(2.248)$$

In particolare la relazione esistente fra la componente x e la componente ϵ_x è la seguente:

$$x = \epsilon_x E = E \epsilon_x \quad (2.249)$$

Si consideri ora l'evoluzione della ϵ_x dal valore nullo iniziale ad un valore finale ϵ_x .

Dalla (2.249) si deduce che la tensione x varierà anch'essa da un valore nullo

iniziale

ad un valore finale pari a $\epsilon_x = E^{-1} \sigma_x$.

198 G. Alfano - Appunti di Scienza delle Costruzioni

Quando, in un istante generico del processo di deformazione, la dilatazione assume

il valore ϵ_x il lavoro realmente compiuto dalla tensione per il successivo incremento di

deformazione $d\epsilon_x$ vale:

$$d(L_{def,x}) = \sigma_x(\epsilon_x) d\epsilon_x V \quad (2.250)$$

essendo ancora V il volume del cubetto. Nel termine $d(L_{def,x})$ d indica che il termine

a secondo membro è il lavoro compiuto nell'incremento infinitesimo di deformazione,

mentre d indica che il lavoro è compiuto nel cubetto elementare. Nell'intero processo

deformativo tra il valore iniziale nullo ed il valore finale il lavoro

complessivamente

compiuto dalla tensione nel cubetto elementare vale:

$$L_{def,x} = \int_0^{\epsilon_x} \sigma_x(\epsilon) d\epsilon V$$

$$= \int_0^{\epsilon_x} \sigma_x(\epsilon) d\epsilon V = \int_0^{\epsilon_x} \sigma_x(\epsilon) d\epsilon V$$

$$= \int_0^{\epsilon_x} E \epsilon d\epsilon V =$$

$$=$$

$$\frac{1}{2}$$

$$\frac{1}{2}$$

$$E \epsilon_x^2$$

$$\times V =$$

$$\frac{1}{2}$$

$$\frac{1}{2}$$

$$\times E \epsilon_x^2 V$$

$$(2.251)$$

ed è pari all'area triangolare campita in figura 2.34 moltiplicata per V .

ϵ_x

σ_x

σ_x

ϵ_x

Figura 2.34: Lavoro di deformazione per uno stato monoassiale.

Con il solito processo di integrazione si ottiene che, per uno stato monoassiale, il

lavoro complessivamente compiuto dalla tensione, nell'intero processo deformativo dal

valore iniziale nullo di ϵ_x al valore finale ϵ_x , vale per l'intero corpo:

$$L_{def,x} =$$

$$\frac{1}{2}$$

$$\int_0^{\epsilon_x} \sigma_x(\epsilon) d\epsilon V$$

$$= \frac{1}{2}$$

$$\int_0^{\epsilon_x} \sigma_x(\epsilon) d\epsilon V$$

$$=$$

$$\frac{1}{2}$$

$$\int_0^{\epsilon_x} \sigma_x(\epsilon) d\epsilon V$$

$$(2.252)$$

Un ragionamento analogo può farsi per le altre componenti di tensione e si può

dimostrare

che nel caso generale il lavoro complessivamente compiuto dalla tensione, nell'intero processo deformativo dal valore iniziale nullo di E ad un valore finale E ,

vale per l'intero corpo:

$$L_{def} =$$

1

$$2 \int_Z$$

$$DE \quad E \, d =$$

1

$$2 \int_Z$$

$$T \, E \, d \quad (2.253)$$

G. Alfano - Meccanica del Continuo 199

con $T = 2GE + (\text{tr}E) I$. Tale lavoro è detto 'lavoro di deformazione'.

Una caratteristica molto importante del legame elastico è che esso è conservativo.

Ciò vuol dire che il lavoro di deformazione (2.253) è indipendente dal percorso deformativo

e dipende solamente dai valori iniziali e finali delle deformazioni e delle tensioni.

Nella teoria del potenziale si dimostra che tale ipotesi di conservatività equivale all'esistenza

di una funzione di E , detta 'energia elastica specifica' o anche 'potenziale elastico', tale che:

$$L_{def} = Z$$

$$(E) \, d \quad (2.254)$$

Dal confronto con la (2.253) si ricava l'espressione del potenziale elastico:

$$(E) =$$

1

2

$$DE \quad E =$$

1

2

$$T \, E \quad (2.255)$$

La conservatività del legame elastico si traduce dunque nel fatto che il lavoro di

deformazione viene immagazzinato sotto forma di 'energia elastica'.

2.6.3 Limiti di validità per le costanti elastiche

Dalla relazione (2.249), valida nel caso di stato tensionale monoassiale, si deduce che

per avere ϵ e ϵ_x dello stesso segno, in modo che a dilatazione positiva corrisponda una

tensione di trazione e ad una contrazione corrisponda una compressione, il modulo di

E deve essere positivo. Dalla relazione (2.252) si vede anche che la condizione $E > 0$

può essere ricavata dall'altra, fisicamente ragionevole, che l'energia elastica sia definita

positiva, cioè sia positiva per valori non nulli di E .

Con ragionamenti analoghi si deduce dalle ultime tre delle (2.244) e dalla (2.240)

che deve aversi $G > 0$ e $k > 0$. Le tre condizioni su E , G e k impongono dei

limiti

teorici al valore di ν . Infatti si ha:

$$G > 0$$

E

$$2(1 + \nu)$$

$$> 0 \Rightarrow \nu > -1$$

$$k > 0$$

E

$$(1 - 2\nu)$$

$$> 0 \Rightarrow \nu < 0.5$$

1

2

$$(2.256)$$

e quindi:

$$-1 < \nu < 0.5$$

1

2

$$(2.257)$$

I limiti definiti nella (2.257) sono detti teorici in quanto valori negativi di ν sono stati

ottenuti solo in laboratorio. Tutti i materiali utilizzati nella grande maggioranza delle

applicazioni ingegneristiche presentano valori di ν non negativi.

2.7 Criteri di resistenza

L'ipotesi di comportamento elastico lineare risulta valida per valori limitati dello stato

tensionale. Oltre una certa soglia il modello matematico deve tener conto dei fenomeni

200 G. Alfano - Appunti di Scienza delle Costruzioni

di plasticizzazione e di frattura nel materiale. In questa sezione si studieranno alcuni

criteri, detti 'criteri di resistenza', utilizzati per definire il cosiddetto dominio elastico,

costituito dall'insieme degli stati tensionali per i quali risulta valida l'ipotesi di elasticità

lineare.

Si parte dall'analisi dei risultati di una prova di trazione su una barra di acciaio dolce,

quali quelle che si utilizzano per le armature di rinforzo del calcestruzzo armato (figura

2.35).



F

Figura 2.35: Prova di trazione di una barra di acciaio dolce.

Per effetto della forza di trazione F applicata si ottiene uno stato tensionale monoassiale

con l'unica tensione principale non nulla pari a $\sigma = F/A$, essendo A l'area della sezione trasversale della barra. Misurando la dilatazione lineare Δl nella

direzione longitudinale si ottiene un diagramma $\sigma - \Delta l$ simile a quello riportato in figura

2.36. Si

ricosce un primo ramo elastico lineare, la cui pendenza fornisce il valore del modulo

di Young del materiale, fino ad un valore σ_y della tensione, detto tensione di snervamento,

ed un corrispondente valore ϵ_y della deformazione. Segue un ramo pressoché piatto

del diagramma in cui la deformazione aumenta per un valore praticamente costante della

tensione pari a σ_y . Si riscontra poi un successivo incrudimento del materiale e quindi

la rottura.

ϵ_y

σ_y

α

$\tan \alpha = E$

ϵ_p

σ

ϵ

B

A

C

D

rottura

Figura 2.36: Curva $\sigma - \epsilon$ per una barra di acciaio dolce.

La deformazione ϵ_y per un acciaio duro è dell'ordine di 0.001 – 0.002 ed il corrispondente

valore della tensione di snervamento dell'ordine di 200 – 400 MPa. Il ramo

BCD della curva corrisponde alla parte della prova in cui all'interno del materiale si

hanno grandi deformazioni plastiche. Scaricando il provino in questa fase si

rileva una pendenza in fase di scarico praticamente uguale a quella misurata in fase elastica e, per

$\epsilon = 0$, un valore residuo di deformazione corrispondente alla deformazione plastica

G. Alfano - Meccanica del Continuo 201

irreversibile ϵ_p che si è avuta fino a quel punto durante il carico. La rottura si ha per

valori della deformazione plastica dell'ordine di 0.2, ovvero del 20%.

Per altri materiali prove di trazione e di compressione in regime monoassiale forniscono

risultati qualitativamente e quantitativamente piuttosto diversi e si tralascia in questa sede un studio approfondito di tali aspetti. Ci si limita a sottolineare che

per la

maggior parte dei materiali è possibile, attraverso delle prove in regime monoassiale,

definire dei valori limite delle tensioni a trazione σ_t ed a compressione σ_c ed un intervallo

$[-\sigma_c, \sigma_t]$ entro il quale si può assumere valida l'ipotesi di comportamento elastico lineare. Tale intervallo rappresenta il dominio elastico nel caso di uno stato

tensionale
monoassiale.

Si definisce 'criterio di resistenza' un criterio con il quale, a partire dall'intervallo

$[-c, t]$ valido per stati monoassiali, si definisce un dominio elastico nello spazio delle

tensioni, ovvero dei tensori simmetrici del secondo ordine. Si prenderanno in considerazione

materiali isotropi, per i quali il dominio elastico può esprimersi mediante una funzione f , detta 'funzione di plasticizzazione', che dipende solamente dalle tensioni

principali $\sigma_1, \sigma_2, \sigma_3$ del tensore delle tensioni, e non dalle rispettive direzioni principali.

In altre parole due stati tensionali aventi diverse direzioni principali ma tensioni principali

uguali sono equivalenti ai fini dell'appartenenza o meno al dominio elastico. Lo studio dei criteri di resistenza isotropi può dunque condursi con riferimento allo spazio

tridimensionale delle tensioni principali. Per i criteri che si studieranno il dominio elastico

è un insieme convesso di tale spazio che contiene al suo interno l'origine, ovvero

lo stato tensionale nullo.

Un stato tensionale è interno al dominio elastico se si ha:

$$f(\sigma_1, \sigma_2, \sigma_3) < 0 \quad (2.258)$$

L'equazione

$$f(\sigma_1, \sigma_2, \sigma_3) = 0 \quad (2.259)$$

definisce la frontiera del dominio elastico, detta anche 'superficie di plasticizzazione'.

Per l'ipotesi di isotropia l'ordine degli argomenti di f non ha influenza sul valore della

funzione e dunque deve aversi:

$$f(\sigma_1, \sigma_2, \sigma_3) = f(\sigma_1, \sigma_3, \sigma_2) = f(\sigma_3, \sigma_1, \sigma_2) = \dots \quad (2.260)$$

2.7.1 Criteri di resistenza per materiali duttili

I materiali duttili sono caratterizzati da valori elevati della deformazione plastica prima

della rottura e tipicamente manifestano valori molto simili, che spesso si assumono

coincidenti, delle tensioni limite a trazione e a compressione t e c in prove monoassiali.

In tal senso essi sono materiali 'isoresistenti' e per essi si può definire un unico valore limite $\sigma_0 = t = c$.

In tali materiali il superamento del limite elastico si accompagna a scorrimenti plastici

che si hanno a causa del raggiungimento di valori di soglia delle tensioni tangenziali

su alcune giaciture. Molto utilizzati nelle applicazioni sono i criteri di 'Tresca' e di 'von

Mises'.

202 G. Alfano - Appunti di Scienza delle Costruzioni

Criterio di Tresca

Secondo il criterio di Tresca si ha plasticizzazione in un punto quando la massima tensione

tangenziale τ_{max} in quel punto raggiunge un valore limite. Dalla teoria dei cerchi di Mohr si ricava (figura 2.37) che la tensione tangenziale massima è pari al raggio del

cerchio principale massimo di Mohr, ovvero:

$$\tau_{max} = \max \left\{ \frac{\sigma_1 - \sigma_2}{2}, \frac{\sigma_2 - \sigma_3}{2}, \frac{\sigma_3 - \sigma_1}{2} \right\} \quad (2.261)$$

,

$$\frac{\sigma_2 - \sigma_3}{2}$$

,

$$\frac{\sigma_3 - \sigma_1}{2}$$

(2.261)

e l'equazione della superficie di plasticizzazione è:

$$f(\sigma_1, \sigma_2, \sigma_3) = \max \left\{ \frac{\sigma_1 - \sigma_2}{2}, \frac{\sigma_2 - \sigma_3}{2}, \frac{\sigma_3 - \sigma_1}{2} \right\} - c = 0 \quad (2.262)$$

,

$$\frac{\sigma_2 - \sigma_3}{2}$$

,

$$\frac{\sigma_3 - \sigma_1}{2}$$

(2.262)

σ_n

τ_{nm}

$\sigma_i, \sigma_j, \sigma_k$

τ_{max}

Figura 2.37: Determinazione della tensione tangenziale massima τ_{max} mediante i cerchi di Mohr.

di Mohr.

La costante c si determina imponendo che nello stato monoassiale in cui $\sigma_1 = \sigma$, $\sigma_2 = \sigma_3 = 0$, ovvero in corrispondenza del limite di plasticizzazione, risulti $f = 0$, ovvero:

$$f(\sigma, 0, 0) =$$

$\frac{\sigma - 0}{2}$

$$- c = 0 \Rightarrow c = \frac{\sigma}{2}$$

,

$\frac{\sigma}{2}$

(2.263)

Sostituendo nella (2.262) e semplificando si ottiene la condizione di plasticizzazione

secondo Tresca:

$$\max \left\{ \frac{\sigma_1 - \sigma_2}{2}, \frac{\sigma_2 - \sigma_3}{2}, \frac{\sigma_3 - \sigma_1}{2} \right\} = c \quad (2.264)$$

Introducendo una tensione scalare equivalente σ_{eq} , che per il criterio di Tresca è data

da:

$$\sigma_{eq} = \max \left\{ \frac{\sigma_1 - \sigma_2}{2}, \frac{\sigma_2 - \sigma_3}{2}, \frac{\sigma_3 - \sigma_1}{2} \right\} \quad (2.265)$$

la condizione di plasticizzazione di Tresca può anche scriversi come segue:

$$\sigma_{eq} = c \quad (2.266)$$

G. Alfano - Meccanica del Continuo 203

Criterio di von Mises

Secondo il criterio di von Mises la plasticizzazione avviene quando la media quadratica

delle tre tensioni tangenziali massime nei tre piani principali raggiunge un valore limite.

L'equazione della superficie di plasticizzazione si scrive allora come segue:

$$f(\sigma_1, \sigma_2, \sigma_3) =$$

$$\frac{1}{3}$$

$$(\sigma_1 - \sigma_2)^2 +$$

$$(\sigma_2 - \sigma_3)^2 +$$

$$(\sigma_3 - \sigma_1)^2 -$$

$$c = 0 \quad (2.267)$$

$$c = 0 \quad (2.267)$$

$$c = 0 \quad (2.267)$$

$$c = 0 \quad (2.267)$$

La costante c si determina ancora imponendo che nello stato monoassiale in cui $\sigma_1 = \sigma$,

$\sigma_2 = \sigma_3 = 0$ risulti $f = 0$, ovvero:

$$f(\sigma, 0, 0) =$$

$$\frac{1}{3}$$

$$(\sigma - 0)^2 +$$

$$0^2 +$$

$$0^2 -$$

$$c =$$

$$c =$$

$$c =$$

$$c =$$

$$3\sigma^2 - c = 0 \Rightarrow c =$$

$$c =$$

$$3\sigma^2$$

$$(2.268)$$

Sostituendo nella (2.267), sviluppando i quadrati sotto la radice quadrata e semplificando

si ottiene la condizione di plasticizzazione secondo von Mises:

$$(\sigma_1 - \sigma_2)^2 +$$

$$(\sigma_2 - \sigma_3)^2 +$$

$$(\sigma_3 - \sigma_1)^2 =$$

$$3\sigma_{eq}^2 \quad (2.269)$$

Introducendo la tensione scalare equivalente σ_{eq} secondo von Mises:

$$\sigma_{eq} =$$

$$\sigma_{eq} =$$

$$\sigma_{eq} =$$

$$\sigma_{eq} = \sqrt{\frac{1}{3}[(\sigma_1 - \sigma_2)^2 + (\sigma_2 - \sigma_3)^2 + (\sigma_3 - \sigma_1)^2]} \quad (2.270)$$

la condizione di plasticizzazione di von Mises può anche scriversi mediante la formula

$$(2.266).$$

Gli stati tensionali caratterizzati da $\sigma_{eq} < \sigma_0$ definiscono dunque punti del dominio elastico.

Asse idrostatico e piano deviatorico

Dato uno stato tensionale generico rappresentato in una terna principale dalla matrice:

$$T = \begin{bmatrix} \sigma_1 & 0 & 0 \\ 0 & \sigma_2 & 0 \\ 0 & 0 & \sigma_3 \end{bmatrix}$$

$$\begin{bmatrix} \sigma_1 & 0 & 0 \\ 0 & \sigma_2 & 0 \\ 0 & 0 & \sigma_3 \end{bmatrix}$$

$$\begin{bmatrix} \sigma_1 & 0 & 0 \\ 0 & \sigma_2 & 0 \\ 0 & 0 & \sigma_3 \end{bmatrix}$$

$$\begin{bmatrix} \sigma_1 & 0 & 0 \\ 0 & \sigma_2 & 0 \\ 0 & 0 & \sigma_3 \end{bmatrix}$$

$$\begin{bmatrix} \sigma_1 & 0 & 0 \\ 0 & \sigma_2 & 0 \\ 0 & 0 & \sigma_3 \end{bmatrix}$$

(2.271)

dalla teoria dei cerchi di Mohr si riconosce che aggiungendo uno stato idrostatico $T_{idr} =$

si ottiene:

$$T_0 = T + T_{idr} = 26664$$

$$\sigma_1 + 0 = 0$$

$$\sigma_2 + 0 = 0$$

$$\sigma_3 + 0 = 0$$

$$37775$$

(2.272)

e quindi i centri dei cerchi di Mohr traslano di $\frac{\sigma_i + \sigma_j}{2}$ mentre i raggi non variano:

$$C_{0k} =$$

$$\frac{(\sigma_i + \sigma_j)}{2}$$

$$=$$

$$=$$

$$\frac{\sigma_i + \sigma_j}{2}$$

$$=$$

$$C_k +$$

$$R_{0k} =$$

$$\frac{(\sigma_i - \sigma_j)}{2}$$

$$=$$

$$=$$

$$\frac{\sigma_i - \sigma_j}{2}$$

$$=$$

$$R_k$$

(2.273)

204 G. Alfano - Appunti di Scienza delle Costruzioni

Non variando i raggi non variano le massime tensioni tangenziali nei piani principali,

pari proprio ai raggi, e dunque sia per il criterio di Tresca che per quello di von Mises

non variano né la funzione di plasticizzazione né la eq. In particolare la eq associata

ad uno stato tensionale idrostatico è nulla per cui l'asse definito da $\sigma_1 = \sigma_2 = \sigma_3$, detto

'asse idrostatico' ed avente versore $m = (1/\sqrt{3})(1, 1, 1)$ (figura 2.38), non incontra

mai la superficie di plasticizzazione che dunque risulta essere una superficie cilindrica

parallela a tale asse.

asse idrostatico

m

$$\sigma_3$$

$$\sigma_1$$

$$\sigma_2$$

$$\sigma_1 = \sigma_2 = \sigma_3$$

piano deviatorico

Figura 2.38: Asse idrostatico e piano deviatorico.

Il piano passante per l'origine ed ortogonale ad m è detto 'piano deviatorico'.

Tale

piano contiene tutti gli stati tensionali caratterizzati dal primo invariante di tensione

nulla, ovvero $\text{tr}T = 0$ ed il nome deviatorico deriva dal fatto che il tensore T può

essere decomposto univocamente come somma della sua 'parte sferica' $sphT$ e della

sua 'parte deviatorica' $devT$:

$$T = sphT + devT \quad sphT =$$

1

3

$$(trT) I \quad devT = T -$$

1

3

$$(trT) I \quad (2.274)$$

Si può facilmente mostrare che il legame elastico associa alla parte sferica di T un

tensore di deformazione idrostatico, caratterizzato da variazione di volume ma non di

forma, ovvero da scorrimenti tutti nulli, ed alla parte deviatorica di T un tensore di

deformazione caratterizzato da variazione di volume nulla e quindi solo da variazione

di forma.

Il piano deviatorico definisce stati tensionali per i quali la parte sferica è

nulla per cui $T = devT$.

Le intersezioni delle superfici di plasticizzazione con il piano deviatorico sono per il

criterio di Tresca e di von Mises rispettivamente un esagono regolare ed un cerchio ad

esso circoscritto. In figura 2.39 sono disegnate tali intersezioni ed indicati con σ_1, σ_2 e

σ_3 le proiezioni sul piano deviatorico degli assi 1, 2 e 3.

Le intersezioni delle superfici di plasticizzazione con il piano $\sigma_3 = 0$ definiscono il dominio di plasticizzazione per il caso piano di tensione. Esse sono riportate in

figura

2.40. Si può osservare dalle figure 2.39-2.40 che il criterio di Tresca opera a vantaggio di

sicurezza rispetto a quello di von Mises in quanto un punto esterno all'esagono di Tresca

ed interno all'ellisse di von Mises è un punto esterno al dominio elastico secondo Tresca

ed interno secondo von Mises.

G. Alfano - Meccanica del Continuo 205

σ_3'

σ_1'

σ_2'

von Mises

Tresca

σ_0

2

σ_{02}

3

Figura 2.39: Intersezione delle superfici di plasticizzazione con il piano deviatorico.

σ_1

σ_2
 σ_0
 σ_0
 σ_0
 σ_0
 σ_0
 $\sigma_0/2$
 $\sigma_0/3$

Figura 2.40: Intersezione delle superfici di plasticizzazione con il piano $\sigma_3 = 0$.
 Il coefficiente di sicurezza

Un ruolo importante in ogni calcolo ingegneristico, sia di progetto che di verifica, è giocato dai cosiddetti coefficienti di sicurezza. Nei riguardi del limite di plasticizzazione in un punto il coefficiente di sicurezza per un certo stato tensionale è dato dal fattore amplificativo (positivo) da applicare allo stato tensionale affinché si raggiunga il limite di plasticizzazione. Detto s tale coefficiente esso si calcola imponendo che risulti:

$$s_{eq}(\sigma_1, \sigma_2, \sigma_3) = s_{eq}(1, 2, 3) = s_{eq} = \sigma_0 / \sigma = \quad (2.275)$$

Indicando con s il coefficiente di sicurezza richiesto nel particolare caso in esame, e definendo tensione ammissibile σ_{am} il valore $\sigma_{am} = \sigma_0 / s$, si ricava che per avere un coefficiente di sicurezza non minore di s deve aversi:

$$\sigma_{am} \quad (2.276)$$

La relazione (2.276) è alla base del cosiddetto metodo di verifica 'delle tensioni ammissibili'.

Il coefficiente di sicurezza richiesto è sempre maggiore dell'unità e dipende da moltissimi fattori quali le incertezze sempre presenti riguardo l'effettiva resistenza dei materiali, l'entità delle azioni, le approssimazioni della modellazione matematica, il tipo di struttura in esame.

2.7.2 Il criterio della curva intrinseca

Il criterio della curva intrinseca è valido sia per i materiali duttili che per quelli fragili.

Esso si basa sulla determinazione sperimentale di una curva limite nel riferimento di

Mohr che delimita la parte del piano, alla sinistra di tale curva, contenente i cerchi di

Mohr corrispondenti a stati elastici del materiale. La curva limite è anche detta 'curva

intrinseca'. Quando come in figura 2.41 i tre cerchi di Mohr sono tutti contenuti a sinistra

della curva intrinseca lo stato tensionale è all'interno del dominio elastico.

Quando,

come in figura 2.42 il cerchio principale massimo contiene punti alla destra della curva intrinseca allora lo stato tensionale è all'esterno del dominio elastico. Quando infine, come in figura 2.43, il cerchio principale massimo è tangente alla curva lo stato tensionale si trova sulla frontiera del dominio elastico.

σ_n

τ_{nm}

Figura 2.41: Stato tensionale interno al dominio elastico.

Il criterio della curva intrinseca presenta il vantaggio, rispetto ad altri criteri, di fornire delle indicazioni sulle giaciture sulle quali si è avuta la crisi. Tali giaciture infatti hanno le normali corrispondenti ai punti di tangenza del cerchio massimo con la curva intrinseca.

Si noti che quando la curva intrinseca degenera in due rette parallele equidistanti dall'asse delle ascisse (figura 2.44), gli stati tensionali elastici sono caratterizzati dall'avere il cerchio principale massimo contenuto tra le due rette e la condizione di tangenza si

G. Alfano - Meccanica del Continuo 207

σ_n

τ_{nm}

Figura 2.42: Stato tensionale esterno al dominio elastico.

σ_n

τ_{nm}

Figura 2.43: Stato tensionale sulla frontiera del dominio elastico.

σ_n

τ_{nm}

Figura 2.44: Curva intrinseca corrispondente al criterio di Tresca.

ottiene quanto il raggio del cerchio massimo è pari alla semidistanza fra le due rette. Si

ottiene in questo caso il criterio di Tresca.

208 G. Alfano - Appunti di Scienza delle Costruzioni

Capitolo 3

IL PROBLEMA DEL DE SAINT VENANT

3.1 Il problema del De Saint Venant

Il De Saint Venant ha ricavato la soluzione esatta del problema dell'equilibrio elastico, definito con il modello di continuo tridimensionale di Cauchy, per un particolare corpo

avente la forma di un cilindro retto e sotto alcune ipotesi geometriche e meccaniche.

Tale soluzione è di estrema utilità nelle applicazioni in quanto, con buona approssimazione,

essa consente di ricavare lo stato di tensione e di deformazione in ogni punto di una sezione retta di una trave una volta che le caratteristiche della sollecitazione su

essa agenti sono state calcolate mediante la modellazione monodimensionale. Nel seguito non si studierà l'intera soluzione esatta, in termini di spostamenti, deformazioni e tensioni, ricavata dal De Saint Venant. Si esporranno invece le ipotesi di base della teoria e si ricaveranno i risultati più importanti per le applicazioni meccaniche.

3.1.1 Ipotesi della teoria del De Saint Venant

Le ipotesi alla base della teoria del De Saint Venant sono di quattro tipi:

- Ipotesi geometriche:

La configurazione indeformata del solido definisce un cilindro retto. Si assumerà

per esso un sistema di riferimento cartesiano con l'origine coincidente con il baricentro di una base, gli assi x ed y contenuti nel piano contenente tale base e

l'asse z parallelo alle generatrici del cilindro. La lunghezza della trave, ovvero la

distanza tra le basi, è assunta pari a L .

Le ipotesi geometriche sono schematizzate in figura 3.1. Il dominio occupato dal

solido indeformato è indicato con Ω , ed il suo contorno $\partial\Omega$ può essere convenientemente

suddiviso nella superficie laterale $\partial\Omega_l$, e nelle due basi $\partial\Omega_{b1}$ e $\partial\Omega_{b2}$.

Il corpo è inoltre privo di vincoli.

- Ipotesi costitutive, cioè sul comportamento del materiale:

Il materiale è linearmente elastico, omogeneo ed isotropo.

209

210 G. Alfano - Appunti di Scienza delle Costruzioni

x

y

z

L

z

Sezione retta all'ascissa z

Base $z = 0$

Base $z = L$

Figura 3.1: Geometria del solido 'trave'.

- Ipotesi sui carichi:

Le forze di volume sono nulle e la superficie laterale del cilindro è scarica. Il solido è dunque solamente caricato con una distribuzione di forze superficiali agenti sulle due basi che globalmente costituiscono un sistema equivalente a zero.

Si ha dunque:

$$b = 0 \text{ } 8 \times 2$$

$$p = 0 \text{ } 8 \times 2 \text{ } \partial_l$$

(3.1)

- Ipotesi sullo stato tensionale:

Le fibre longitudinali della trave, ovvero parallele all'asse z , si scambiano tra loro

solamente tensioni tangenziali (figura 3.2).

x

y

z

Figura 3.2: Le fibre longitudinali si scambiano solo tensioni tangenziali. Indicando con n la normale ad una qualsiasi giacitura tangente ad una di tali fibre,

in un arbitrario punto interno alla trave, n avrà in generale le prime due componenti

diverse da zero e la terza nulla ($n_z = 0$). L'ipotesi sullo stato tensionale nel solido si traduce nell'affermare che su tale giacitura la tensione normale è nulla,

ovvero:

$$Tn \cdot n = 0 \quad n_z = 0 \quad (3.2)$$

G. Alfano - Il problema del De Saint Venant 211

In componenti si ha:

$$26664$$

$$x \quad y \quad z$$

$$y \quad x \quad z$$

$$z \quad x \quad y$$

$$37775$$

$$26664$$

$$n_x$$

$$n_y$$

$$0$$

$$37775$$

$$\cdot$$

$$26664$$

$$n_x$$

$$n_y$$

$$0$$

$$37775$$

$$= x \quad n_z$$

$$x \quad + \quad y \quad n_{2y}$$

$$+ 2 \quad y \quad n_x \quad n_y = 0 \quad n_x, \quad n_y$$

$$(3.3)$$

Dovendo la relazione precedente essere verificata, per ipotesi, per ogni n_x e per ogni n_y , ponendo $n_x = 1$ e $n_y = 0$ si ottiene che $x = 0$. Ponendo poi $n_x = 0$ e $n_y = 1$ si ricava $y = 0$. Scegliendo infine sia n_x che n_y diversi da zero si ottiene che $xy = 0$.

In definitiva l'ipotesi sullo stato tensionale si sintetizza in componenti nella relazione:

$$x = y = yx = 0 \quad (3.4)$$

Pertanto le uniche componenti non nulle della tensione sono le due componenti tangenziali z_x e z_y , e la componente normale z . In ogni punto della trave, dunque, la matrice delle tensioni rispetto alla base del sistema di riferimento si scrive:

$$T = 26664$$

$$0 \quad 0 \quad z_x$$

$$0 \quad 0 \quad z_y$$

$$z_x \quad z_y \quad z$$

$$37775$$

$$(3.5)$$

Lo stato tensionale è piano. Infatti, assegnata una qualsiasi normale n , si ha:

$$t(n) = 26664$$

$$0 \quad 0 \quad z_x$$

0 0 zy

zx zy z

37775

26664

nx

ny

nz

37775

=26664

zx nz

zy nz

zx nx + zy ny + z nz

37775

=

= nz26664

zx

zy

0

37775

+ (zx nx + zy ny + z nz)26664

0

0

1

37775

= z + k

(3.6)

avendo posto

= nz = zx nx + zy ny + z nz z =26664

zx

zy

0

37775

=26664

xz

yz

0

37775

(3.7)

Si noti che in seguito la simmetria della matrice delle tensioni viene utilizzata sostituendo τ_{xy} , τ_{xz} e τ_{yz} con τ_{yx} , τ_{zx} e τ_{zy} .

212 G. Alfano - Appunti di Scienza delle Costruzioni

Pertanto, per ogni n il vettore tensione $t(n)$ è combinazione lineare di k e di z (figura 3.3).

x

y

z

z

i

k

j

τ_z

Piano delle tensioni

Figura 3.3: Piano delle tensioni in un punto della trave.

3.1.2 Stato tensionale sulla generica sezione retta

Si seziona la trave in due parti con un piano parallelo a xy , alla generica ascissa z , e si

considera la parte che va dalla base $z = 0$ all'ascissa z (figura 3.4). In ogni punto del sezionamento la normale uscente dalla parte considerata coincide con k , ovvero con il versore dell'asse z .

Il vettore tensione agente nel generico punto della sezione retta sarà dunque dato da

(figura 3.4):

$$t(k) = T_k = 26664$$

$$0 \quad 0 \quad z_x$$

$$0 \quad 0 \quad z_y$$

$$z_x \quad z_y \quad z$$

$$37775$$

$$26664$$

$$0$$

$$0$$

$$1$$

$$37775$$

$$= 26664$$

$$z_x$$

$$z_y$$

$$z$$

$$37775$$

$$(3.8)$$

e risulta la composizione della tensione normale z , agente nella direzione k , e della

componente tangenziale, ovvero del vettore z introdotto nella (3.7):

$$t(k) = z_k + z \quad (3.9)$$

Si verifica, pertanto, che z e k individuano il piano della tensione (figura 3.3).

Per calcolare le tensioni principali e disegnare i tre cerchi principali di Mohr, conviene

adottare un nuovo sistema di riferimento x_0, y_0, z , ottenuto ruotando il sistema x, y, z

intorno all'asse z in modo che y_0 sia parallelo ed equiverso a z (figura 3.5).

Posto

$$\text{allora } z = k \quad z_k = p \quad z$$

$$z_x + z$$

z_y , la matrice delle tensioni rispetto al riferimento x_0, y_0, z

si indicherà con T_0 ed è data da:

$$T_0 = 26664$$

$$0 \quad 0 \quad 0$$

$$0 \quad 0 \quad z$$

$$0 \quad z \quad z$$

$$37775$$

$$(3.10)$$

x
 y
 z
 z
 i
 k
 j
 τ_{zx}
 σ_z
 τ_{zy}

Figura 3.4: Vettore tensione in un punto della sezione retta.

x
 y
 z
 z
 $\tau_z k$
 x'
 y'
 σ_z
 τ_z
 x
 x'
 $y' y$

Figura 3.5: Sistema di riferimento x_0, y_0, z .

Si riconosce dunque che x_0 è una direzione principale a cui è associata una tensione principale nulla. Pertanto, un cerchio di Mohr principale si ottiene facendo variare le normali nel piano y_0z , ovvero considerando le normali a tutte le giaciture parallele alla direzione principale x_0 , e quindi dal minore ottenuto dalla seconda e terza riga e dalla seconda e terza colonna di T_0 , che si indicherà con T_{0yz} :

$$T_{0yz} = \begin{bmatrix} \sigma_z & \tau_z \\ \tau_z & 0 \end{bmatrix}$$

$0 z$

$z z$

35

(3.11)

214 G. Alfano - Appunti di Scienza delle Costruzioni

Si ottiene un cerchio di Mohr con centro di ascissa c e raggio R dati da:

$$c = \frac{\sigma_z + 0}{2}$$

$$= \frac{\sigma_z}{2}$$

$$= \frac{\sigma_z}{2}$$

$$= \frac{\sigma_z}{2}$$

$$= \frac{\sigma_z}{2}$$

$$= \frac{\sigma_z}{2}$$

$$R = \sqrt{\left(\frac{\sigma_z}{2}\right)^2 + \tau_z^2}$$

$$= \sqrt{\frac{\sigma_z^2}{4} + \tau_z^2}$$

$$= \sqrt{\frac{\sigma_z^2}{4} + \tau_z^2}$$

$$z = r^2$$

z

4

$$+ z^2$$

$$z \quad (3.12)$$

Gli altri due cerchi di Mohr principali si ottengono tenendo conto della tensione principale

$\sigma_0 = 0$. I tre cerchi principali ottenuti sono disegnati in figura 3.6.

$$\sigma_z \quad \sigma_z$$

2

$$\tau_z$$

$$\sigma_1$$

$$\sigma_2 \quad \sigma_3 \quad \sigma_n$$

$$\tau_{nm}$$

R

c

Figura 3.6: Cerchi principali di Mohr relativi allo stato tensionale in un punto della trave.

Le tre tensioni principali sono dunque:

$$\sigma_1 = 0 \quad \sigma_2 =$$

z

$$2 - r^2$$

z

4

$$+ z^2$$

$$z \quad \sigma_3 =$$

z

2

$$+ r^2$$

z

4

$$+ z^2$$

$$z \quad (3.13)$$

Si lascia come esercizio la verifica che, adottando i criteri di Tresca e di von Mises,

le tensioni equivalenti sono date rispettivamente da:

Criterio di Tresca: $\sigma_{eq} = \rho_2$

$$z + 4 z^2$$

z

Criterio di von Mises: $\sigma_{eq} = \rho_2$

$$z + 3 z^2$$

z

$$(3.14)$$

3.1.3 Equazioni di equilibrio interno

Essendo le forze di volume nulle ($b = 0$), e tenendo conto delle (3.4), le equazioni

differenziali di equilibrio interno si specializzano nelle seguenti relazioni:

$$\text{div} T + b = 0$$

8>

$$\sigma_{xx} > \sigma_{yy} > \sigma_{zz} > \tau_{xy} > \tau_{yz} > \tau_{zx} > :$$

@zx

$\frac{\partial z}{\partial x}$

$= 0$

$\frac{\partial z}{\partial y}$

$= 0$

$\frac{\partial z}{\partial x}$

$= 0$

$\frac{\partial z}{\partial x}$

$= 0$

$\frac{\partial z}{\partial y}$

$= 0$

$\frac{\partial z}{\partial x}$

$= 0$

$\frac{\partial z}{\partial x}$

$= 0$

(3.15)

G. Alfano - Il problema del De Saint Venant 215

Le prime due di tali relazioni scalari rappresentano le equazioni di equilibrio alla traslazione

lungo gli assi x e y del generico volume elementare del solido e possono anche scriversi:

$\frac{\partial z}{\partial x}$

$= 0$

(3.16)

Esse si traducono nel fatto che il campo delle z non dipende da z , e dunque si ripete

costantemente su ogni sezione retta della trave.

La terza equazione, che rappresenta l'equazione di equilibrio alla traslazione lungo

l'asse z del generico volume elementare del solido, può anche scriversi:

$\text{div } z = -$

$\frac{\partial z}{\partial x}$

$= 0$

(3.17)

3.1.4 Condizioni di equilibrio sulla superficie laterale

Si ricorda che le condizioni di equilibrio sul contorno ∂ di un dominio Ω si scrivono:

$T_n = p \delta_{ij} n_j$ (3.18)

essendo p le forze di superficie applicate.

Sulla superficie laterale del solido la normale ha la terza componente nulla ($n_z = 0$)

ed inoltre si ha $p = 0$ in quanto le forze superficiali sulla superficie laterale sono nulle

per ipotesi. Dunque, tenendo anche conto dell'espressione di T , si ottiene:

$T_{ij} = \sigma_{ij} n_j$

$\sigma_{xx} n_x$

$\sigma_{yy} n_y$

$\sigma_{zx} n_x$

$\sigma_{zy} n_y$

$\sigma_{zz} n_z$

n_x

n_y

$$\begin{aligned}
& 0 \\
& 37775 \\
& =26664 \\
& 0 \\
& 0 \\
& 0 \\
& 37775 \\
&) \\
& 26664 \\
& 0 \\
& 0 \\
& z_x n_x + z_y n_y \\
& 37775 \\
& =26664 \\
& 0 \\
& 0 \\
& 0 \\
& 37775 \\
& (3.19)
\end{aligned}$$

Le prime due componenti della relazione vettoriale ottenuta rappresentano delle identità,

mentre la terza può scriversi in modo più compatto:

$$z \cdot n = 0 \quad (3.20)$$

Essa equivale ad affermare che le tensioni z agenti sul contorno della sezione retta

devono essere tangenti al contorno stesso (figura 3.7).

Figura 3.7: Sul contorno della sezione i vettori z risultano tangenti al contorno stesso.

216 G. Alfano - Appunti di Scienza delle Costruzioni

3.1.5 Caratteristiche della sollecitazione

La risultante dei vettori tensione sulla sezione retta all'ascissa z considerata in precedenza

è data da:

$$\begin{aligned}
R(z) &= Z_A \\
t(k) dA &= \\
& 2666666664 \\
& Z_A \\
& z_x dA \\
& Z_A \\
& z_y dA \\
& Z_A \\
& z dA \\
& 3777777775 \\
& =26664 \\
& T_x \\
& T_y \\
& N \\
& 37775 \\
& (3.21)
\end{aligned}$$

Le prime due componenti, ovvero T_x e T_y , sono le componenti dello sforzo di taglio T

$$T = \int_A z \, dA = 266666664$$

$$Z_A = \int_A z_x \, dA = 377777775$$

$$Z_A = \int_A z_y \, dA = 0$$

(3.22)

che dunque agisce nel piano della sezione. La terza componente, agente nella direzione dell'asse z, è lo sforzo normale:

$$N = \int_A z \, dA \quad (3.23)$$

x
y
z
z
k
N
T_x
T_y
G

Figura 3.8: Risultante dei vettori tensione sulla sezione retta.

Il momento risultante rispetto al baricentro G della sezione retta, di posizione:

$$x_G = 266664$$

$$0$$

$$0$$

$$z$$

$$37775$$

(3.24)

G. Alfano - Il problema del De Saint Venant 217

è dato da:

$$M_G = \int_A [(x - x_G) \times t(k)] \, dA \quad (3.25)$$

Si ha inoltre (figura 3.9):

$$r = x - x_G = 266664$$

x
y
z
37775
—
26664
0
0
z
37775
=26664

x
y

$$\begin{aligned}
& 0 \\
& 37775 \\
(3.26) & \text{ e quindi:} \\
& (x - x_G) \times t(k) = 26664 \\
& x \\
& y \\
& 0 \\
& 37775 \\
& x \\
& 26664 \\
& z_x \\
& z_y \\
& z \\
& 37775 \\
& = \det 26664 \\
& i \ j \ k \\
& x \ y \ 0 \\
& z_x \ z_y \ z \\
& 37775 \\
& = \\
& = (z_y) i - (z_x) j + (z_y x - z_x y) k = 26664 \\
& z_y \\
& -z_x \\
& z_y x - z_x y \\
& 37775 \\
(3.27) &
\end{aligned}$$

$$\begin{aligned}
& x \\
& y \\
& z \\
& z \\
& \mathbf{x}_G \\
& \mathbf{x} \\
& \mathbf{x} \mathbf{x}_G \mathbf{r} = \\
& G
\end{aligned}$$

Figura 3.9: Vettore posizione rispetto al baricentro G della sezione retta. Sostituendo la (3.27) nella (3.25), si ha:

$$\begin{aligned}
M & = 26664 \\
M_x & \\
M_y & \\
M_z & \\
& 37775 \\
& \text{con:} \\
& 8 > \\
& >>>><>>>>>: \\
M_x & = \int z_A \\
& z_y dA \\
M_y & = -\int z_A \\
& z_x dA \\
M_z & = \int z_A \\
& (z_y x - z_x y) dA \\
(3.28) &
\end{aligned}$$

218 G. Alfano - Appunti di Scienza delle Costruzioni

Le prime due componenti sono associate alla sollecitazione di flessione, e rappresentano

dunque le due componenti del 'momento flettente' M_f , mentre la terza componente

è associata alla sollecitazione di 'torsione', ed è dunque detta 'momento torcente' ed

indicata anche con M_t :

$$M_f = 26664$$

$$M_x$$

$$M_y$$

$$0$$

$$37775$$

$$M_t = M_z \quad (3.29)$$

$$x$$

$$y$$

$$z$$

$$z$$

$$\mathbf{k}$$

$$\mathbf{M} =$$

$$M_x$$

$$M_y$$

$$M_t$$

$$G$$

Figura 3.10: Momento risultante dei vettori tensione sulla sezione retta rispetto al

baricentro G della sezione.

Riassumendo, le caratteristiche della sollecitazione agente sulla sezione sono rappresentate

dallo sforzo normale N (che è uno scalare), dal momento flettente M_f (che è un vettore parallelo al piano xy avente per componenti M_x e M_y), lo sforzo di taglio T

(che è un vettore parallelo al piano xy avente per componenti T_x e T_y) ed il momento

G. Alfano - Il problema del De Saint Venant 219

torcente M_t (che è uno scalare):

- Sforzo normale : $N = \int_A z \, dA$

$$z \, dA$$

- Momento flettente : $M_f = 26664$

$$M_x$$

$$M_y$$

$$0$$

$$37775$$

con: $\mathbf{8} \gg \langle \rangle \gg$:

$$M_x = \int_A z \, dA$$

$$z \, y \, dA$$

$$M_y = - \int_A z \, dA$$

$$z \, x \, dA$$

- Taglio : $T = 26664$

$$T_x$$

$$T_y$$

0

37775

con: $\int \int_A z_x z_y dA$:

$$T_x = \int_A z_y dA$$

$$T_y = \int_A z_x dA$$

$$T_z = \int_A z dA$$

$$M_t = \int_A (z_x y - z_y x) dA$$

• Momento torcente : $M_t = \int_A (z_x y - z_y x) dA$

$$(z_x y - z_y x) dA$$

(3.30)

3.1.6 Postulato del De Saint Venant

La possibilità di usare i risultati della teoria del De Saint Venant per ricavare lo stato di tensione e di deformazione in ogni punto di una sezione retta di una trave una volta note le caratteristiche della sollecitazione è dovuta al seguente postulato:

Postulato 5 Sistemi di forze staticamente equivalenti agenti sulle basi della trave producono, con ottima approssimazione, gli stessi effetti su tutta la lunghezza della trave, ad eccezione di zone di estensione limitata in prossimità delle basi stesse.

La distanza lungo z dalle basi alla quale si 'estinguono' le differenze tra gli effetti di sistemi di forze staticamente equivalenti agenti sulle basi stesse è detta 'distanza di estinzione', e si indicherà con d_e . Per la maggior parte delle sezioni rette delle travi essa è circa pari alla dimensione massima della sezione retta stessa².

Si faccia riferimento alla figura 3.11 in cui è indicata una stessa trave soggetta sulle basi a tre sistemi diversi di forze autoequilibrati. Nel caso in figura, si assuma che su ciascuna base i tre sistemi di forze abbiano tutti risultante nulla e momento risultante uguale. In base al postulato di De Saint Venant, possono essere significative le differenze tra gli effetti (tensioni e deformazioni) nel punto P_1 posto ad una distanza dalla base sensibilmente minore della distanza di estinzione d_e . Viceversa, nel punto P_2 , posto ad una distanza sensibilmente maggiore di d_e , tali differenze possono assumersi trascurabili dal punto di vista ingegneristico³.

²Questo può non essere valido in alcuni casi che riguardano le sezioni sottili aperte.

³E' utile sottolineare che una giusta interpretazione del postulato richiede una certa sensibilità ingegneristica e non può prescindere dal problema in esame.

220 G. Alfano - Appunti di Scienza delle Costruzioni

d_e

P_1

P_1

$P_1 P_2$

P_2

P_2

Figura 3.11: Postulato di De Saint Venant: sistemi di forze applicati sulle basi diversi

ma staticamente equivalenti.

Si vedrà in seguito che la soluzione esatta della teoria del De Saint Venant prevede

particolari distribuzioni di tensioni su ciascuna sezione retta e quindi anche di forze

superficiali sulle basi. Dal postulato di De Saint Venant si deduce quindi che, laddove in

alcuni problemi la distribuzione delle forze realmente applicate sulle basi differisce dalla

soluzione esatta, la soluzione del De Saint Venant non può essere adottata come base

per il progetto e la verifica della parte della struttura prossima alla base stessa e che gli

effetti locali vanno accuratamente studiati con modellazioni matematiche e numeriche

più raffinate eventualmente affiancate o sostituite da adeguate indagini sperimentali.

Un'osservazione analoga vale per le zone delle travi in prossimità di forze e coppie

concentrate.

3.2 Elementi di geometria delle aree

Si consideri un dominio connesso del piano, ovvero dello spazio euclideo bidimensionale,

che rappresenta la sezione retta di una trave (figura 3.12). Sia A l'area della sezione

e si assuma inoltre un'origine O nel piano ed un riferimento cartesiano $\{O, x, y\}$, in

modo da individuare ogni suo punto mediante il vettore posizione r rispetto all'origine,

di componenti x e y . Siano inoltre $\{i, j\} = \{e_1, e_2\}$ i versori degli assi x ed y .

3.2.1 Momento statico

Si definisce momento statico della sezione rispetto ad un punto Q , di posizione r_Q e si

indica con S_Q , il seguente vettore:

$$S_Q = \int_A (r - r_Q) dA$$

$$(3.31)$$

G. Alfano - Il problema del De Saint Venant 221

O

r

x

y

Figura 3.12: Sezione retta.

In componenti si ha:

$$S_0 = 24$$

$$S_x$$

$$S_y$$

$$= 35$$

$$= 26664$$

$$Z_A$$

$$\int x \, dA$$

$$Z_A$$

$$\int y \, dA$$

$$37775$$

$$(3.32)$$

3.2.2 Baricentro

Si definisce baricentro della sezione, e si indica con G, l'unico punto della sezione rispetto a cui il momento statico è nullo. Da tale definizione, indicando con r_G il vettore

posizione di G, si ottiene:

$$S_G = 0 \Rightarrow \int (r - r_G) \, dA = 0$$

$$\int r \, dA - r_G \int dA = 0$$

$$S_O - r_G A = 0 \quad (3.33)$$

dove S_O indica, in base alla (3.31), il momento statico della sezione rispetto all'origine

O. La posizione del baricentro è data dunque da:

$$r_G = \frac{S_O}{A}$$

$$(3.34)$$

La (3.34) può anche essere utilizzata per ricavare il momento statico rispetto ad O

dell'area A, nota la posizione del baricentro G:

$$S_O = r_G A \quad (3.35)$$

3.2.3 Tensore e momenti d'inerzia

Si assuma l'origine coincidente con il baricentro della sezione. Si definisce tensore

d'inerzia baricentrico, e si indica con J_G , il tensore simmetrico:

$$J_G = \int (r^2) \, dA \quad (3.36)$$

222 G. Alfano - Appunti di Scienza delle Costruzioni

In componenti si ha:

$$J_G = \int (x^2 + y^2) \, dA$$

$$J_{Gx} = \int y^2 \, dA$$

$$J_{Gy} = \int x^2 \, dA$$

$$J_{Gxy} = - \int xy \, dA$$

$$J_{Gx} = \int y^2 \, dA$$

$$J_{Gy} = \int x^2 \, dA$$

$$J_{Gxy} = - \int xy \, dA$$

$$J_G = \int (x^2 + y^2) \, dA$$

$$J_{Gx} = \int y^2 \, dA$$

$$J_{Gy} = \int x^2 \, dA$$

$$J_{Gxy} = - \int xy \, dA = 24$$

$$J_{Gx} = \int y^2 \, dA$$

$$J_{Gxy} = - \int xy \, dA$$

$$J_{Gy} = \int x^2 \, dA$$

$$(3.37)$$

avendo posto:

$$J_{Gx} = \int_A x^2 dA$$

$$J_{Gy} = \int_A y^2 dA$$

$$J_{Gxy} = \int_A xy dA \quad (3.38)$$

I termini J_{Gx} e J_{Gy} sono i 'momenti d'inerzia' rispettivamente lungo x e y. Il termine

J_{Gxy} è detto 'momento d'inerzia centrifugo'.

Si definisce 'momento d'inerzia polare' rispetto al baricentro lo scalare J_{Gp} dato da:

$$J_{Gp} = \int_A (x^2 + y^2) dA \quad (3.39)$$

Dalla definizione si ha:

$$J_{Gp} = \int_A x^2 dA + \int_A y^2 dA = J_{Gx} + J_{Gy} \quad (3.40)$$

Rotazione del riferimento

Si consideri ora un sistema di riferimento cartesiano con origine ancora in G ed assi x_0

ed y_0 ottenuti ruotando x ed y di un angolo α , assunto positivo se antiorario. Si indicherà

inoltre con n il versore dell'asse x_0 e con m quello dell'asse y_0 . Le componenti di n e

m rispetto alla base $\{i, j\}$ sono:

$$n_x = \cos \alpha$$

$$n_y = \sin \alpha$$

$$m_x = -\sin \alpha$$

$$m_y = \cos \alpha \quad (3.41)$$

Dette x e y le coordinate di un punto P del piano rispetto al sistema $\{G, x, y\}$, le

coordinate rispetto al sistema ruotato $\{G, x_0, y_0\}$ sono date da:

$$x_0 = r \cdot \cos \alpha \quad y_0 = r \cdot \sin \alpha \quad (3.42)$$

La matrice J_{0G} associata al tensore d'inerzia rispetto al nuovo sistema di riferimento

ha componenti

$$J_{0G} = \begin{bmatrix} J_{Gn} & J_{Gnm} \\ J_{Gnm} & J_{Gm} \end{bmatrix} \quad (3.43)$$

dove:

$$J_{Gn} = \int_A x_0^2 dA$$

$$J_{Gm} = \int_A y_0^2 dA$$

$$J_{Gnm} = \int_A x_0 y_0 dA \quad (3.44)$$

G. Alfano - Il problema del De Saint Venant 223

G

r

x

y

α n m

i

x' j

y'

r n

r m

Figura 3.13: Sistema di riferimento ruotato.

Dalle formule del cambiamento di base si ha:

$$J_{0G} = QJ_GQ^t \quad (3.45)$$

dove la matrice Q è data da:

$\cos \quad \sin$

$$\begin{matrix} -\sin & \cos \\ \sin & \cos \end{matrix} \quad (3.46)$$

Sostituendo nella (3.43) e svolgendo i passaggi si ottiene:

$$J_{Gn} = J_{Gx} \cos^2 + 2 J_{Gxy} \cos \sin + J_{Gy} \sin^2$$

$$J_{Gnm} = (J_{Gy} - J_{Gx}) \sin \cos + J_{Gxy} (\cos^2 - \sin^2)$$

(3.47)

Si verifica facilmente che tali relazioni si possono scrivere come segue:

$$J_n = J_{Gn} \cdot n$$

$$J_{Gnm} = J_{Gm} \cdot n = J_{Gn} \cdot m$$

(3.48)

Cerchio di Mohr

Le relazioni (3.48) sono analoghe alle seguenti altre:

$$n = T_{xy} n \cdot n \quad n_m = T_{xy} n \cdot m \quad \text{con: } T_{xy} = 24$$

$x \quad xy$

$xy \quad y$

35

(3.49)

Queste ultime forniscono la componente normale n in direzione n e quella tangenziale

n_m in direzione m sulla giacitura di normale n , quando la normale stessa ruota nel

224 G. Alfano - Appunti di Scienza delle Costruzioni

piano xy . Tale analogia consente di applicare la teoria dei cerchi di Mohr al problema

in esame senza doverla sviluppare di nuovo. In particolare, riportando in un riferimento

cartesiano la componente J_{Gn} sulle ascisse e quella J_{Gnm} sulle ordinate, al ruotare del

vettore n il punto ottenuto descrive un cerchio, che ha centro nel punto di ascissa c ed

ordinata nulla, e raggio R , con c ed R dati da (figura 3.14):

$c =$

$$\frac{J_{Gx} + J_{Gy}}{2}$$

$R =$

$$\frac{1}{2} \sqrt{(J_{Gx} - J_{Gy})^2 + 4 J_{Gxy}^2}$$

$+ J_{Gxy}^2$

(3.50)

$$J_{Gnm}$$

$c =$

$J_G n$
 $J_G x$
 $J_G xy$
 $J_G y$
 $J + G_x J_G y$
 2
 $J 2\alpha_p G \eta$
 $J_{\alpha_p G \xi}$
 η
 ξe_ξ
 e_η
 α_p

Figura 3.14: Determinazione grafica delle direzioni principali e dei momenti principali

d'inerzia attraverso il Cerchio di Mohr.

Assi principali d'inerzia

Dalla costruzione del cerchio di Mohr si deduce che esiste un valore ρ dell'angolo

per cui si annulla il momento centrifugo J_{Gnm} . Poiché:

$\theta < \pi/2$:

$$J_{Gnm} = J_G n \cdot m = 0$$

$$n \cdot m = 0 \Rightarrow J_G n = -m \quad (3.51)$$

si deduce che il versore n ruotato di ρ rispetto a x è un autovettore di J_G .

Analogamente

si vede che il versore m ruotato di ρ rispetto a y è anch'esso un autovettore di J_G .

Il riferimento $\{G, \eta, \xi\}$ ruotato di ρ rispetto a $\{G, x, y\}$ è detto 'riferimento principale

d'inerzia'. Le rette η ed ξ sono dette 'assi principali d'inerzia', le loro direzioni sono dette 'direzioni principali d'inerzia' ed i momenti J_G e J_G sono detti 'momenti

principali d'inerzia'. Essendo nullo il momento centrifugo ($J_G = 0$), la matrice

G. Alfano - Il problema del De Saint Venant 225

d'inerzia J_p

J_G rispetto al riferimento principale è diagonale:

$$J_p$$

$$J_G = 24$$

$$J_G 0$$

$$0 J_G$$

$$35$$

$$(3.52)$$

I momenti principali d'inerzia rappresentano dunque gli autovalori del tensore

d'inerzia

e, attraverso la costruzione del cerchio di Mohr, si ottengono come intersezione del

cerchio con l'asse delle ascisse. I corrispondenti autovettori definiscono le direzioni

principali d'inerzia. Si noti che ρ è definito a meno di una rotazione di $\pi/2$. In altre

parole, si può scegliere arbitrariamente di indicare una qualsiasi delle direzioni principali

con J_G e l'altra con J_G . E' conveniente però orientare gli assi principali in modo che il riferimento $\{G, x, y\}$ sia levogiro⁴.

Scegliendo ad esempio di indicare con J_G il più grande dei due momenti principali si ottiene:

$$J_G = \frac{J_{Gx} + J_{Gy}}{2} + \frac{\sqrt{(J_{Gx} - J_{Gy})^2 + 4J_{Gxy}^2}}{2}$$

$$J_G = \frac{J_{Gx} + J_{Gy}}{2} - \frac{\sqrt{(J_{Gx} - J_{Gy})^2 + 4J_{Gxy}^2}}{2}$$

(3.53)

In generale, utilizzando la procedura grafica che fornisce la corrispondenza tra le direzioni n ed i punti sul cerchio di Mohr, già vista per il caso delle tensioni, per ottenere

la corrispondenza tra assi principali e momenti principali d'inerzia si utilizza la seguente costruzione:

- Arbitrariamente si pone uno di momenti principali pari a J_G e l'altro pari a J_G . Dal polo P del cerchio, che come si è visto ha coordinate (J_{Gx}, J_{Gxy}) , si tracciano le due rette passanti per i punti di ascissa J_G e J_G ed ordinata nulla. L'asse passante per il punto di ascissa J_G è l'asse x , mentre quello passante per il punto di ascissa J_G è l'asse y . Gli assi vengono poi orientati in modo che debba

rotare di 90° in senso antiorario per sovrapporsi a x . In questo caso, come si è detto in precedenza, in figura 3.14 si è scelto di indicare

con J_G il più grande tra i momenti d'inerzia.

Per verificare la validità della costruzione nel caso dell'asse x basta osservare che

la procedura generale, dimostrata nel caso delle tensioni, richiede come prima operazione

di tracciare per il punto di ascissa J_G ed ordinata nulla una retta orizzontale ed individuare l'intersezione di questa con il cerchio. In questo caso tale intersezione è il

punto di ascissa J_G ed ordinata nulla. Da tale punto bisogna quindi tracciare una retta

passante per il polo P . La direzione di quest'ultima retta individua la direzione associata

al punto di ascissa J_G ed ordinata nulla. In definitiva tale procedura ci dice che la

direzione di x è quella della retta congiungente il punto di ascissa J_G ed ordinata nulla

con il polo P .

⁴Sarebbe possibile definire un riferimento principale destrogiro, partendo inizialmente da un riferimento

non principale levogiro, ma bisognerebbe poi fare estrema attenzione ai segni nella scrittura di molte relazioni. Per questo motivo conviene evitare tale complicazione.

226 G. Alfano - Appunti di Scienza delle Costruzioni

Per individuare l'angolo ρ che l'asse forma con l'asse x si osservi che, nella figura

3.14, il versore positivo e della direzione ha componenti:

$$e = 24$$

$$\cos \rho$$

$$\sin \rho$$

$$35$$

$$(3.54)$$

Ma essendo e un autovettore di J_G esso è una soluzione del problema:

$$24$$

$$J_{Gx} - J_G \quad J_{Gxy}$$

$$J_{Gxy} \quad J_{Gy} - J_G$$

$$35$$

$$24$$

$$a_1$$

$$a_2$$

$$35$$

$$= 24$$

$$0$$

$$0 \quad 35 \quad (3.55)$$

Essendo J_G un autovalore di J_G il determinante della matrice è nullo e dunque le due

righe sono linearmente indipendenti. Per calcolare a_1 ed a_2 basta quindi risolvere una

qualunque delle due equazioni scalari ottenute dalla (3.55). Utilizzando la prima si ha:

$$(J_{Gx} - J_G) a_1 + J_{Gxy} a_2 = 0 \quad (3.56)$$

da cui:

$$\tan \rho =$$

$$a_2$$

$$a_1$$

$$=$$

$$J_G - J_{Gx}$$

$$J_{Gxy}$$

$$(3.57)$$

E' utile osservare che, se $J_G = J_G$, il cerchio di Mohr degenera in un punto, per cui tutte le direzioni sono principali d'inerzia e tutti i momenti d'inerzia lungo tutti gli

assi baricentrici sono uguali. Questo è il caso importante delle sezioni dotate di più di

due assi di simmetria, quali ad esempio quelle circolari e quadrate.

Assi di simmetria

Si dimostra che se una sezione ammette un asse di simmetria, allora tale asse contiene

il baricentro ed è anche un asse principale d'inerzia. L'asse baricentrico ortogonale

all'asse di simmetria risulta dunque anch'esso principale d'inerzia.

Da ciò si deducono anche le seguenti due proprietà:

- se la sezione ammette due assi di simmetria allora la loro intersezione ne

individua

il baricentro ed entrambi gli assi di simmetria sono assi principali d'inerzia;

• se la sezione ammette più di due assi di simmetria tutti gli assi baricentrici sono

principali d'inerzia, e dunque il cerchio di Mohr degenera in un punto e tutti i momenti d'inerzia lungo qualsiasi asse baricentrico sono uguali. E' questo il caso

importante delle sezioni circolari o a corona circolare e delle sezioni quadrate.

Teorema del trasporto

Si assuma un'origine O non coincidente con il baricentro G. Si indichi con r il vettore

posizione di un generico punto rispetto a O, con r_G il vettore posizione rispetto al baricentro G e con r_G il vettore posizione del baricentro rispetto a O (figura

3.15):

$$r = r_G + r \quad (3.58)$$

G. Alfano - Il problema del De Saint Venant 227

G

r

x

y

O

r*

r_G

x'

y'

Figura 3.15: Teorema del trasporto.

Il tensore d'inerzia J_O rispetto a O è dato da:

$$J_O = \int_A r^2 dA$$

$$= \int_A (r_G + r)^2 dA$$

$$= \int_A (r_G^2 + 2r_G r + r^2) dA$$

$$= J_G + 2r_G S_G + \int_A r^2 dA$$

$$= J_G + 2r_G S_G + J_G$$

$$= J_G + 2r_G S_G + J_G$$

$$= J_G + 2r_G S_G + J_G$$

$$= J_G + 2r_G S_G + J_G$$

$$= J_G + 2r_G S_G + J_G$$

$$(3.59)$$

Poiché il vettore S_G rappresenta il momento statico della sezione rispetto al baricentro,

esso è nullo per definizione. Dunque si ottiene la relazione:

$$J_O = J_G + \int_A r^2 dA \quad (3.60)$$

Il risultato espresso dalla (3.60) è noto come 'teorema del trasporto'. In base ad esso,

il tensore d'inerzia rispetto ad un punto O non coincidente con il baricentro, si ottiene

come somma del tensore d'inerzia baricentrico e del tensore d'inerzia rispetto ad O

calcolato supponendo tutta l'area concentrata nel baricentro.

Detti x ed y gli assi del sistema di riferimento con origine in G, e x_0 ed y_0 quelli del

sistema di riferimento con origine in O, in componenti la (3.60) fornisce:

$$J_{Ox_0} = J_{Gx} + A x_0^2 \quad J_{Oy_0} = J_{Gy} + A y_0^2 \quad J_{Ox_0y_0} = J_{Gxy} + A x_0 y_0 \quad (3.61)$$

Alcune osservazioni sulle convenzioni adottate

E' utile sottolineare che la notazione adottata è stata scelta per potere utilizzare in modo

più naturale un approccio di tipo tensoriale per il calcolo delle caratteristiche inerziali

di una sezione. In molte trattazioni si utilizza una diversa notazione, secondo la quale,

228 G. Alfano - Appunti di Scienza delle Costruzioni

data una retta orientata a del piano, si indica con I_a il cosiddetto momento d'inerzia

intorno ad a :

$$I_a = \int_A d_a^2 dA \quad (3.62)$$

dove

$$d_a^2 = \int_A d_a^2 dA \quad (3.62)$$

dove d_a indica la distanza del generico punto dalla retta a , assunta positiva se percorrendo

la retta a nel suo verso positivo il punto si trova alla sinistra di a (figura 3.16).

Data una seconda retta orientata b , viene detto momento centrifugo I_{ab} lo scalare:

$$I_{ab} = \int_A d_a d_b dA \quad (3.63)$$

$$d_a d_b dA \quad (3.63)$$

con

x

y

a

$$d_a < 0$$

$$d_a > 0$$

x

$$d_x = y$$

$$d_y = -x$$

Figura 3.16: Distanza orientata da una retta.

Con riferimento agli assi baricentrici x e y in figura 3.16, per passare da una notazione

all'altra bisogna considerare che $d_x = y$ e $d_y = -x$. Pertanto le relazioni tra i momenti d'inerzia lungo x e y , ovvero J_{Gx} e J_{Gy} , e quelli intorno a x e y , ovvero I_{Gx} e

I_{Gy} , nonché quelle tra i momenti centrifughi J_{Gxy} e I_{Gxy} si ottengono da:

$$J_{Gx} = \int_A x^2 dA = I_{Gx}$$

$$J_{Gy} = \int_A y^2 dA = I_{Gy}$$

dove

$$I_{Gx} = \int_A x^2 dA$$

$$J_{Gy} = \int_A y^2 dA$$

$$J_{Gxy} = \int_A x y dA = -I_{Gxy}$$

dove

$$I_{Gx} = \int_A x^2 dA$$

$$J_{Gxy} = \int_A x y dA = -I_{Gxy}$$

$$I_{Gy} = \int_A y^2 dA$$

$$I_{Gxy} = \int_A x y dA = -I_{Gxy}$$

$$(3.64)$$

ovvero in sintesi:

$$I_{Gx} = J_{Gy} \quad I_{Gy} = J_{Gx} \quad I_{Gxy} = -J_{Gxy} \quad (3.65)$$

G. Alfano - Il problema del De Saint Venant 229

3.2.4 Ellisse d'inerzia

Si assuma l'origine coincidente con il baricentro della sezione. Si definisce 'ellisse centrale d'inerzia', o anche semplicemente 'ellisse d'inerzia', l'ellisse di equazione:

$$A \mathbf{r} \cdot \mathbf{r} = 1 \quad (3.66)$$

Se si assume un riferimento con gli assi x ed y coincidenti con gli assi principali d'inerzia ed si ha:

$$J_G = 24$$

$$J_{Gx} = 0$$

$$J_{Gy} = 35$$

$$(3.67)$$

e dunque:

$$J_G^{-1} =$$

$$\begin{pmatrix} 26664 & 0 \\ 0 & 37775 \end{pmatrix}$$

$$A =$$

$$J_{Gx} =$$

$$0$$

$$0$$

$$A =$$

$$J_{Gy} =$$

$$37775$$

$$) A \mathbf{r} \cdot \mathbf{r} =$$

$$26664$$

$$A =$$

$$J_{Gx} =$$

$$0$$

$$0$$

$$A =$$

$$J_{Gy} =$$

$$37775$$

$$(3.68)$$

Si definiscono 'raggi d'inerzia' x ed y gli scalaris:

$$x = r \sqrt{J_{Gx}}$$

$$A =$$

$$y = r \sqrt{J_{Gy}}$$

$$A =$$

$$(3.69)$$

Pertanto, in un riferimento principale l'equazione dell'ellisse centrale d'inerzia è data

da:

$$A \mathbf{r} \cdot \mathbf{r} =$$

$$26664$$

$$1$$

$$2$$

$$x$$

$$0$$

$$0$$

$$1$$

$$2y$$

37775

24

x

y³⁵ · 24

x

y³⁵ = 1 (3.70)

e quindi assume la 'forma canonica':

x²

2

x

+

y²

2y

= 1 (3.71)

I raggi d'inerzia x e y rappresentano dunque i semiassi dell'ellisse d'inerzia (figura

3.17).

Se J_x = J_y = J, allora x = y = e l'ellisse d'inerzia è un cerchio di raggio .

In molti testi, si assume:

x = r_{Gx}

A

= r_{JGy}

A

y = r_{JGy}

A

= r_{JGx}

A

230 G. Alfano - Appunti di Scienza delle Costruzioni

G

x = ξ

y = η

ρ_x

ρ_y

Figura 3.17: Ellisse d'inerzia.

Direzioni coniugate

Due versori n e s individuano due 'direzioni coniugate' rispetto all'ellisse d'inerzia se

si ha:

J⁻¹

_G n · s = 0 (3.72)

E' ovvio che se le direzioni definite da n e s sono coniugate rispetto all'ellisse d'inerzia, allora anche quelle associate alle coppie {-n, s}, {n, -s} e {-n, -s}

lo

sono.

E' facile vedere che se l'ellisse d'inerzia è un cerchio allora tutte le direzioni coniugate

sono ortogonali tra loro, mentre se x ≠ y, le uniche direzioni coniugate che risultano anche ortogonali tra loro sono quelle principali d'inerzia.

Due rette baricentriche parallele a due direzioni coniugate si dicono 'assi coniugati'

rispetto all'ellisse d'inerzia.

Assegnata una retta s baricentrica, si dimostra che l'asse n coniugato di s rispetto all'ellisse

d'inerzia è la retta passante per G parallela alle due tangenti n_1 ed n_2 all'ellisse nei punti d'intersezione S_1 e S_2 di s con l'ellisse (figura 3.18).

Antipolarità rispetto all'ellisse d'inerzia

Assegnato un punto C del piano, di posizione r_C , si definisce 'antipolare' di C rispetto

all'ellisse d'inerzia la retta di equazione:

A_{J-1}

$$r_C \cdot r + 1 = 0 \quad (3.73)$$

ed il punto C è detto 'antipolo' della retta di equazione (3.73).

Si lascia come esercizio la verifica che, in un riferimento principale xy , l'equazione

(3.73) si scrive:

$$x_C x$$

2

x

$+$

$$y_C y$$

2

$$+ 1 = 0 \quad (3.74)$$

G. Alfano - Il problema del De Saint Venant 231

s

n

n_1

n_2

s

n

S_2

S_1

Figura 3.18: Rispetto all'ellisse d'inerzia s e n definiscono due direzioni coniugate

mentre s ed n sono due assi coniugati.

Le intersezioni con gli assi si ottengono ponendo alternativamente $x = 0$ e $y = 0$

nella (3.74):

$$x = 0 \quad y_C y = -2y$$

$$y = 0 \quad x_C x = -2x$$

(3.75)

Sfruttando la relazione $a b = h^2$ relativa al triangolo rettangolo di figura 3.19, si ricava la costruzione grafica riportata in figura 3.20 per la determinazione dell'antipolare

di un punto C del piano. Da quest'ultima si deduce che l'asse neutro si trova sempre

dalla parte opposta di C rispetto a G.

h

$a b$

$$a b = h^2$$

Figura 3.19: Relazione tra i cateti a e b e l'altezza h sull'ipotenusa di un triangolo rettangolo.

3.2.5 Caratteristiche inerziali di alcune sezioni

Sezione rettangolare

Si consideri la sezione rettangolare in figura 3.21, di base b ed altezza h . Gli

assi x e y in figura sono di simmetria e dunque sono principali d'inerzia. La loro intersezione

232 G. Alfano - Appunti di Scienza delle Costruzioni

$$x = \xi$$

$$y = \eta$$

$$\rho_x$$

$$\rho_y$$

$$C$$

$$x_C$$

$$y_C$$

$$x = \xi$$

$$y = \eta$$

$$C$$

$$x = \xi$$

$$y = \eta$$

$$\rho_x$$

$$C$$

$$x = \xi$$

$$y = \eta$$

$$n$$

$$C$$

$$y_C$$

$$y$$

$$\rho_y$$

$$x_C x$$

$$G$$

$$G$$

Figura 3.20: Costruzione grafica per la determinazione dell'antipolare n di un punto C

del piano rispetto all'ellisse d'inerzia.

definisce il baricentro G. Si lascia come esercizio la verifica che la matrice associata al

tensore d'inerzia, rispetto al sistema adottato in figura, è la seguente:

$$J_G = 26664$$

$$h b_3$$

$$12$$

$$0$$

$$0$$

$$b h_3$$

$$12$$

$$37775$$

$$(3.76)$$

I raggi d'inerzia sono dati da:

$$x = r_{J_{Gx}}$$

$$A$$

$$= r h b_3$$

$$12 \cdot$$

$$1$$

$$b h$$

$$=$$

$$b$$

p12

$$y = r J_{Gy}$$

A

$$= r b h^3$$

$$12 \cdot$$

1

$$b h$$

=

h

p12

(3.77)

G. Alfano - Il problema del De Saint Venant 233

x

y

b

h G

ρ_x

ρ_y

Figura 3.21: Sezione rettangolare.

Sezione circolare

Si consideri la sezione circolare in figura 3.22 di raggio R. Il suo centro ne è ovviamente

il baricentro G, e tutte le rette per G sono assi di simmetria per cui si ha:

$$J_{Gx} = J_{Gy} = J \quad (3.78)$$

Conviene calcolare allora il momento polare J_{Gp} . Ponendo $r = kr$ e $dA =$

$$2 r dr:$$

$$J_{Gp} = \int_A r^2 dA$$

$$= \int_0^R r^2 \cdot 2 r dr = 2 \int_0^R r^3 dr$$

R

$$= 2 \int_0^R r^3 dr = 2 \cdot \frac{r^4}{4} \Big|_0^R$$

R

$$= \frac{1}{2} R^4 \quad (3.79)$$

da cui:

$$J_{Gp} =$$

$$\frac{1}{2} R^4$$

2

$$(3.80)$$

Essendo poi:

$$J_{Gp} = J_{Gx} + J_{Gy} = 2 J \quad (3.81)$$

si ricava il valore del momento d'inerzia lungo qualsiasi asse baricentrico:

$$J =$$

$$\frac{1}{4} R^4$$

4

$$(3.82)$$

L'ellisse d'inerzia per una sezione circolare è un cerchio di raggio dato da:

$$r_j =$$

A

$$= r \frac{R^4}{4}$$

4 ·

1

$$R^2 =$$

R

2

(3.83)

234 G. Alfano - Appunti di Scienza delle Costruzioni

x

y

G

R

R2

$\rho =$

Figura 3.22: Sezione circolare.

Sezione a corona circolare

Si consideri la sezione a corona circolare in figura 3.22, di raggio interno R_i e raggio

esterno R_e . Anche in questo caso il suo centro ne è ovviamente il baricentro G e tutte

le rette per G sono assi di simmetria per cui si ha:

$$J_{Gx} = J_{Gy} = J \quad (3.84)$$

x

y

G

R_e

R_i

Figura 3.23: Sezione a corona circolare.

Indicando con J_{piena} il momento d'inerzia della sezione circolare piena di raggio R_e e con J_{foro} il momento d'inerzia della sezione circolare piena di raggio R_i , per l'additività degli integrali si ha:

$$J_{piena} =$$

R_4

e

4

$$J_{foro} =$$

R_4

i

4

$$J_{piena} = J_{foro} + J \quad (3.85)$$

da cui:

$$J =$$

R_4

$e - R_4$

i

4

$$(3.86)$$

G. Alfano - Il problema del De Saint Venant 235

Sezione a corona circolare sottile

Posto $\epsilon = \epsilon_e - \epsilon_i$, una sezione a corona circolare si dice sottile se $\epsilon \ll (\epsilon_e + \epsilon_i)/2$.

In tal caso si lascia per esercizio la verifica dei seguenti risultati:

$$J = R_3 =$$

R

ρ^2

$$(3.87)$$

Sezione a doppia T

Si consideri la sezione 'a doppia T' in figura 3.24. Avendo la sezione due assi di simmetria

x ed y , essi sono anche principali d'inerzia e la loro intersezione individua il baricentro G .

46 8 46

10 120 10

Figura 3.24: Sezione a doppia T: geometria (dimensioni espresse in mm).

Per ricavare il tensore d'inerzia si decompone la sezione in tre rettangoli, di area A_1 ,

A_2 ed A_3 , come indicato in figura 3.25. Per l'additività dell'integrale, si ha:

$$J_G = \int_A r^2 dA$$

$$= \int_{A_1} r^2 dA + \int_{A_2} r^2 dA + \int_{A_3} r^2 dA$$

$$= J_{G_1} + J_{G_2} + J_{G_3}$$

$$= J_{G_1} + J_{G_2} + J_{G_3} + A_1 z_1^2 + A_2 z_2^2 + A_3 z_3^2$$

$$= J_{G_1} + J_{G_2} + J_{G_3} + A_1 z_1^2 + A_2 z_2^2 + A_3 z_3^2$$

$$= J_{G_1} + J_{G_2} + J_{G_3} + A_1 z_1^2 + A_2 z_2^2 + A_3 z_3^2$$

$$= J_{G_1} + J_{G_2} + J_{G_3} + A_1 z_1^2 + A_2 z_2^2 + A_3 z_3^2$$

$$= J_{G_1} + J_{G_2} + J_{G_3} + A_1 z_1^2 + A_2 z_2^2 + A_3 z_3^2$$

G

$$(3.88)$$

avendo indicato con $J_{(i)}$

$J_{(i)}$, $i = 1, 2, 3$, il tensore d'inerzia dell' i -esimo rettangolo rispetto

a G . Bisogna però osservare che i baricentri G_1 e G_2 del primo e del secondo rettangolo

sono diversi dal baricentro G dell'intera sezione, mentre $G_3 = G$. Pertanto, $J_{(1)}$

$J_{(2)}$

$J_{(2)}$

$J_{(1)}$ e $J_{(2)}$ rappresentano i tensori d'inerzia dei primi due rettangoli rispetto ad un punto che

non coincide con il baricentro, e dunque per la loro determinazione bisogna utilizzare il

teorema del trasporto, ovvero la formula (3.60).

Si consideri ad esempio il primo rettangolo. Per l'applicazione della (3.60) si nota

che $J_{(1)}$

$J_{(1)}$ rappresenta il tensore d'inerzia rispetto a G del primo rettangolo, avente per baricentro G_1 . Dunque, nella formula (3.60) bisogna sostituire O con G e G con

G_1 .

236 G. Alfano - Appunti di Scienza delle Costruzioni

Si ha:

$$J_{(1)}$$

$$J_{G_1} = J_{G_1} + A_1 z_1^2$$

$$= 10 \cdot 100^3 + 10 \cdot 120^2$$

$$= 10 \cdot 100^3 + 10 \cdot 120^2$$

$$= 10 \cdot 100^3 + 10 \cdot 120^2$$

$$= 10 \cdot 100^3 + 10 \cdot 120^2$$

$$= 10 \cdot 100^3 + 10 \cdot 120^2$$

$$= 10 \cdot 100^3 + 10 \cdot 120^2$$

$$= 10 \cdot 100^3 + 10 \cdot 120^2$$

$$= 10 \cdot 100^3 + 10 \cdot 120^2$$

$$= 10 \cdot 100^3 + 10 \cdot 120^2$$

8.33 E 5
0 8.33 E 335

$J^{(3)}$

$G_3 = J^{(3)}$

$G = 26664$

$120 \cdot 8_3$

12

0

0

$8 \cdot 120_3$

12

37775

=24

5.12 E 3

0 1.152 E 635

(3.89)

$r_{G_1} = 24$

0

6535 $r_{G_2} = 24$

0

-6535 $r_{G_3} = 24$

0

035 (3.90)

$A_1 = A_2 = 10 \cdot 100 = 1000$ $A_3 = 8 \cdot 120 = 960$ (3.91)

Da cui:

$J^{(1)}$

$G = J^{(2)}$

$G = J^{(1)}$

$G_1 + A_1 r_{G_1} r_{G_1} = 24$

8.33 E 5 0

0 8.33 E 335 + 100024

0

6535 24

0

6535 =

=24

8.33 E 5 0

0 8.33 E 335 + 24

0 0

0 4.225 E 635 = 24

8.33 E 5 0

0 4.233 E 635 (3.92)

Si ottiene quindi:

$J_G = J^{(1)}$

$G + J^{(2)}$

$G + J^{(3)}$

$G = 224$

8.33 E 5 0

0 4.233 E 635 + 24

5.12 E 3

0 1.152 E 635 =

=24

1.67 E 6 0
0 9.61 E 635 (mm⁴)
(3.93)

In componenti ed in cm si ha:

$$J_{Gx} = 167 \text{ cm}^4 \quad J_{Gy} = 961 \text{ cm}^4 \quad J_{Gxy} = 0 \quad (3.94)$$

Essendo $A = A_1 + A_2 + A_3 = 2960 \text{ mm}^2$, i raggi d'inerzia sono dunque:

$$x = r \sqrt{1.67 \text{ E } 6}$$

$$2960$$

$$= 24 \text{ mm} \quad y = r \sqrt{9.61 \text{ E } 6}$$

$$2960$$

$$= 57 \text{ mm} \quad (3.95)$$

L'ellisse d'inerzia è riportata in figura 3.26.

G. Alfano - Il problema del De Saint Venant 237

$$x = x_3$$

$$x_1$$

$$y = y_3$$

$$y_1$$

$$x_2$$

$$y_2$$

$$G_1$$

$$G_2$$

$$G = G_3$$

$$A_1$$

$$A_2$$

$$A_3$$

Figura 3.25: Sezione a doppia T: suddivisione in rettangoli per il calcolo delle caratteristiche inerziali.

$$x$$

$$y$$

$$57$$

$$24$$

$$G$$

Figura 3.26: Sezione a doppia T: ellisse d'inerzia.

Sezione a L

Si consideri la sezione a L di figura 3.27. Non presentando la sezione assi di simmetria

bisogna innanzitutto determinare la posizione del baricentro. A tale scopo, si sceglie arbitrariamente

un sistema di riferimento $\{O, x_0, y_0\}$ e si suddivide l'area in due rettangoli

238 G. Alfano - Appunti di Scienza delle Costruzioni

come indicato in figura 3.28.

$$100$$

$$12$$

$$200$$

$$10$$

Figura 3.27: Sezione a L.

Per l'additività dei momenti statici si ha:

$$S_O = Z_A$$

$$r_0 dA = Z_{A1}$$

$$r_0 dA + Z_{A2}$$

$$r_0 dA = S_{(1)}$$

$$O + S^{(2)}$$

$$(3.96)$$

Inoltre, dalla (3.35) si ricava:

$$S^{(i)}$$

$$O = r_{OG_i} A_i \quad (3.97)$$

Pertanto, utilizzando la (3.34):

$$r_{OG} =$$

$$S_O$$

$$A$$

$$=$$

$$S^{(1)}$$

$$O + S^{(2)}$$

$$O$$

$$A_1 + A_2$$

$$(3.98)$$

si ricava che il baricentro si determina come media pesata delle posizioni dei baricentri

dei rettangoli che compongono la sezione, utilizzando come pesi le aree:

$$r_{OG} =$$

$$r_{OG_1} A_1 + r_{OG_2} A_2$$

$$A_1 + A_2$$

$$(3.99)$$

Nel caso in esame si ricava:

$$A_1 = 1000 \quad A_2 = 2280 \quad A = A_1 + A_2 = 3280 \quad (3.100)$$

Per tale motivo il baricentro si trova necessariamente sulla congiungente G_1 e G_2 .

G. Alfano - Il problema del De Saint Venant 239

$$A_1$$

$$A_2$$

$$y_1$$

$$x_1$$

$$x'$$

$$y'$$

$$y_2$$

$$x_2$$

$$r_{G_2}'$$

$$2$$

$$r_{G_1}'$$

$$1$$

$$G$$

$$r_{G_2}'$$

$$r_{G_1}$$

$$r_{G_2}$$

$$y$$

$$x$$

$$O$$

Figura 3.28: Sezione a L: suddivisione in rettangoli.

$$r_{OG_1} = 24$$

$$-50$$

$$535 r_{OG_2} = 24$$

$$-6$$

$$10535 (3.101)$$

$$r_{OG} =$$

$$1$$

$$32800 @ 1000 \cdot 24$$

$$-50$$

$$535 + 2280 \cdot 24$$

$$-6$$

$$10535 1A = 24$$

$$-19.41$$

$$74.5135 (3.102)$$

Si consideri ora il sistema di riferimento con origine nel baricentro $\{G, x, y\}$.

Rispetto

ad esso le posizioni dei baricentri G_1 e G_2 sono date da:

$$r_{G_1} = r_{OG_1} - r_{OG} = 24$$

$$-50$$

$$535 - 24$$

$$-19.41$$

$$74.5135 = 24$$

$$-30.59$$

$$-69.5135$$

$$r_{G_2} = r_{OG_2} - r_{OG} = 24$$

$$-6$$

$$10535 - 24$$

$$-19.41$$

$$74.5135 = 24$$

$$13.41$$

$$30.4935$$

$$(3.103)$$

Il tensore d'inerzia rispetto a G viene calcolato come somma dei due contributi dei

due rettangoli: $J_G = J_{(1)}$

$G + J_{(2)}$

G . Applicando il teorema del trasporto, con la stessa procedura utilizzata per la sezione a doppia T , si ottiene:

$$J_G = J_{(1)}$$

$$G_1 + A_1 (r_{G_1} r_{G_1}) + J_{(2)}$$

$$G_2 + A_2 (r_{G_2} r_{G_2}) (3.104)$$

240 G. Alfano - Appunti di Scienza delle Costruzioni

Si ha:

$$J_{G_1} = 26664$$

$$10 \cdot 100^3$$

$$12$$

$$0$$

$$0$$

$$100 \cdot 10^3$$

$$12$$

$$37775$$

$$J_{G_2} = 26664$$

$$190 \cdot 12^3$$

$$12$$

0

0

12 · 190₃

12

37775

(3.105)

e dalla (3.104) si ottiene:

$J_G = 24$

$2.206 \text{ E } 6 \text{ } 3.059 \text{ E } 6$

$3.059 \text{ E } 6 \text{ } 13.819 \text{ E } 635 \text{ (3.106)}$

y

x

ξ

η

α_p

Figura 3.29: Sezione a L: ellisse d'inerzia.

Il cerchio di Mohr è riportato in figura 3.30. I momenti principali si ricavano mediante

le (3.53):

$J_G =$

$2.206 + 13.819$

$2 - s2.206 - 13.819$

2^2

$+ 3.059^2 = 1.450 \text{ E } 6 \text{ mm}^4$

$J_G =$

$2.206 + 13.819$

2

$+ s2.206 - 13.819$

2^2

$+ 3.059^2 = 14.575 \text{ E } 6 \text{ mm}^4$

(3.107)

e le direzioni principali si ottengono graficamente mediante la costruzione descritta

dopo le relazioni (3.53).

G. Alfano - Il problema del De Saint Venant 241

$J_{G \text{ nm}}$

$J_{G \text{ n}}$

$J_{G \text{ x}} = 2.206$

$J_{G \text{ xy}} = 3.059$

$J_{G \text{ y}} = 13.819$

$J_{G \text{ η}} = 14.575$

η

ξ

$J_{G \text{ ξ}} = 1.450$

5.0

5.0 10.0 15.0

-5.0

13.90°

P

Figura 3.30: Sezione a L: cerchio di Mohr.

Il valore numerico dell'angolo ρ formato dall'asse con l'asse x è dato dalla formula (3.56):

$\rho = \text{tang}^{-1} \frac{J_G - J_{Gx}}{J_{Gxy}}$

$\rho = \text{tang}^{-1} \frac{14.575 \text{ E } 6 - 2.206 \text{ E } 6}{3.059 \text{ E } 6}$

$$3.059 \text{ E } 6 = -13.88^\circ (3.108)$$

I raggi d'inerzia sono dati da:

$$= r1.450 \text{ E } 6$$

3280

$$= 21.03\text{mm} = r14.575 \text{ E } 6$$

3280

$$= 66.66\text{mm} (3.109)$$

L'ellisse d'inerzia è riportata in figura 3.29. Si noti che gli assi ottenuti sul cerchio

di Mohr vanno ruotati di 180° per ottenere quelli dell'ellisse d'inerzia, in quanto anche

gli assi x ed y in figura sono stati disegnati ruotati di 180° .

3.2.6 Esercizi proposti

Si determinino le proprietà geometriche ed inerziali delle sezioni riportate nelle figure

3.31-3.33.

Nell'esercizio 3.2.1 si suggerisce di utilizzare la procedura analoga a quella adoperata

per la sezione a corona circolare, ovvero di calcolare il tensore d'inerzia come differenza tra quello della sezione rettangolare piena e quello della parte rettangolare

vuota all'interno della sezione.

Nell'esercizio 2 si suggerisce di tener conto dell'asse di simmetria della sezione, che

conterrà il baricentro, e di scegliere come sistema di riferimento iniziale $\{O, x_0, y_0\}$ uno

con l'origine sull'asse di simmetria e con l'asse y_0 coincidente con l'asse di simmetria

stesso. In tal modo, la coordinata x_{0G} del baricentro sarà sicuramente nulla mentre

Questo potrebbe evitarsi disegnando sulla sezione l'asse x orientato verso destra e quello y orientato

verso l'alto. Classicamente però l'asse y viene orientato verso il basso per uniformarsi alla convenzione

della modellazione monodimensionale della trave.

242 G. Alfano - Appunti di Scienza delle Costruzioni

la coordinata y_{0G} va calcolata imponendo l'annullamento della componente S_{0y_0} del

momento statico.

10

150

10

10 80 10

Figura 3.31: Esercizio 3.2.1.

100

10

40 8 40

Figura 3.32: Esercizio 3.2.2.

3.3 Sforzo normale e flessione

Si consideri il caso in cui le uniche caratteristiche della sollecitazione non nulle sono lo

sforzo normale N ed il momento flettente M_f (figura 3.34).

La soluzione esatta del problema del De Saint Venant in tale caso fornisce uno

stato di tensione ovunque monoassiale in direzione z. L'unica componente della matrice della tensione è dunque la z . Inoltre, la z varia linearmente con x ed y , ovvero nel piano della generica sezione retta, mentre non dipende da z , per cui lo stato tensionale si ripete

G. Alfano - Il problema del De Saint Venant 243

100

10

80 8 20

Figura 3.33: Esercizio 3.2.3.

x

y

z

z

k

N

M_f

G

Figura 3.34: Sollecitazione di sforzo normale e flessione.

costantemente su ogni sezione. Si ha dunque:

$$z = 0 \quad z = z(x, y) = o + h_1 x + h_2 y$$

@ z

@ z

$$= 0 \quad (3.110)$$

La seconda di tali relazioni può anche scriversi:

$$z = o + h \cdot r \quad \text{con: } h = 24$$

h_1

h_2

35

$$r = 24$$

x

$$y \quad (3.111)$$

Si noti che, poiché r e h definiscono vettori paralleli al piano $x y$ aventi quindi la terza

componente secondo z sempre nulla, essi sono stati e verranno nel seguito considerati

vettori del piano, aventi quindi solo due componenti.

Lo sforzo normale è legato al campo delle z dalla (3.30)₁, sviluppando la quale si ricava:

$$N = Z_A$$

$$\int z \, dA = Z_A$$

$$(o + h \cdot r) \, dA = Z_A$$

$$o \, dA + Z_A$$

$$h \cdot r \, dA \quad (3.112)$$

244 G. Alfano - Appunti di Scienza delle Costruzioni

I termini o e h non dipendono da r e possono essere portati fuori dall'integrale:

$$N = o \, Z_A$$

$$dA + h \cdot Z_A$$

$$r \, dA = o \, A + h \cdot S_G \quad (3.113)$$

Poiché $r = x - x_G$ rappresenta il vettore posizione rispetto al baricentro nel piano della sezione, S_G è il momento statico rispetto al baricentro della sezione e quindi è nullo in

base alla definizione di baricentro. Si ottiene in definitiva:

$$N = \int_A (x - x_G) dA = 0$$

N

A

$$(3.114)$$

La relazione (3.30) che fornisce la relazione tra il momento flettente M_f ed il campo delle z può riscriversi come segue:

$$M_f = \int_A z dA$$

M_x

M_y

35

$$= Z_A$$

24

y

$$-x \int_A z dA = Z_A$$

$$R_T \int_A z dA \quad (3.115)$$

dove:

$$R_T = \begin{pmatrix} 0 & 1 \\ -1 & 0 \end{pmatrix}$$

0 1

$$-1 \ 0 \ 35 \) \ R_T \ r = 24$$

0 1

$$-1 \ 0 \ 35$$

24

x

$$y \int_A z dA = 24$$

y

$$-x \int_A z dA \quad (3.116)$$

Avendosi anche:

$$R_T = \begin{pmatrix} 0 & 1 \\ -1 & 0 \end{pmatrix}$$

0 1

$$-1 \ 0 \ 35 = 24$$

cos

$$\frac{1}{2} \sin$$

2

$$-\sin$$

$$\frac{1}{2} \cos$$

2

35

$$(3.117)$$

si chiarisce che R è la matrice associata al tensore che ruota un vettore del piano di $\frac{1}{2}$

in senso orario (figura 3.35), e risulta la trasposta del tensore che ruota un vettore di $\frac{1}{2}$

in senso antiorario, ovvero di :

$$R = \begin{pmatrix} 0 & -1 \\ 1 & 0 \end{pmatrix}$$

0 -1

$$1 \ 0 \ 35 \quad (3.118)$$

Chiaramente si ha:

$$R R^T r = r \quad (3.119)$$

in quanto $R R^T$ è il tensore che ruota un vettore nel piano prima di $\pi/2$ in senso orario

e poi di $\pi/2$ in senso antiorario, e quindi restituisce lo stesso vettore.

Pertanto, moltiplicando a sinistra ambo i membri della (3.115) per R , si ha:

$$R M_f = Z_A$$

$$R R^T r_z dA = Z_A$$

$$r_z dA \quad (3.120)$$

dove $R M_f$ fornisce il vettore ruotato di M_f di $\pi/2$ in senso antiorario (figura 3.36).

Sostituendo l'espressione (3.111) di z e sviluppando si ha:

$$R M_f = Z_A$$

$$r (o + h \cdot r) dA = Z_A$$

$$o r dA + Z_A$$

$$r (r \cdot h) dA =$$

$$= Z_A$$

$$o r dA + Z_A$$

$$(r \cdot r) h dA$$

$$(3.121)$$

G. Alfano - Il problema del De Saint Venant 245

G

r

$$R^T r R r$$

$\pi/2$

$\pi/2$

Figura 3.35: Rotazione di un vettore del piano mediante i tensori R e R^T .

R M

$\pi/2$

M_f

f

Figura 3.36: Rotazione di M_f di $\pi/2$ in senso antiorario mediante R .

I termini o e h non dipendono da r e possono essere portati fuori dall'integrale:

$$R M_f = o Z_A$$

$$r dA + Z_A$$

$$(r \cdot r) dA h = o S_G + J_G h \quad (3.122)$$

Essendo $S_G = 0$ si ottiene:

$$R M_f = J_G h \Rightarrow h = (J_G)^{-1} R M_f \quad (3.123)$$

Sostituendo nella (3.111) le relazioni (3.114) e (3.123) ottenute, si ricava per la z la

seguinte espressione:

$$z =$$

N

A

$$+ (J_G)^{-1} R M_f \cdot r \quad (3.124)$$

L'asse baricentrico del piano della sezione parallelo al vettore $R M_f$, ovvero ortogonale

al vettore momento flettente M_f è detto 'asse di sollecitazione', è indicato con s ed

orientato nella direzione di $R M_f$. La retta luogo dei punti in cui si annulla la $z = 0$ è

246 G. Alfano - Appunti di Scienza delle Costruzioni

detta 'asse neutro' ed è indicato con n . L'asse ortogonale a n , orientato in modo che n

si sovrapponga ad esso ruotando di $\pi/2$ in senso antiorario, è detto 'asse di flessione' ed è indicato con f . Il nome asse di flessione nasce dal fatto che il piano fz è il cosiddetto

piano di flessione, ovvero quello in cui si flette l'asse della trave.

In un riferimento non principale la matrice associata a $(J_G)^{-1}$ è data da:

$$(J_G)^{-1} =$$

1

$$J_{G_x} J_{G_y} - J_{G_{xy}}^2$$

$J_{G_{xy}}$

$$J_{G_y} - J_{G_{xy}}$$

$$-J_{G_{xy}} J_{G_x}$$

35

$$(3.125)$$

In un riferimento principale $J_{G_{xy}} = 0$ e si ha:

$$(J_G)^{-1} =$$

1

$$J_{G_x}$$

0

0

1

$$J_{G_y}$$

$$37775$$

$$(3.126)$$

Essendo:

$$R_{M_f} = 24$$

$$-M_y$$

$$M_x$$

35

$$(3.127)$$

in un riferimento principale la (3.124) diventa:

$z =$

$$N$$

$$A -$$

$$M_y$$

$$J_{G_x}$$

$$x +$$

$$M_x$$

$$J_{G_y}$$

$$y (3.128)$$

Si esaminano di seguito alcuni casi particolari.

3.3.1 Sforzo normale centrato

Si ha sforzo normale centrato quanto $N \neq 0$ e $M_f = 0$. Dalla (3.124) si ricava una z

costante sulla sezione pari a:

$z =$

$$N$$

A

$$(3.129)$$

In questo caso gli assi di sollecitazione e di flessione non sono definiti e l'asse neutro è

la retta impropria del piano.

La tensione equivalente è pari al modulo della z , per cui la verifica di resistenza per materiali duttili si effettua controllando che si abbia:

$$\sigma_{eq} = |z| = \frac{|N|}{A}$$

$$\sigma_{eq} \leq \sigma_{am} \quad (3.130)$$

Le componenti della deformazione si ricavano attraverso il legame elastico e sono date da:

$$\epsilon_z =$$

$$\frac{N}{EA}$$

$$\epsilon_x = \epsilon_y = -$$

$$\frac{N}{EA}$$

$$\epsilon_x = \epsilon_y = -$$

$$\frac{N}{EA}$$

$$\epsilon_x = \epsilon_y = -\frac{N}{EA} \quad (3.131)$$

avendo indicato con ϵ_a la dilatazione assiale nella trave, legata allo sforzo normale dalla relazione:

$$\epsilon_a =$$

$$\frac{N}{EA}$$

$$\frac{N}{EA}$$

$$\epsilon_a = \frac{N}{EA} \quad (3.132)$$

G. Alfano - Il problema del De Saint Venant 247

3.3.2 Flessione retta

Si ha flessione retta quando $N = 0$ ed il vettore momento flettente è diretto secondo una direzione principale.

Flessione retta intorno ad x

In un riferimento principale $\{G, x, y\}$ si ha flessione retta intorno all'asse x quando:

$$N = 0 \quad M_x \neq 0 \quad M_y = 0 \quad (3.133)$$

Essendo in un riferimento principale si può utilizzare la (3.128), che fornisce la relazione:

$$z =$$

$$\frac{M_x}{J_{Gy}}$$

$$\frac{M_x}{J_{Gy}}$$

$$z = \frac{M_x}{J_{Gy}} \quad (3.134)$$

nota come 'formula di Navier'.

In questo caso gli assi di sollecitazione e di flessione coincidono entrambi con y mentre

l'asse neutro coincide con x . L'asse di sollecitazione e l'asse neutro sono ortogonali

fra loro.

La tensione equivalente è pari al modulo della z , per cui la verifica di resistenza per

materiali duttili si effettua controllando che si abbia:

$$\sigma_{eq} = |z| = \frac{|M_x|}{J_{Gy}}$$

$$\sigma_{eq} \leq \sigma_{am} \quad (3.135)$$

avendo indicato con $|y_{max}|$ il massimo valore assoluto di y sulla sezione.

Si definisce 'modulo di resistenza' rispetto a x e si indica con W_x lo scalare:

$$W_x =$$

$$J_{Gy}$$

$$|y_{\max}|$$

$$(3.136)$$

La (3.135) può allora risciversi:

$$|M_x|$$

$$W_x \text{ am (3.137)}$$

Per le sezioni dei profilati metallici disponibili in commercio il modulo di resistenza è

tabellato, insieme a tutte le altre caratteristiche geometriche ed inerziali delle sezioni stesse.

Le componenti della deformazione si ricavano attraverso il legame elastico e sono

date da:

$$\epsilon_z =$$

$$M_x$$

$$E J_{Gy}$$

$$\epsilon_y = - \frac{M_x}{E J_{Gy}}$$

$$M_x$$

$$E J_{Gy}$$

$$\epsilon_x = \frac{M_x}{E J_{Gy}}$$

$$(3.138)$$

vedendo indicato con ϵ_y la curvatura nel piano yz , legata al momento M_x dalla relazione:

$$\epsilon_y =$$

$$M_x$$

$$E J_{Gy}$$

$$(3.139)$$

248 G. Alfano - Appunti di Scienza delle Costruzioni

$$x = n$$

$$y = s = f$$

$$M_x$$

$$\sigma_z > 0$$

$$\sigma_z < 0$$

Figura 3.37: Sezione rettangolare soggetta a flessione retta intorno ad x .

Flessione retta intorno ad y

In un riferimento principale $\{G, x, y\}$ si ha flessione retta intorno all'asse y quando:

$$N = 0 \quad M_x = 0 \quad M_y \neq 0 \quad (3.140)$$

Dalla (3.128) si ottiene:

$$z = -$$

$$M_y$$

$$J_{Gx}$$

$$x \quad (3.141)$$

In questo caso gli assi di sollecitazione e di flessione coincidono entrambi con $-x$

mentre l'asse neutro coincide con y . L'asse di sollecitazione e l'asse neutro sono

ortogonali fra loro.

La tensione equivalente è pari al modulo della σ_z , per cui la verifica di resistenza

3.3.3 Flessione deviata

Si ha flessione deviata quando $N = 0$ ed il vettore momento flettente è diverso da zero e non è diretto secondo un'asse principale d'inerzia (3.39). Dalla (3.124) si ricava:

$$z = (J_G)^{-1} R M_f \cdot r \quad (3.147)$$

x

y

G

f **M**

M_x

M_y

Figura 3.39: Sezione rettangolare soggetta a flessione deviata.

In un riferimento principale la (3.147) si scrive:

$$z = -$$

M_y

J_{Gx}

x +

M_x

J_{Gy}

y (3.148)

e fornisce il campo delle z come sovrapposizione quelli associati a due flessioni rette.

Il versore s dell'asse di sollecitazione s è dato da:

$$s =$$

$R M_f$

$k R M_f k$

(3.149)

L'equazione dell'asse neutro n è invece:

$$(J_G)^{-1} R M_f \cdot r = 0 \quad (3.150)$$

e dividendo per $k R M_f k$ fornisce:

$$(J_G)^{-1} s \cdot r = 0 \quad (3.151)$$

G. Alfano - Il problema del De Saint Venant 251

Si nota dalle (3.150) e (3.151) che l'asse neutro contiene il baricentro della sezione.

Il versore n di n (definito a meno del segno) soddisfa la relazione:

$$(J_G)^{-1} s \cdot n = 0 \quad (3.152)$$

ovvero la relazione di coniugio tra s ed n rispetto all'ellisse d'inerzia della sezione.

Nella flessione deviata, dunque, l'asse neutro n e l'asse di sollecitazione s risultano

coniugati rispetto all'ellisse centrale d'inerzia. Assegnato l'asse di sollecitazione s ,

l'asse neutro può dunque determinarsi attraverso la costruzione grafica mostrata in

precedenza in figura 3.18 e riportata di seguito in figura 3.40 per l'esempio della sezione

rettangolare di figura 3.39.

x

y

G

s

n f

f **M**

Figura 3.40: Sezione rettangolare soggetta a flessione deviata: determinazione grafica dell'asse neutro.

L'asse di flessione, ortogonale all'asse neutro, non coincide con l'asse di sollecitazione.

Formula monomia della flessione deviata

Supponendo di conoscere l'asse neutro n in un caso di flessione deviata, si assuma

un sistema di riferimento non principale con l'asse x coincidente con n, e si orienti n

concordemente a x. Le linee di livello della z, di equazione $z = \text{cost.}$, sono parallele

a n (figura 3.41) e dunque, con la scelta fatta, sono anche parallele ad x.

Dunque z non

dipende da x e risulta solamente funzione lineare di y, per cui si ha:

$$z = y \quad (3.153)$$

Imponendo l'equilibrio alla rotazione intorno a $n = x$ si ha:

$$M_x = Z_A$$

$$\int z y \, dA = Z_A$$

$$\int y^2 \, dA = Z_A$$

$$\int y^2 \, dA = J_{Gy} \quad (3.154)$$

252 G. Alfano - Appunti di Scienza delle Costruzioni

ovvero:

$$=$$

$$M_x$$

$$J_{Gy}$$

$$(3.155)$$

da cui, sostituendo nella (3.153), si ottiene la cosiddetta 'formula monomia':

$$z =$$

$$M_x$$

$$J_{Gy}$$

$$y \quad (3.156)$$

Essendo $M_n = M_x$, e ponendo inoltre $I_{Gx} = J_{Gy}$ e $y = d_n$, si ottiene la seguente altra espressione della formula monomia:

$$z =$$

$$M_n$$

$$I_{Gx}$$

$$d_n \quad (3.157)$$

$$x = n$$

G

s

$$y = f$$

f **M**

M_n

linee di livello

$\sigma_z = \text{costante}$

Figura 3.41: Ponendo $x = n$ la z è funzione lineare di y .

3.3.4 Sforzo normale eccentrico

Si ha sforzo normale eccentrico quando il sistema delle z sulla sezione è equivalente

ad una risultante $N \neq 0$ applicata nel baricentro e ad un momento flettente $M \neq 0$. La

sollecitazione in questo caso si dice anche 'tensoflessione' se $N > 0$, o 'pressoflessione'

se $N < 0$.

Si noti che la formula monomia della flessione deviata risulta formalmente identica alla formula di

Navier. Tuttavia, nella formula di Navier M_x è l'unica componente non nulla del momento flettente,

mentre nella formula monomia $M_x = M_n$ non è l'unica componente, essendo anche $M_y \neq 0$.

G. Alfano - Il problema del De Saint Venant 253

Sovrapposizione degli effetti

In tal caso si può operare per sovrapposizione degli effetti ed ottenere, in un sistema di

riferimento principale, il campo delle z mediante la (3.128):

$z =$

N

$A -$

M_y

J_{Gx}

$x +$

M_x

J_{Gy}

y (3.158)

Si ha quindi sovrapposizione di uno sforzo normale e di una flessione retta, se una delle

componenti M_x e M_y è nulla, o di uno sforzo normale centrato e di due flessioni rette, se

entrambe le componenti M_x e M_y sono non nulle. In quest'ultimo caso si può operare

per sovrapposizione di uno sforzo normale centrato e di una flessione deviata.

Espressione della z in un riferimento non principale

Volendo evitare di determinare gli assi principali di inerzia si può utilizzare la (3.124)

espressa in un riferimento non principale:

$z =$

N

A

$+$

1

$J_{Gx} J_{Gy} - J_{Gxy}^2$

$J_{Gy} - J_{Gxy}$

$- J_{Gxy} J_{Gx}$

35

24

$-M_y$

M_x

35

24

x

y₃₅ (3.159)

Sistema di un'unica forza eccentrica

Alternativamente ci si può ricondurre ad un sistema di un'unica forza N diretta secondo

z ma applicata in un punto C diverso da G, detto 'centro di sollecitazione'.

Detto r_c il

vettore posizione di C rispetto a G, si dimostra facilmente attraverso la condizione di

equivalenza del momento risultante rispetto a G che si ha:

$r_c =$

$R M_f$

$N) 24$

x_c

y_c

35

=

1

$N 24$

$-M_y$

M_x

35

(3.160)

L'asse di sollecitazione passa dunque per G e per C.

L'ultima relazione può anche scriversi:

$M_x = N y_c M_y = -N x_c$ (3.161)

Assumendo un sistema di riferimento principale, e sostituendo le (3.161) nella (3.128)

si ottiene:

$z =$

N

A

+

$N x_c x$

J_{Gx}

+

$N y_c y$

J_{Gy}

=

N

A

+

$N x_c x$

A_2

x

+

$N y_c y$

A_{2y}

(3.162)

avendo sfruttato le definizioni di raggi d'inerzia x_c e y_c . Mettendo in evidenza N/A si ottiene:

$$z =$$

N

$A \left[\frac{1}{A} + \frac{x_c^2}{I_x} + \frac{y_c^2}{I_y} \right]$

x_c^2

2

x

$+$

y_c^2

2

(3.163)

Eguagliando a zero l'espressione precedente della z si ricava l'equazione dell'asse

neutro nel caso di sforzo normale eccentrico:

$1 + \frac{x_c^2}{I_x} + \frac{y_c^2}{I_y} = 0$ (3.164)

x_c^2

2

x

$+$

y_c^2

2

$= 0$ (3.164)

254 G. Alfano - Appunti di Scienza delle Costruzioni

G

C

$f \mathbf{M}_f \mathbf{R} \mathbf{M}$

N

x

y

y_c

x_c

S

Figura 3.42: Posizione del centro di sollecitazione.

Confrontando tale ultima relazione con la (3.74), si deduce che l'asse neutro si ottiene

come antipolare del centro di sollecitazione C . Esso può dunque trovarsi mediante

la costruzione grafica descritta in 3.20. In particolare, da tale costruzione, si evince

che l'asse neutro non passa per il baricentro e si trova sempre dalla parte opposta di C

rispetto a G .

Si dimostra anche facilmente che l'asse parallelo a n e passante per il baricentro è

coniugato di s rispetto all'ellisse centrale d'inerzia.

3.3.5 Alcuni esempi

Problema 1

Si consideri la struttura di figura 3.43 caratterizzata da due travi portanti con un ritto ed un traverso ciascuna. Su di esse è appoggiata una piastra secondaria, che con buona approssimazione può essere studiata come trave appoggiata. Su tale piastra agisce un carico distribuito per unità di superficie q_s , mentre su un bordo della piastra agisce un carico lineare q_{lin} come descritto in figura, in un piano che contiene gli assi delle travi verticali. Si trascura il peso proprio della struttura.

Si considerano i seguenti dati:

$$q_s = 12 \text{ KN m}^{-2} \quad a = 3 \text{ m} \quad q_{lin} = 50 \text{ KN m}^{-1} \quad L = 1.5 \text{ m}$$

Per il materiale si assume una tensione ammissibile di $\sigma_{am} = 200 \text{ MPa}$. La sezione della trave è quella che è stata studiata nella sezione 3.2.5.

Il carico q_s si ripartisce sulle due travi come carico a metro lineare $q = q_s a/2 = 12 \cdot 3/2 = 18 \text{ KN m}^{-1}$. Il carico q_{lin} si ripartisce in testa alle travi come due forze concentrate $F = q_{lin} a/2 = 50 \cdot 3/2 = 75 \text{ KN}$. Sulla sezione d'incastro indicata in

figura 3.43.d si hanno le seguenti caratteristiche della sollecitazione:

$$N = -q L - F = -18 \cdot 1.5 - 75 = -102 \text{ KN}$$

$$M_x = -$$

$$q L^2$$

$$2$$

$$= 20.25 \text{ KN m}$$

$$M_y = 0$$

Carico superficiale q_s

a

h

L

h

L

x

y

z

$$q =$$

$$q a$$

$$2$$

s

46 8 46

10 120 10

Sezione $z = 0$

$$M_x =$$

$$q L^2$$

$$2$$

$$N = q L F$$

h

$$q =$$

$$q a$$

$$2$$

s

L

y

z

x

y

(a)

(b)

(c)

(d)

Carico superficiale q_{lin}

$$F = \frac{q l n a}{2}$$

$$F = \frac{q l n a}{2}$$

Figura 3.43: Problema 1: (a) struttura spaziale completa; (b) una delle due travi portanti; (c) schema della trave portante; (d) sezione d'incastro e relative caratteristiche della sollecitazione.

Sovrapposizione degli effetti

256 G. Alfano - Appunti di Scienza delle Costruzioni

La sollecitazione può vedersi come sovrapposizione di uno sforzo normale centrato

e di una flessione retta intorno a x.

Per effetto solamente dello sforzo normale, si avrebbe sulla sezione il diagramma

costante di z riportato in figura 3.44, con z pari a:

$$z, N =$$

N

A

$$= -$$

102

2960

$$= -0.034 \text{KN mm}^{-2} = -34 \text{MPa}$$

Per effetto solamente del momento flettente M_x si avrebbe il diagramma lineare riportato

in figura 3.44. Per l'emisimmetria del diagramma il massimo valore della tensione

di trazione coincide con il massimo valore assoluto della tensione di compressione.

Tali valori si ottengono dalla relazione:

$$z, M_x = \frac{|M_x|}{W_x}$$

W_x

(3.165)

Il modulo di resistenza W_x , tenendo conto della componente J_{Gy} del tensore d'inerzia

calcolata nelle (3.94) e che $|y_{\max}| = 7 \text{ cm}$, è dato da:

$$W_x =$$

961

7

$$= 137.3 \text{ cm}^3$$

e dunque:

$$z, M_x = \frac{|M_x|}{W_{\max}}$$

W_{\max}

=

2025

137.3

$$= 14.7 \text{KN cm}^{-2} = 147 \text{N mm}^{-2} = 147 \text{MPa}$$

Sommando i due diagrammi si ha il diagramma di figura 3.44. La massima tensione

è di compressione e fornisce, in assenza di tensioni tangenziali, una massima

tensione

equivalente pari a:

$$\sigma_{eq,max} = 34 + 147 = 181 \text{MPa} < \sigma_{am}$$

per cui la verifica di resistenza risulta soddisfatta.

G. Alfano - Il problema del De Saint Venant 257

x

y

G

34

$$\sigma_z < 0$$

147

$$\sigma_z > 0$$

Figura 3.44: Diagramma delle tensioni z : sovrapposizione degli effetti.

Determinazione dell'asse neutro come antipolare del centro di sollecitazione

La posizione dell'asse neutro può essere determinata considerando le caratteristiche

della sollecitazione equivalenti ad uno sforzo normale eccentrico. La posizione del

centro di sollecitazione è data da:

$$x_c = 0 \quad y_c =$$

M_x

N

$$= -20250$$

$$-102$$

$$= 199 \text{mm}$$

Essendo $x_c = 0$, l'equazione dell'asse neutro diventa:

$$1 +$$

$$y_c y$$

$$2y$$

$$= 0 \quad y_c y = -2y$$

Si vede quindi che l'asse neutro è parallelo all'asse x e la sua intersezione con l'asse y

è data da:

$$y = -$$

$$2y$$

$$y_c$$

$$= -$$

$$572$$

$$199$$

$$= -16 \text{mm}$$

La posizione dell'asse neutro può anche trovarsi con la costruzione grafica illustrata

in precedenza in figura 3.20. Nel caso in esame, essa si specializza come

illustrato in

figura 3.45.

Problema 2

Si consideri la stessa struttura del problema 1, nella quale però la sezione d'incastro

sia la sezione a L studiata nella parte 3.2.5, disposta in modo che il suo baricentro sia

coincidente con quello della sezione a doppia T e che gli assi x ed y usati per studiare la

sezione a L coincidano con quelli della sezione a doppia T. Avendosi le stesse

caratteristiche

della sollecitazione del problema 1, le coordinate del centro di sollecitazione sono

sempre $x_c = 0$ e $y_c = 199\text{mm}$. La determinazione grafica della posizione dell'asse

neutro a partire dall'ellisse d'inerzia e mostrata in figura 3.46.

258 G. Alfano - Appunti di Scienza delle Costruzioni

x

y

G

n

199 16

C

$\sigma_z < 0$

$\sigma_z > 0$

Figura 3.45: Determinazione grafica e verifica analitica della posizione dell'asse neutro.

Dal diagramma delle tensioni determinato in figura 3.46 si deduce che i valori massimo

e minimo della tensione z si hanno nei punti A e B. I loro vettori posizione espressi

nel riferimento $\{O, x_0, y_0\}$ di figura 3.28 sono:

$r_{0A} = 24$

0

035 $r_{0B} = 24$

-12

20035 (3.166)

Nota il vettore posizione r_{0G} del baricentro, sempre rispetto a $\{O, x_0, y_0\}$, dalla (3.102),

i vettori posizione espressi rispetto al sistema $\{G, x, y\}$ si ottengono da:

$r_A = r_{0A} - r_{0G} = 24$

0

035 - 24

-19.41

74.51 35 = 24

19.41

-74.5135

$r_B = r_{0B} - r_{0G} = 24$

-12

20035 - 24

-19.41

74.51 35 = 24

7.41

125.4935

(3.167)

Per calcolare i valori della z mediante la (3.158) bisognerebbe esprimere sia r_A ed

r_B che il momento M_f nel sistema principale $\{G, , \}$, ruotato rispetto a $\{G, x, y\}$ di

-13.9°. Conviene allora utilizzare direttamente la (3.159). Note le componenti di J_G

G. Alfano - Il problema del De Saint Venant 259

y

x
 ξ
 $n \eta C(0,199)$
 199
 A
 B

Figura 3.46: Determinazione grafica della posizione dell'asse neutro per la sezione a L.

rispetto a $\{G, x, y\}$ dalla (3.106), si ha:

$$N = -102 \text{KN} \quad M_x = -20205 \text{KN mm} \quad M_y = 0 \quad A = 3280 \text{mm}^2$$

$$J_G = 24$$

$$2.206 \text{ E } 6 \quad 3.059 \text{ E } 6$$

$$3.059 \text{ E } 6 \quad 13.819 \text{ E } 635 \quad r_A = 24$$

$$19.41$$

$$-74.5135 \quad r_B = 24$$

$$7.41$$

$$125.4935 \quad (3.168)$$

Dalla (3.159) si ottiene allora:

$$z_{A=} -$$

$$102$$

$$3280$$

$$+$$

$$1.0 \text{ E } - 6$$

$$2.206 \cdot 13.819 - 3.059 \cdot 24$$

$$13.819 - 3.059$$

$$-3.059 \cdot 2.206 \cdot 35$$

$$24$$

$$0$$

$$-2020535 \cdot 24$$

$$19.41$$

$$-74.5135 =$$

$$= -0.031 + 0.213 = 0.182 \text{KN mm}^{-2} = 182 \text{MPa}$$

$$(3.169)$$

$$z_{B=} -$$

$$102$$

$$3280$$

$$+$$

$$1.0 \text{ E } - 6$$

$$2.206 \cdot 13.819 - 3.059 \cdot 24$$

$$13.819 - 3.059$$

$$-3.059 \cdot 2.206 \cdot 35$$

$$24$$

$$0$$

$$-2020535 \cdot 24$$

$$7.41$$

$$125.4935 =$$

$$= -0.031 - 0.243 = 0.274 \text{KN mm}^{-2} = -274 \text{MPa}$$

$$(3.170)$$

Se si assume ancora $\sigma_{am} = 200 \text{MPa}$, si ottiene dunque:

$$\sigma_{eq,A} = 182 \text{MPa} < \sigma_{am} \quad \sigma_{eq,B} = 274 \text{MPa} > \sigma_{am} \quad (3.171)$$

260 G. Alfano - Appunti di Scienza delle Costruzioni

per cui la verifica di resistenza è soddisfatta in A ma non lo è in B.

La tensione $\sigma_{z,G}$ nel baricentro vale:

$$\sigma_{z,G} =$$

$$N$$

$$A$$

$$= -$$

$$102$$

3280

$$= -0.031 \text{KN mm}^{-2} = -31 \text{MPa} \quad (3.172)$$

e si ottiene graficamente intersecando il diagramma delle tensioni di figura (3.97) con

una retta parallela ad n passante per il baricentro G.

3.4 Torsione

Si ha solo sollecitazione di 'torsione' quando sulle due basi della trave sono applicati

due momenti torcenti in equilibrio tra loro. Sulla generica sezione retta all'ascissa z

il campo dei vettori tensione $t(k)$ è dunque equivalente ad un momento torcente M_t ,

diretto secondo k. Il vettore del momento torcente è allora pari a $M_t k$ (figura 3.47).

x

y

z

z

k

$M_t k$

$M_t k G$

Figura 3.47: Sollecitazione di torsione.

Per questo tipo di sollecitazione si studieranno i casi della trave con sezione circolare,

a corona circolare ed a sezione sottile biconnessa, mentre si accennerà solo alla

soluzione per una sezione di tipo arbitrario.

3.4.1 Sezione circolare o a corona circolare

Nel caso di una sezione circolare o a corona circolare conviene partire dalla cinematica.

In tale caso, infatti, la soluzione esatta del problema prevede che ogni sezione retta

all'ascissa z sia caratterizzata da una rotazione rigida (z) intorno all'asse z. La soluzione

è definita a meno di un arbitrario spostamento rigido della trave, che viene assunto

nullo, e vale in generale l'ipotesi di piccoli spostamenti. La rotazione risulta essere una

funzione lineare di z per cui si ha:

$$\theta(z) = \theta_0 z \quad (3.173)$$

dove θ_0 è detto 'angolo specifico di torsione', o anche 'curvatura torsionale', e rappresenta

la rotazione relativa tra due sezioni poste a distanza unitaria.

G. Alfano - Il problema del De Saint Venant 261

Il campo di spostamenti è dunque dato da:

$$u(r, z) = \theta_0 z k \times r \quad (3.174)$$

Sviluppando il prodotto vettoriale si ottiene:

$$u = \theta_0 z k \times r = \theta_0 z \det \begin{pmatrix} i & j & k \\ 0 & 0 & 1 \\ x & y & 0 \end{pmatrix}$$

i j k

0 0 1

x y 0

37775

$$= \begin{pmatrix} 0 & z & 26664 \\ -y & & \\ x & & \\ 0 & & \end{pmatrix}$$

$$-y$$

$$x$$

$$0$$

$$37775$$

$$= \sigma_z R_r \quad (3.175)$$

dove R è il tensore introdotto nella (3.118) che ruota un vettore di $\pi/2$ in senso antiorario.

In componenti si ha: $\sigma_{ij} = \begin{pmatrix} 0 & z & 26664 \\ -y & & \\ x & & \\ 0 & & \end{pmatrix}$:

$$u_x = -\sigma_z y$$

$$u_y = \sigma_z x$$

$$u_z = 0$$

$$(3.177)$$

Le uniche componenti non nulle del tensore della deformazione infinitesima sono:

$$\epsilon_{zx} =$$

$$\frac{1}{2} \left(\frac{\partial u_x}{\partial z} + \frac{\partial u_z}{\partial x} \right)$$

$$= \frac{1}{2} \left(\frac{\partial (-\sigma_z y)}{\partial z} + \frac{\partial 0}{\partial x} \right)$$

$$= -\frac{\sigma_z}{2} y$$

$$\epsilon_{zy} =$$

$$\frac{1}{2} \left(\frac{\partial u_y}{\partial z} + \frac{\partial u_z}{\partial y} \right)$$

$$= \frac{1}{2} \left(\frac{\partial (\sigma_z x)}{\partial z} + \frac{\partial 0}{\partial y} \right)$$

$$= \frac{\sigma_z}{2} x$$

$$\epsilon_{yz} =$$

$$\frac{1}{2} \left(\frac{\partial u_z}{\partial y} + \frac{\partial u_y}{\partial z} \right)$$

$$= \frac{1}{2} \left(\frac{\partial 0}{\partial y} + \frac{\partial (\sigma_z x)}{\partial z} \right)$$

$$= \frac{\sigma_z}{2} x$$

$$(3.178)$$

che raccolte in forma vettoriale, e riferendosi per semplicità a vettori nel piano della

sezione, forniscono:

$$\begin{pmatrix} \epsilon_{zx} \\ \epsilon_{zy} \\ \epsilon_{yz} \end{pmatrix} = \begin{pmatrix} -\frac{\sigma_z}{2} y \\ \frac{\sigma_z}{2} x \\ \frac{\sigma_z}{2} x \end{pmatrix}$$

$$= -\frac{\sigma_z}{2} y$$

$$\begin{pmatrix} \epsilon_{zx} \\ \epsilon_{zy} \\ \epsilon_{yz} \end{pmatrix} = \frac{\sigma_z}{2} \begin{pmatrix} -y \\ x \\ x \end{pmatrix} \quad (3.179)$$

$$\epsilon_{zx}$$

$$\epsilon_{zy}$$

$$35$$

$$(3.179)$$

Dal legame elastico si ottiene che le uniche componenti non nulle del tensore della

tensione in ogni punto della sezione retta sono le componenti σ_{zx} e σ_{zy} :

$$\begin{pmatrix} \sigma_{zx} \\ \sigma_{zy} \\ \sigma_{yz} \end{pmatrix} = \begin{pmatrix} G \epsilon_{zx} \\ G \epsilon_{zy} \\ G \epsilon_{yz} \end{pmatrix}$$

$$= G \begin{pmatrix} -\frac{\sigma_z}{2} y \\ \frac{\sigma_z}{2} x \\ \frac{\sigma_z}{2} x \end{pmatrix}$$

$$= G \frac{\sigma_z}{2} \begin{pmatrix} -y \\ x \\ x \end{pmatrix}$$

$$= \frac{G \sigma_z}{2} \begin{pmatrix} -y \\ x \\ x \end{pmatrix} \quad (3.180)$$

$$= G \frac{\sigma_z}{2} \begin{pmatrix} -y \\ x \\ x \end{pmatrix}$$

$$\sigma_{zx}$$

$$\sigma_{zy}$$

$$35$$

$$= 24$$

$$-G_0 y$$

$$G_0 x \quad (3.180)$$

ovvero, in forma vettoriale:

$$z = G_0 R r \quad (3.181)$$

In questo caso, per maggiore chiarezza, si è dovuto considerare esplicitamente r come un vettore dello spazio avente però terza componente nulla. In tal caso, dunque, la matrice associata ad R va

adattata al caso tridimensionale aggiungendo una riga ed una colonna di zeri:

$$R = \begin{pmatrix} 266664 & 0 & 0 \\ 0 & -1 & 0 \\ 1 & 0 & 0 \\ 0 & 0 & 0 \end{pmatrix}$$

$$377775$$

$$(3.176)$$

$$262 \text{ G. Alfano - Appunti di Scienza delle Costruzioni}$$

$$\text{Le linee di flusso del campo delle } z, \text{ cioè le curve che sono in ogni punto tangenti}$$

$$\text{al vettore } z, \text{ sono circonferenze aventi tutte centro nel baricentro della sezione}$$

$$\text{(figura 3.48). Esse sono dunque tangenti al contorno esterno e, nel caso della sezione a corona circolare, al contorno interno.}$$

Figura 3.48: Linee di flusso e diagramma delle tensioni tangenziali z in una sezione circolare.

Il momento torcente è dato dalla (3.30):

Il momento torcente è dato dalla (3.30):

Il momento torcente è dato dalla (3.30):

Il momento torcente è dato dalla (3.30):

Il momento torcente è dato dalla (3.30):

Il momento torcente è dato dalla (3.30):

Il momento torcente è dato dalla (3.30):

Il momento torcente è dato dalla (3.30):

$$M_t = \int_A (z_y x - z_x y) dA = Z_A$$

$$(G_0 x^2 + G_0 y^2) dA =$$

$$= G_0 Z_A$$

$$(x^2 + y^2) dA = G_0 Z_A$$

$$k r^2 dA = G J_{Gp}$$

$$(3.182)$$

$$\text{da cui si ottiene:}$$

$$M_t = C_t \theta \text{ con: } C_t = G J_{Gp} \quad (3.183)$$

$$\text{Il coefficiente } C_t = M_t/\theta \text{ è detto 'rigidezza torsionale'.$$

Si ricorda che J_{Gp} indica il momento d'inerzia polare:

Si ricorda che J_{Gp} indica il momento d'inerzia polare:

Si ricorda che J_{Gp} indica il momento d'inerzia polare:

Si ricorda che J_{Gp} indica il momento d'inerzia polare:

Si ricorda che J_{Gp} indica il momento d'inerzia polare:

che per le sezioni circolare ed a corona circolare vale:

sezione circolare: $J_{Gp} =$

$$\frac{\pi R^4}{2}$$

$$\frac{\pi}{2} (R_4^4 - r_4^4)$$

$$\text{sezione a corona circolare: } J_{Gp} =$$

$$\frac{\pi}{2} (R_4^4 - r_4^4)$$

$$\frac{\pi}{2} (R_4^4 - r_4^4)$$

$$\frac{\pi}{2} (R_4^4 - r_4^4)$$

$$\frac{\pi}{2} (R_4^4 - r_4^4)$$

$$(3.185)$$

$$\text{G. Alfano - Il problema del De Saint Venant 263}$$

$$\text{Noti il momento torcente e la rigidezza torsionale, l'angolo specifico di torsione}$$

$$\text{è}$$

dato da $\theta = M_t/C_t = M_t/(GJ_{Gp})$, e dunque il campo delle θ è dato dalla relazione:

$$\theta = G$$

$$M_t$$

$$GJ_{Gp}$$

$$R_r =$$

$$M_t$$

$$J_{Gp}$$

$$R_r \quad (3.186)$$

Per la sezione circolare il valore massimo del modulo della tensione tangenziale vale:

$$\tau_{max} = k \theta r_{max} =$$

$$M_t$$

$$J_{Gp}$$

$$R =$$

$$2M_t$$

$$R^4 \quad (3.187)$$

ovvero:

$$\tau_{max} =$$

$$2M_t$$

$$R^3 \quad (3.188)$$

Per la sezione a corona circolare si ha:

$$\tau_{max} =$$

$$2M_t$$

$$(R_4$$

$$e - R_4$$

$$i)$$

$$R_e \quad (3.189)$$

Le relazioni precedenti possono anche essere scritte come segue:

$$\tau_{max} =$$

$$M_t$$

$$W_t$$

$$(3.190)$$

dove con W_t si è indicato il cosiddetto 'modulo di resistenza' a torsione che vale nei

due casi:

sezione circolare: $W_t =$

$$R^3$$

$$2$$

sezione a corona circolare: $W_t =$

$$(R_4$$

$$e - R_4$$

$$i)$$

$$2R_e$$

$$(3.191)$$

3.4.2 Cenni al caso generale e analogia idrodinamica

Nel caso generale di una sezione diversa da quella circolare o a corona circolare il campo

di tensioni tangenziali (3.181) associato al campo di spostamenti (3.174) non soddisfa

le condizioni di tangenza al contorno. Per tale motivo la sezione retta, oltre a subire

una rotazione rigida, è anche caratterizzata da spostamenti in direzione dell'asse z , che determinano il cosiddetto 'ingobbamento' della sezione. In virtù dell'ingobbamento le linee di flusso non sono più circonferenze e si 'adeguano' invece al contorno esterno ed eventualmente ad uno o più contorni interni della sezione. La soluzione matematica del problema è più complessa di quella ottenuta per le sezioni circolari ed è basata sul calcolo di una funzione ingobbamento che dipende esclusivamente dalle caratteristiche geometriche della sezione.

La soluzione esatta del problema fornisce un campo di tensioni normali σ_z identicamente

nullo, ed un campo di tensioni tangenziali $\tau_{\theta z}$ caratterizzato dalle seguenti proprietà: $\sigma_{\theta z} = 0$:

$$\operatorname{div} \sigma_z = 0 \quad \text{in } \Omega$$

$$\operatorname{rot} \sigma_z = 2G_0 \theta \quad \text{in } \Omega$$

$$\sigma_z \cdot n = 0 \quad \text{su } \partial\Omega$$

(3.192)

264 G. Alfano - Appunti di Scienza delle Costruzioni

La prima di tali relazioni si ottiene dalla (3.17) ponendo $\sigma_z = 0$ identicamente. La terza

è la condizione al contorno (3.20).

La seconda delle (3.192) si dimostra essere una condizione di congruenza interna,

legata al fatto che il campo delle tensioni tangenziali deve poter essere ricavabile a

partire da un campo di spostamenti mediante il legame spostamenti-deformazioni ed il

legame elastico tra deformazioni e tensioni.

Ai fini della determinazione qualitativa dell'andamento delle tensioni tangenziali in

una sezione soggetta a torsione è utile considerare la seguente 'analogia idrodinamica'.

Si consideri un recipiente cilindrico contenente un liquido che possa essere schematizzato

come incomprimibile e non viscoso, in condizioni di quiete. Si faccia ruotare il liquido intorno ad un asse parallelo alle generatrici del cilindro con una velocità angolare

costante ω molto piccola e si interrompa istantaneamente tale moto rotatorio (figura

3.49). Negli istanti successivi a quello in cui annulla la velocità angolare il campo di

velocità su una sezione piana parallela alla base del cilindro è governato dalle seguenti

equazioni: $\sigma_{\theta z} = 0$:

$$\operatorname{div} v = 0 \quad \text{in } \Omega$$

$$\operatorname{rot} v = 2\omega \quad \text{in } \Omega$$

$$v \cdot n = 0 \quad \text{su } \partial\Omega$$

(3.193)

y

ωk

k

y

x

z

z

$M_t k k$

$M_t k G$

Figura 3.49: Analogia idrodinamica.

Le linee di flusso del campo delle z devono dunque essere le stesse delle linee di

flusso seguite dalle particelle di liquido sulla sezione del recipiente (figura 3.50).

Di seguito si analizzeranno solo, in modo approssimato, i casi delle sezioni sottili

biconnesse.

3.4.3 Sezione sottile biconnessa

Una sezione retta si dice 'sottile' quando l'area è concentrata in prossimità di una linea

del piano della sezione, detta 'linea media' della sezione (figura 3.51). Si ha una sezione

G. Alfano - Il problema del De Saint Venant 265

Figura 3.50: Linee di flusso delle tensioni tangenziali.

sottile biconnessa quando la linea media definisce una curva biconnessa del piano. Si

consideri allora il caso della generica sezione sottile biconnessa di figura 3.52.

Figura 3.51: Esempi di sezione sottile biconnessa.

Linea

media

corda

Orientamento

dell'ascissa curvilinea s

sulla linea media

$\delta(s)$

n

t

Figura 3.52: Sezione biconnessa.

266 G. Alfano - Appunti di Scienza delle Costruzioni

Si consideri un'ascissa curvilinea s lungo la linea media. Il segmento ortogonale alla

linea media avente come due estremi i due punti più vicini del contorno della sezione è

detto una 'corda' della sezione ed è intersecato dalla linea media nel proprio punto medio.

La sua lunghezza è detta 'spessore' della linea media ed indicata con δ . Lo spessore in

generale può variare lungo la linea media ed è quindi in generale funzione dell'ascissa

s . Detta L la lunghezza della linea media, per ipotesi $(s) \ll L$ in ogni punto.

Variazione della tensione tangenziale sulla corda

Si consideri ora il riferimento con origine nel centro della generica corda all'ascissa s , e con assi paralleli alla base $\{n, t\}$ indicata in figura 3.52 e definita dai vettori rispettivamente normale e tangente alla linea media, con t ottenuto ruotando n di $\pi/2$ in senso antiorario. Si indichino inoltre con n e s le coordinate di un punto e con z_n e z_s le due componenti di z rispetto a tale riferimento. La (3.192) fornisce:

$$\begin{aligned} \text{rot } z &= \\ @z_s & \\ @n & \\ + & \\ @z_n & \\ @s & \\ = 2G_0 & \end{aligned} \quad (3.194)$$

Nei due punti di intersezione della generica corda con il contorno della sezione la z deve essere tangente al contorno stesso e quindi, assumendo che l'eventuale variazione di z sia estremamente graduale¹⁰, si può porre $z_n = 0$ in tali punti. Per la piccolezza dello spessore si può poi estendere l'ipotesi $z_n = 0$ all'intera corda, e questo per ogni corda. Con tale ragionamento si ritiene lecito assumere nullo il termine $@z_n/@s$ nella (3.194) ed ottenere la seguente variazione lineare dell'unica componente rimasta, ovvero quella z_s in direzione della tangente alla linea media (figura 3.53):

$$\begin{aligned} @z_s & \\ @n & \\ = 2G_0) z_s &= 2G_0 n + c \end{aligned} \quad (3.195)$$

La costante c rappresenta chiaramente il valore assunto dalla z_s al centro della corda, per $n = 0$, ed è anche uguale al valore medio della z_s sulla corda:

$$z_s = 2G_0 n + z_{s,med} \quad (3.196)$$

D'altra parte, in virtù dell'analogia idrodinamica e della piccolezza dello spessore,

le linee di flusso in una sezione biconnessa si possono supporre con buona approssimazione parallele alla linea media, e sembra lecito assumere che la variazione della z_s sia estremamente limitata. Evidentemente il valore medio $z_{s,med}$ è nettamente predominante

rispetto alla variazione lineare massima sulla corda pari a G_0 , ed appare lecito porre costantemente sulla corda $z = z_{s,med} = z(s)$.

In termini vettoriali, la z è diretta secondo la tangente t alla linea media per cui si ha:

$$z = z t \quad (3.197)$$

Poiché poi nel caso idrodinamico deve essere costante la portata lungo ogni corda

della linea media, nel caso della torsione si avrà la seguente legge di 'costanza del

flusso':

$$z(s) (s) = q = \text{costante} \quad (3.198)$$

Pertanto, mentre in generale z e τ possono variare con s , cioè lungo la linea media, il

loro prodotto, detto 'flusso' ed indicato con q , non varia e quindi non è funzione di s .

10Nelle applicazioni lo spessore è tipicamente costante o costante a tratti.

G. Alfano - Il problema del De Saint Venant 267

n

t

s

$$\tau_z n = 0$$

$$\tau_{zs,med}$$

$$2G \theta'$$

$$G \theta' \delta$$

Figura 3.53: Variazione della tensione tangenziale sulla corda.

Formule di Bredt

Si consideri la linea media di una sezione sottile biconnessa, riportata in figura 3.54, e

si orienti la linea media in senso antiorario. Si indicherà con A_m l'area racchiusa dalla

linea media. Sia inoltre n il versore uscente dal A_m in modo che il versore tangente t è

diretto secondo il verso positivo della linea media.

n

$$t A_m$$

n

t

$$A_m$$

$$\tau_z(s)t$$

$$dA = \delta(s) ds$$

ds

r

$$x G$$

y

Figura 3.54: Derivazione delle formule di Bredt.

Integrando il valore della z su una porzione elementare di area pari a $dA = \delta(s) ds$

si ottiene un vettore forza

$$dF = z(s) t(s) ds = q t ds \quad (3.199)$$

Il momento elementare dM_t , rispetto all'origine G , fornito dalla forza dF è dato da:

$$dM_t = r \times dF = r \times q t ds \quad (3.200)$$

ed è chiaramente parallelo all'asse z in quanto sia r che dF sono vettori del piano della sezione.

268 G. Alfano - Appunti di Scienza delle Costruzioni

Il momento torcente si ottiene integrando la (3.200) lungo la linea media e moltiplicando

scalarmente per k :

$$M_t = I_{@A_m}$$

$$[(r \times q t) \cdot k] ds \quad (3.201)$$

Portando q fuori dall'integrale in quanto costante per la (3.198), ed applicando

la permutazione

nel prodotto misto per la quale si ha che $(r \times t) \cdot k = (t \times k) \cdot r$ si

ottiene:

$$M_t = q \int_{A_m} \dots$$

$$[(t \times k) \cdot r] ds \quad (3.202)$$

Si ha inoltre:

$$t \times k = \det \begin{pmatrix} 26664 \\ \dots \end{pmatrix}$$

$$\begin{pmatrix} i & j & k \\ -n_y & n_x & 0 \\ 0 & 0 & 1 \end{pmatrix}$$

$$= 37775$$

$$= n_x i + n_y j = 26664$$

$$n_x$$

$$n_y$$

$$0$$

$$37775$$

$$= n \quad (3.203)$$

da cui, applicando il teorema della divergenza, si ricava:

$$M_t = q \int_{A_m} \dots$$

$$r \cdot n ds = q \int_{A_m} \dots$$

$$\text{div } r ds = 2 q A_m \quad (3.204)$$

Si ha infatti:

$$\text{div } r = \text{div} \begin{pmatrix} 26664 \\ \dots \end{pmatrix}$$

$$x$$

$$y$$

$$0$$

$$37775$$

$$=$$

$$\frac{\partial}{\partial x}$$

$$\frac{\partial}{\partial x}$$

$$+$$

$$\frac{\partial}{\partial y}$$

$$\frac{\partial}{\partial y}$$

$$= 2 \quad (3.205)$$

Dalla (3.204) si ottiene la 'prima formula di Bredt':

$$q =$$

$$M_t$$

$$2A_m$$

$$(3.206)$$

che, tenendo conto della espressione (3.198) del flusso, può anche essere riscritta direttamente

in termini di z :

$$z(s) =$$

$$M_t$$

$$2A_m(s)$$

$$(3.207)$$

Seconda formula di Bredt

Per il teorema di Stokes, la circuitazione del vettore z può calcolarsi come integrale

del rotore di z esteso all'area racchiusa dalla linea media, A_m . Tale circuitazione, per

definizione, è data dall'integrale su \int_{A_m} del prodotto scalare $z \cdot t = z_s = z$.

Inoltre,
il rotore della θ è costante e pari a $2G_0$, per cui si ottiene:

$$I_{\theta A_m}$$

$$z(s) ds = Z_{A_m}$$

$$\text{rot } z dA = Z_{A_m}$$

$$2G_0 dA = 2G_0 Z_{A_m}$$

$$dA = 2G_0 A_m \quad (3.208)$$

G. Alfano - Il problema del De Saint Venant 269

Sostituendo nel primo membro della relazione precedente l'espressione di z fornita

dalla prima formula di Bredt, ovvero la (3.207), si ottiene:

$$I_{\theta A_m}$$

$$z(s) ds = I_{\theta A_m}$$

$$M_t$$

$$2A_m(s)$$

$$ds =$$

$$M_t$$

$$2A_m I_{\theta A_m}$$

$$1$$

$$(s)$$

$$ds \quad (3.209)$$

Confrontando tale relazione con la (3.208) si ottiene:

$$2G_0 A_m =$$

$$M_t$$

$$2A_m I_{\theta A_m}$$

$$ds$$

$$(s)$$

$$(3.210)$$

da cui l'espressione della 'rigidezza torsionale' della sezione biconnessa sottile:

$$C_t =$$

$$M_t$$

$$0$$

$$=$$

$$4GA_2$$

$$m I_{A_m}$$

$$ds$$

$$(s)$$

$$(3.211)$$

nota come 'seconda formula di Bredt'.

3.5 Taglio

Si ha sollecitazione di taglio quando le risultanti sulle due basi della trave sono due forze

uguali ed opposte parallele alle basi stesse. Per l'equilibrio alla rotazione, vi dovranno

anche essere una o due coppie agenti sulle basi per cui la sollecitazione di taglio è

sempre anche accompagnata da quella di flessione, in tutte le sezioni rette della trave

tranne al più una. Nel caso di figura 3.55 si è considerata una coppia flettente agente

sulla base di sinistra.

x
y
z
z
G
T
T

Figura 3.55: Sollecitazione di taglio.

La soluzione esatta del problema per questo tipo di sollecitazione è piuttosto complessa,

per cui si prenderà in esame una trattazione approssimata, sviluppata all'ingegnere

russo Jourawski nella seconda metà dell'800, che è molto utilizzata nelle applicazioni

ingegneristiche. Essa si basa solamente su considerazioni di equilibrio.

270 G. Alfano - Appunti di Scienza delle Costruzioni

3.5.1 Trattazione di Jourawski

Si consideri la generica sezione retta riportata in figura 3.56 ed un segmento AB, detto

anche corda, che la divida in due parti complementari A ed A. Il flusso del campo

delle z uscente da A è definito come:

$I_{@A}$

$$z \cdot n \, ds = Z_{@Acont}$$

$$z \cdot n \, ds + Z_{AB}$$

$$z \cdot n \, ds \quad (3.212)$$

dove si è decomposto il contorno di @A nell'unione di quello coincidente con parte

del contorno della sezione, indicato con @A_{cont}, e della corda AB, e dove n

indica la normale uscente.

A

B

A A*

B

A*

n

τ_z

τ_{zn}

τ_{zn}

$\tau_{zn,med}$

A**

A**

b

b

Figura 3.56: Flusso uscente da A.

Il primo termine a secondo membro della (3.212) è nullo in quanto le tensioni tangenziali

sono tangenti al contorno (equazione (3.20)). pertanto, indicando con $z_n = z \cdot n$ la componente di z normale alla corda, e con $z_{n,med}$ il suo valore medio sulla corda,

la (3.213) fornisce: $I_{@A}$

$$z \cdot n \, ds = Z_{AB}$$

$$z_n ds = z_{n,med} b \quad (3.213)$$

dove b indica la lunghezza della corda AB .

D'altra parte, nel caso del taglio sono presenti in generale tutte e tre le componenti

z , z_x e z_y . Si è visto dunque nella (3.17) che la terza equazione differenziale di equilibrio fornisce la relazione:

$$\text{div}_z = -$$

@z

@z

$$(3.214)$$

Applicando allora il teorema della divergenza all'area A , si ottiene:

\int_A

$$z \cdot n ds = Z_A$$

$$\text{div}_z dA = -Z_A$$

@z

@z

$$dA \quad (3.215)$$

G. Alfano - Il problema del De Saint Venant 271

Conviene utilizzare l'espressione della z fornita dalla formula monomia della flessione

deviata, ovvero la (3.156), assumendo x coincidente con l'asse neutro della flessione

associata al taglio:

$$z =$$

$$M_x$$

$$J_{Gy}$$

$$y \quad (3.216)$$

dalla quale si ottiene:

@z

@z

=

@

$$\text{d}M_x$$

$$J_{Gy}$$

$$y =$$

$$y$$

$$J_{Gy}$$

$$\text{d}M_x$$

$$\text{d}z$$

$$(3.217)$$

in quanto sia J_{Gy} che y non dipendono da z . Si verifica poi facilmente che la derivata

del momento M_x rispetto a z è pari alla componente T_y del taglio:

$$\text{d}M_x$$

$$\text{d}z$$

$$= T_y \quad (3.218)$$

La (3.218) infatti è la ben nota relazione che lega la derivata del momento al taglio,

scritta però qui nel caso spaziale e con riferimento al piano yz . Così come fatto nel

capitolo delle travature piane, essa si ricava imponendo l'equilibrio alla rotazione del

conco elementare di trave intorno all'asse x.
 Combinando le relazioni (3.215)-(3.218) si ottiene:

$$\int_A z \cdot n \, ds = - \frac{T_y}{J_{Gy}} Z_A$$

$$\int_A y \, dA = - \frac{T_y}{J_{Gy}} S_y$$

(3.219)

dove S_y rappresenta il momento statico dell'area A lungo y.
 Confrontando la relazione precedente con la (3.213) si ottiene la relazione:

$$z_{n,med} = - \frac{T_y}{J_{Gy}} \frac{S_y}{b}$$

(3.220)

Questa relazione è esatta in quanto non si è fatta alcuna approssimazione fino a questo punto. Essa però fornisce il valore medio della z_n lungo la corda ma non il valore puntuale, che in generale sarà variabile lungo la corda stessa. L'approssimazione che viene allora fatta nella maggioranza delle applicazioni è quella di ritenere, laddove lo si ritenga accettabile con la precisione richiesta nel calcolo, che la z_n risulti costante lungo la corda. In tal modo si può sostituire il valore medio $z_{n,med}$ con quello puntuale z_n nella (3.220) ed ottenere dunque la seguente relazione, nota come 'formula di Jourawski':

$$z_n = - \frac{T_y}{J_{Gy}} \frac{S_y}{b}$$

(3.221)

Come si è detto, la formula di Jourawski è basata su sole considerazioni di equilibrio. In particolare, la trattazione svolta equivale alla scrittura delle condizioni di equilibrio per l'elemento longitudinale di area A e lunghezza dz riportato tridimensionalmente in figura 3.57.

272 G. Alfano - Appunti di Scienza delle Costruzioni

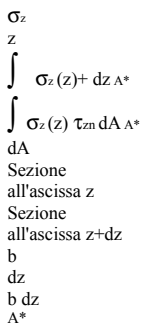


Figura 3.57: Equilibrio alla traslazione dell'elemento longitudinale di area A e

lunghezza dz.